Section V

PELVIS ET PÉRINÉE

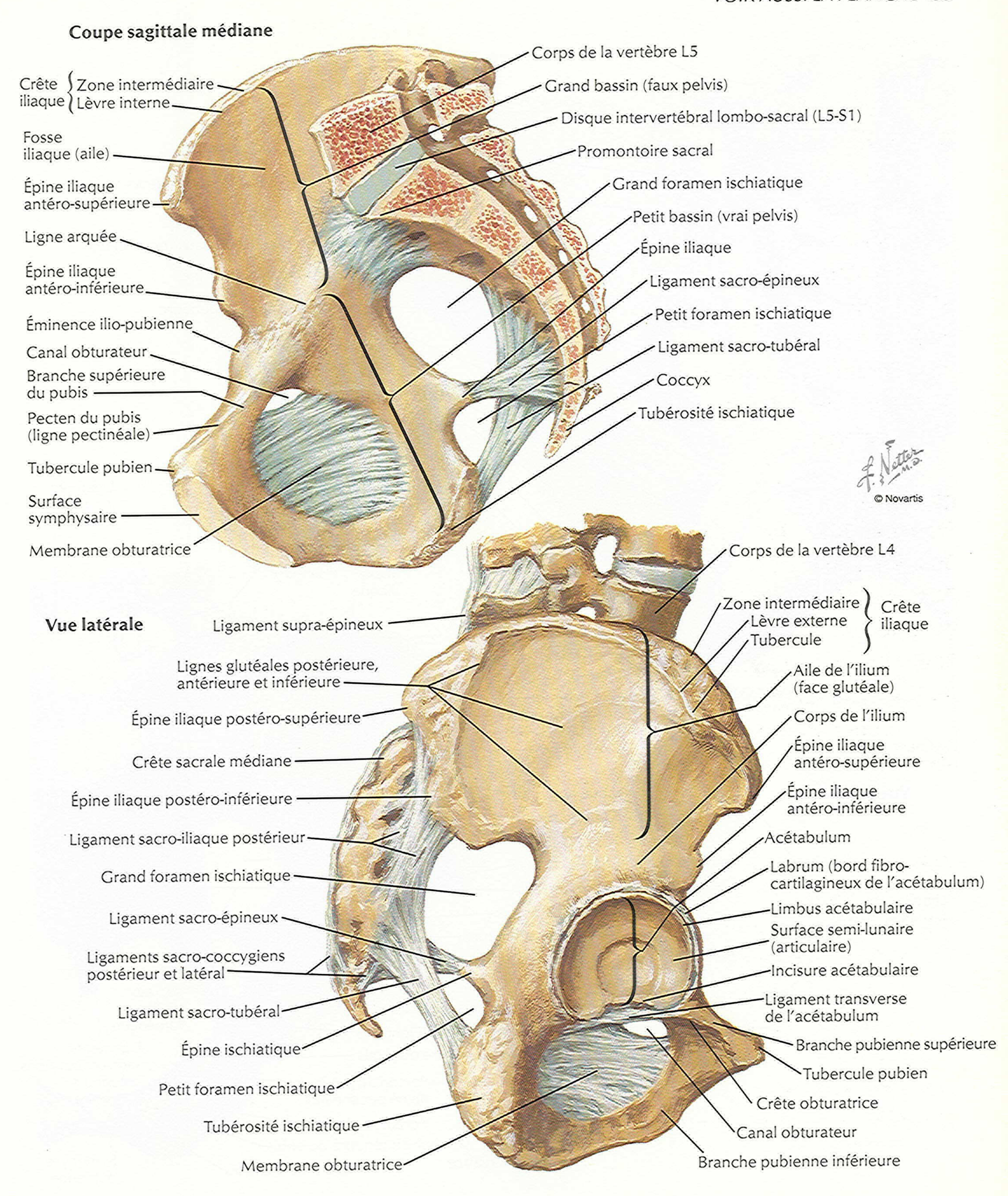
STRUCTURES MASCULINES
Planches 354 – 362

RECTUM
Planches 363 – 368

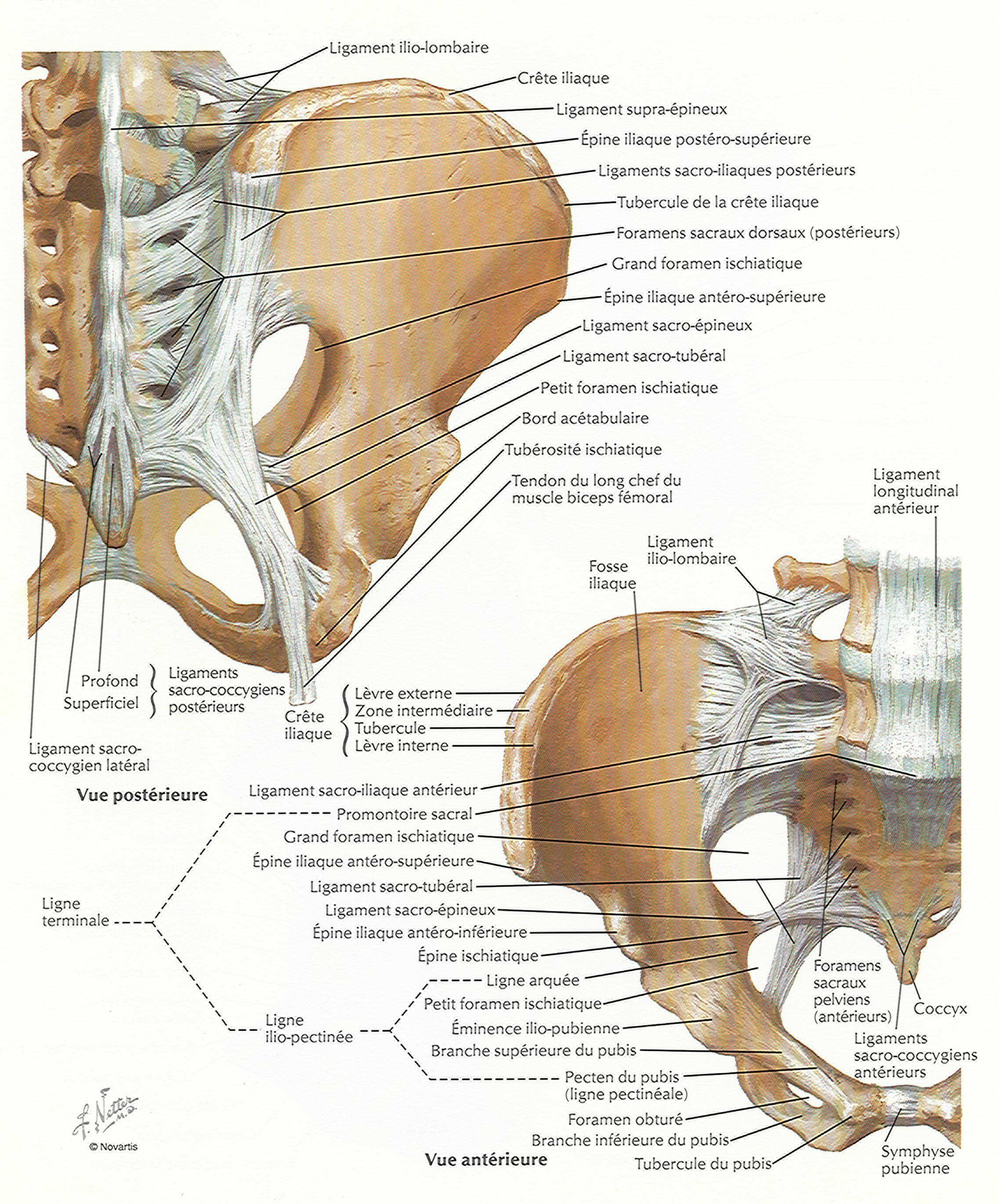
VASCULARISATION
Planches 369 – 379

INNERVATION
Planches 380 – 390

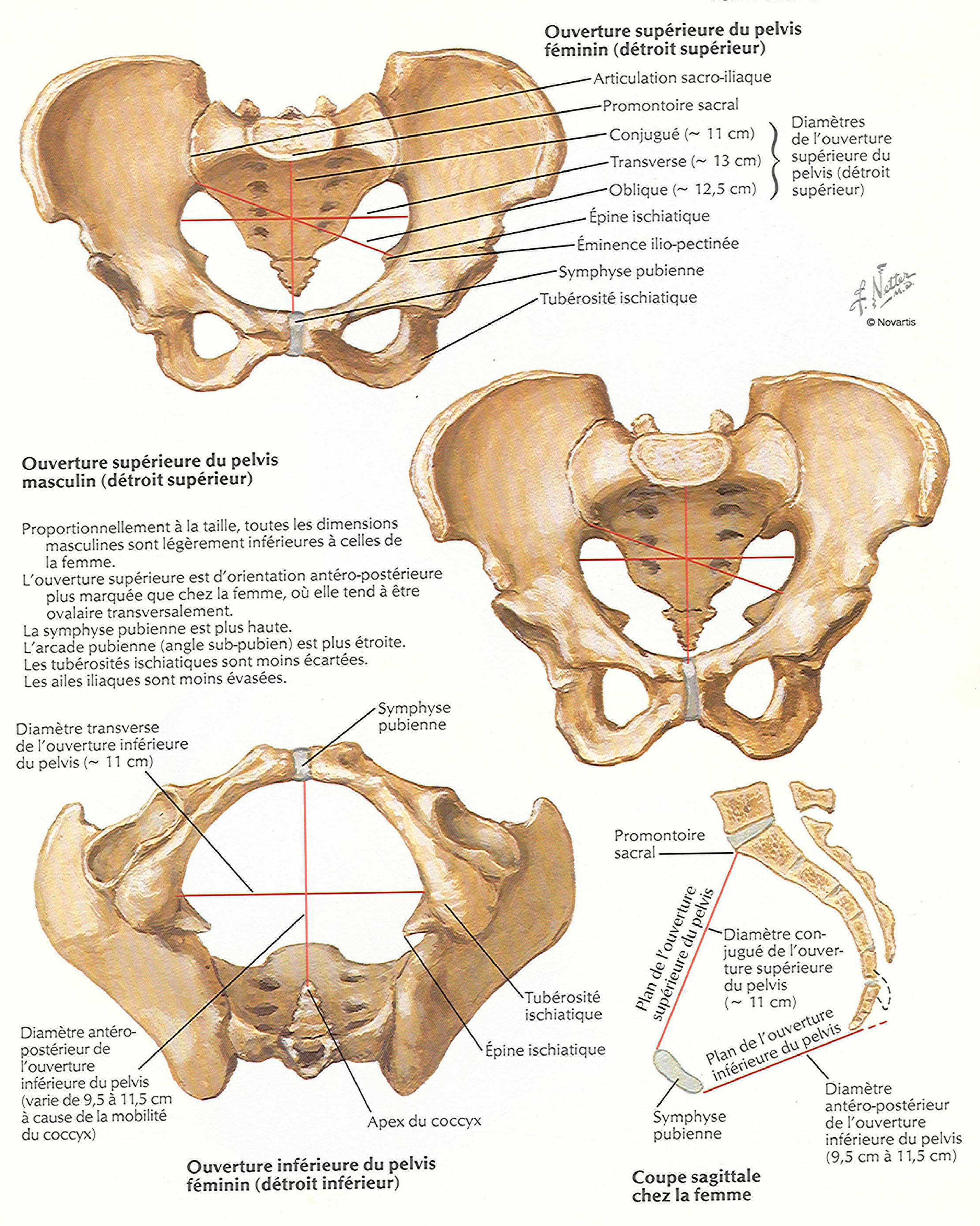
VOIR AUSSI LA PLANCHE 453



VOIR AUSSI LA PLANCHE 145



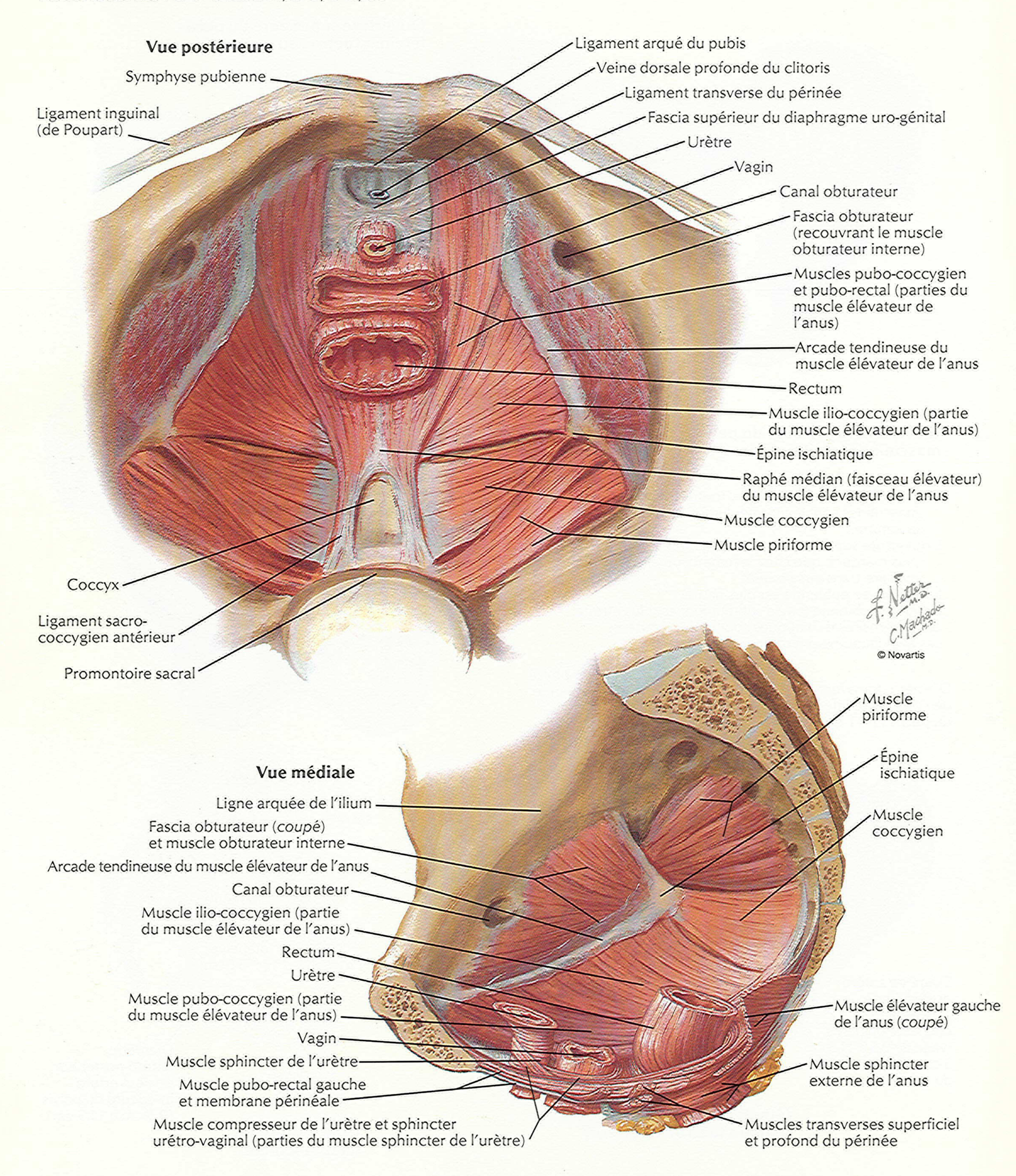
VOIR AUSSI LA PLANCHE 231



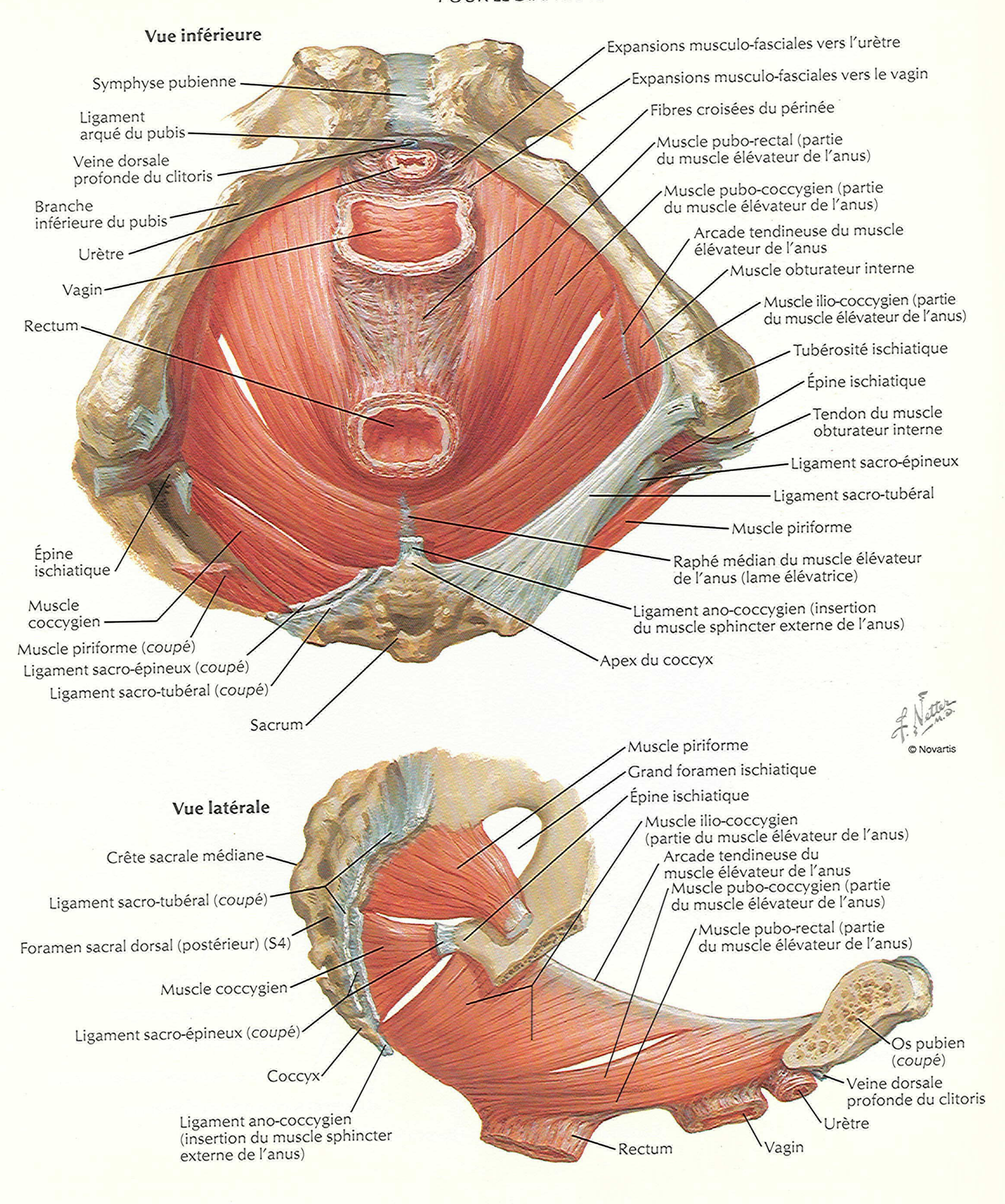
Proportionnellement à la taille, toutes les dimensions masculines sont légèrement inférieures à celles de la femme.
L'ouverture supérieure est d'orientation antéro-postérieure plus marquée que chez la femme, où elle tend à être ovalaire transversalement.
La symphyse pubienne est plus haute.
L'arcade pubienne (angle sub-pubien) est plus étroite.
Les tubérosités ischiatiques sont moins écartées.
Les ailes iliaques sont moins évasées.

Diaphragme pelvien féminin

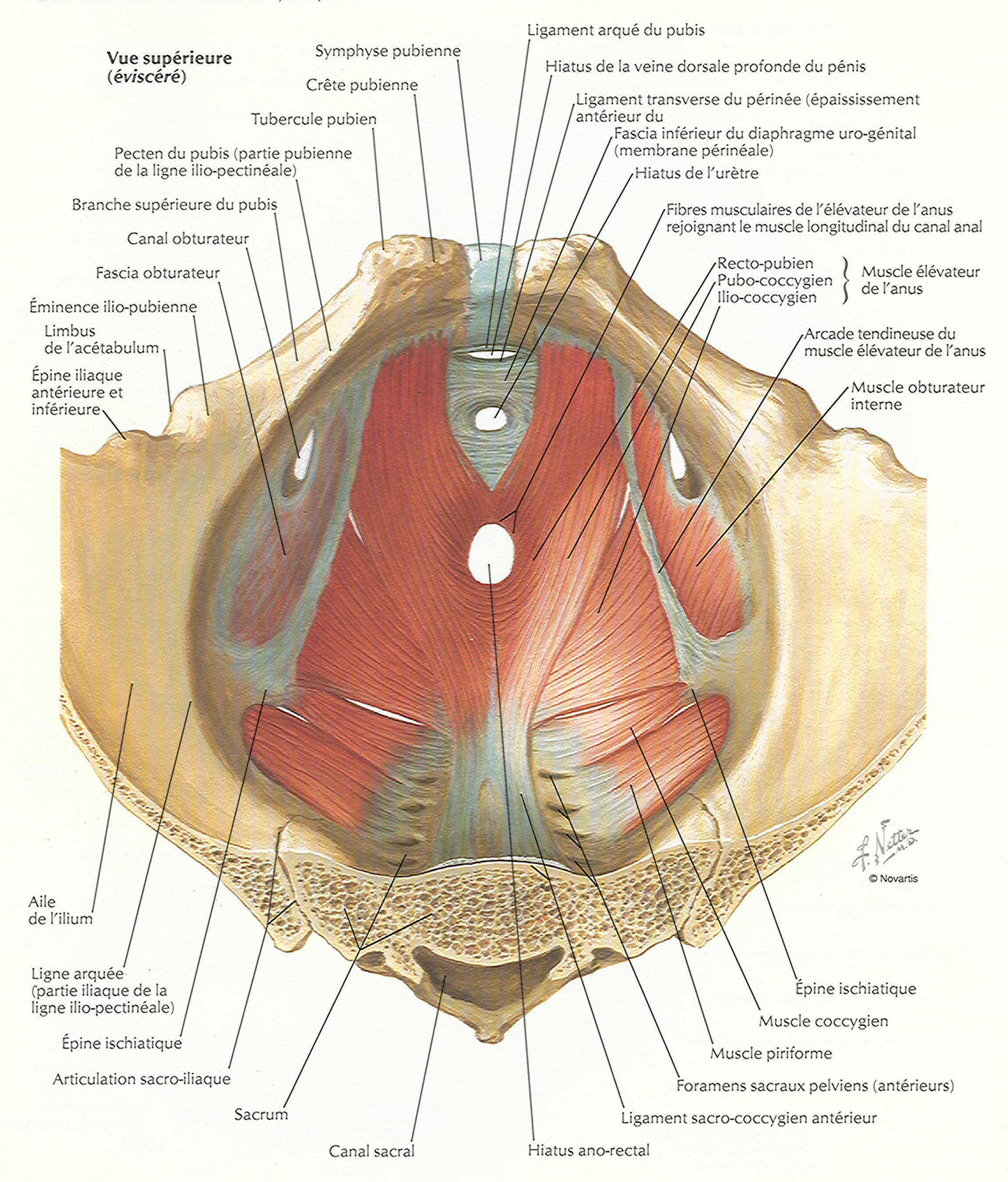
VOIR AUSSI LES PLANCHES 246, 343, 345, 364



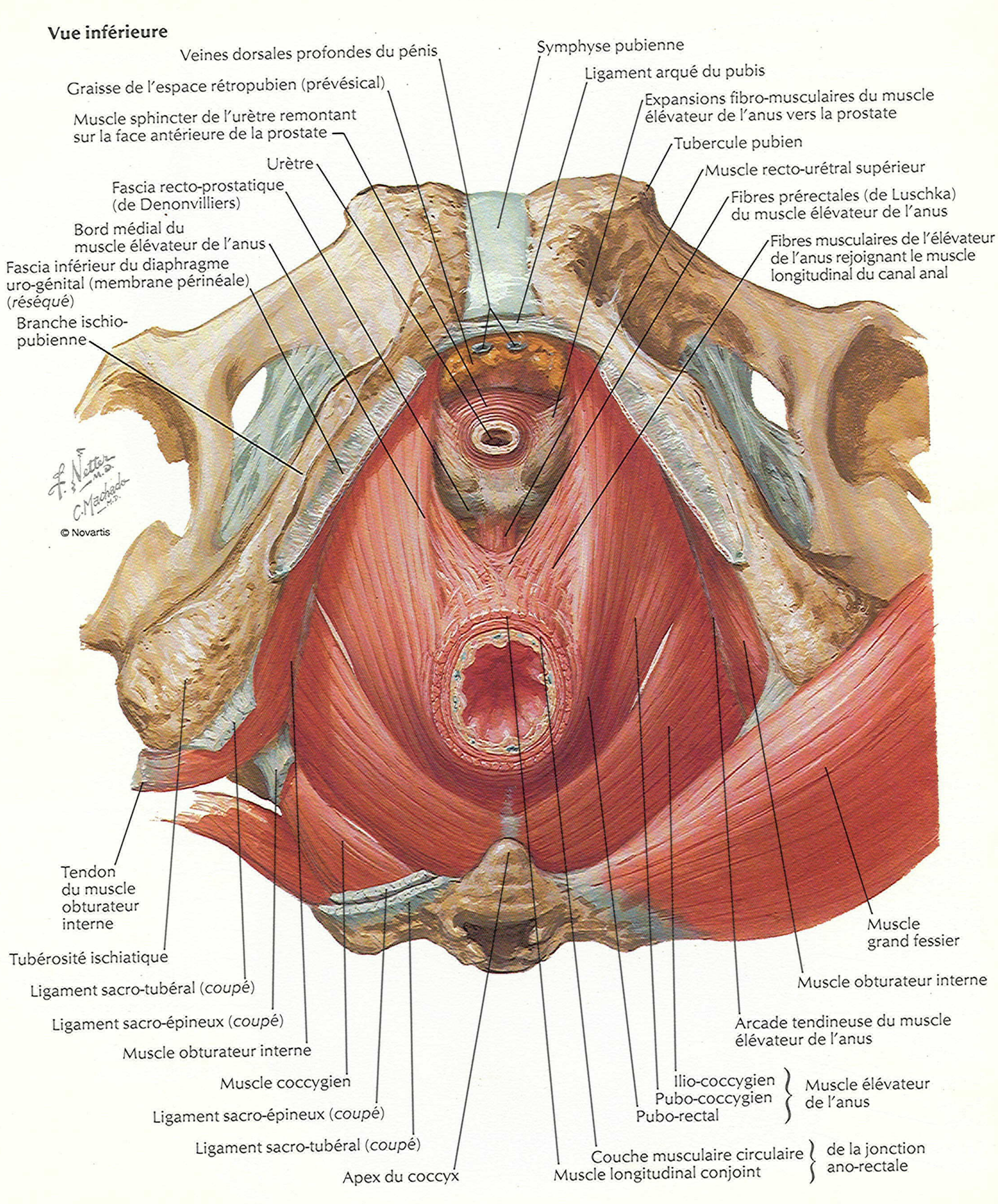
POUR LE DIAPHRAGME URO-GÉNITAL, VOIR LA PLANCHE 352



VOIR AUSSI LES PLANCHES 246, 343, 364

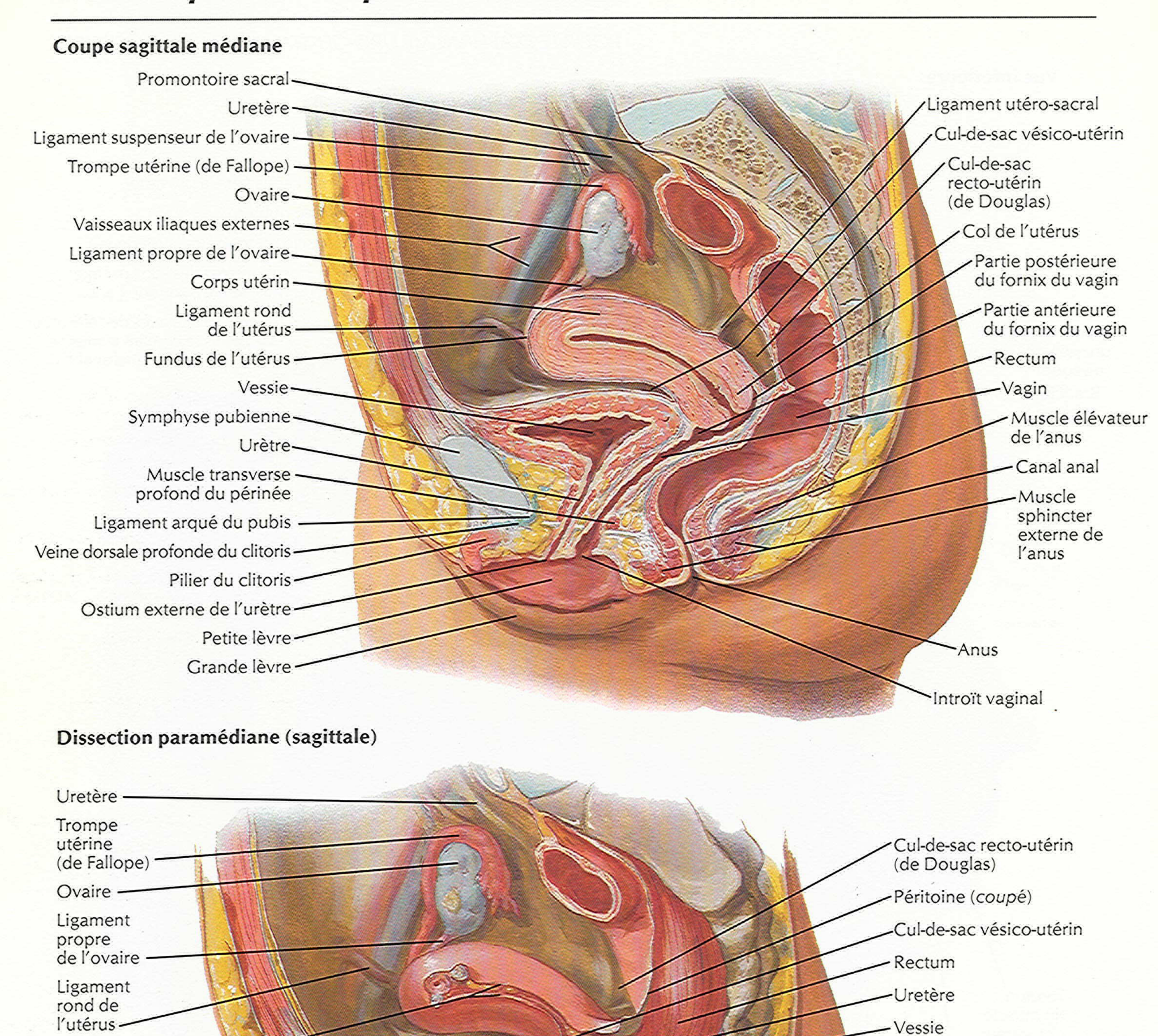


POUR LE DIAPHRAGME URO-GÉNITAL, VOIR LA PLANCHE 357

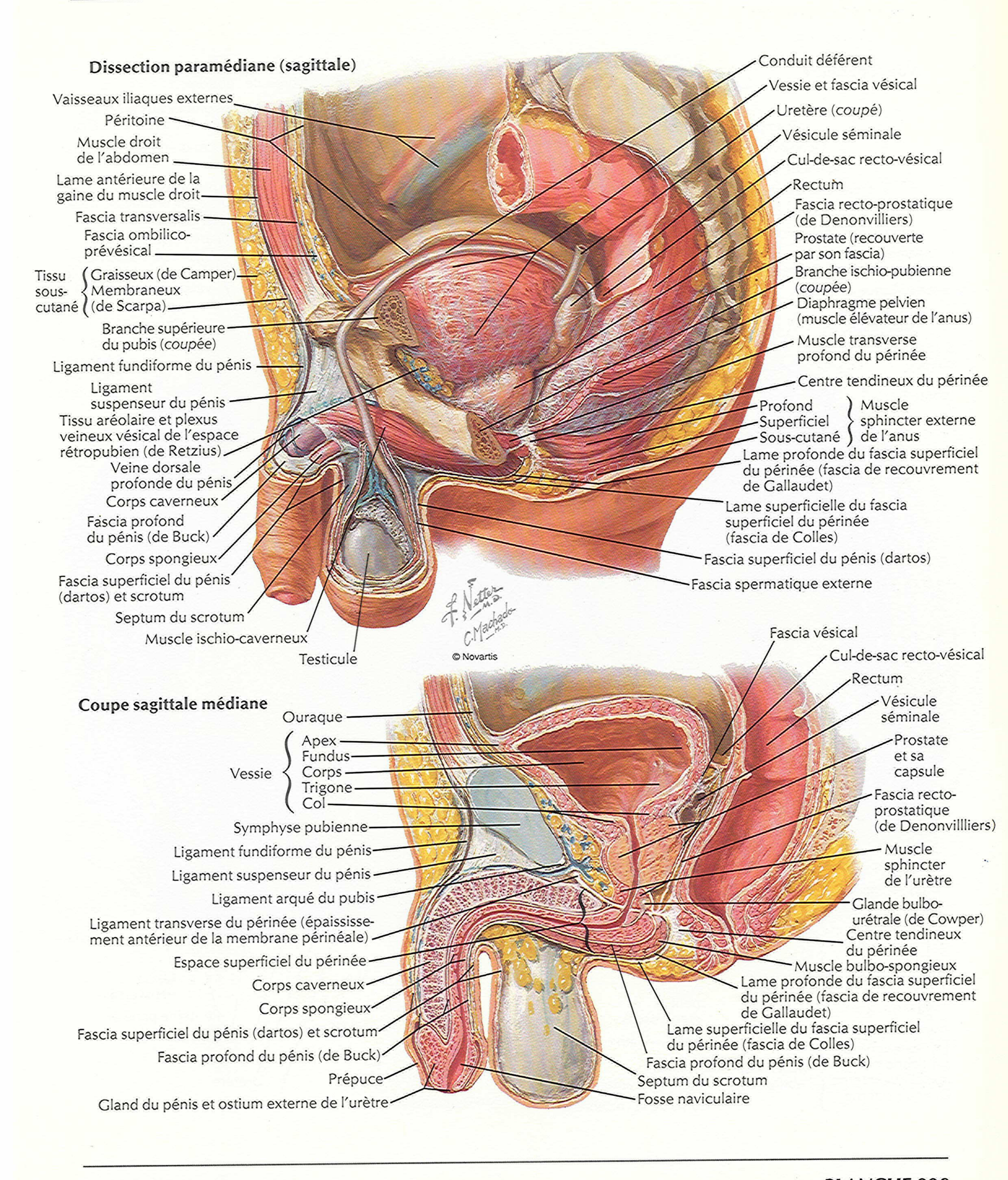


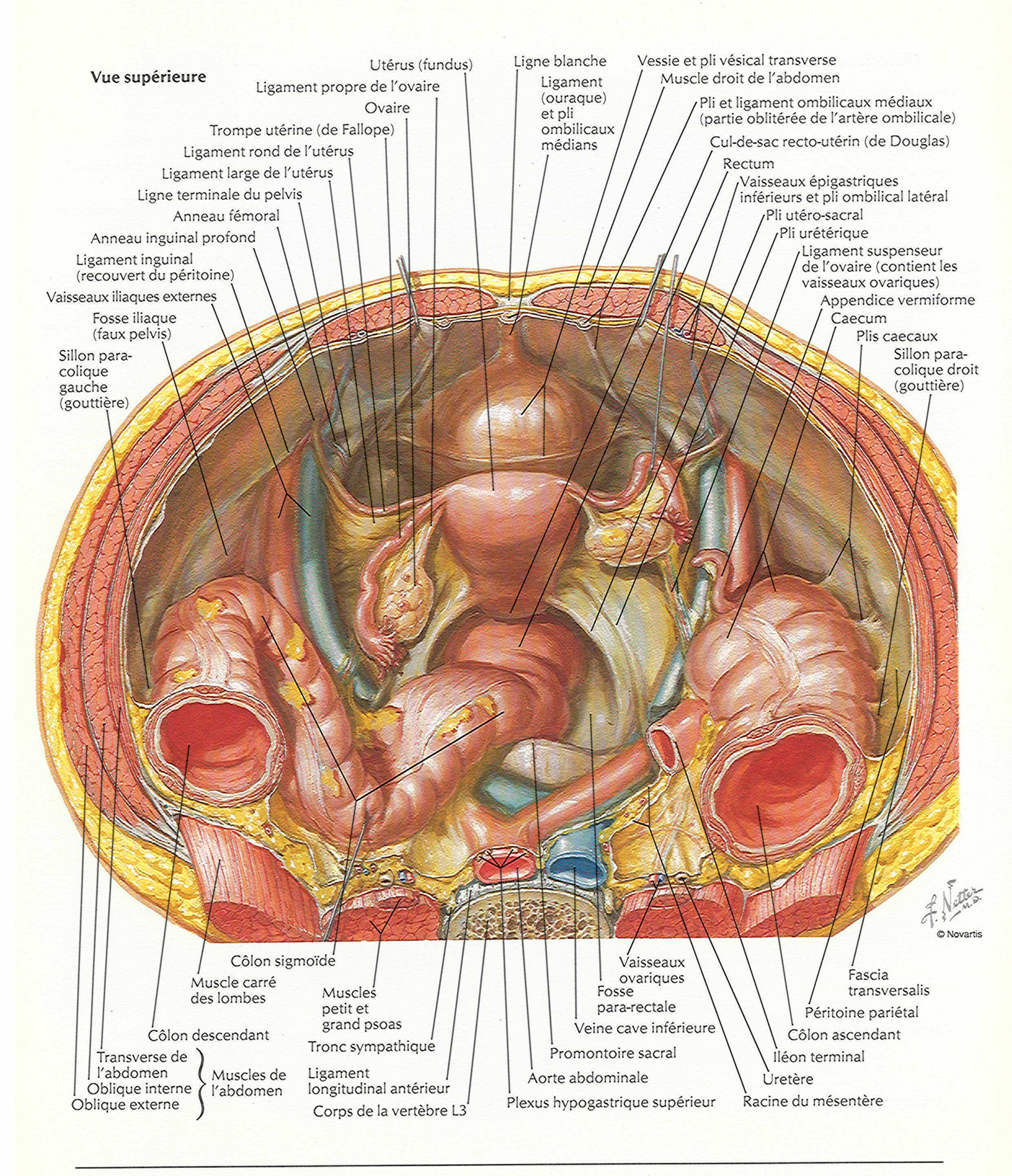
Viscères pelviens et périnée féminins

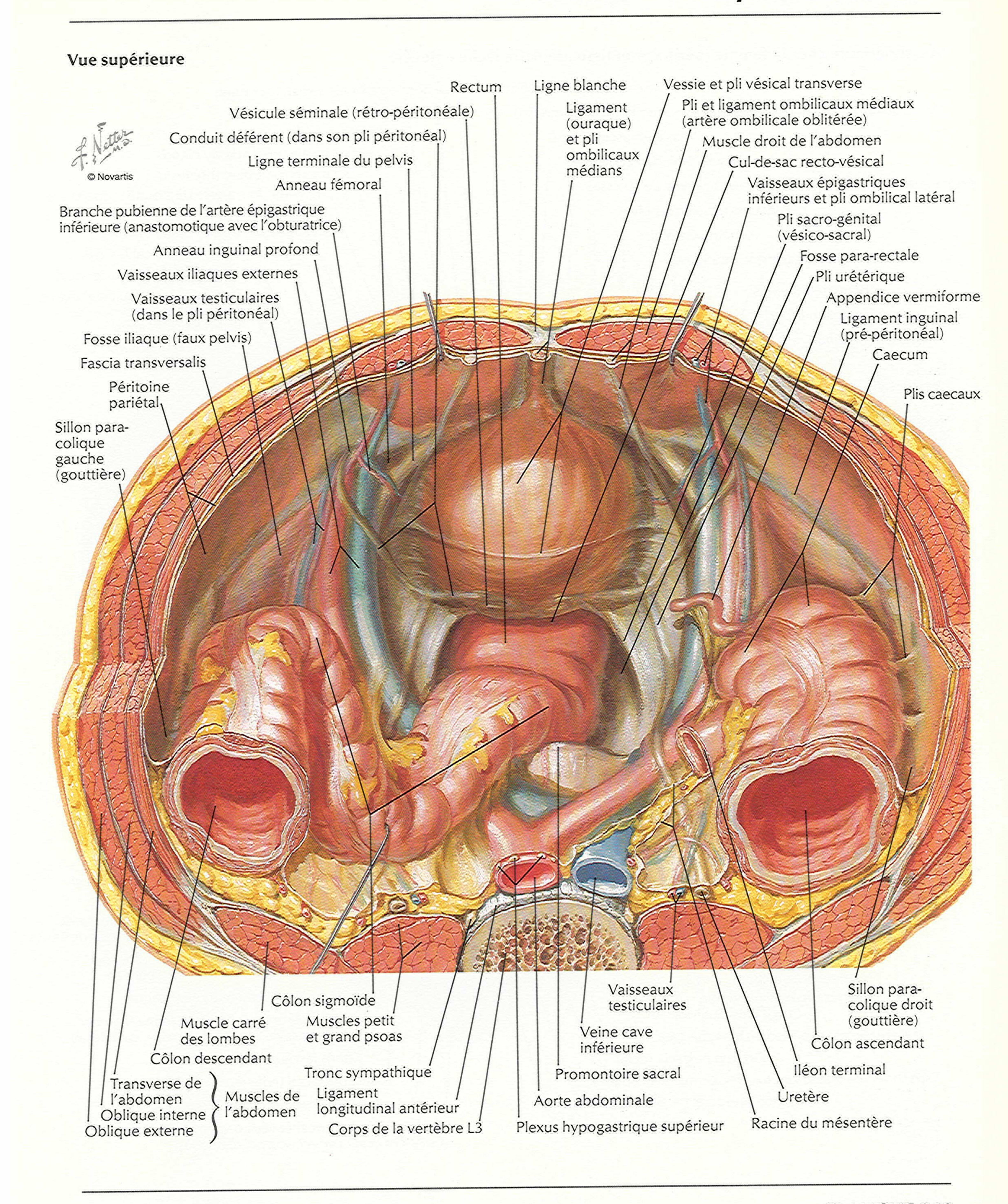
Coupe sagittale médiane



Dissection paramédiane (sagittale)


Dissection paramédiane (sagittale)
Vaisseaux iliaques externes
Péritoine
Muscle droit de l'abdomen
Lame antérieure de la gaine du muscle droit
Fascia transversalis
Fascia ombilico-prévésical
Tissu sous-cutané
Graisseux (de Camper)
Membraneux (de Scarpa)
Branche supérieure du pubis (coupée)
Ligament fundiforme du pénis
Ligament suspenseur du pénis
Tissu aréolaire et plexus veineux vésical de l'espace rétropubien (de Retzius)
Veine dorsale profonde du pénis
Corps caverneux
Fascia profond du pénis (de Buck)
Corps spongieux
Fascia superficiel du pénis (dartos) et scrotum
Septum du scrotum
Muscle ischio-caverneux
Testicule
Conduit déférent
Vessie et fascia vésical
Uretère (coupé)
Vésicule séminale
Cul-de-sac recto-vésical
Rectum
Fascia recto-prostatique (de Denonvilliers)
Prostate (recouverte par son fascia)
Branche ischio-pubienne (coupée)
Diaphragme pelvien (muscle élévateur de l'anus)
Muscle transverse profond du périnée
Centre tendineux du périnée
Profond
Superficiel
Sous-cutané
Muscle sphincter externe de l'anus
Lame profonde du fascia superficiel du périnée (fascia de recouvrement de Gallaudet)
Lame superficielle du fascia superficiel du périnée (fascia de Colles)
Fascia superficiel du pénis (dartos)
Fascia spermatique externe
F. Netter M.D.
C. Machado M.D.
© Novartis
Coupe sagittale médiane
Ouraque
Vessie
Apex
Fundus
Corps
Trigone
Col
Symphyse pubienne
Ligament fundiforme du pénis
Ligament suspenseur du pénis
Ligament arqué du pubis
Ligament transverse du périnée (épaississement antérieur de la membrane périnéale)
Espace superficiel du périnée
Corps caverneux
Corps spongieux
Fascia superficiel du pénis (dartos) et scrotum
Fascia profond du pénis (de Buck)
Prépuce
Gland du pénis et ostium externe de l'urètre
Fascia vésical
Cul-de-sac recto-vésical
Rectum
Vésicule séminale
Prostate et sa capsule
Fascia recto-prostatique (de Denonvillliers)
Muscle sphincter de l'urètre
Glande bulbo-urétrale (de Cowper)
Centre tendineux du périnée
Muscle bulbo-spongieux
Lame profonde du fascia superficiel du périnée (fascia de recouvrement de Gallaudet)
Lame superficielle du fascia superficiel du périnée (fascia de Colles)
Fascia profond du pénis (de Buck)
Septum du scrotum
Fosse naviculaire


Vue supérieure
Utérus (fundus)
Ligament propre de l'ovaire
Ovaire
Trompe utérine (de Fallope)
Ligament rond de l'utérus
Ligament large de l'utérus
Ligne terminale du pelvis
Anneau fémoral
Anneau inguinal profond
Ligament inguinal (recouvert du péritoine)
Vaisseaux iliaques externes
Fosse iliaque (faux pelvis)
Sillon para-colique gauche (gouttière)
Ligne blanche
Ligament (ouraque) et pli ombilicaux médians
Vessie et pli vésical transverse
Muscle droit de l'abdomen
Pli et ligament ombilicaux médiaux (partie oblitérée de l'artère ombilicale)
Cul-de-sac recto-utérin (de Douglas)
Rectum
Vaisseaux épigastriques inférieurs et pli ombilical latéral
Pli utéro-sacral
Pli urétérique
Ligament suspenseur de l'ovaire (contient les vaisseaux ovariques)
Appendice vermiforme
Caecum
Plis caecaux
Sillon para-colique droit (gouttière)
Côlon sigmoïde
Muscle carré des lombes
Muscles petit et grand psoas
Côlon descendant
Tronc sympathique
Transverse de l'abdomen
Oblique interne
Oblique externe
Muscles de l'abdomen
Ligament longitudinal antérieur
Corps de la vertèbre L3
Vaisseaux ovariques
Fosse para-rectale
Veine cave inférieure
Promontoire sacral
Aorte abdominale
Plexus hypogastrique supérieur
Fascia transversalis
Péritoine pariétal
Côlon ascendant
Iléon terminal
Uretère
Racine du mésentère
F. Netter M.D.
© Novartis


Vue supérieure
F. Netter M.D.
© Novartis
Rectum
Ligne blanche
Vessie et pli vésical transverse
Vésicule séminale (rétro-péritonéale)
Ligament (ouraque) et pli ombilicaux médians
Pli et ligament ombilicaux médiaux (artère ombilicale oblitérée)
Conduit déférent (dans son pli péritonéal)
Muscle droit de l'abdomen
Ligne terminale du pelvis
Cul-de-sac recto-vésical
Anneau fémoral
Vaisseaux épigastriques inférieurs et pli ombilical latéral
Branche pubienne de l'artère épigastrique inférieure (anastomotique avec l'obturatrice)
Pli sacro-génital (vésico-sacral)
Anneau inguinal profond
Fosse para-rectale
Vaisseaux iliaques externes
Pli urétérique
Vaisseaux testiculaires (dans le pli péritonéal)
Appendice vermiforme
Ligament inguinal (pré-péritonéal)
Fosse iliaque (faux pelvis)
Caecum
Fascia transversalis
Péritoine pariétal
Plis caecaux
Sillon para-colique gauche (gouttière)
Côlon sigmoïde
Vaisseaux testiculaires
Sillon para-colique droit (gouttière)
Muscle carré des lombes
Muscles petit et grand psoas
Veine cave inférieure
Côlon ascendant
Côlon descendant
Tronc sympathique
Promontoire sacral
Iléon terminal
Transverse de l'abdomen
Oblique interne
Oblique externe
Muscles de l'abdomen
Ligament longitudinal antérieur
Aorte abdominale
Uretère
Corps de la vertèbre L3
Plexus hypogastrique supérieur
Racine du mésentère

Fascia endopelvien et espaces potentiels

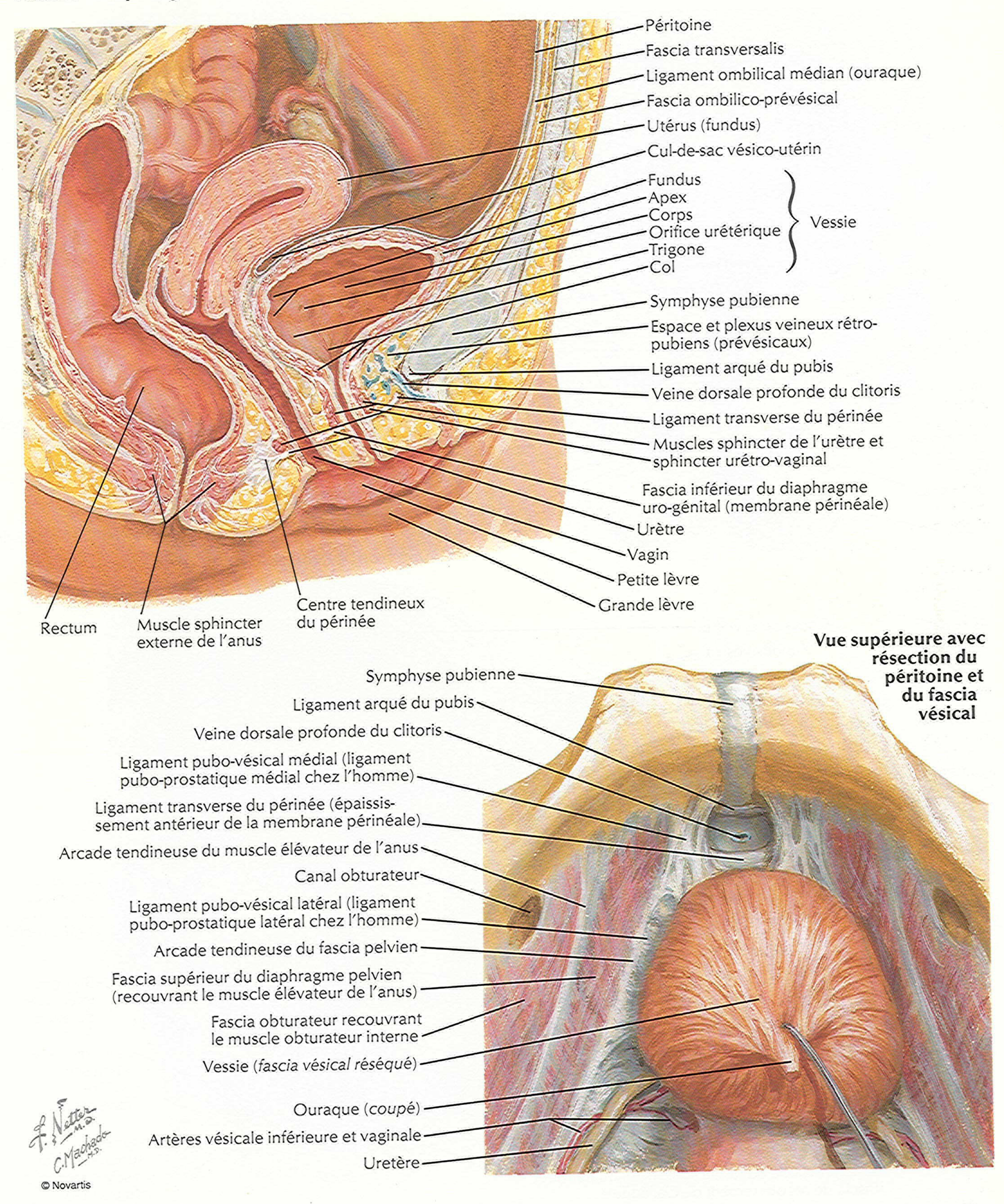
Vue supérieure chez la femme (péritoine et tissu aréolaire lâche enlevés)

Fascia ombilico-prévésical
Partie oblitérée de l'artère ombilicale (ligament ombilical médial)
Vessie et fascia vésical
Muscle droit de l'abdomen
Artère vésicale supérieure dans le ligament latéral de la vessie
Ligne terminale du pelvis
Anneau fémoral
Artère épigastrique inférieure et Branche du pubis
Anneau inguinal profond
Ligament inguinal
Fascia transversalis
Vaisseaux iliaques externes
Nerf fémoral (sous le fascia)
Vaisseaux circonflexes iliaques profonds
Fascia iliaque
Vaisseaux ovariques dans le ligament suspenseur de l'ovaire
Muscle iliaque
Uretère
Muscle grand psoas
Vaisseaux iliaques internes
Artères vésicale inférieure et vaginale
Gaine hypogastrique (neuro-vasculaire)
Artère rectale moyenne
Col et fascia utérins
Artère rectale supérieure (branche gauche)
Rectum et fascia rectal
Espace recto-vaginal (*septum recto-vaginal disséqué*)
Espace présacral (*largement ouvert*)
Artère sacrale médiane

Ligament ombilical médian (ouraque)
Symphyse pubienne
Ligament arqué du pubis
Veine dorsale profonde du clitoris
Espace rétro-pubien (prévésical)
Ligament transverse du périnée (épaississement antérieur de la membrane périnéale)
Ligament pubo-vésical médial
Ligament pubo-vésical latéral
Fibres du fascia vésico-cervical
Fascia supérieur du diaphragme pelvien (fascia supérieur de l'élévateur de l'anus)
Canal obturateur et artère obturatrice
Fascia obturateur interne
Arcade tendineuse du muscle élévateur de l'anus
Arcade tendineuse du fascia pelvien
Ligament utéro-sacral
Paramètre avec l'artère utérine (ligament cardinal, de Mackenrodt, cervical latéral)
Fibres fasciales vagino-rectales
Fascia présacral (*enlevé*)
Ligament sacro-coccygien antérieur
Espaces vésico-cervical et vésico-vaginal (*septums vésico-cervical et vésico-vaginal disséqués*)

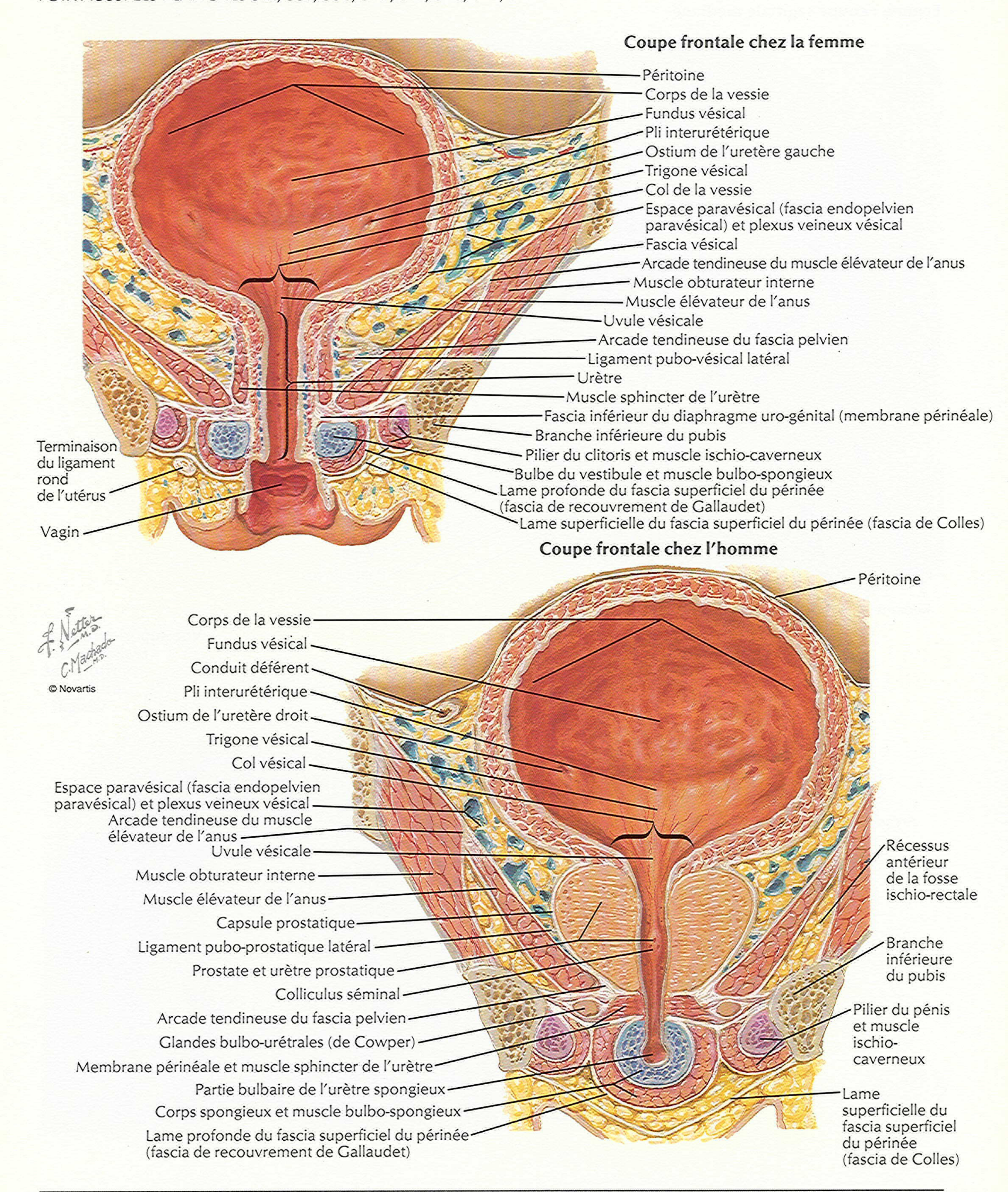
F. Netter M.D.

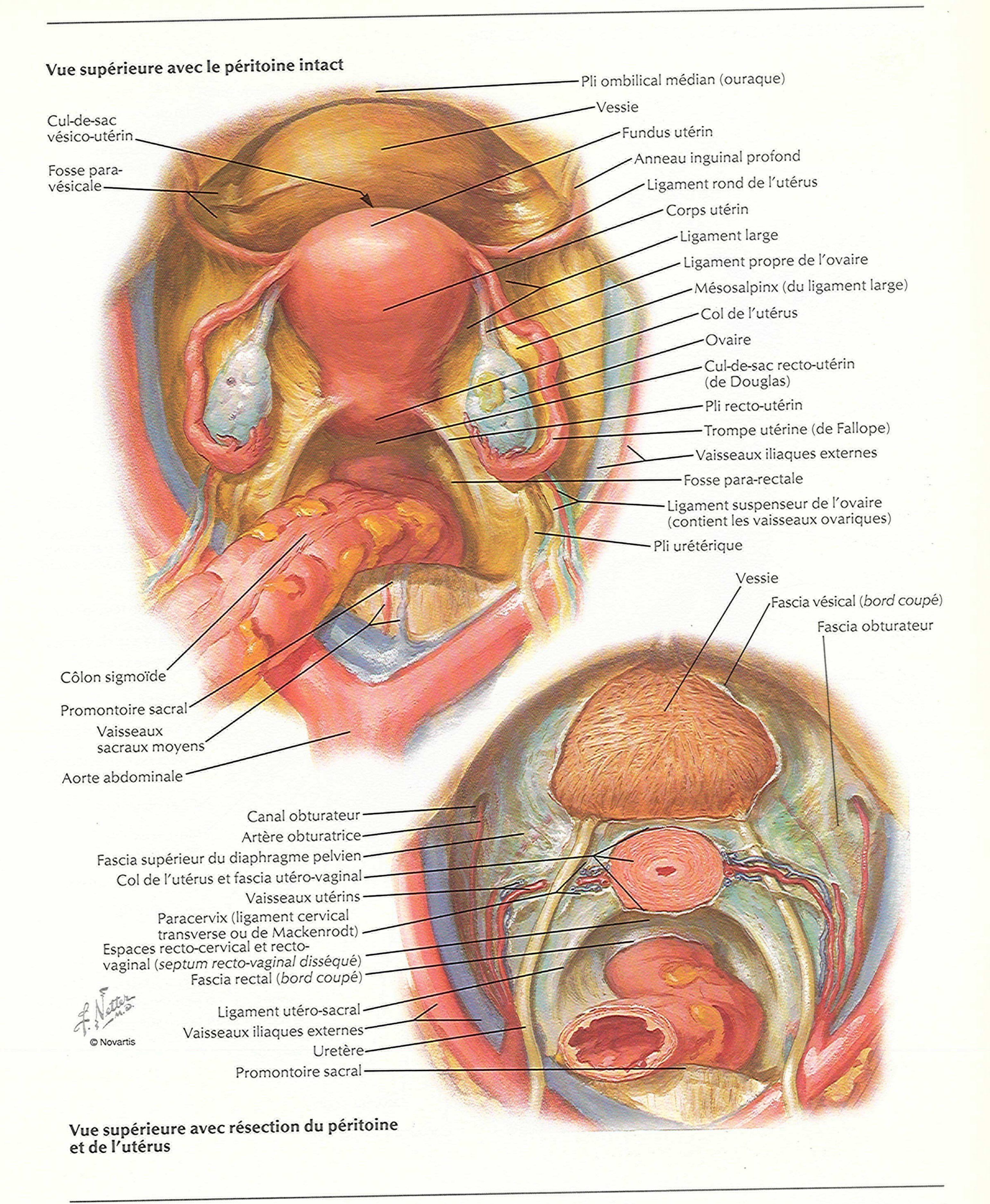
Femme : coupe sagittale médiane



Vessie : chez la femme et chez l'homme

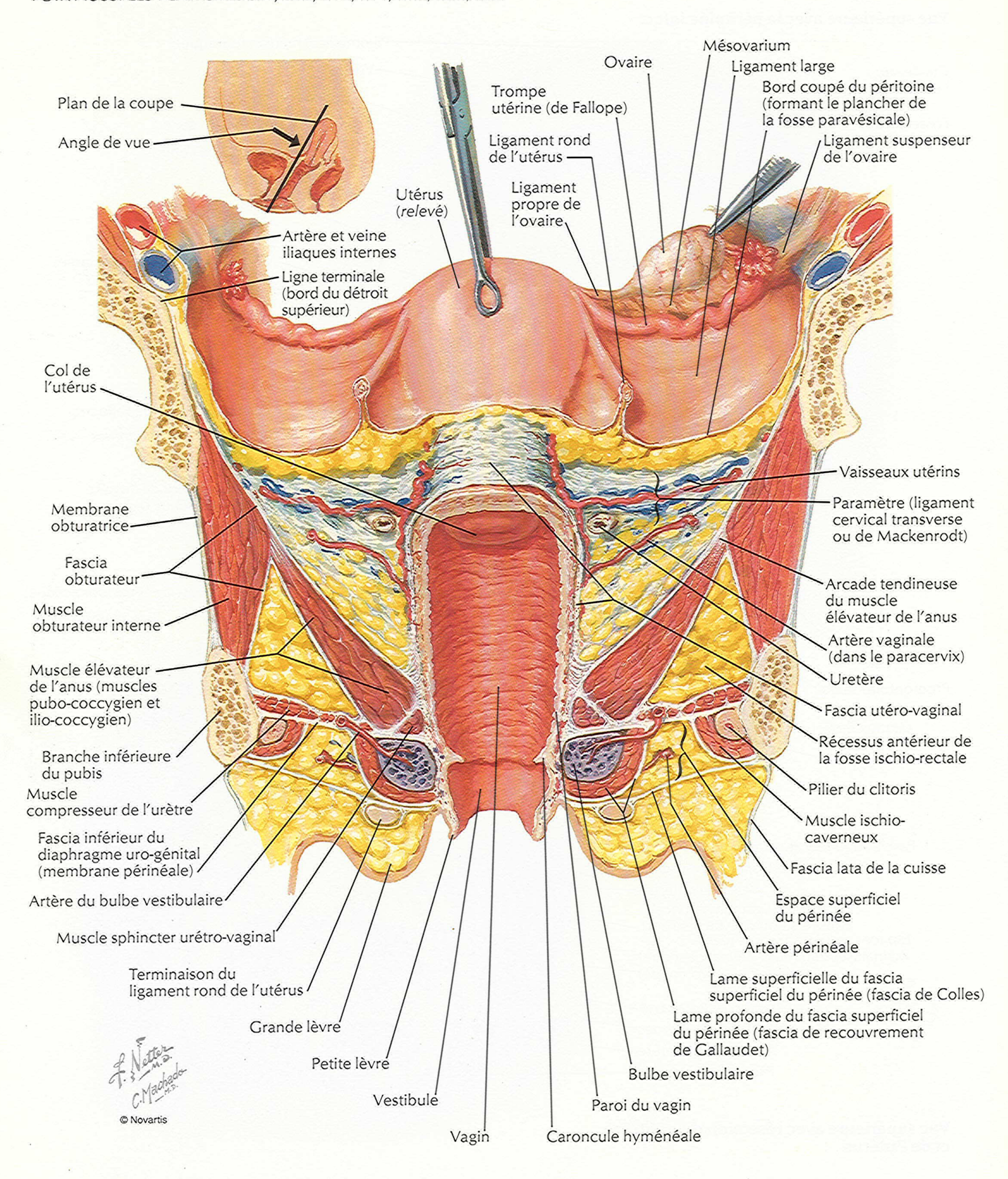
VOIR AUSSI LES PLANCHES 321, 337, 338, 342, 371, 373, 374, 388

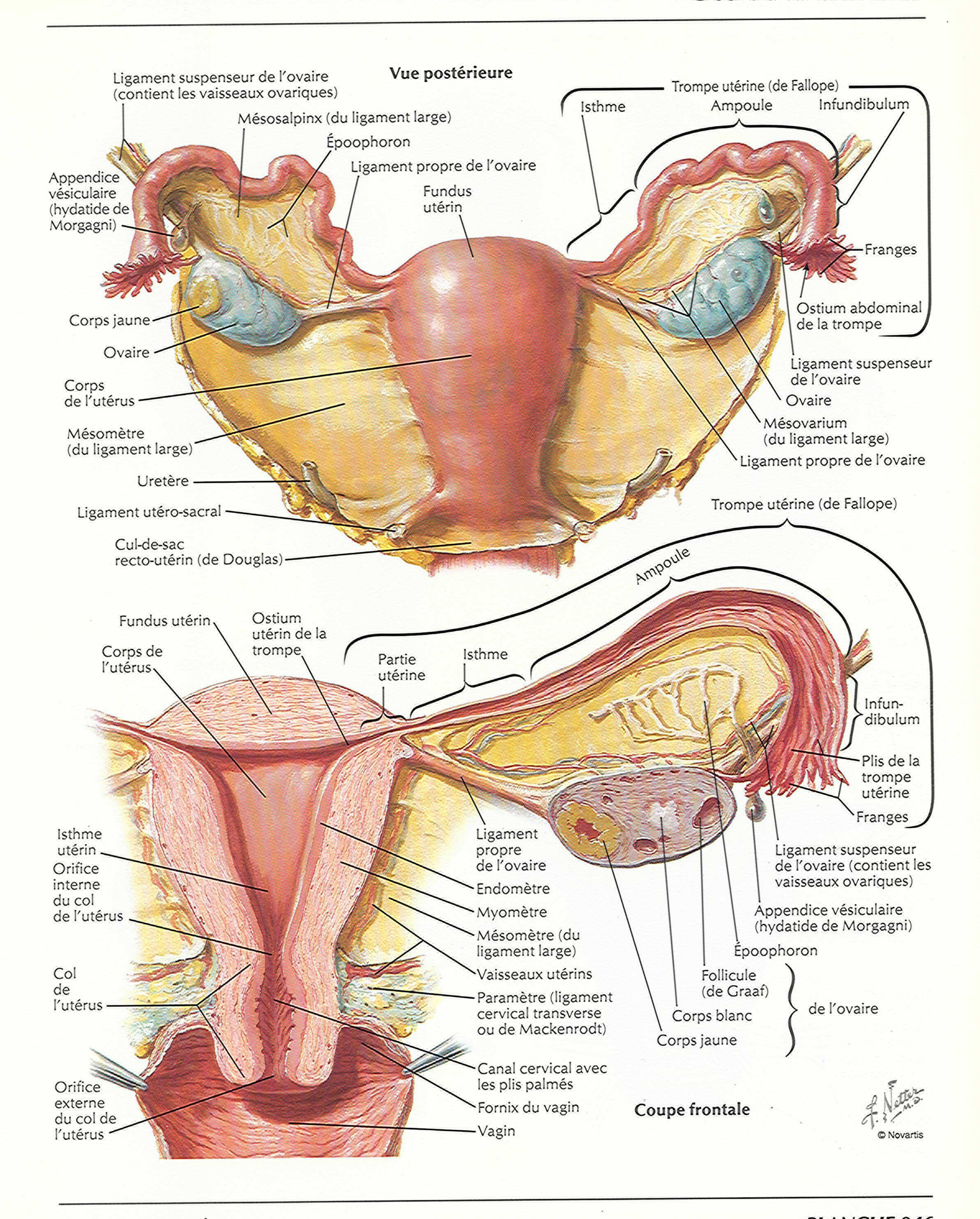



Vue supérieure avec le péritoine intact
Pli ombilical médian (ouraque)
Vessie
Fundus utérin
Anneau inguinal profond
Ligament rond de l'utérus
Corps utérin
Ligament large
Ligament propre de l'ovaire
Mésosalpinx (du ligament large)
Col de l'utérus
Ovaire
Cul-de-sac recto-utérin (de Douglas)
Pli recto-utérin
Trompe utérine (de Fallope)
Vaisseaux iliaques externes
Fosse para-rectale
Ligament suspenseur de l'ovaire (contient les vaisseaux ovariques)
Pli urétérique
Cul-de-sac vésico-utérin
Fosse para-vésicale
Côlon sigmoïde
Promontoire sacral
Vaisseaux sacraux moyens
Aorte abdominale
Vessie
Fascia vésical (bord coupé)
Fascia obturateur
Canal obturateur
Artère obturatrice
Fascia supérieur du diaphragme pelvien
Col de l'utérus et fascia utéro-vaginal
Vaisseaux utérins
Paracervix (ligament cervical transverse ou de Mackenrodt)
Espaces recto-cervical et recto-vaginal (septum recto-vaginal disséqué)
Fascia rectal (bord coupé)
Ligament utéro-sacral
Vaisseaux iliaques externes
Uretère
Promontoire sacral
F. Netter M.D.
© Novartis
Vue supérieure avec résection du péritoine et de l'utérus

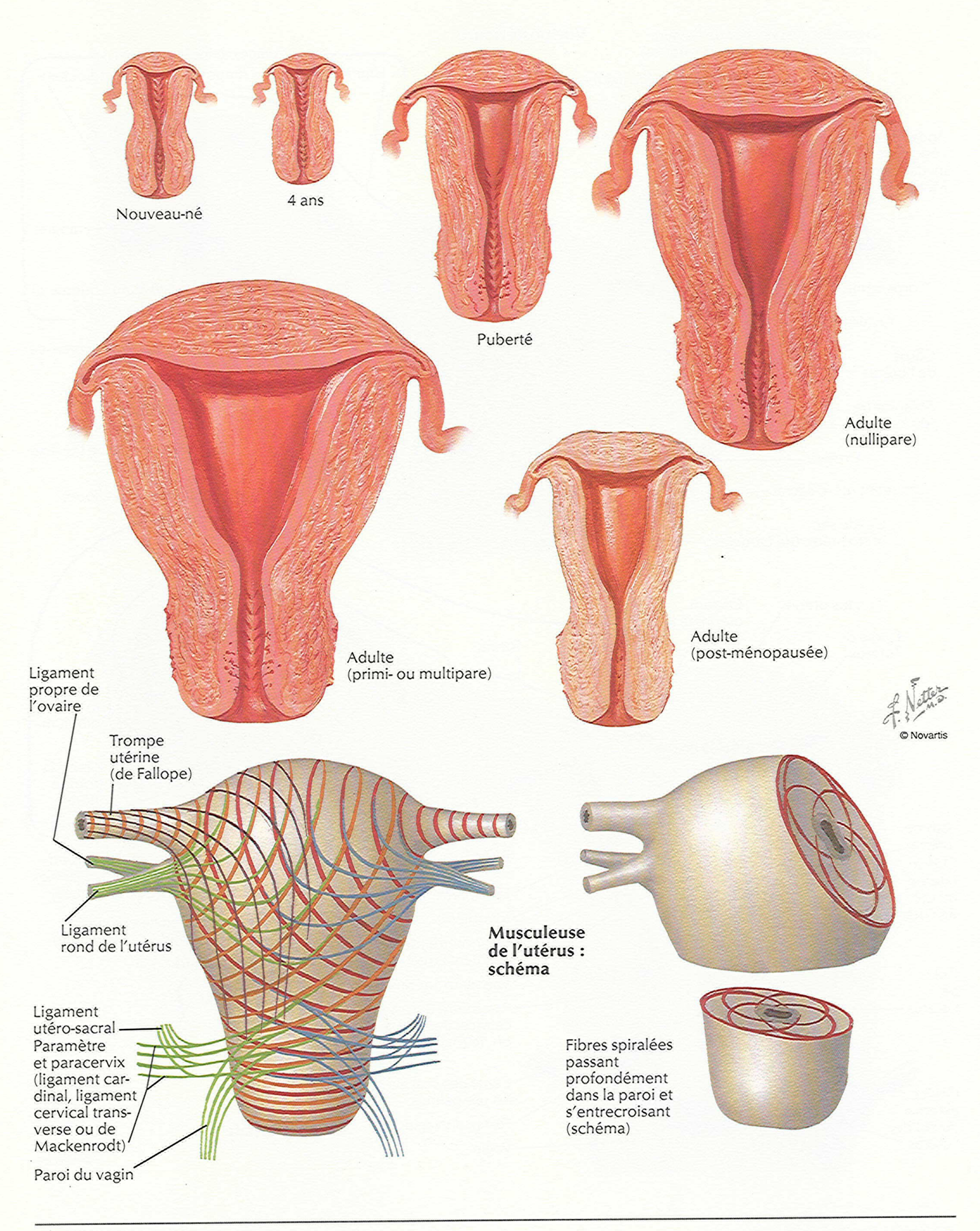
Utérus, vagin et moyens de fixité

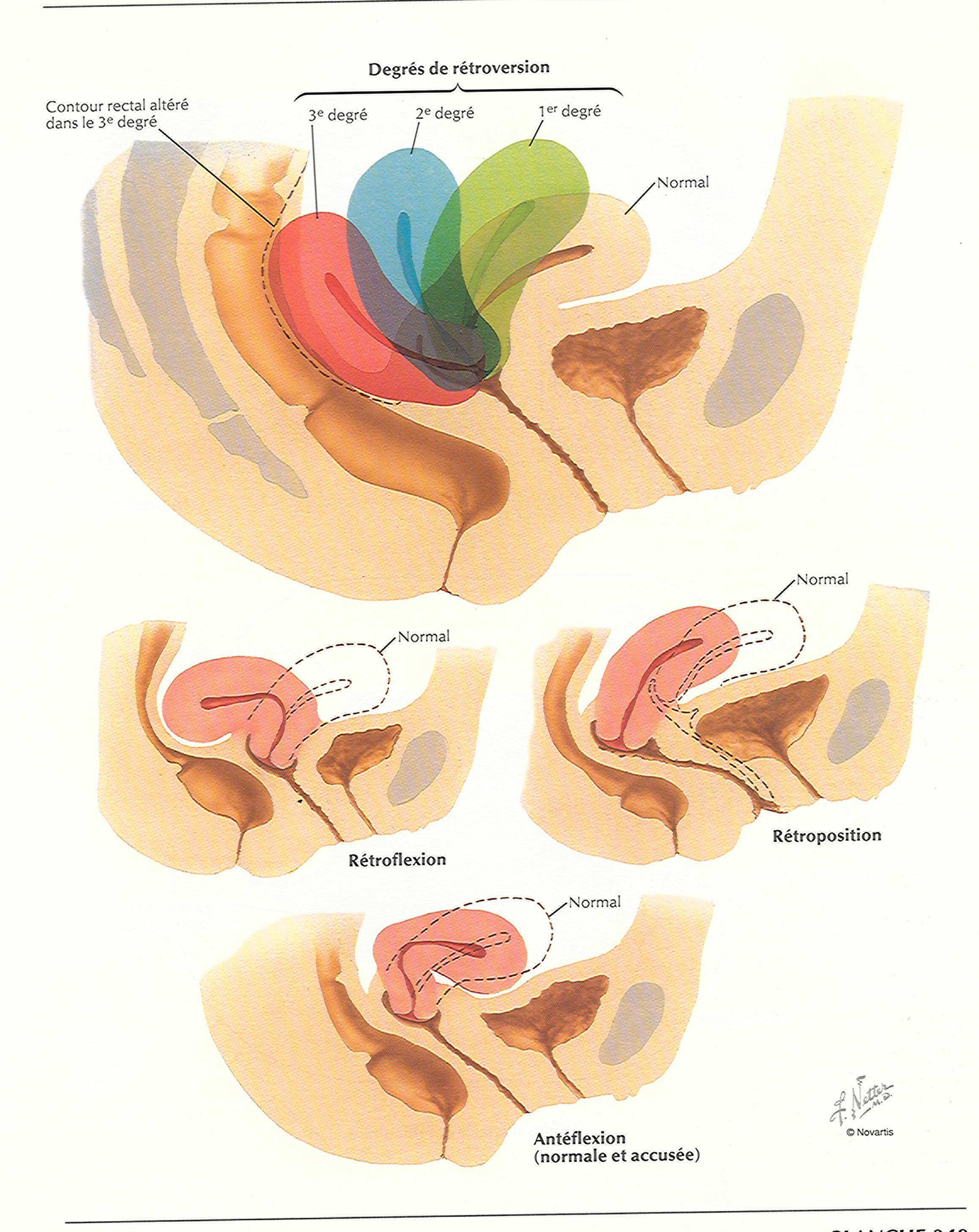
VOIR AUSSI LES PLANCHES 371, 373, 375, 377, 383, 385, 386

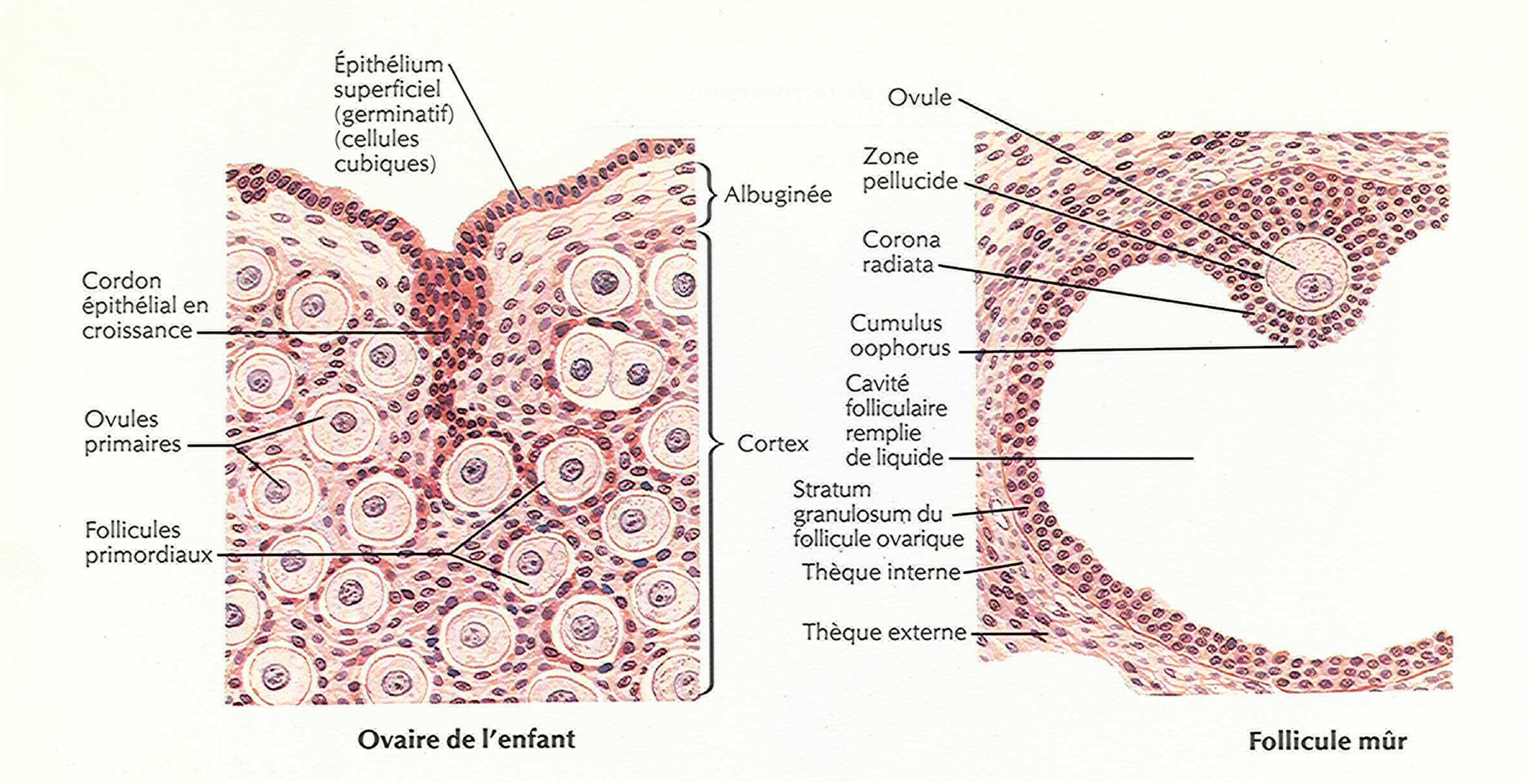



Vue postérieure
Ligament suspenseur de l'ovaire (contient les vaisseaux ovariques)
Mésosalpinx (du ligament large)
Époophoron
Ligament propre de l'ovaire
Fundus utérin
Appendice vésiculaire (hydatide de Morgagni)
Corps jaune
Ovaire
Corps de l'utérus
Mésomètre (du ligament large)
Uretère
Ligament utéro-sacral
Cul-de-sac recto-utérin (de Douglas)
Trompe utérine (de Fallope)
Isthme
Ampoule
Infundibulum
Franges
Ostium abdominal de la trompe
Ligament suspenseur de l'ovaire
Ovaire
Mésovarium (du ligament large)
Ligament propre de l'ovaire
Trompe utérine (de Fallope)
Ampoule
Fundus utérin
Ostium utérin de la trompe
Corps de l'utérus
Partie utérine
Isthme
Infun-dibulum
Plis de la trompe utérine
Franges
Ligament propre de l'ovaire
Ligament suspenseur de l'ovaire (contient les vaisseaux ovariques)
Appendice vésiculaire (hydatide de Morgagni)
Époophoron
Isthme utérin
Orifice interne du col de l'utérus
Endomètre
Myomètre
Mésomètre (du ligament large)
Vaisseaux utérins
Col de l'utérus
Paramètre (ligament cervical transverse ou de Mackenrodt)
Follicule (de Graaf)
Corps blanc
Corps jaune
de l'ovaire
Canal cervical avec les plis palmés
Orifice externe du col de l'utérus
Fornix du vagin
Vagin
Coupe frontale
F. Netter M.D.
© Novartis

Utérus : modifications selon les âges et structure du myomètre




Degrés de rétroversion
Contour rectal altéré dans le 3e degré
3e degré
2e degré
1er degré
Normal
Normal
Rétroflexion
Normal
Rétroposition
Normal
Antéflexion (normale et accusée)
© Novartis



Ovaire de l'enfant

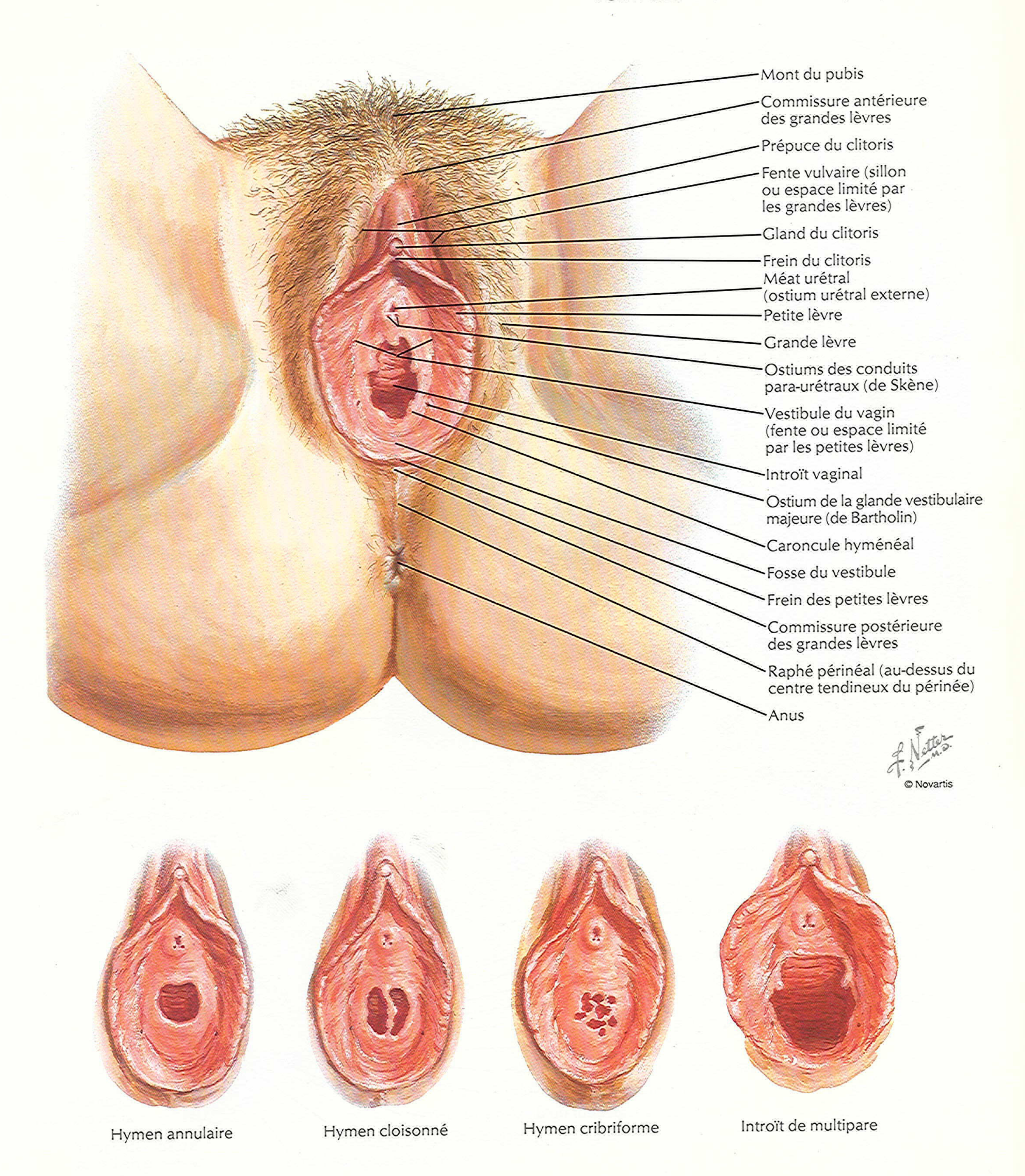
Follicule mûr

Follicule primaire
Cordon épithélial en croissance
Follicule primordial
Follicules en développement
Épithélium superficiel (germinatif) (cellules cubiques)
Vaisseaux sanguins entrant dans l'ovaire
Follicule mûr (de Graaf)
Corps blanc
Follicule rompu (corps hémorragique)
Ovule expulsé
Corps jaune mûr
Fibrine
Caillot sanguin
Cellules lutéales
Corps jaune débutant
F. Netter M.D.

Stades ovulaire et folliculaire

Périnée et organes génitaux externes féminins (vulve ou pudendum)

VOIR AUSSI LES PLANCHES 375, 377, 378, 384



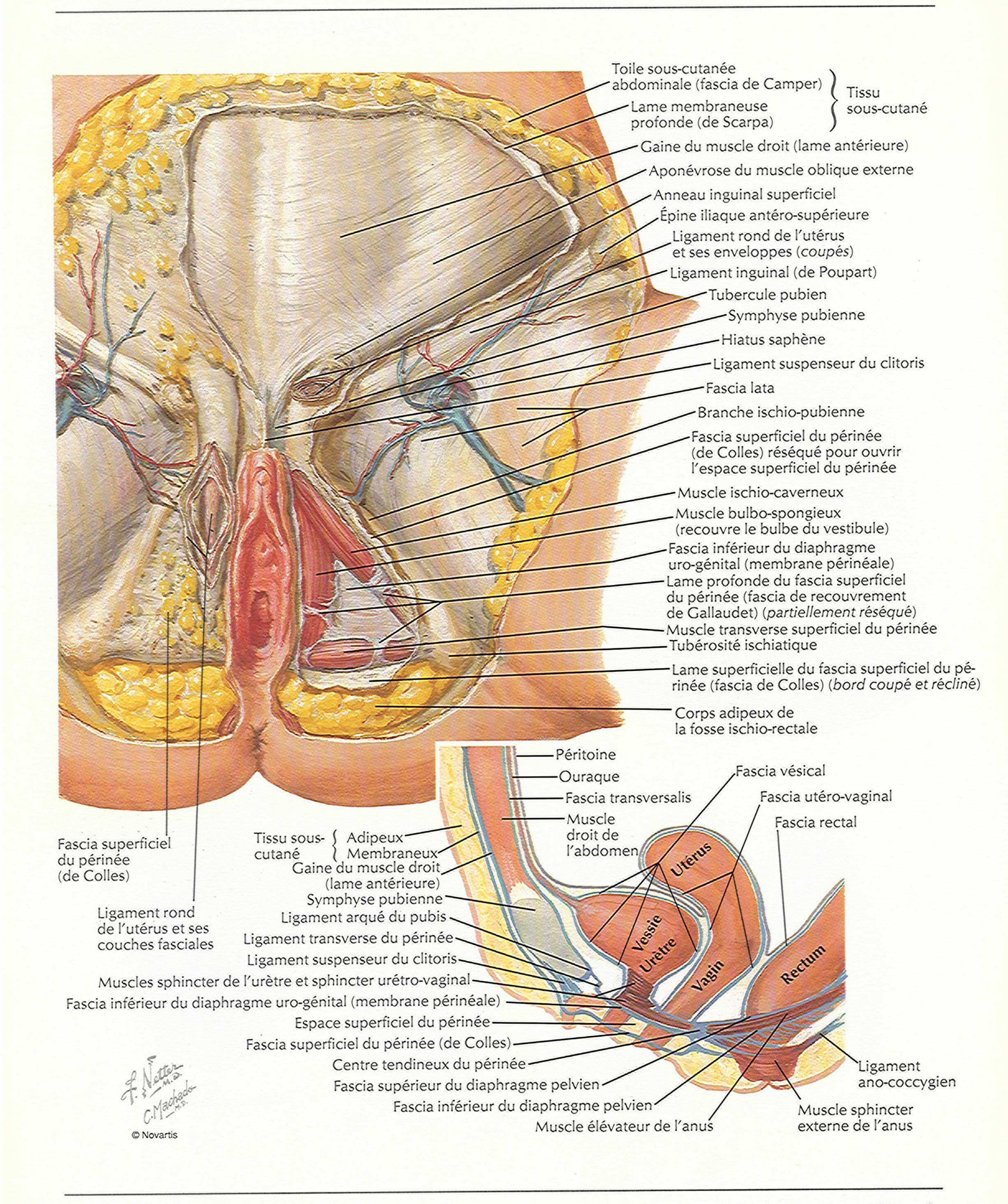
Hymen annulaire

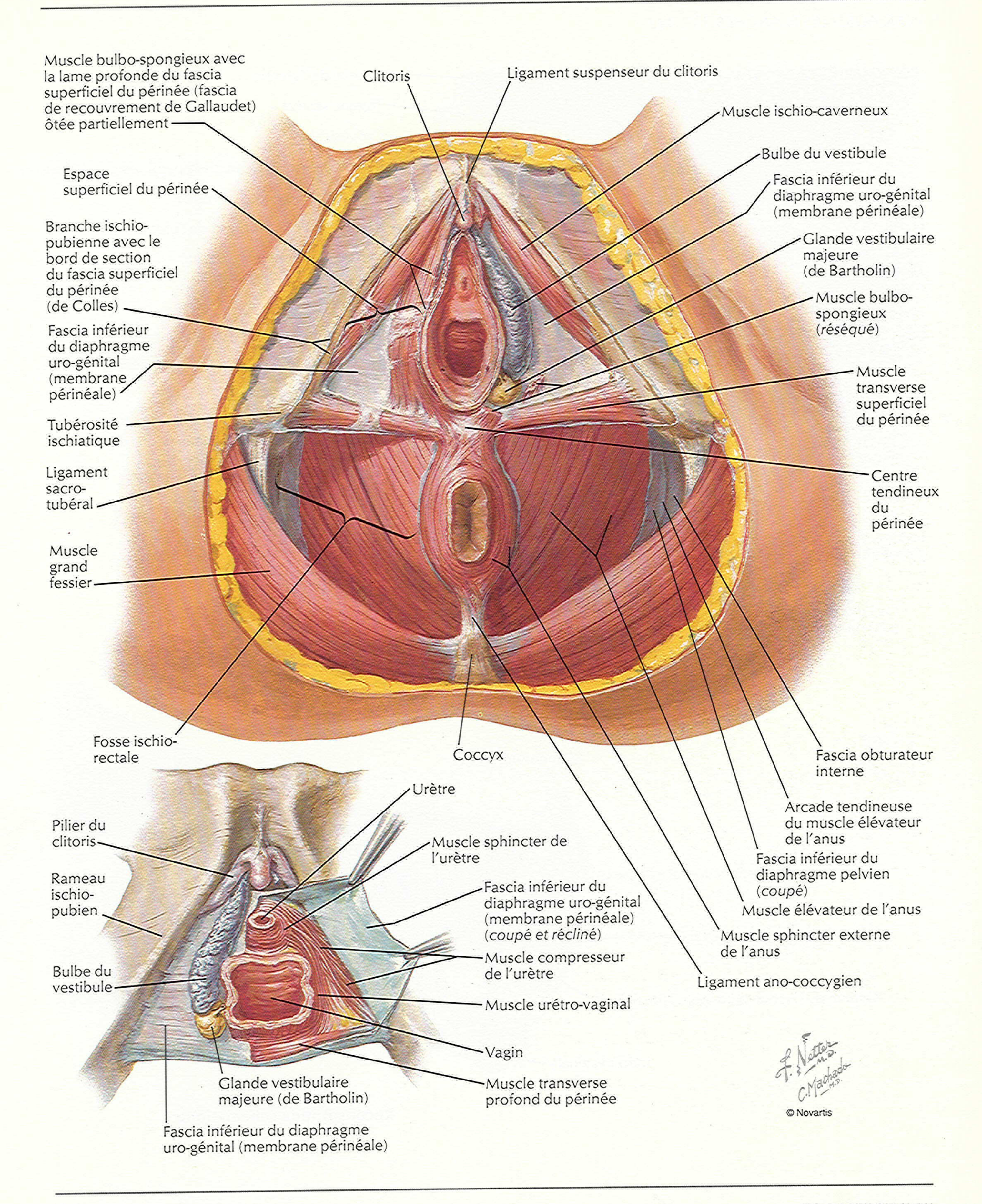
Hymen cloisonné

Hymen cribriforme

Introït de multipare

Périnée (dissection superficielle)



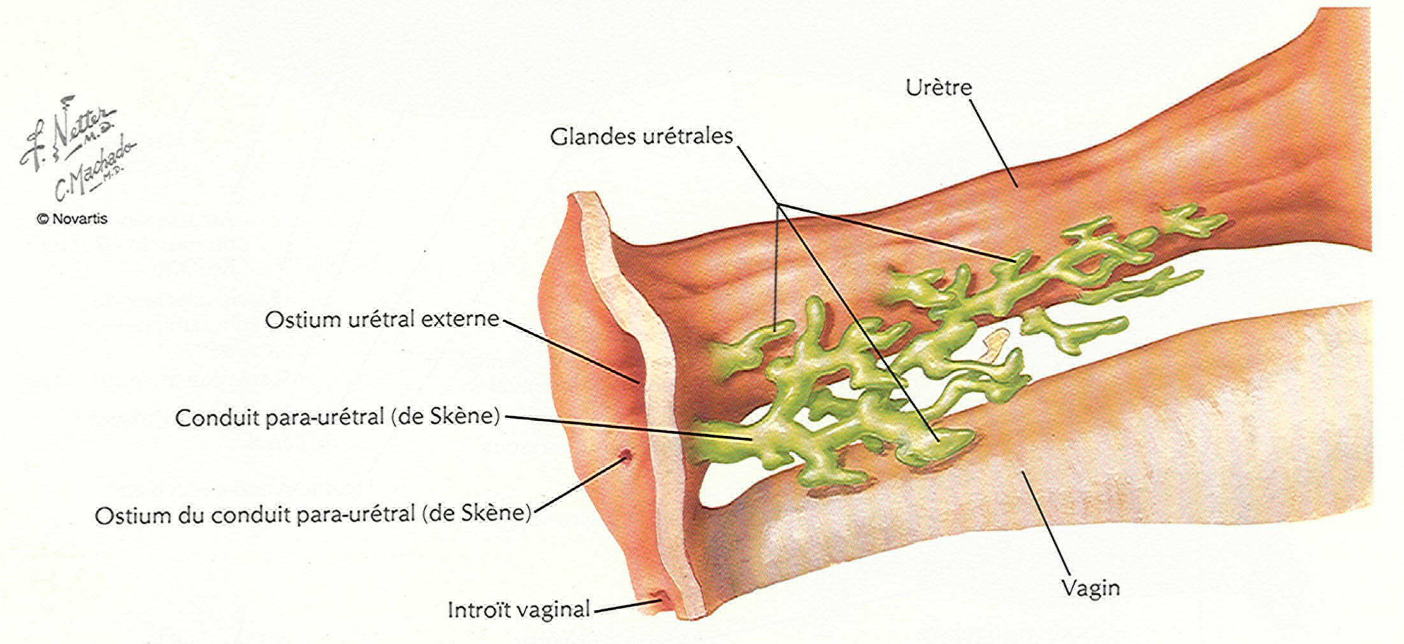

Muscle bulbo-spongieux avec la lame profonde du fascia superficiel du périnée (fascia de recouvrement de Gallaudet) ôtée partiellement
Clitoris
Ligament suspenseur du clitoris
Muscle ischio-caverneux
Bulbe du vestibule
Fascia inférieur du diaphragme uro-génital (membrane périnéale)
Glande vestibulaire majeure (de Bartholin)
Muscle bulbo-spongieux (*réséqué*)
Espace superficiel du périnée
Branche ischio-pubienne avec le bord de section du fascia superficiel du périnée (de Colles)
Fascia inférieur du diaphragme uro-génital (membrane périnéale)
Tubérosité ischiatique
Ligament sacro-tubéral
Muscle grand fessier
Muscle transverse superficiel du périnée
Centre tendineux du périnée
Fosse ischio-rectale
Coccyx
Fascia obturateur interne
Arcade tendineuse du muscle élévateur de l'anus
Fascia inférieur du diaphragme pelvien (*coupé*)
Muscle élévateur de l'anus
Muscle sphincter externe de l'anus
Ligament ano-coccygien
Urètre
Pilier du clitoris
Rameau ischio-pubien
Bulbe du vestibule
Muscle sphincter de l'urètre
Fascia inférieur du diaphragme uro-génital (membrane périnéale) (*coupé et récliné*)
Muscle compresseur de l'urètre
Muscle urétro-vaginal
Vagin
Muscle transverse profond du périnée
Glande vestibulaire majeure (de Bartholin)
Fascia inférieur du diaphragme uro-génital (membrane périnéale)
F. Netter M.D.
C. Machado M.D.
© Novartis

Urètre

VOIR AUSSI LES PLANCHES 337, 342

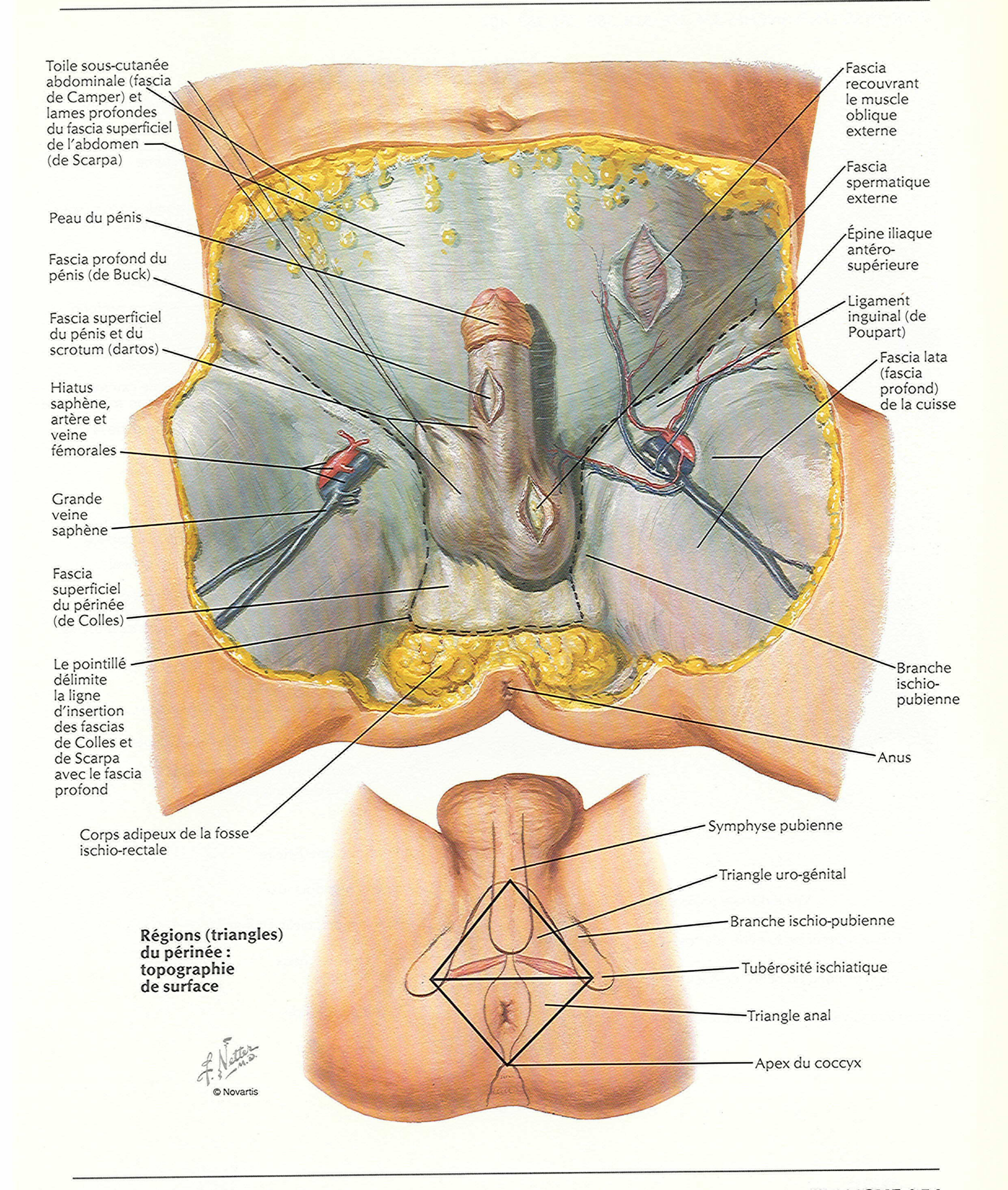
Ostium de l'uretère
Trigone vésical
Col vésical
Muscle lisse intrinsèque de la paroi vésicale (détrusor)
Muscle sphincter du col vésical
Plexus veineux caverneux de l'urètre
Muscle élévateur de l'anus et
Expansion fibro-musculaire
Urètre
Muscle sphincter de l'urètre
Fascia inférieur du diaphragme uro-génital (membrane périnéale)
Bulbe du vestibule
Muscle bulbo-spongieux et lame profonde du fascia superficiel du périnée (fascia de recouvrement de Gallaudet)
Ligament rond de l'utérus (partie terminale)
Fascia superficiel du périnée (de Colles)
Grande lèvre
Petite lèvre
Lacunes et ostiums des glandes urétrales
Ostiums des conduits para-urétraux (de Skène)

Coupe frontale



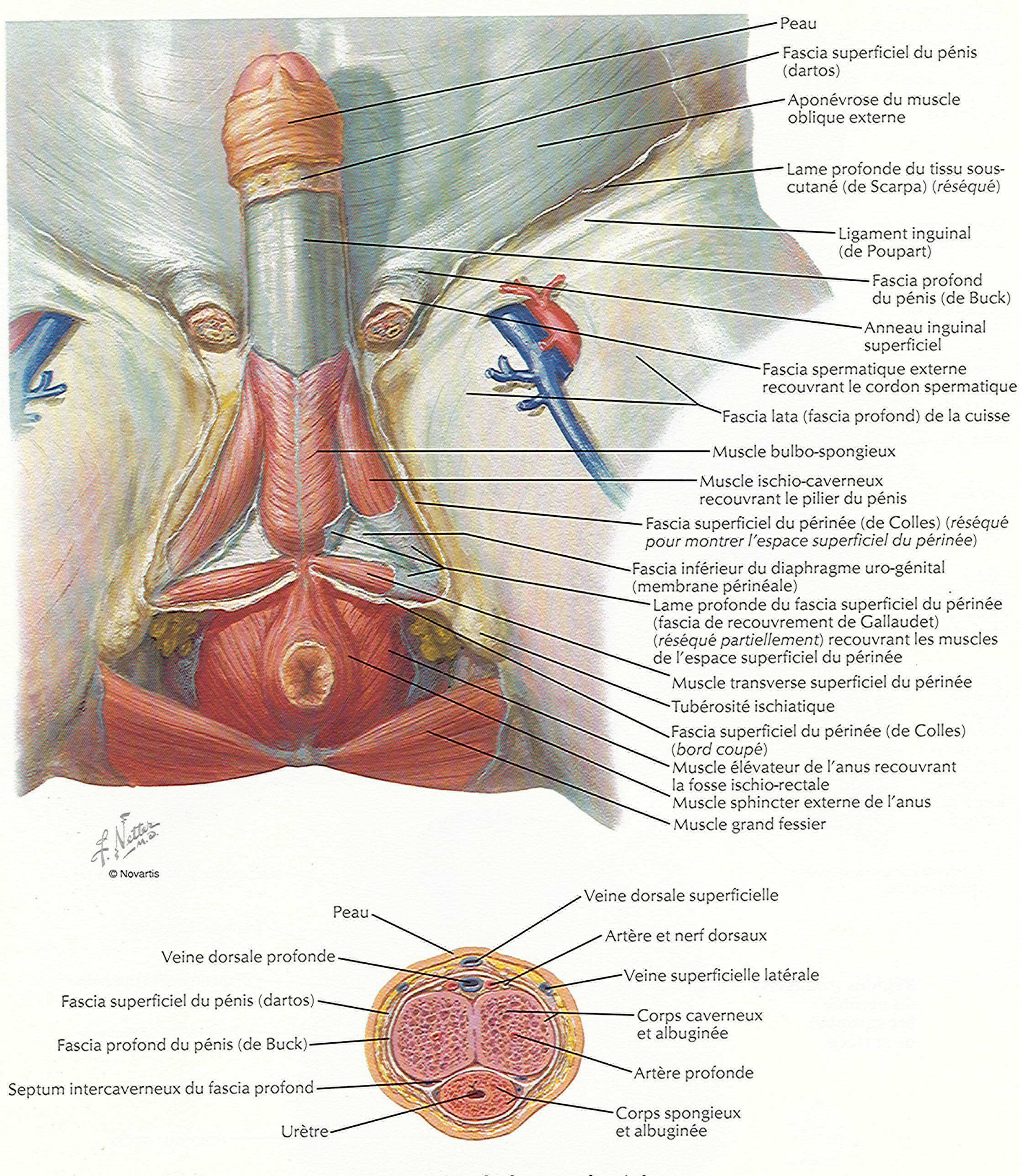
Reconstitution schématique

Périnée et organes génitaux externes (dissection superficielle)

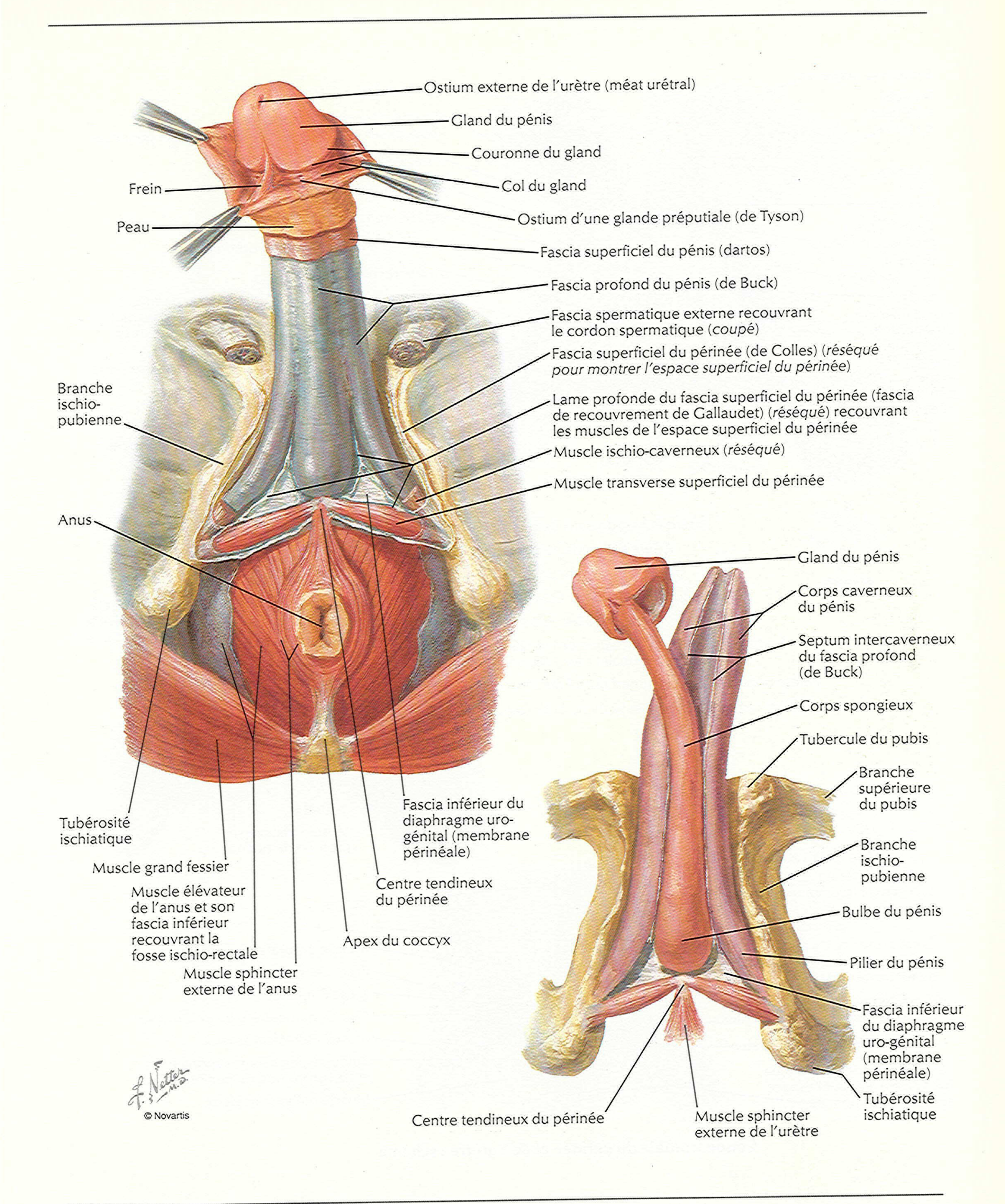


Périnée et organes génitaux externes (dissection profonde)

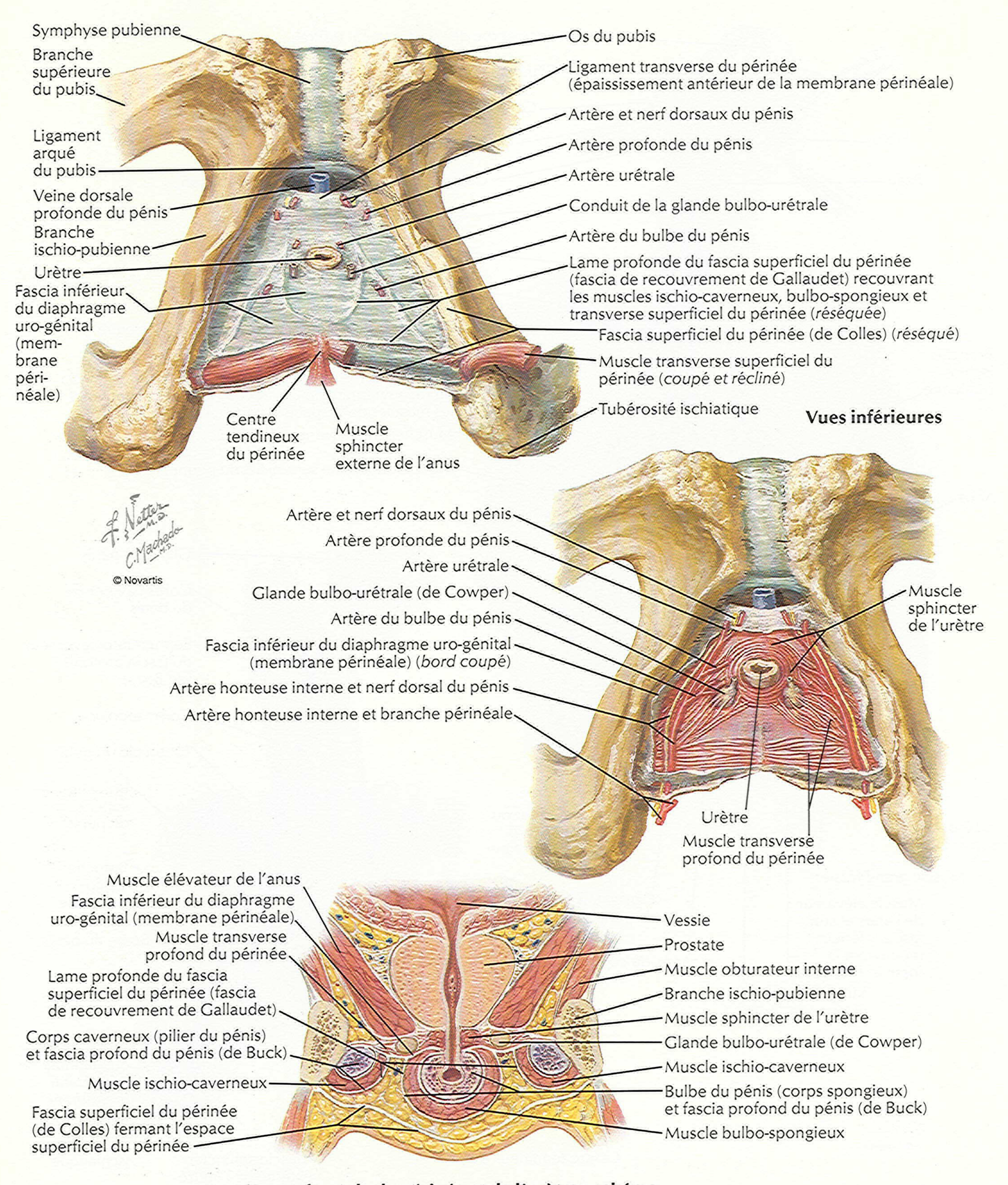
VOIR AUSSI LES PLANCHES 374, 376, 379, 380, 381, 382, 387



Coupe transversale du corps du pénis

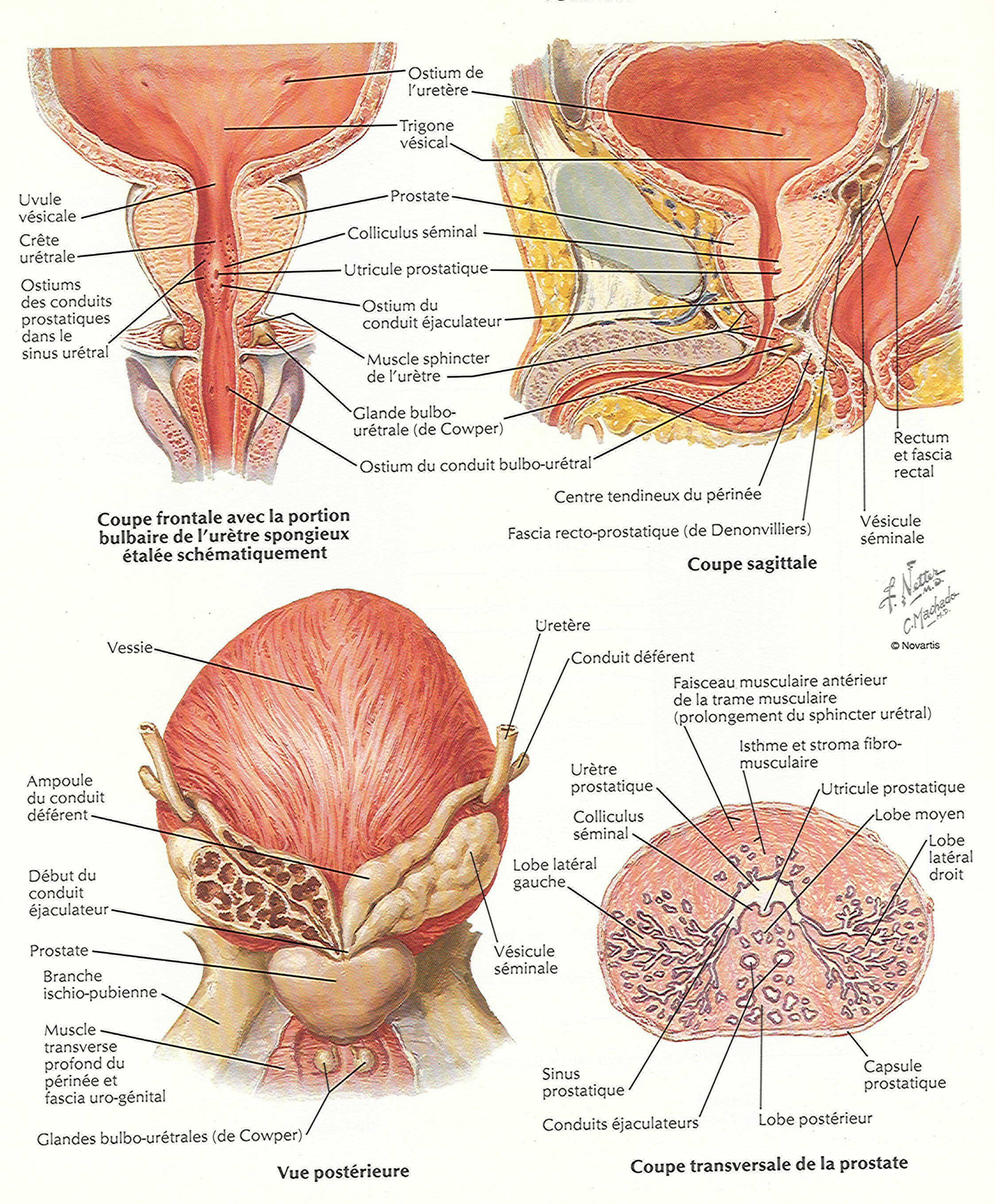


Ostium externe de l'urètre (méat urétral)
Gland du pénis
Couronne du gland
Col du gland
Frein
Ostium d'une glande préputiale (de Tyson)
Peau
Fascia superficiel du pénis (dartos)
Fascia profond du pénis (de Buck)
Fascia spermatique externe recouvrant le cordon spermatique (*coupé*)
Fascia superficiel du périnée (de Colles) (*réséqué pour montrer l'espace superficiel du périnée*)
Branche ischio-pubienne
Lame profonde du fascia superficiel du périnée (fascia de recouvrement de Gallaudet) (*réséqué*) recouvrant les muscles de l'espace superficiel du périnée
Muscle ischio-caverneux (*réséqué*)
Muscle transverse superficiel du périnée
Anus
Gland du pénis
Corps caverneux du pénis
Septum intercaverneux du fascia profond (de Buck)
Corps spongieux
Tubercule du pubis
Branche supérieure du pubis
Branche ischio-pubienne
Bulbe du pénis
Pilier du pénis
Fascia inférieur du diaphragme uro-génital (membrane périnéale)
Tubérosité ischiatique
Fascia inférieur du diaphragme uro-génital (membrane périnéale)
Tubérosité ischiatique
Muscle grand fessier
Centre tendineux du périnée
Muscle élévateur de l'anus et son fascia inférieur recouvrant la fosse ischio-rectale
Apex du coccyx
Muscle sphincter externe de l'anus
Centre tendineux du périnée
Muscle sphincter externe de l'urètre
F. Netter M.D.



Coupe frontale du périnée et de l'urètre : schéma

VOIR AUSSI LES PLANCHES 338, 340, 343, 374, 381

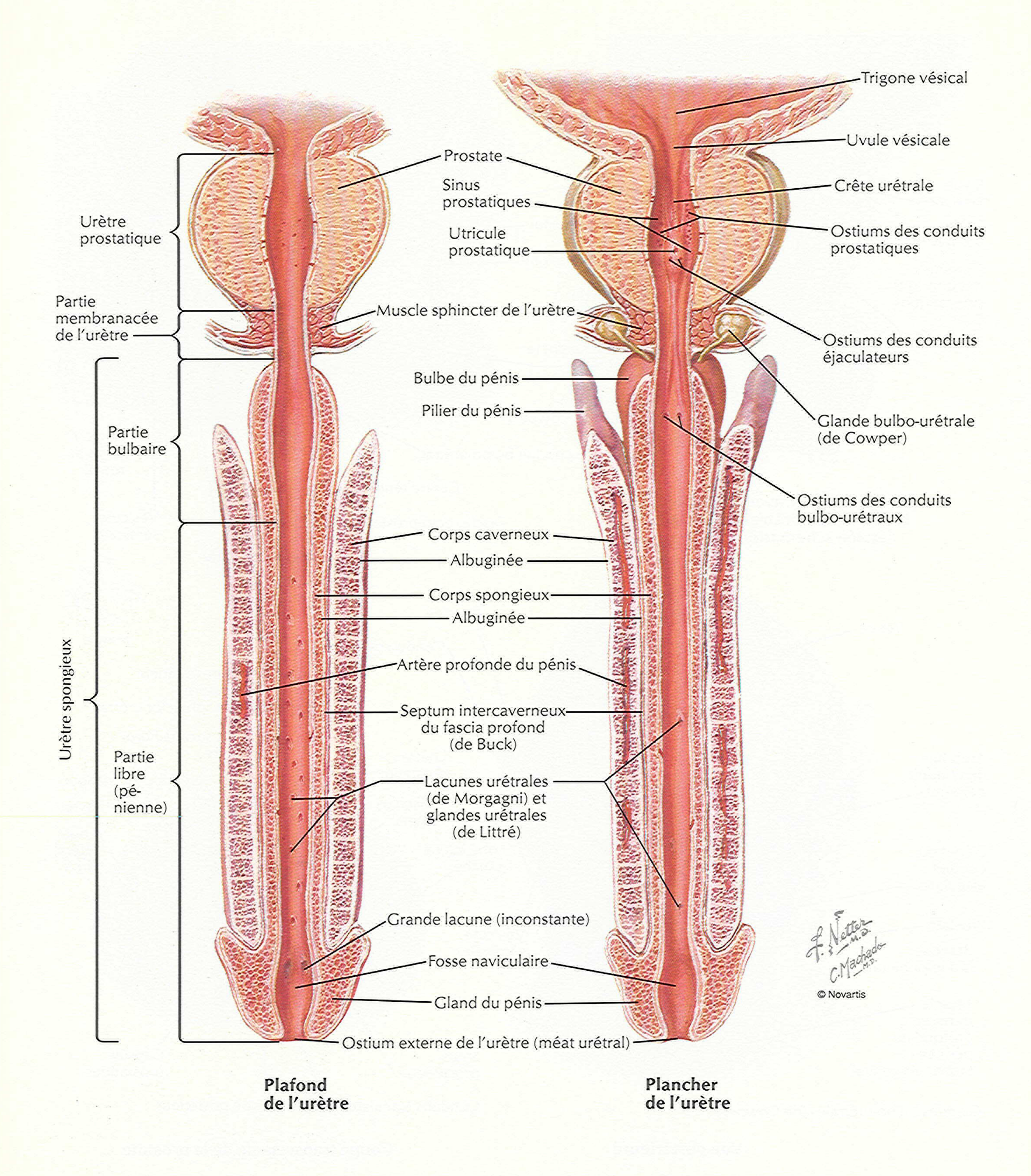


Coupe frontale avec la portion bulbaire de l'urètre spongieux étalée schématiquement

Coupe sagittale

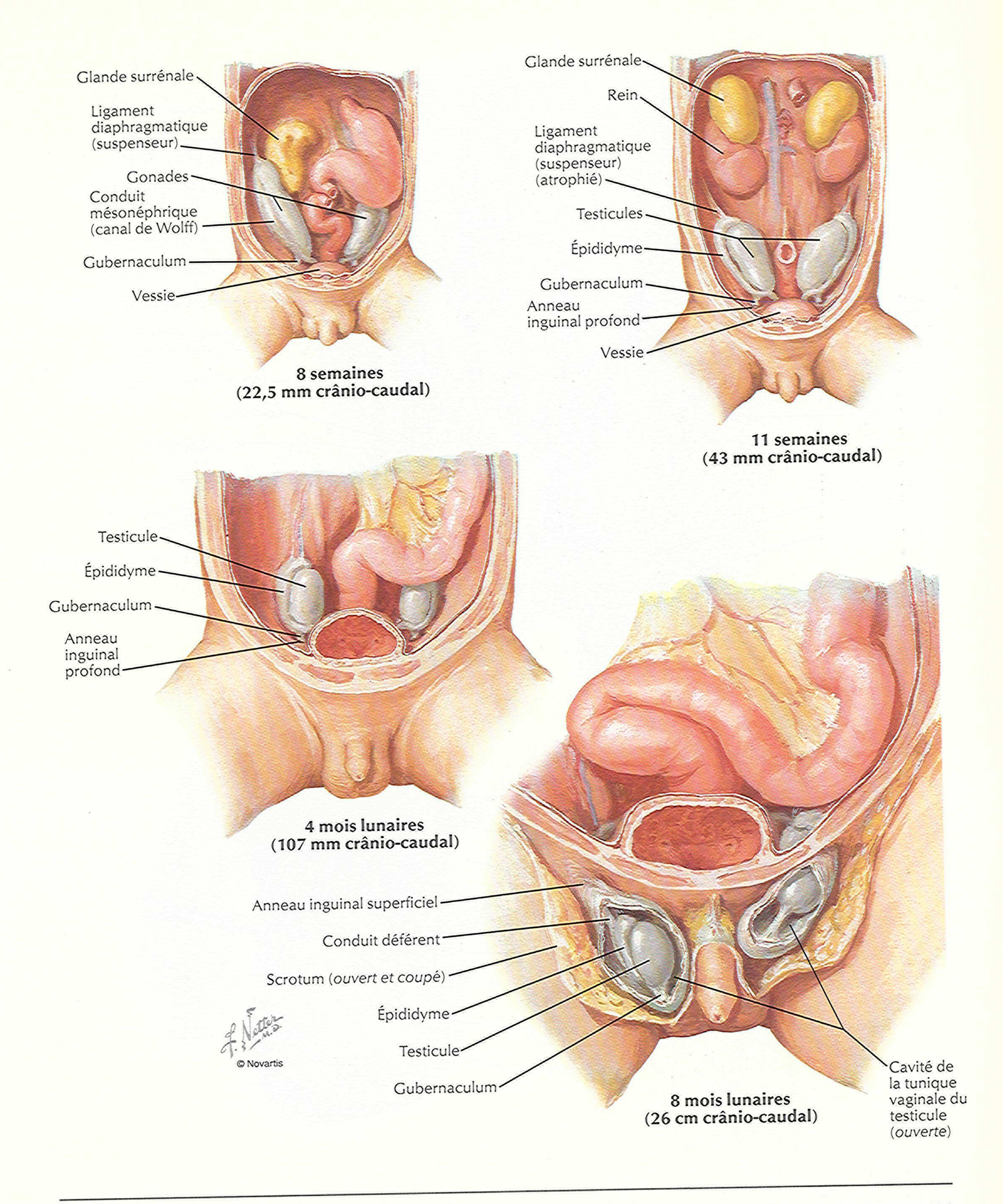
Vue postérieure

Coupe transversale de la prostate



Plafond de l'urètre

Plancher de l'urètre

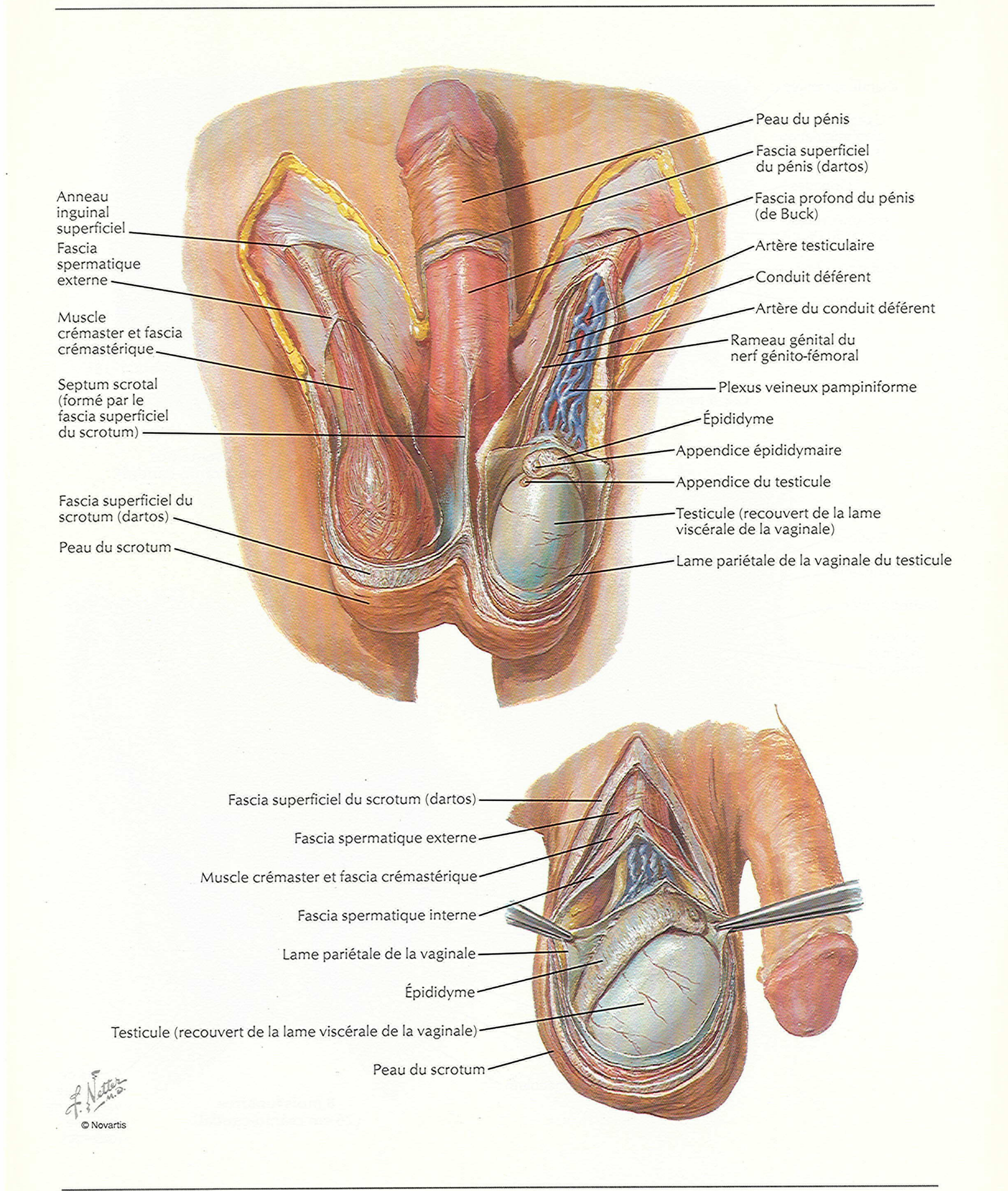


8 semaines
(22,5 mm crânio-caudal)

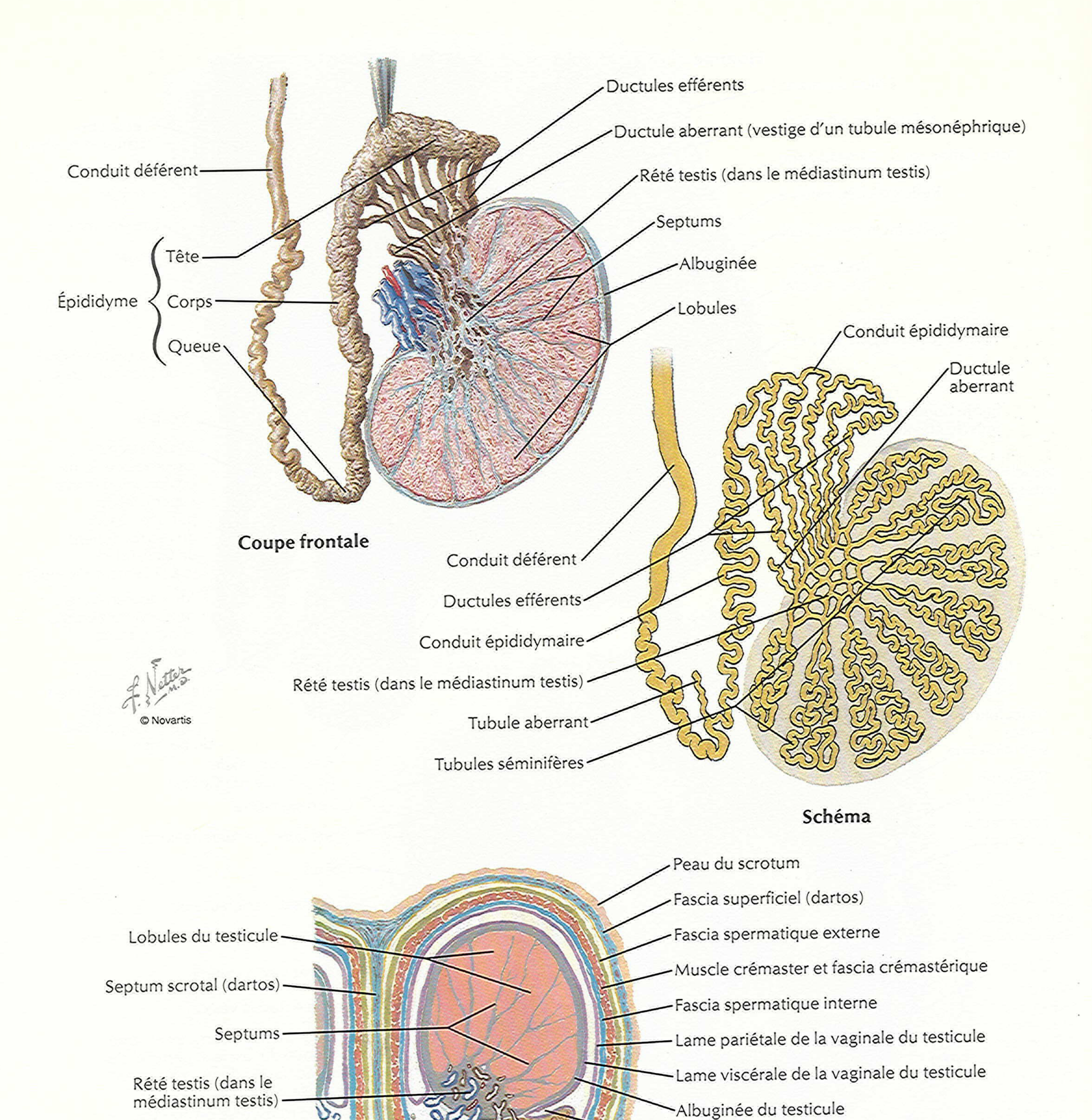
11 semaines
(43 mm crânio-caudal)

4 mois lunaires
(107 mm crânio-caudal)

8 mois lunaires
(26 cm crânio-caudal)


Peau du pénis
Fascia superficiel du pénis (dartos)
Fascia profond du pénis (de Buck)
Artère testiculaire
Conduit déférent
Artère du conduit déférent
Rameau génital du nerf génito-fémoral
Plexus veineux pampiniforme
Épididyme
Appendice épididymaire
Appendice du testicule
Testicule (recouvert de la lame viscérale de la vaginale)
Lame pariétale de la vaginale du testicule
Anneau inguinal superficiel
Fascia spermatique externe
Muscle crémaster et fascia crémastérique
Septum scrotal (formé par le fascia superficiel du scrotum)
Fascia superficiel du scrotum (dartos)
Peau du scrotum
Fascia superficiel du scrotum (dartos)
Fascia spermatique externe
Muscle crémaster et fascia crémastérique
Fascia spermatique interne
Lame pariétale de la vaginale
Épididyme
Testicule (recouvert de la lame viscérale de la vaginale)
Peau du scrotum
F. Netter M.D.

Testicule, épididyme et conduit déférent

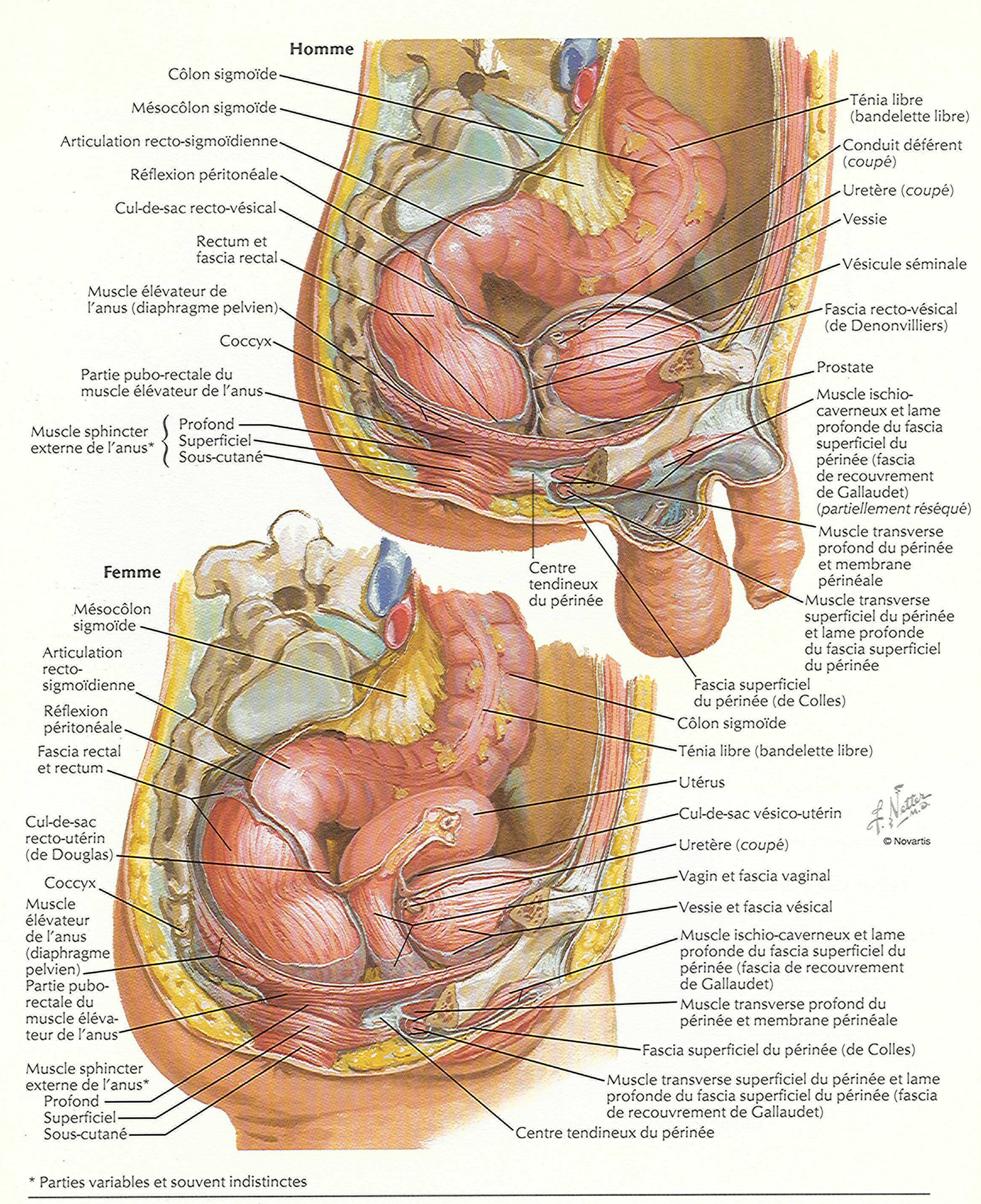


Coupe frontale

Schéma

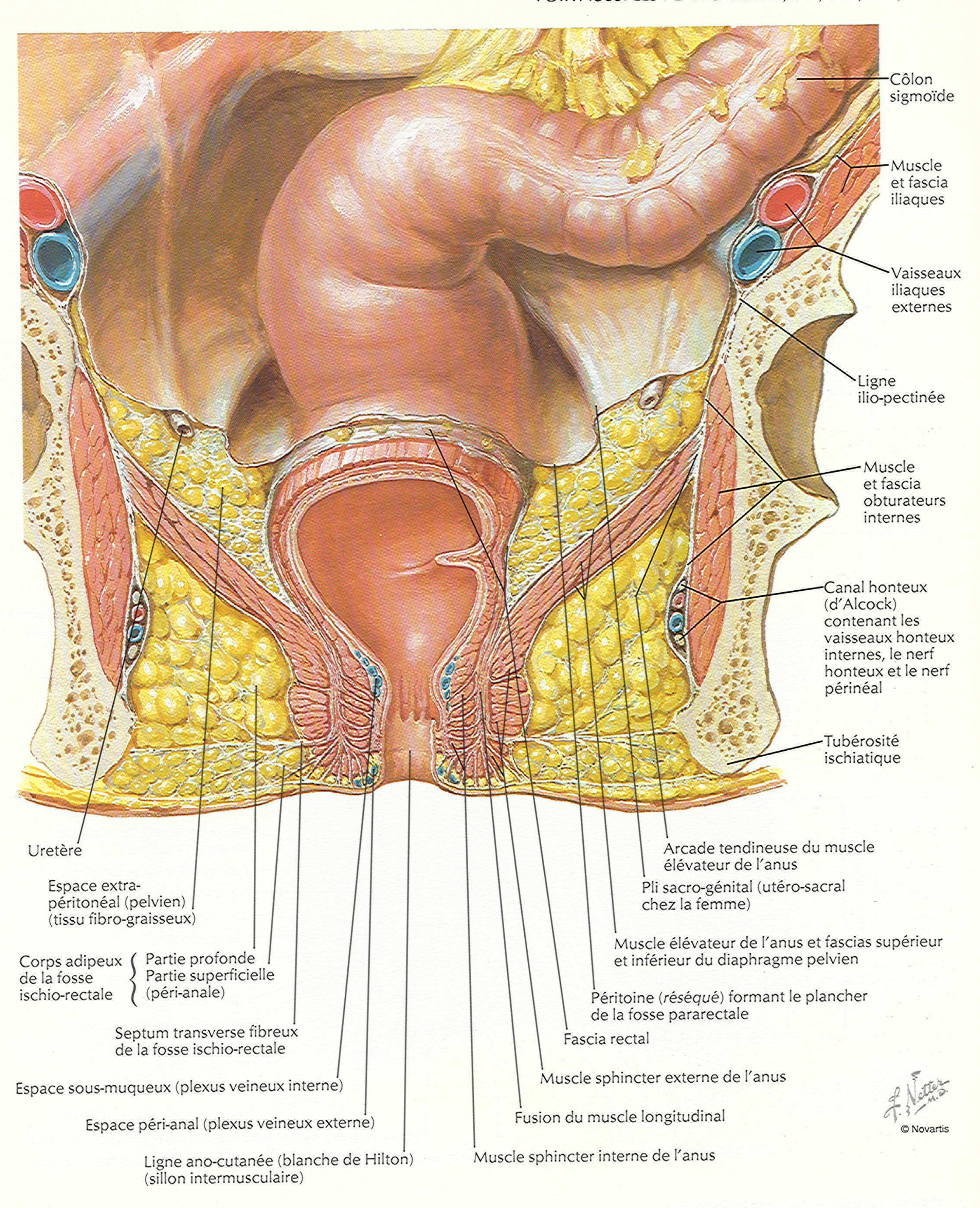
Coupe transversale du scrotum et du testicule

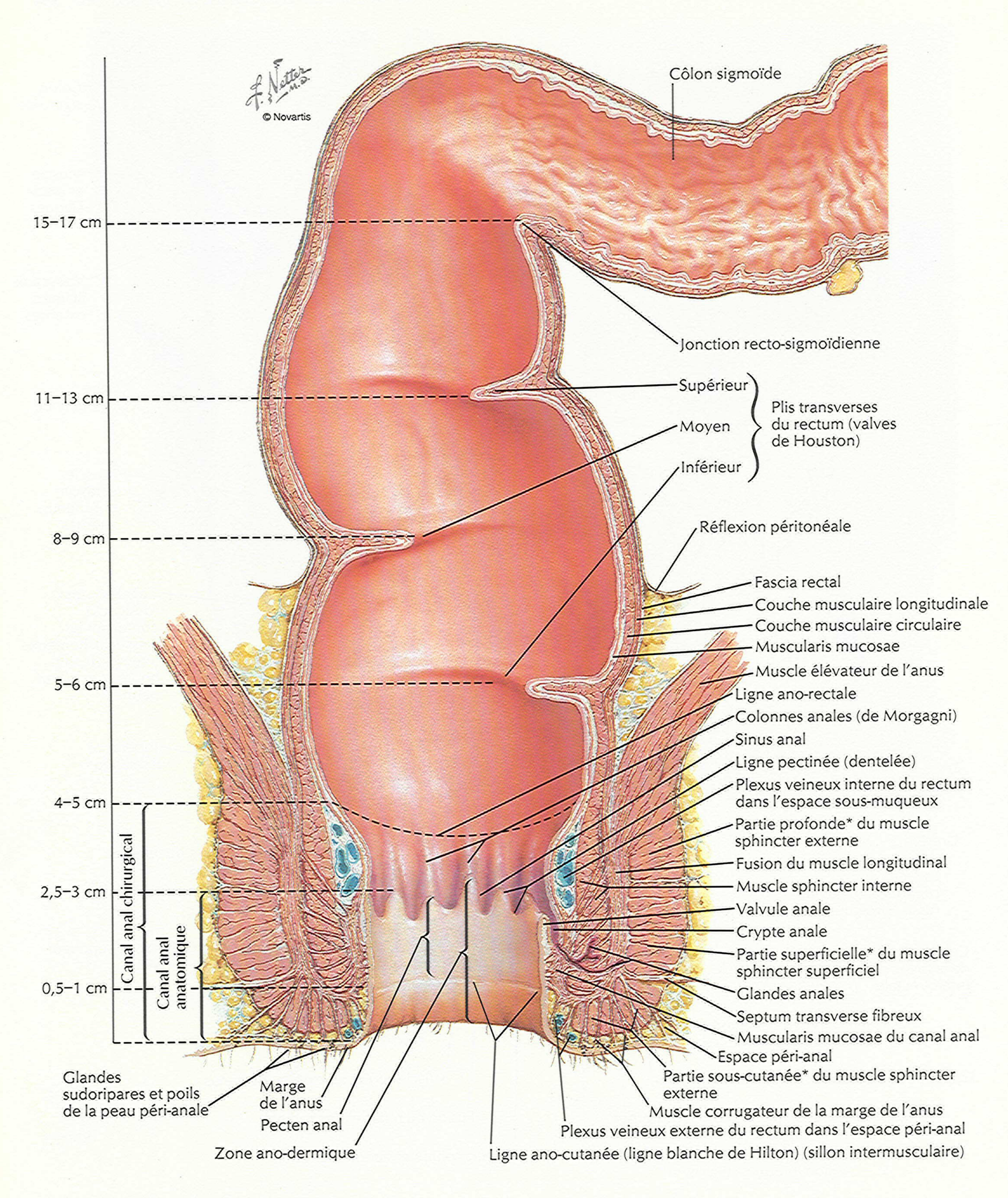
Rectum in situ : homme et femme



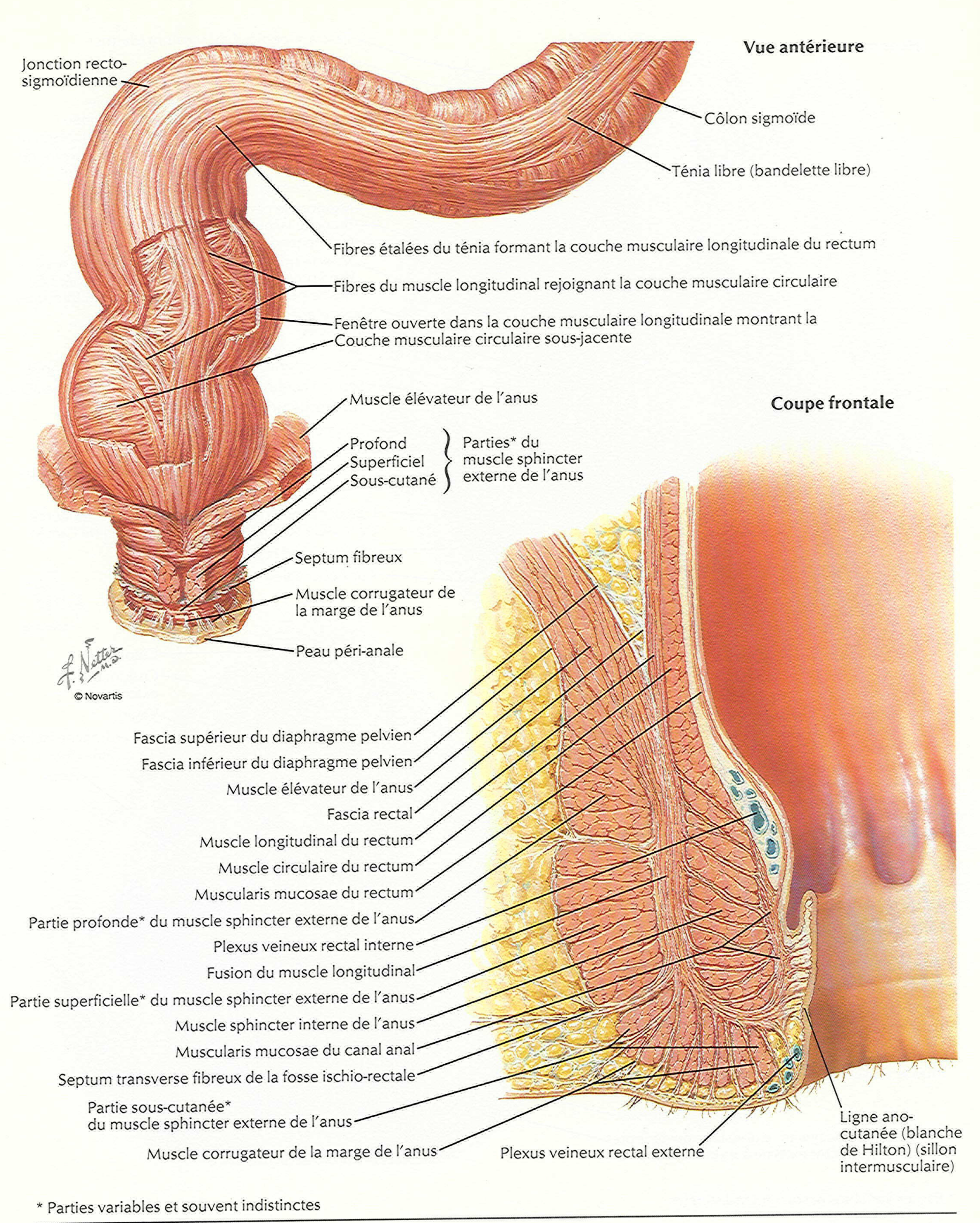
* Parties variables et souvent indistinctes

VOIR AUSSI LES PLANCHES 297, 381, 382, 383, 384



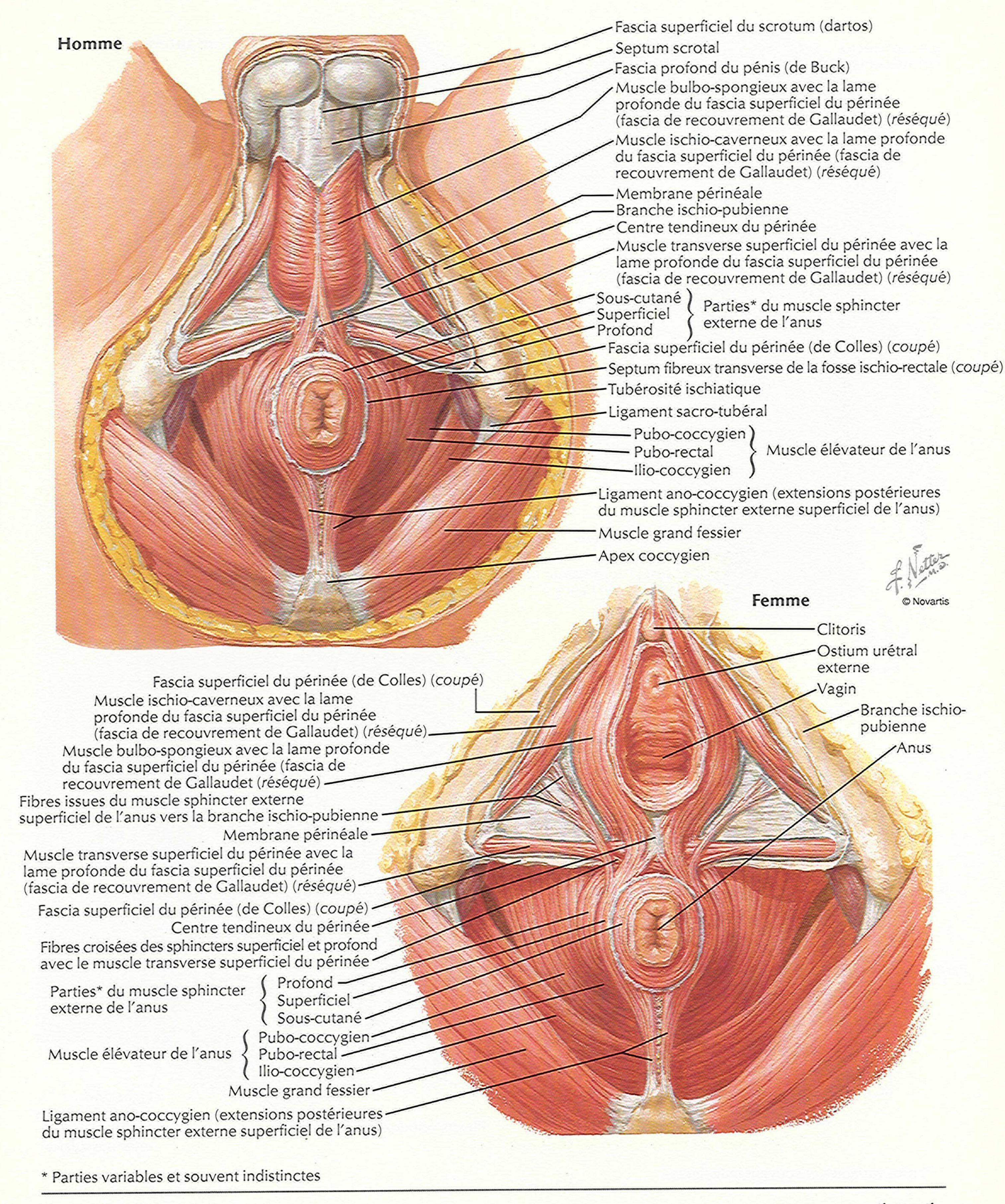


* Parties variables et souvent indistinctes

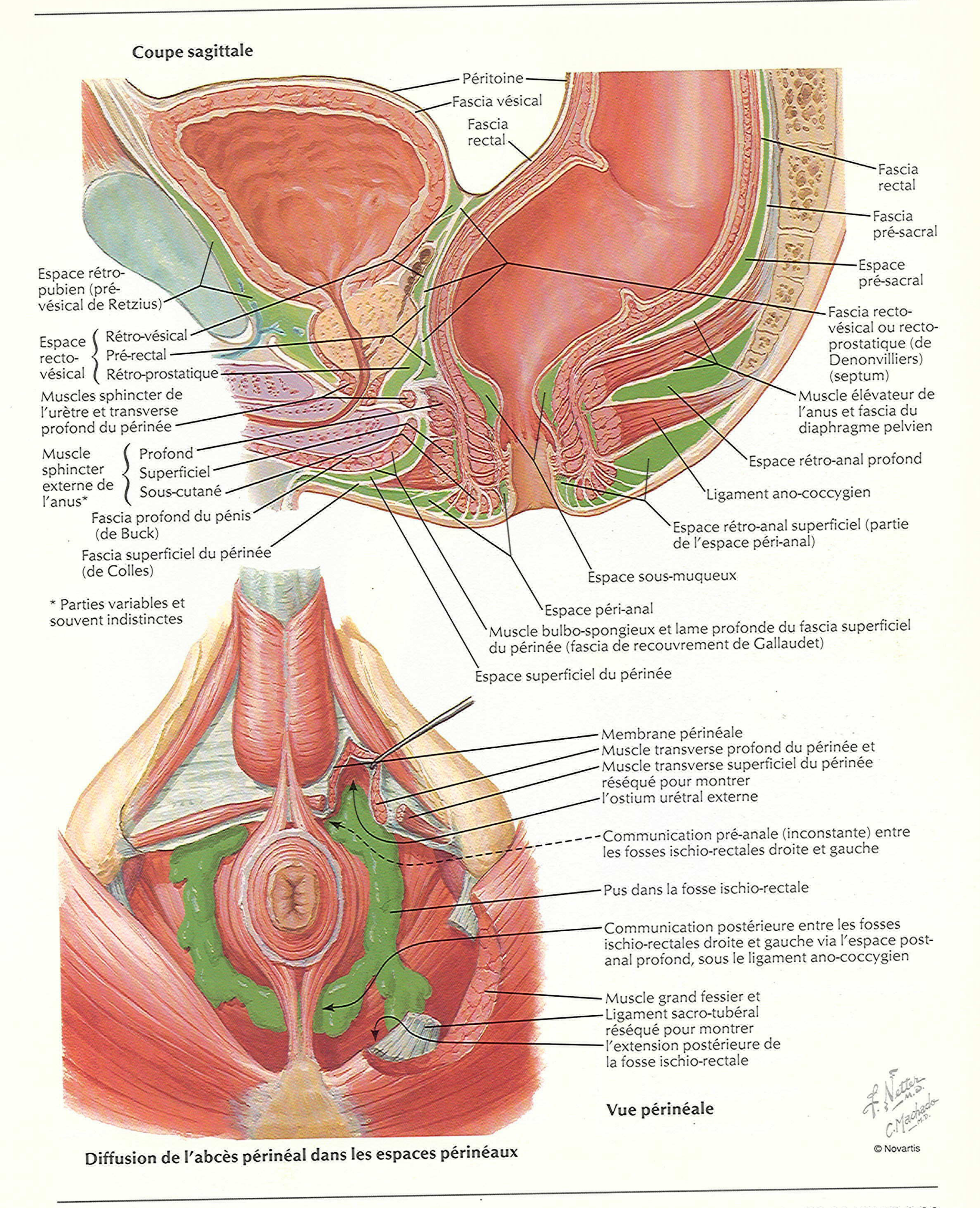


* Parties variables et souvent indistinctes

Muscle sphincter externe de l'anus : vues périnéales

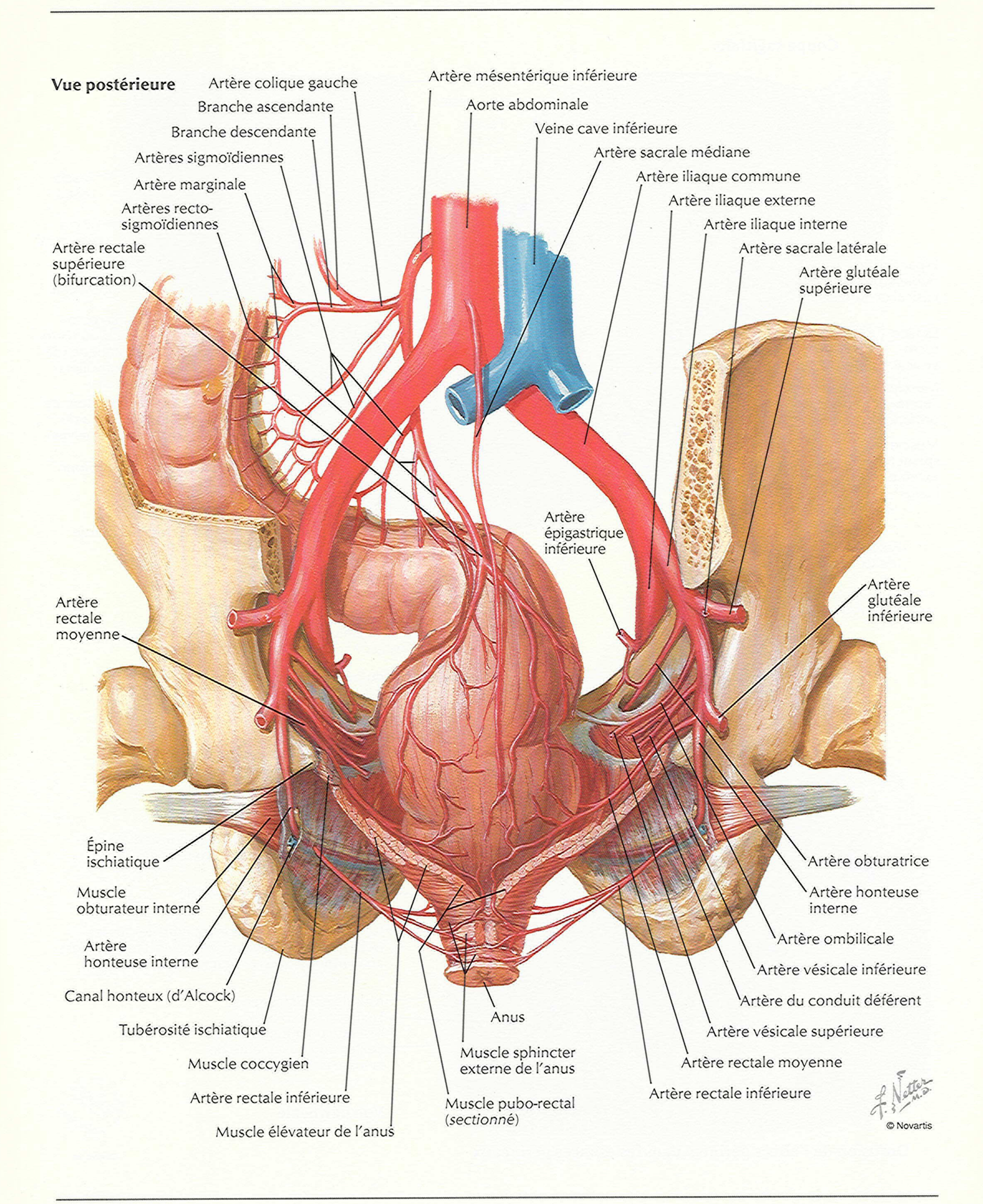


* Parties variables et souvent indistinctes

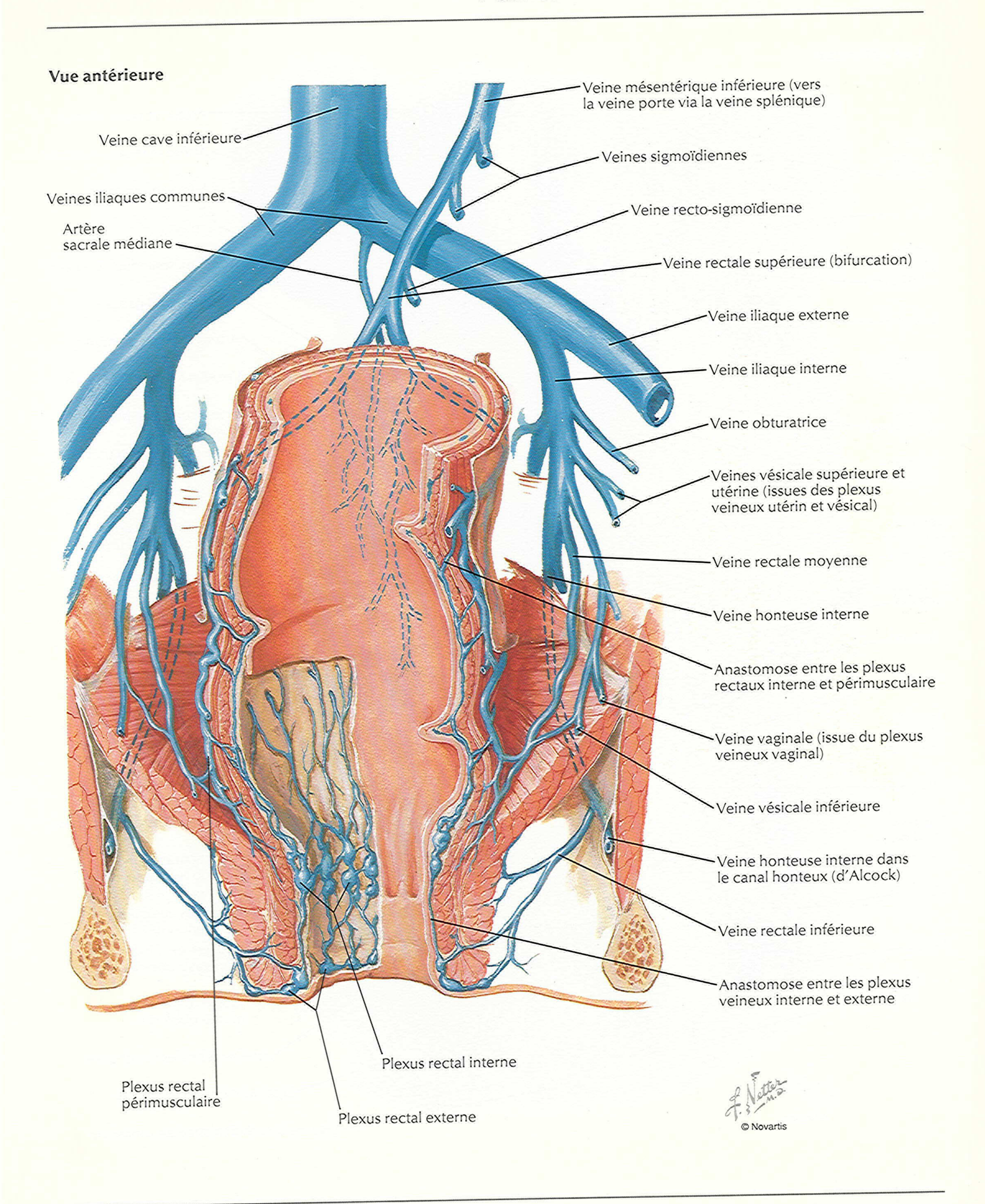


Diffusion de l'abcès périnéal dans les espaces périnéaux

Artères du rectum et du canal anal

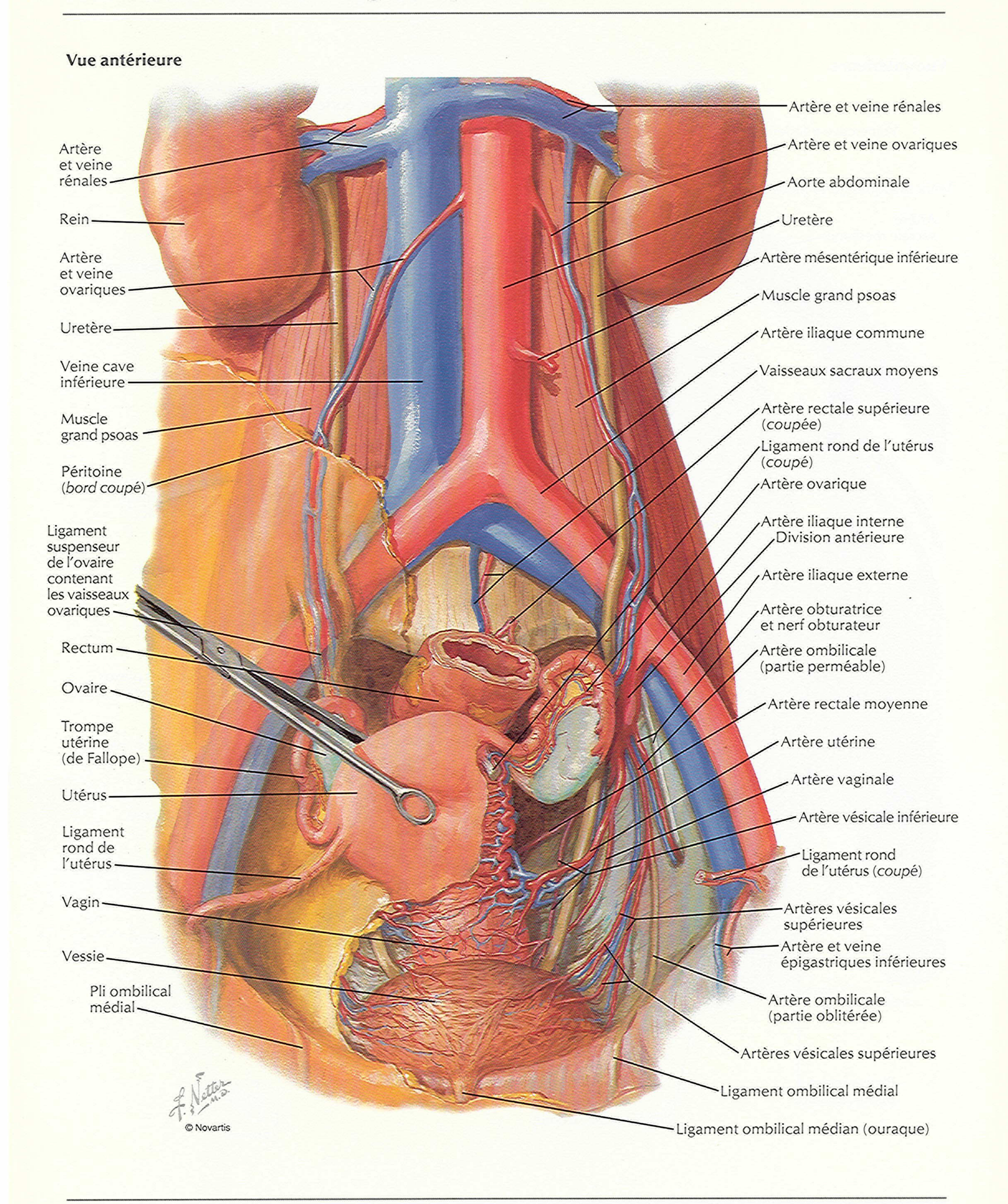


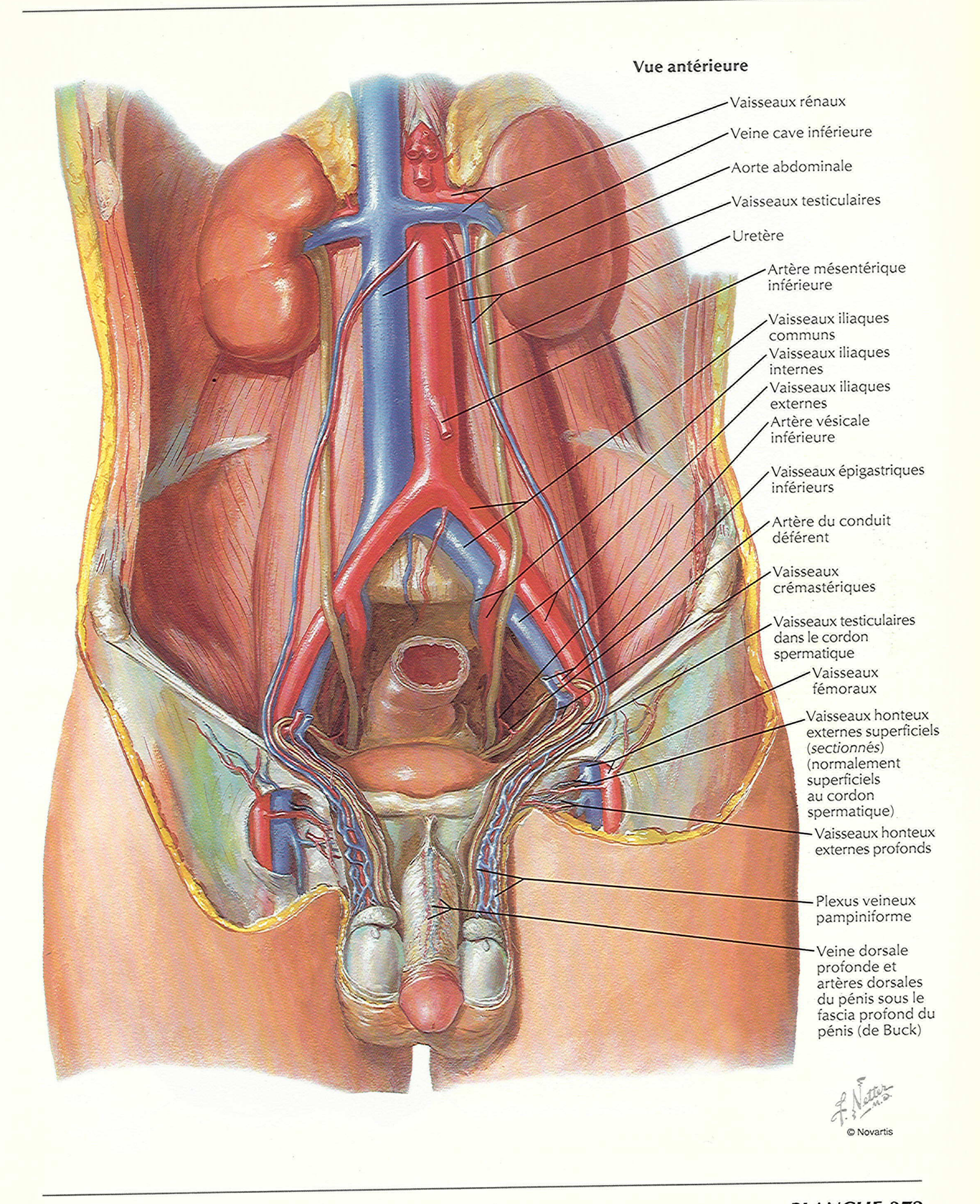
Veines du rectum et du canal anal

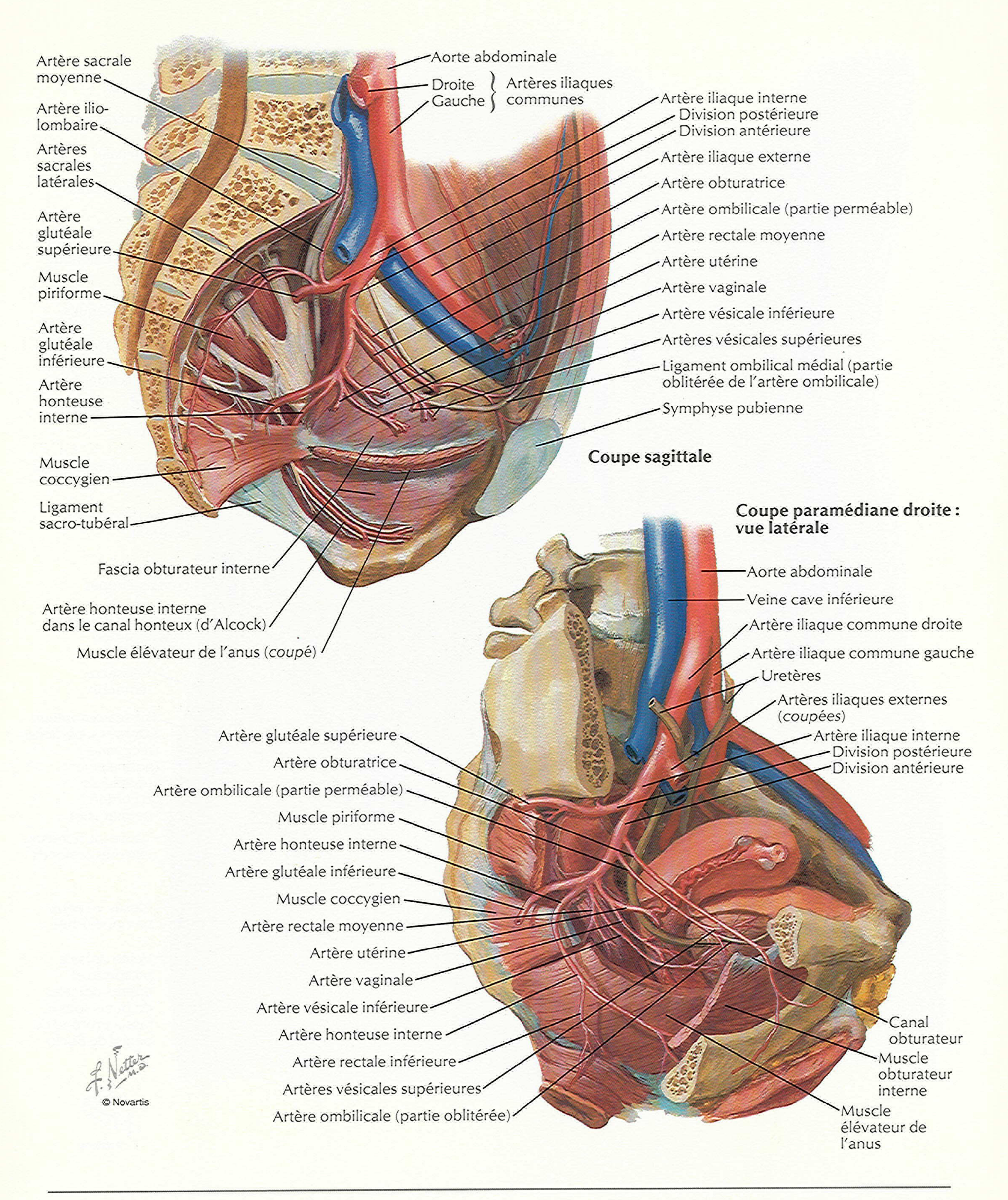


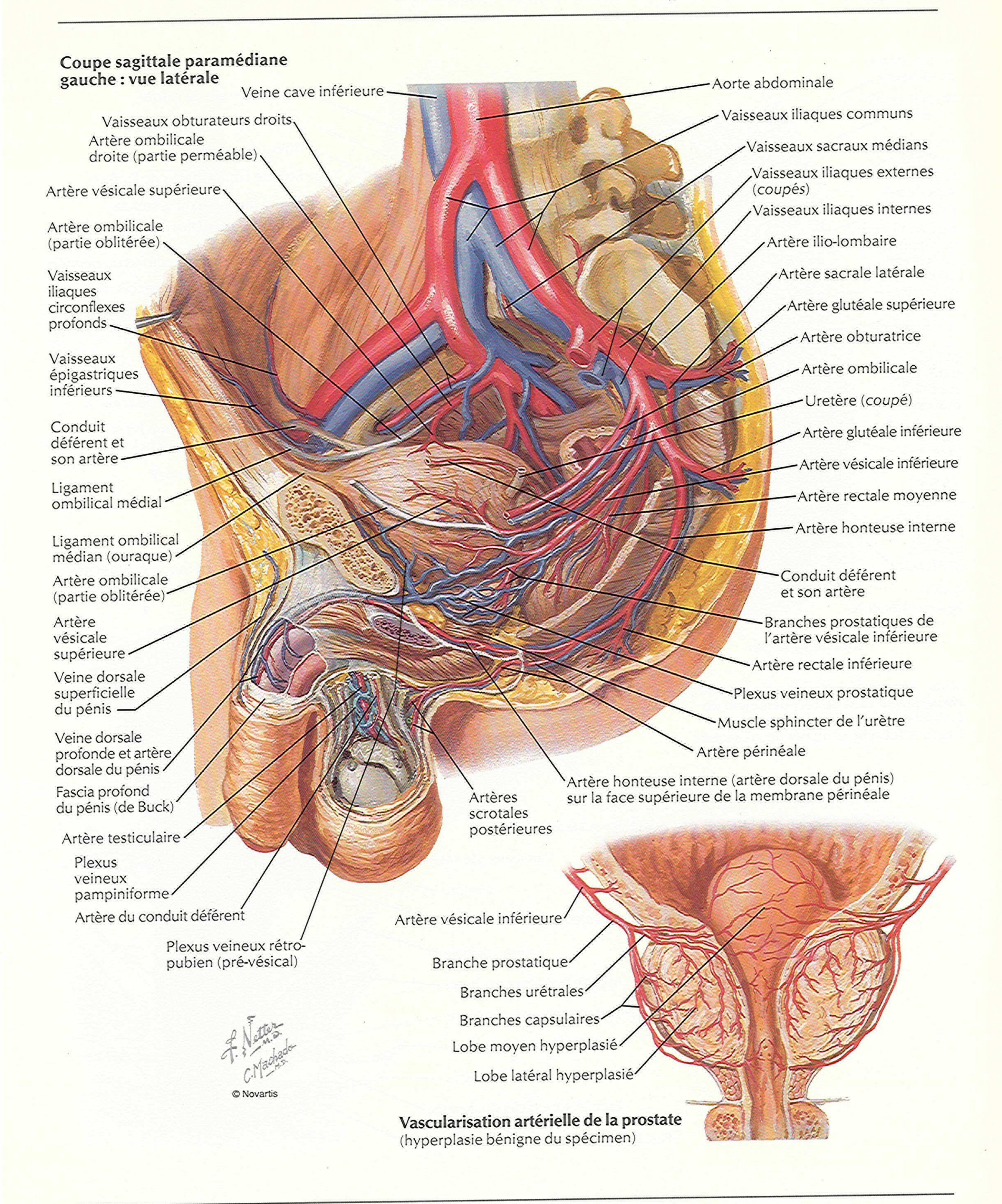
Artères et veines des organes pelviens : femme

Vue antérieure



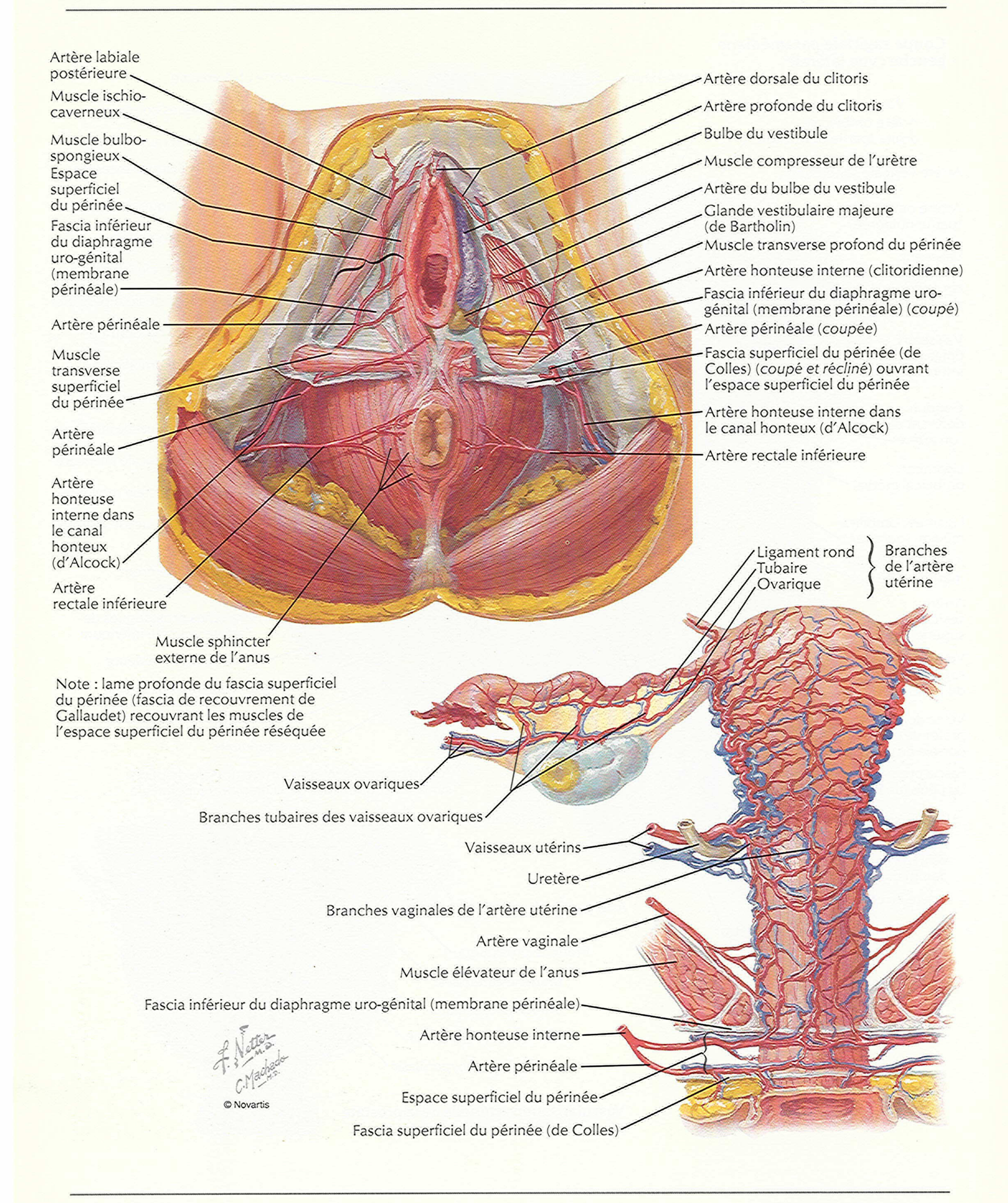

Vue antérieure
Vaisseaux rénaux
Veine cave inférieure
Aorte abdominale
Vaisseaux testiculaires
Uretère
Artère mésentérique inférieure
Vaisseaux iliaques communs
Vaisseaux iliaques internes
Vaisseaux iliaques externes
Artère vésicale inférieure
Vaisseaux épigastriques inférieurs
Artère du conduit déférent
Vaisseaux crémastériques
Vaisseaux testiculaires dans le cordon spermatique
Vaisseaux fémoraux
Vaisseaux honteux externes superficiels (*sectionnés*) (normalement superficiels au cordon spermatique)
Vaisseaux honteux externes profonds
Plexus veineux pampiniforme
Veine dorsale profonde et artères dorsales du pénis sous le fascia profond du pénis (de Buck)
F. Netter M.D.

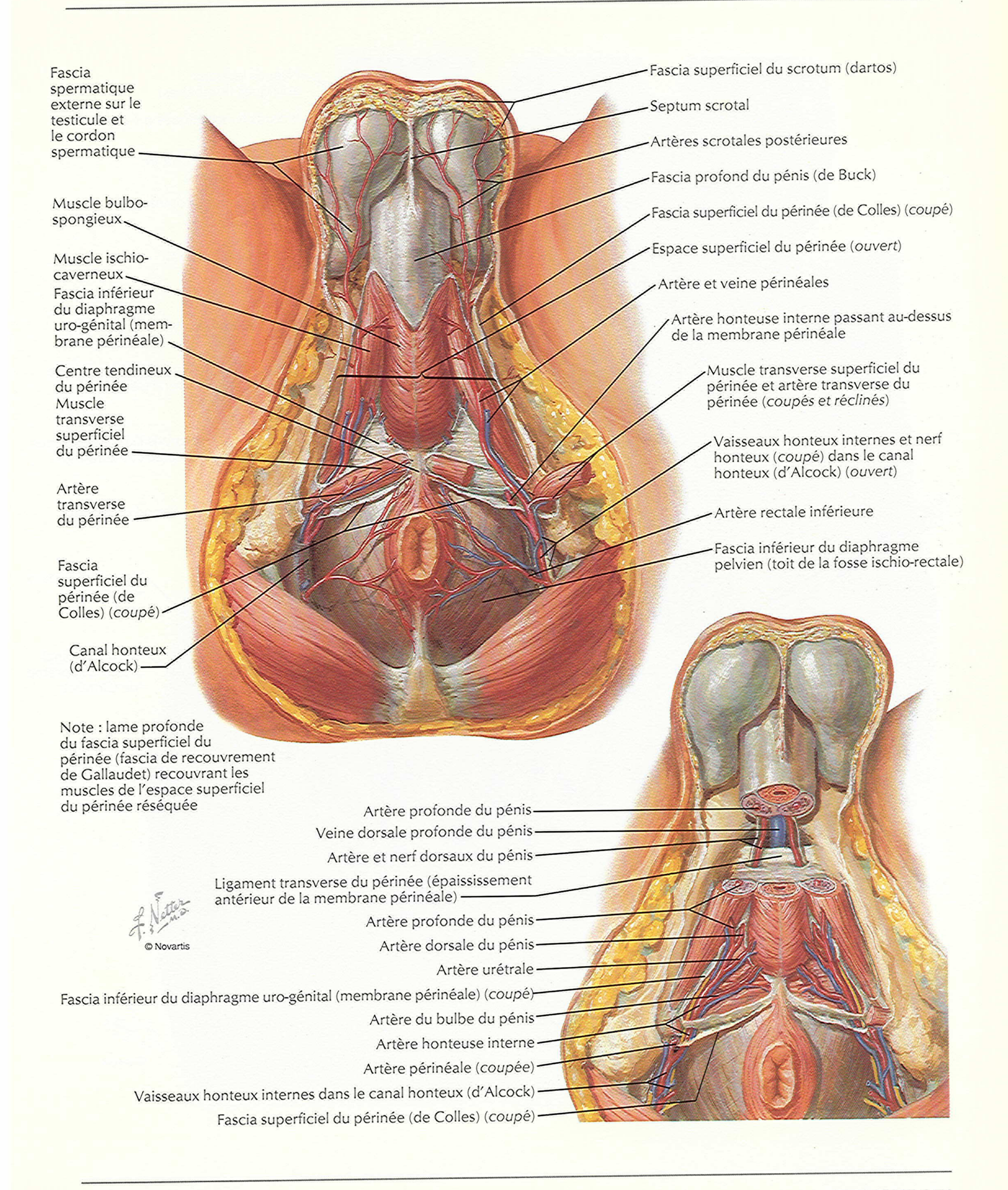

Artère sacrale moyenne
Artère ilio-lombaire
Artères sacrales latérales
Artère glutéale supérieure
Muscle piriforme
Artère glutéale inférieure
Artère honteuse interne
Muscle coccygien
Ligament sacro-tubéral
Fascia obturateur interne
Artère honteuse interne dans le canal honteux (d'Alcock)
Muscle élévateur de l'anus (coupé)
Aorte abdominale
Droite
Gauche
Artères iliaques communes
Artère iliaque interne
Division postérieure
Division antérieure
Artère iliaque externe
Artère obturatrice
Artère ombilicale (partie perméable)
Artère rectale moyenne
Artère utérine
Artère vaginale
Artère vésicale inférieure
Artères vésicales supérieures
Ligament ombilical médial (partie oblitérée de l'artère ombilicale)
Symphyse pubienne
Coupe sagittale
Coupe paramédiane droite : vue latérale
Aorte abdominale
Veine cave inférieure
Artère iliaque commune droite
Artère iliaque commune gauche
Uretères
Artères iliaques externes (coupées)
Artère iliaque interne
Division postérieure
Division antérieure
Artère glutéale supérieure
Artère obturatrice
Artère ombilicale (partie perméable)
Muscle piriforme
Artère honteuse interne
Artère glutéale inférieure
Muscle coccygien
Artère rectale moyenne
Artère utérine
Artère vaginale
Artère vésicale inférieure
Artère honteuse interne
Artère rectale inférieure
Artères vésicales supérieures
Artère ombilicale (partie oblitérée)
Canal obturateur
Muscle obturateur interne
Muscle élévateur de l'anus
F. Netter M.D.
© Novartis

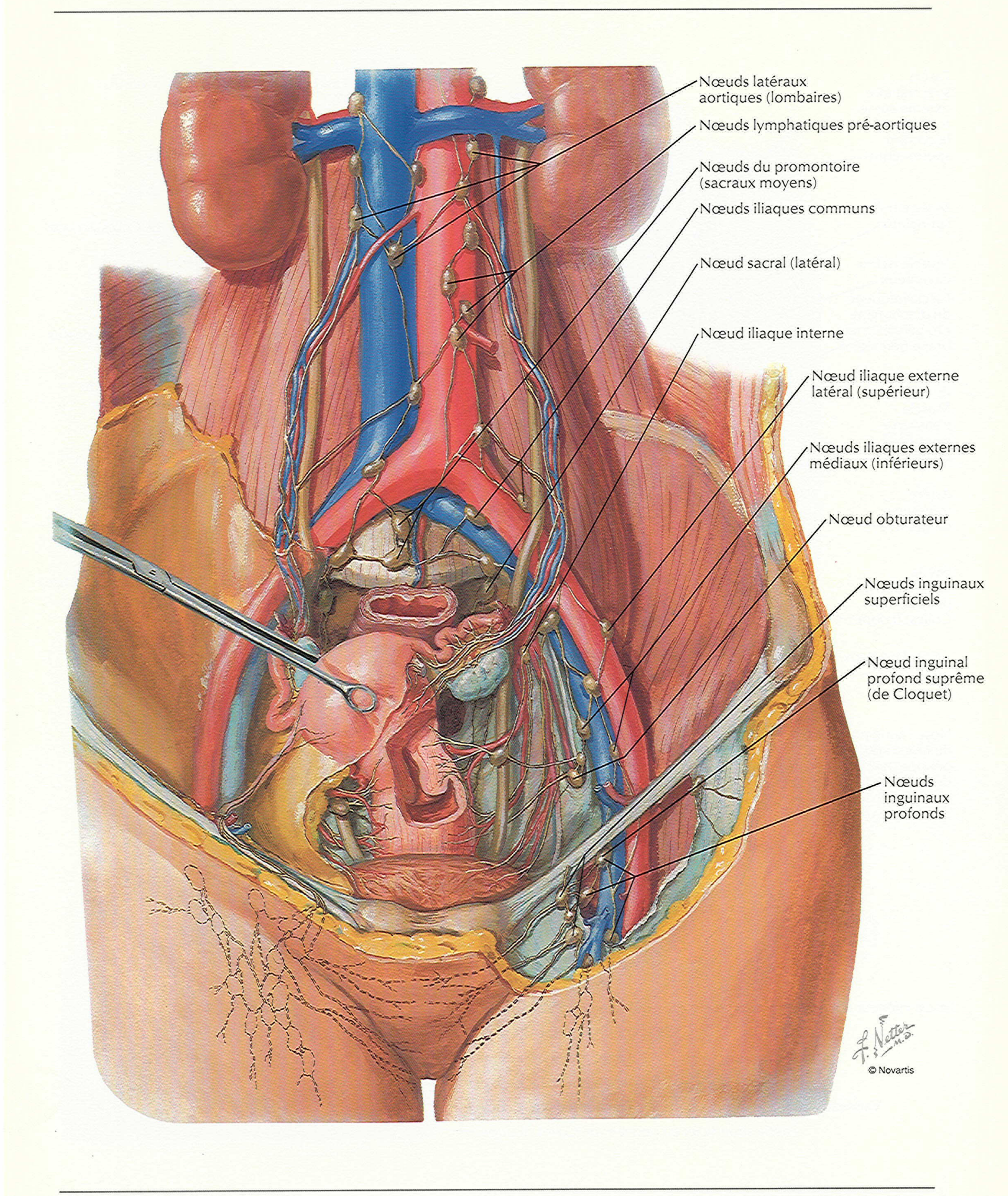


Vascularisation artérielle de la prostate
(hyperplasie bénigne du spécimen)

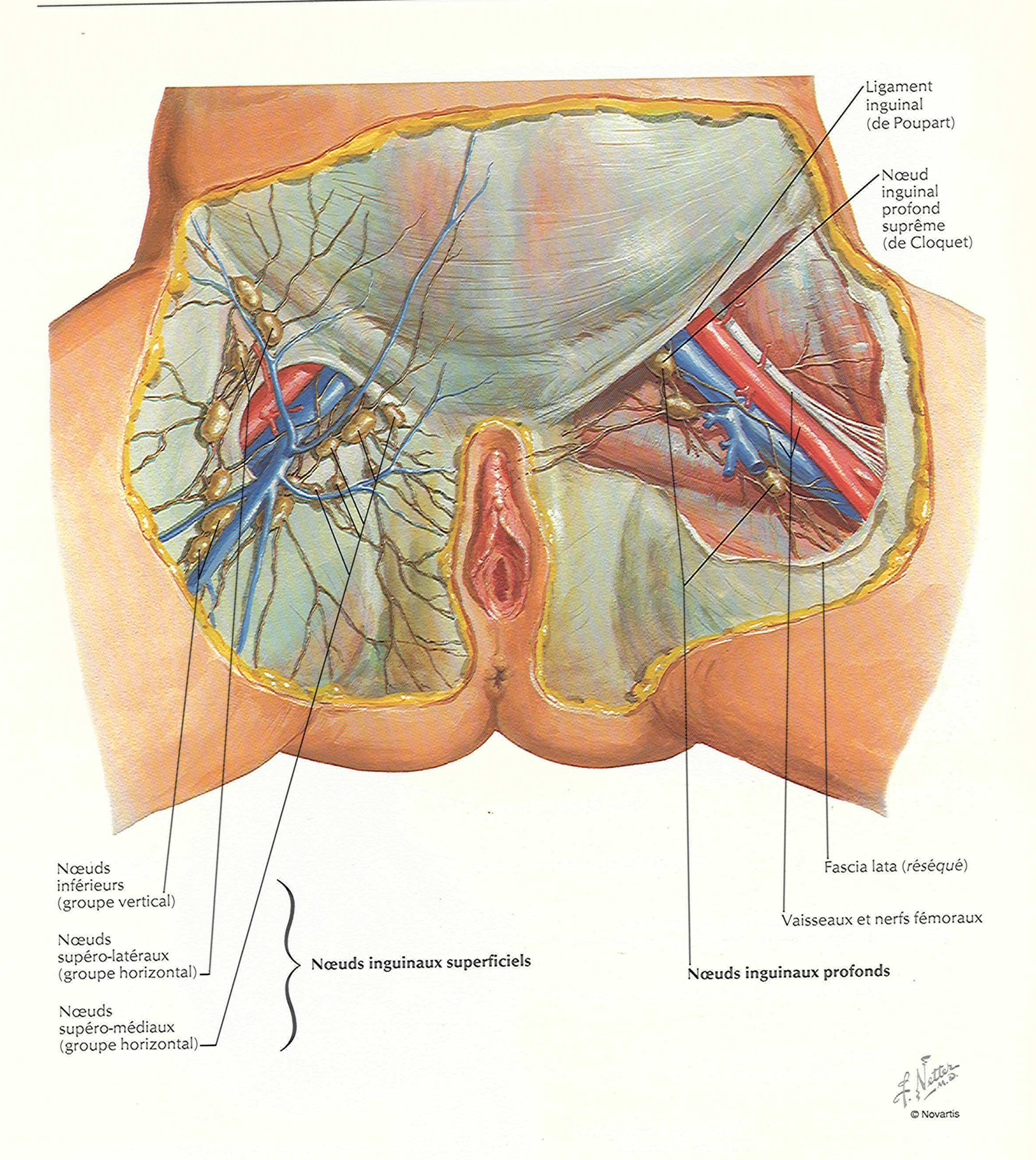
Artères et veines du périnée et de l'utérus



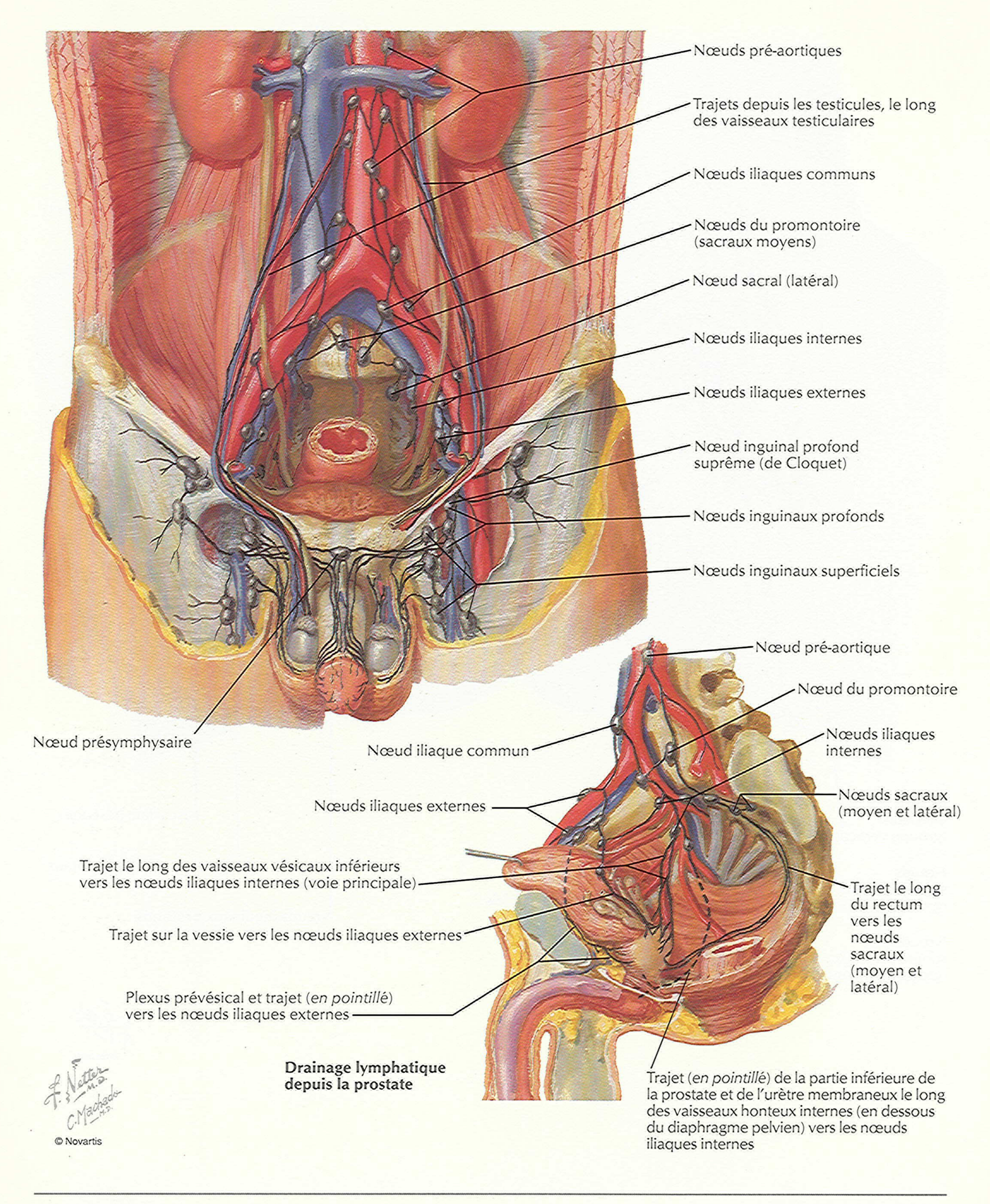

Fascia spermatique externe sur le testicule et le cordon spermatique
Muscle bulbo-spongieux
Muscle ischio-caverneux
Fascia inférieur du diaphragme uro-génital (membrane périnéale)
Centre tendineux du périnée
Muscle transverse superficiel du périnée
Artère transverse du périnée
Fascia superficiel du périnée (de Colles) (*coupé*)
Canal honteux (d'Alcock)
Fascia superficiel du scrotum (dartos)
Septum scrotal
Artères scrotales postérieures
Fascia profond du pénis (de Buck)
Fascia superficiel du périnée (de Colles) (*coupé*)
Espace superficiel du périnée (*ouvert*)
Artère et veine périnéales
Artère honteuse interne passant au-dessus de la membrane périnéale
Muscle transverse superficiel du périnée et artère transverse du périnée (*coupés et réclinés*)
Vaisseaux honteux internes et nerf honteux (*coupé*) dans le canal honteux (d'Alcock) (*ouvert*)
Artère rectale inférieure
Fascia inférieur du diaphragme pelvien (toit de la fosse ischio-rectale)
Note : lame profonde du fascia superficiel du périnée (fascia de recouvrement de Gallaudet) recouvrant les muscles de l'espace superficiel du périnée réséquée
Artère profonde du pénis
Veine dorsale profonde du pénis
Artère et nerf dorsaux du pénis
Ligament transverse du périnée (épaississement antérieur de la membrane périnéale)
Artère profonde du pénis
Artère dorsale du pénis
Artère urétrale
Fascia inférieur du diaphragme uro-génital (membrane périnéale) (*coupé*)
Artère du bulbe du pénis
Artère honteuse interne
Artère périnéale (*coupée*)
Vaisseaux honteux internes dans le canal honteux (d'Alcock)
Fascia superficiel du périnée (de Colles) (*coupé*)
F. Netter M.D.
© Novartis


Nœuds latéraux aortiques (lombaires)
Nœuds lymphatiques pré-aortiques
Nœuds du promontoire (sacraux moyens)
Nœuds iliaques communs
Nœud sacral (latéral)
Nœud iliaque interne
Nœud iliaque externe latéral (supérieur)
Nœuds iliaques externes médiaux (inférieurs)
Nœud obturateur
Nœuds inguinaux superficiels
Nœud inguinal profond suprême (de Cloquet)
Nœuds inguinaux profonds
F. Netter M.D.

Vaisseaux et nœuds lymphatiques du périnée : femme

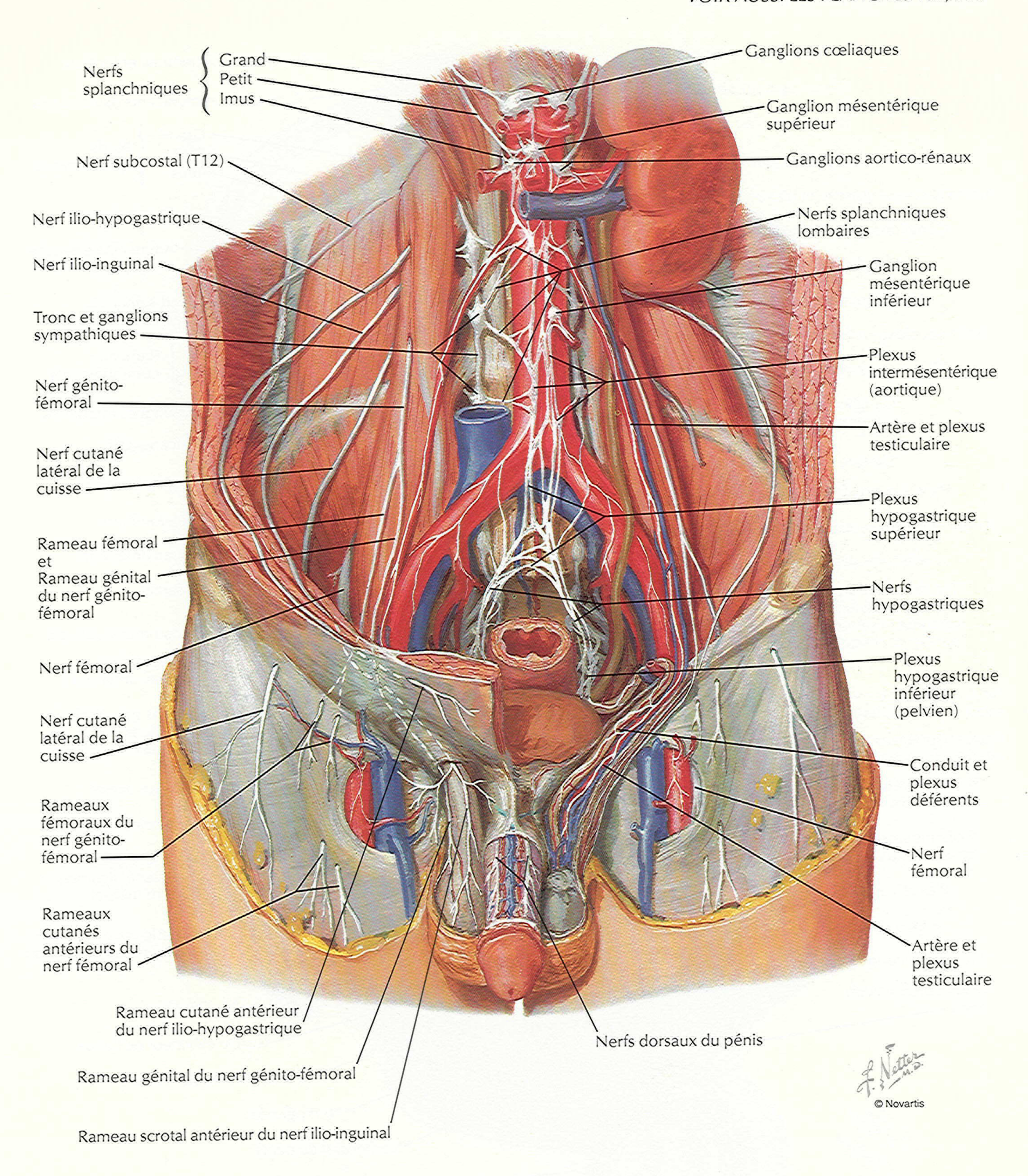


Vaisseaux et nœuds lymphatiques pelviens et des organes génitaux : homme



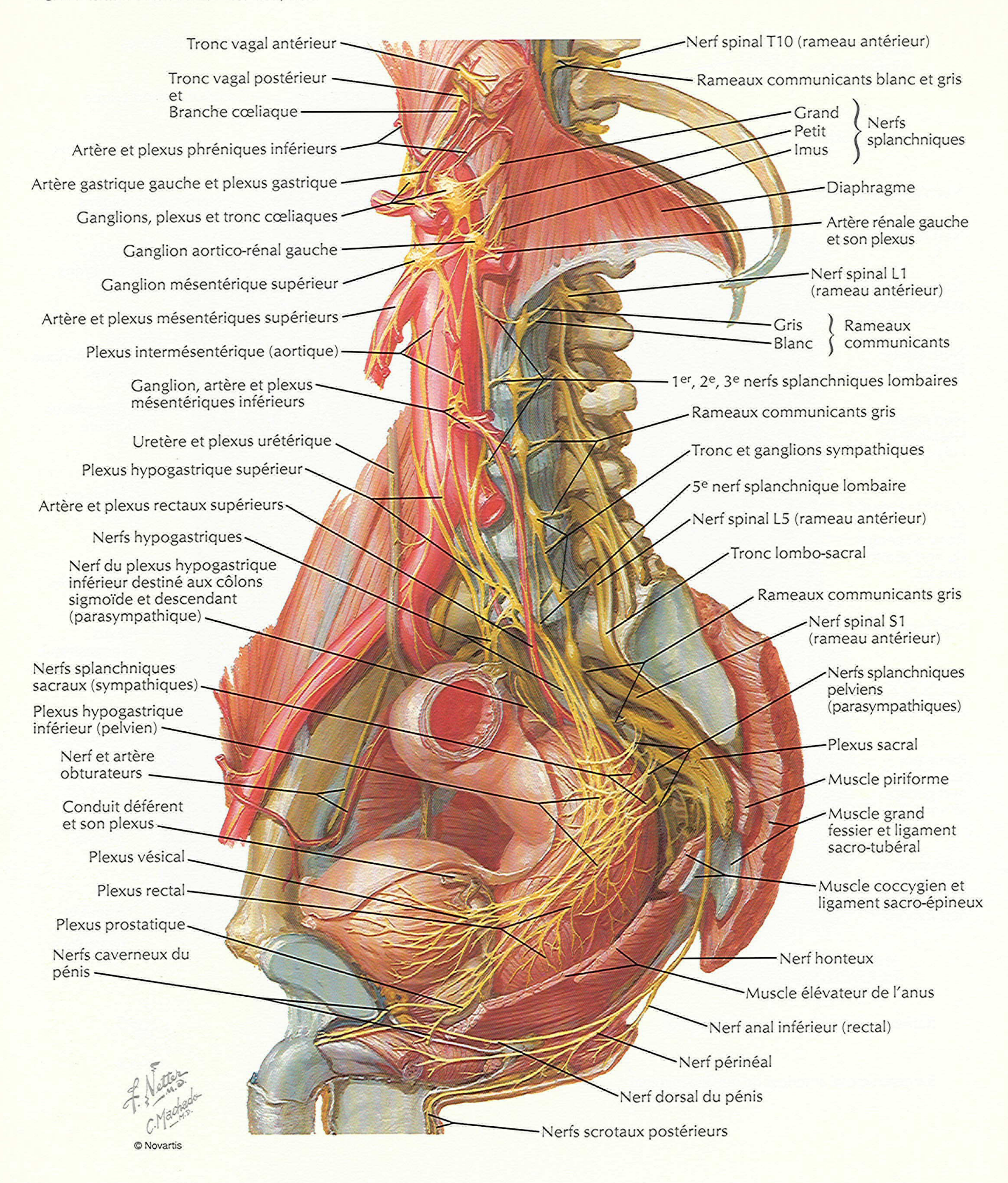
Drainage lymphatique depuis la prostate

VOIR AUSSI LES PLANCHES 152, 300

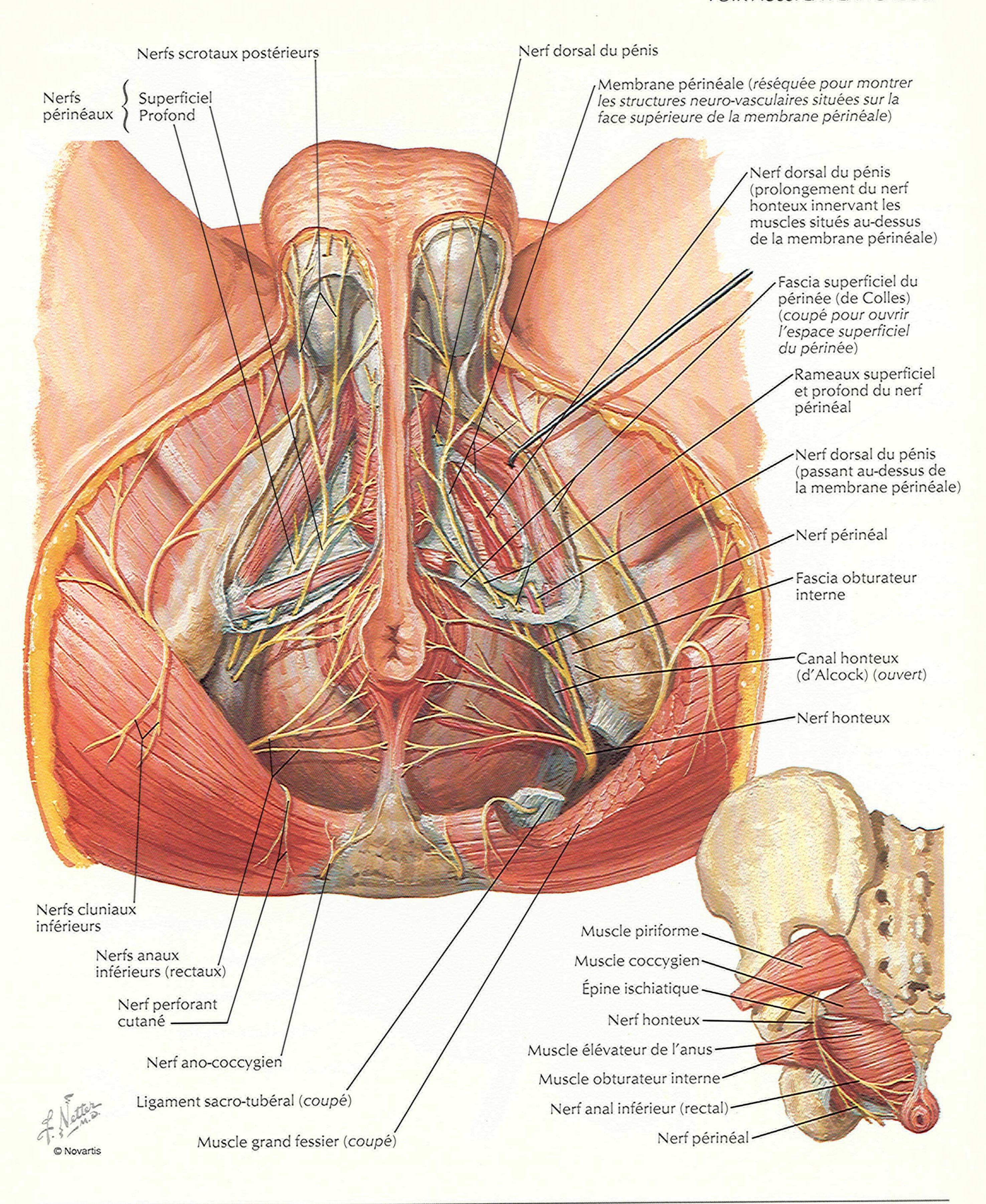


Nerfs des viscères pelviens : homme

VOIR AUSSI LES PLANCHES 152, 300

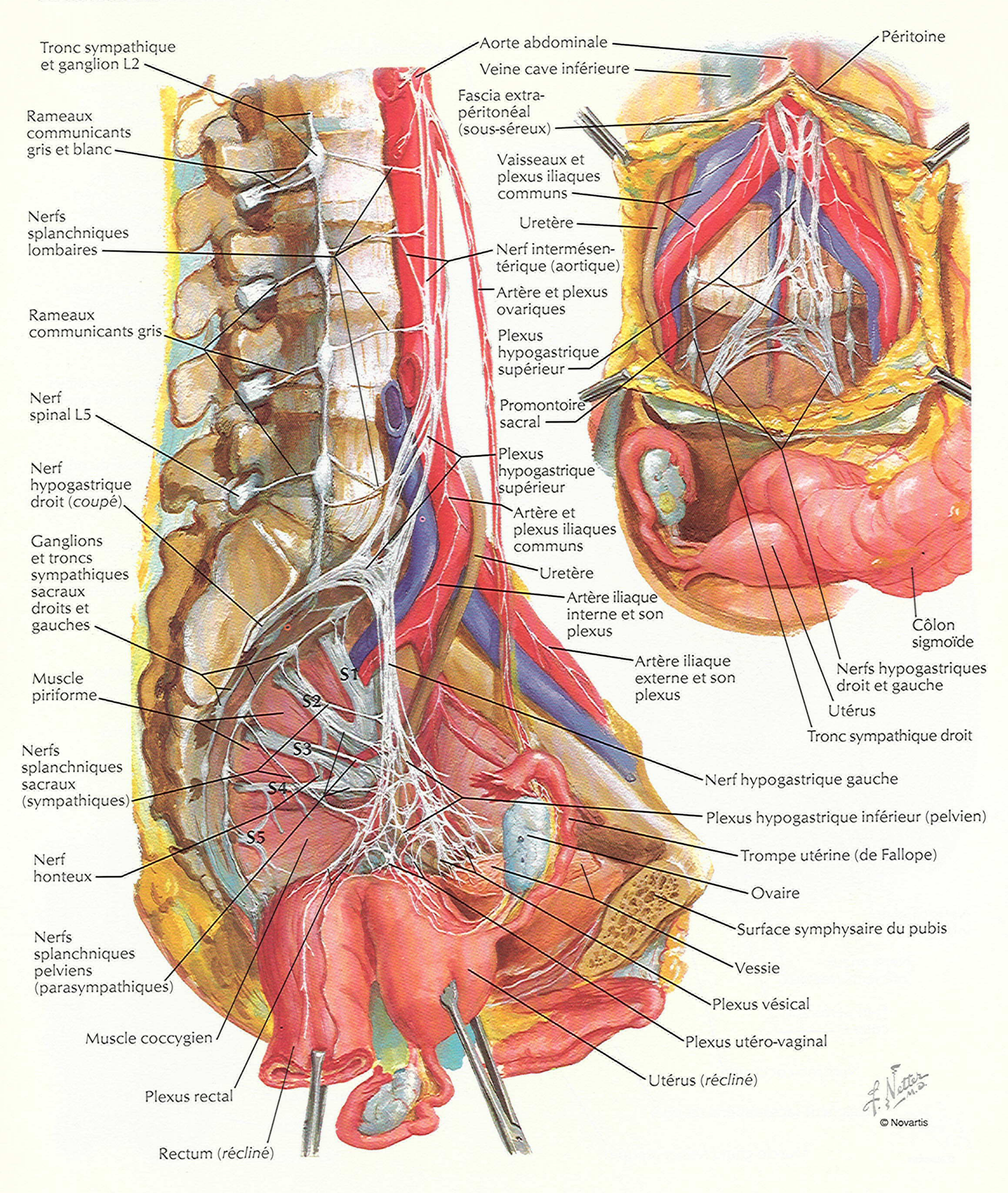


VOIR AUSSI LA PLANCHE 387



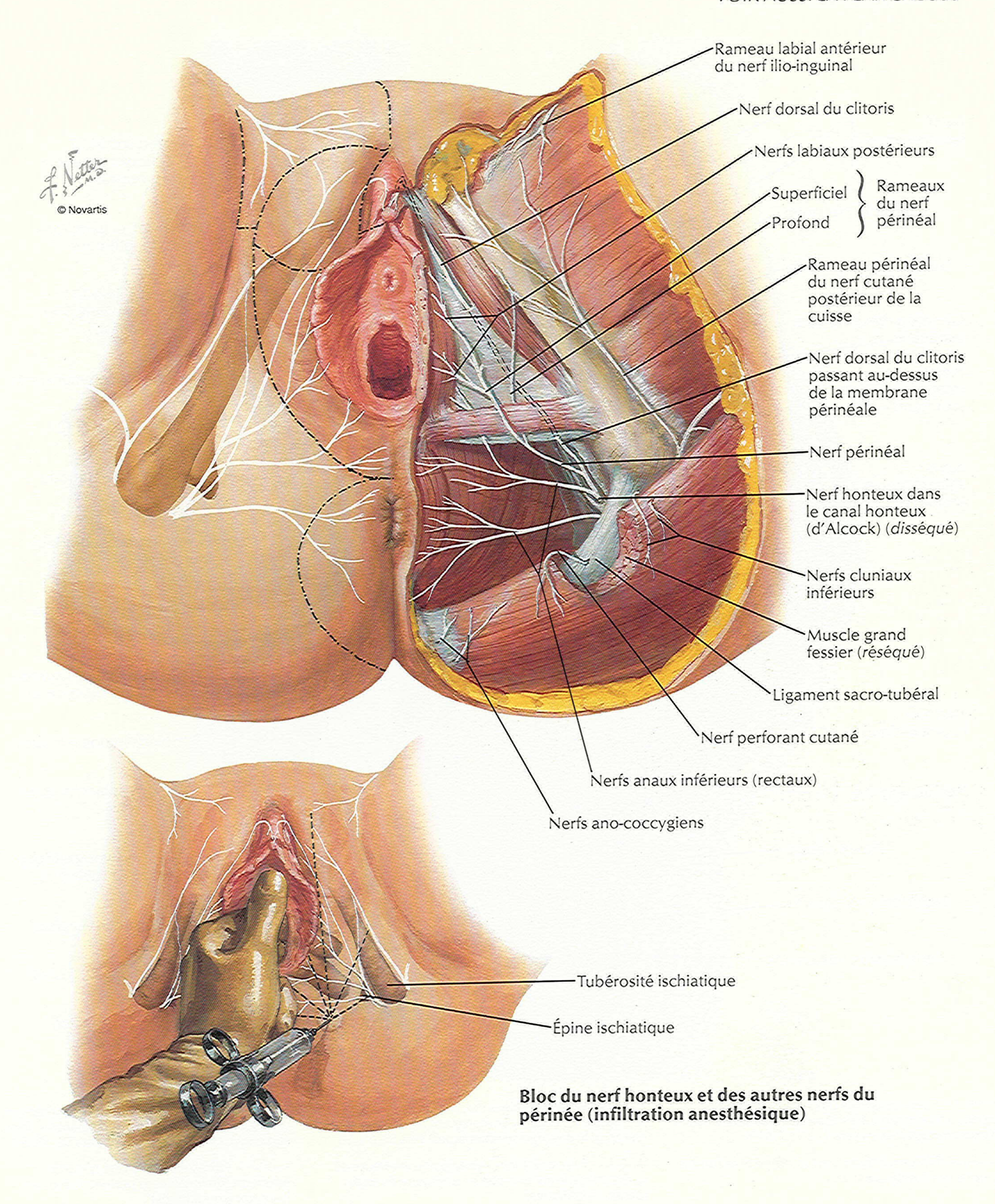
Nerfs des viscères pelviens : femme

VOIR AUSSI LES PLANCHES 152, 300



Nerfs du périnée et des organes génitaux externes : femme

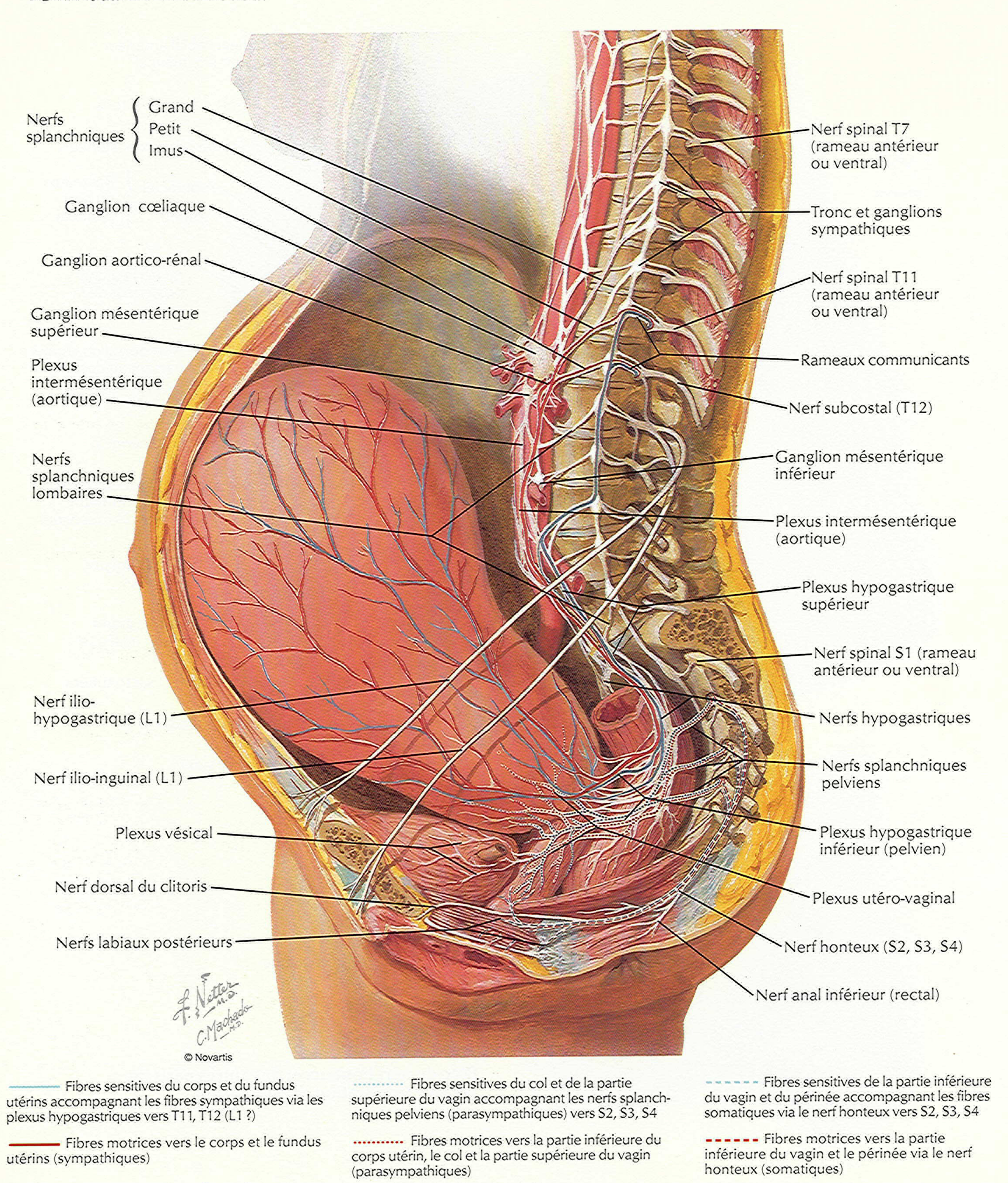
VOIR AUSSI LA PLANCHE 386



Bloc du nerf honteux et des autres nerfs du périnée (infiltration anesthésique)

Voies nerveuses durant l'accouchement

VOIR AUSSI LA PLANCHE 152



Fibres sensitives du corps et du fundus utérins accompagnant les fibres sympathiques via les plexus hypogastriques vers T11, T12 (L1 ?)

Fibres motrices vers le corps et le fundus utérins (sympathiques)

Fibres sensitives du col et de la partie supérieure du vagin accompagnant les nerfs splanchniques pelviens (parasympathiques) vers S2, S3, S4

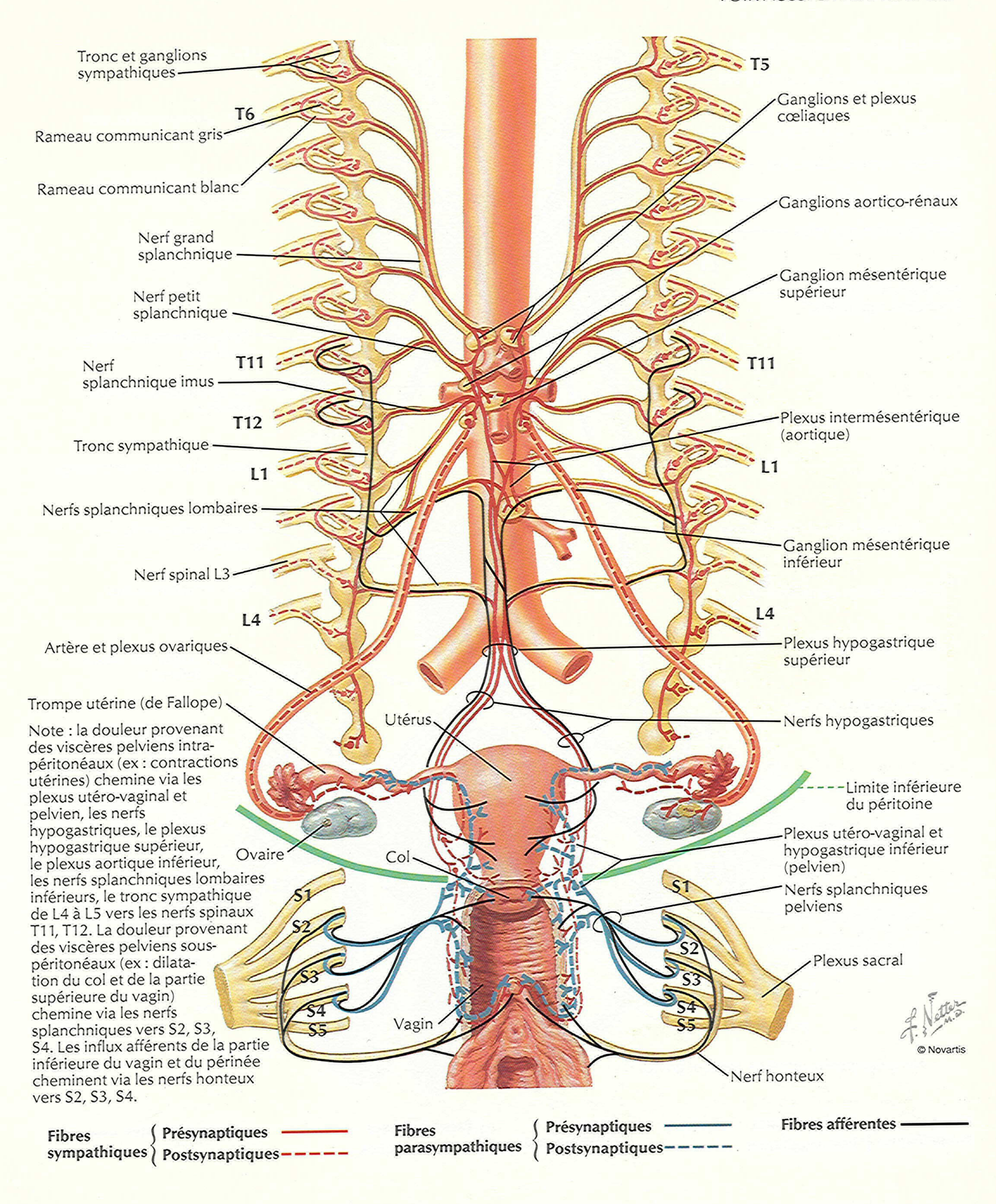
Fibres motrices vers la partie inférieure du corps utérin, le col et la partie supérieure du vagin (parasympathiques)

Fibres sensitives de la partie inférieure du vagin et du périnée accompagnant les fibres somatiques via le nerf honteux vers S2, S3, S4

Fibres motrices vers la partie inférieure du vagin et le périnée via le nerf honteux (somatiques)

Innervation des organes de la reproduction chez la femme : schéma

VOIR AUSSI LA PLANCHE 153



Note : la douleur provenant des viscères pelviens intra-péritonéaux (ex : contractions utérines) chemine via les plexus utéro-vaginal et pelvien, les nerfs hypogastriques, le plexus hypogastrique supérieur, le plexus aortique inférieur, les nerfs splanchniques lombaires inférieurs, le tronc sympathique de L4 à L5 vers les nerfs spinaux T11, T12. La douleur provenant des viscères pelviens sous-péritonéaux (ex : dilatation du col et de la partie supérieure du vagin) chemine via les nerfs splanchniques vers S2, S3, S4. Les influx afférents de la partie inférieure du vagin et du périnée cheminent via les nerfs honteux vers S2, S3, S4.

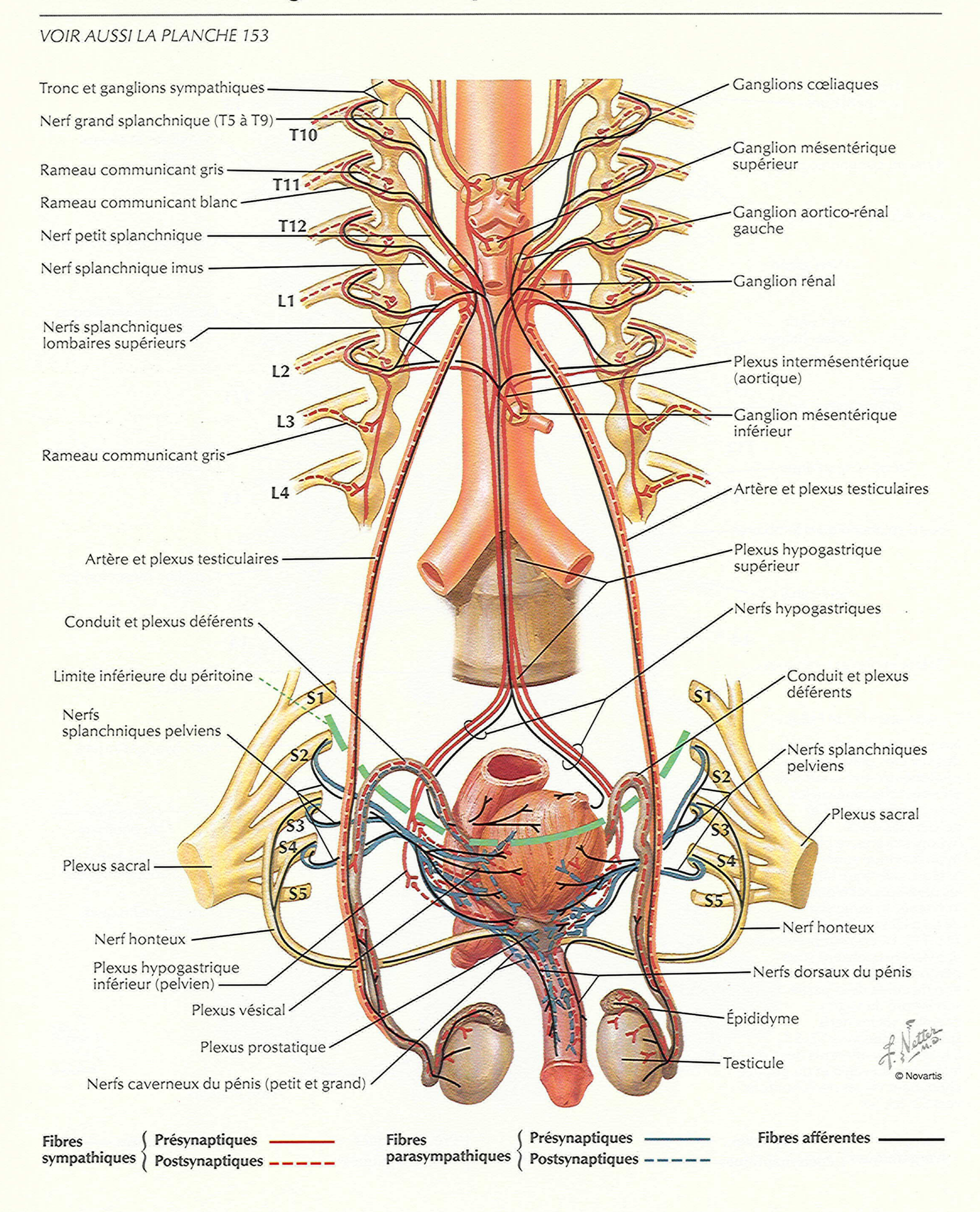
Fibres sympathiques { **Présynaptiques** ——— / **Postsynaptiques** - - - -

Fibres parasympathiques { **Présynaptiques** ——— / **Postsynaptiques** - - - -

Fibres afférentes ———

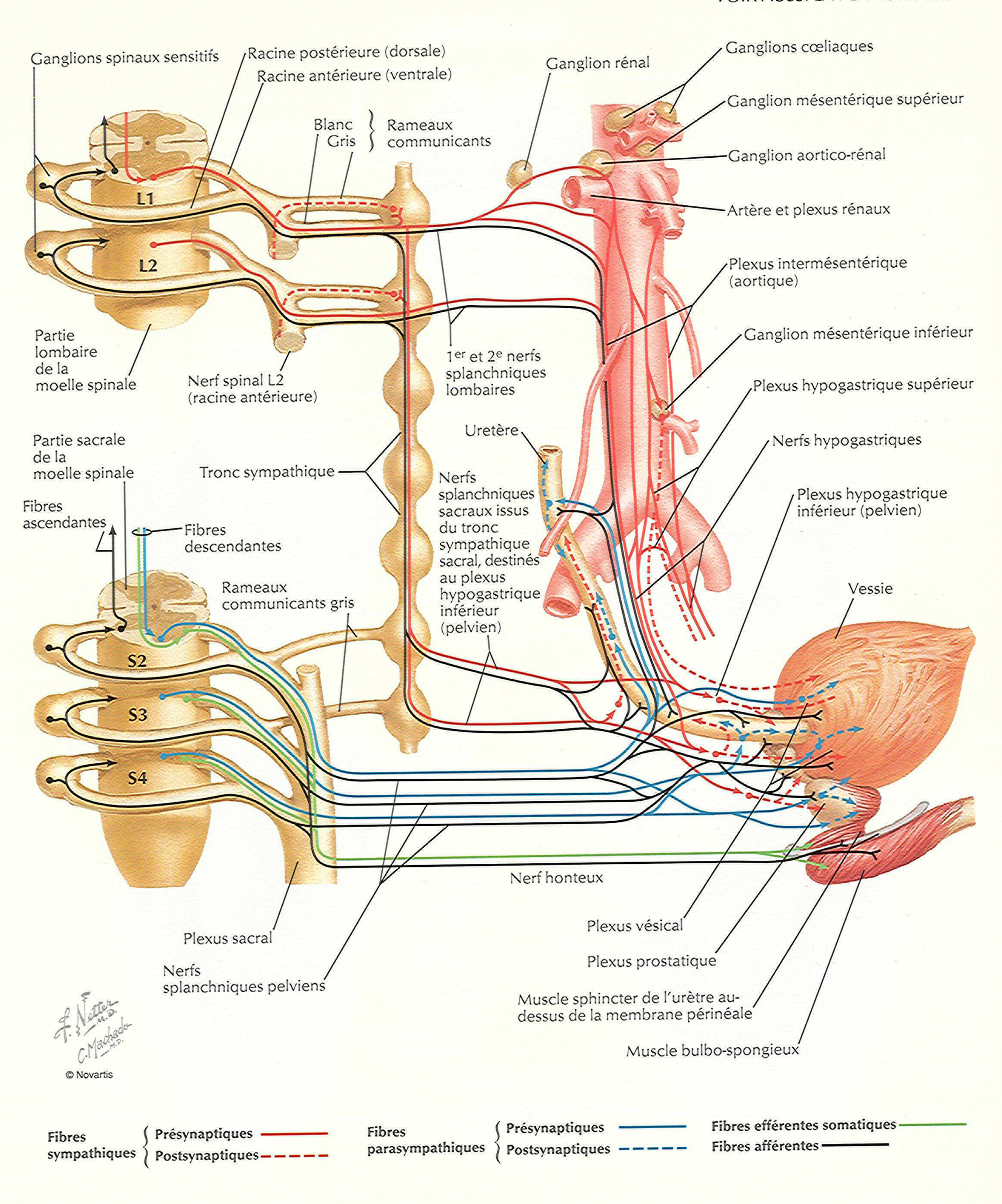
Innervation des organes de la reproduction chez l'homme : schéma

VOIR AUSSI LA PLANCHE 153



Innervation de la vessie et de l'uretère inférieur : schéma

VOIR AUSSI LA PLANCHE 153



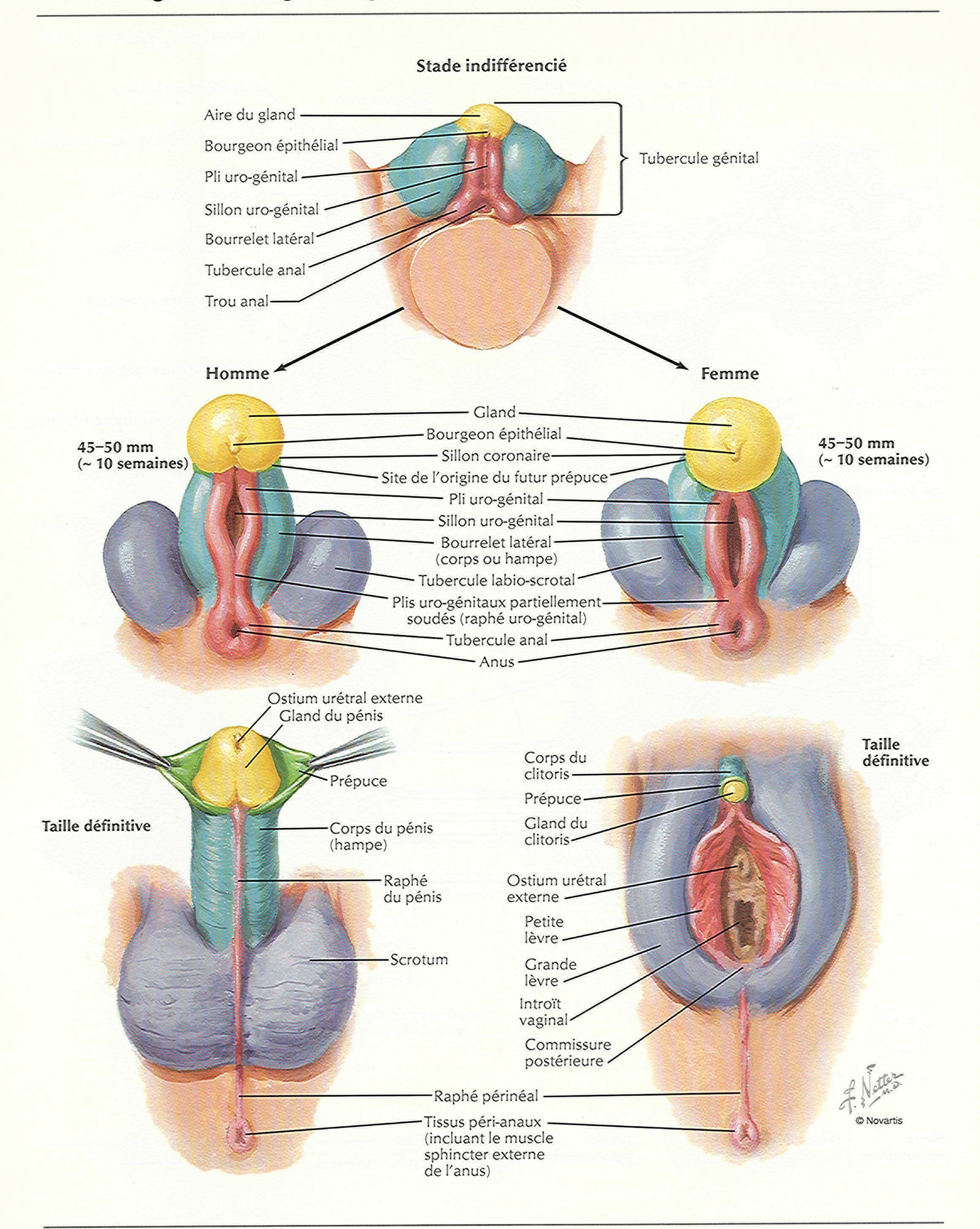
Fibres sympathiques { Présynaptiques / Postsynaptiques

Fibres parasympathiques { Présynaptiques / Postsynaptiques

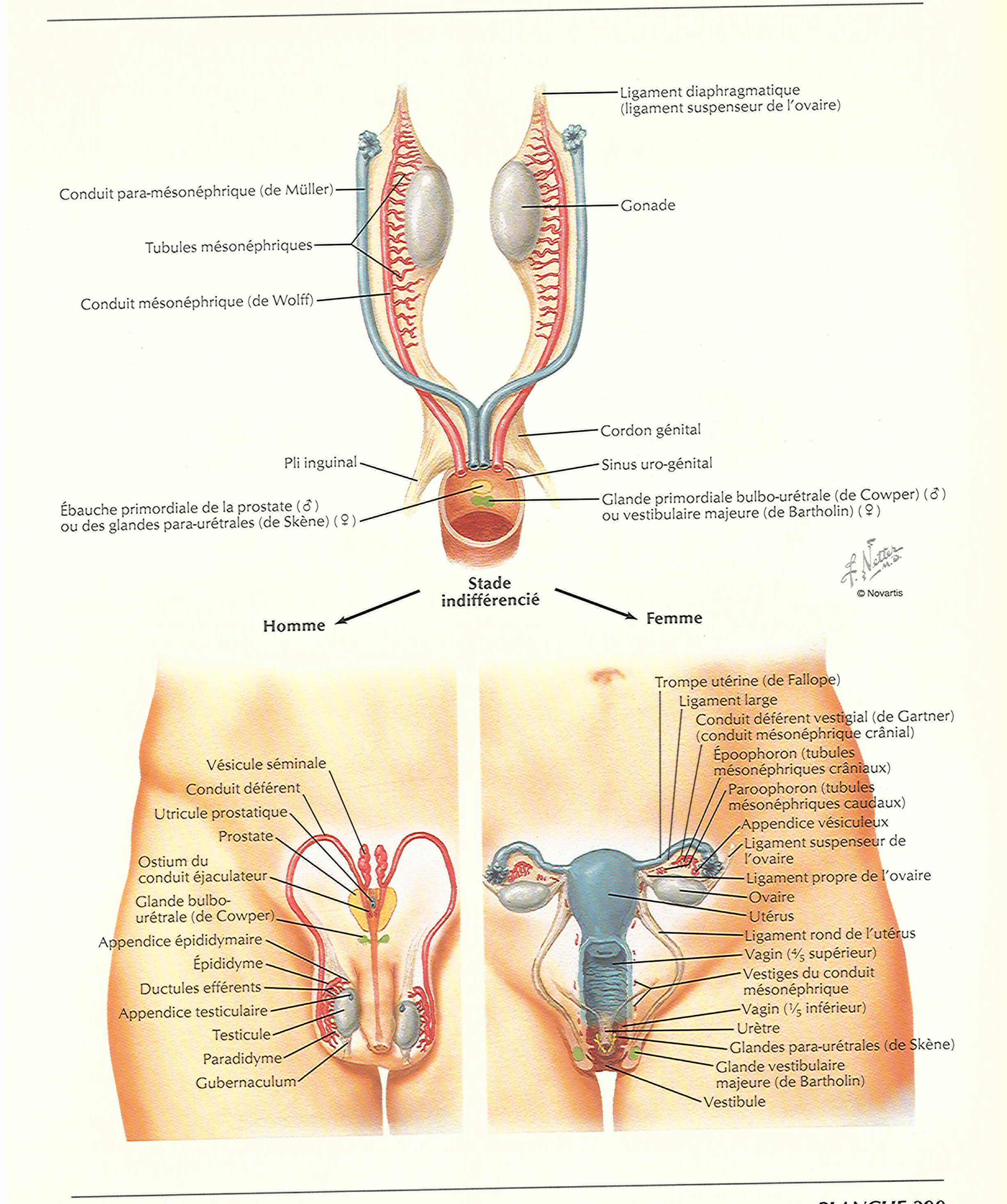
Fibres efférentes somatiques

Fibres afférentes

Homologie des organes génitaux externes



Homologie des organes génitaux internes

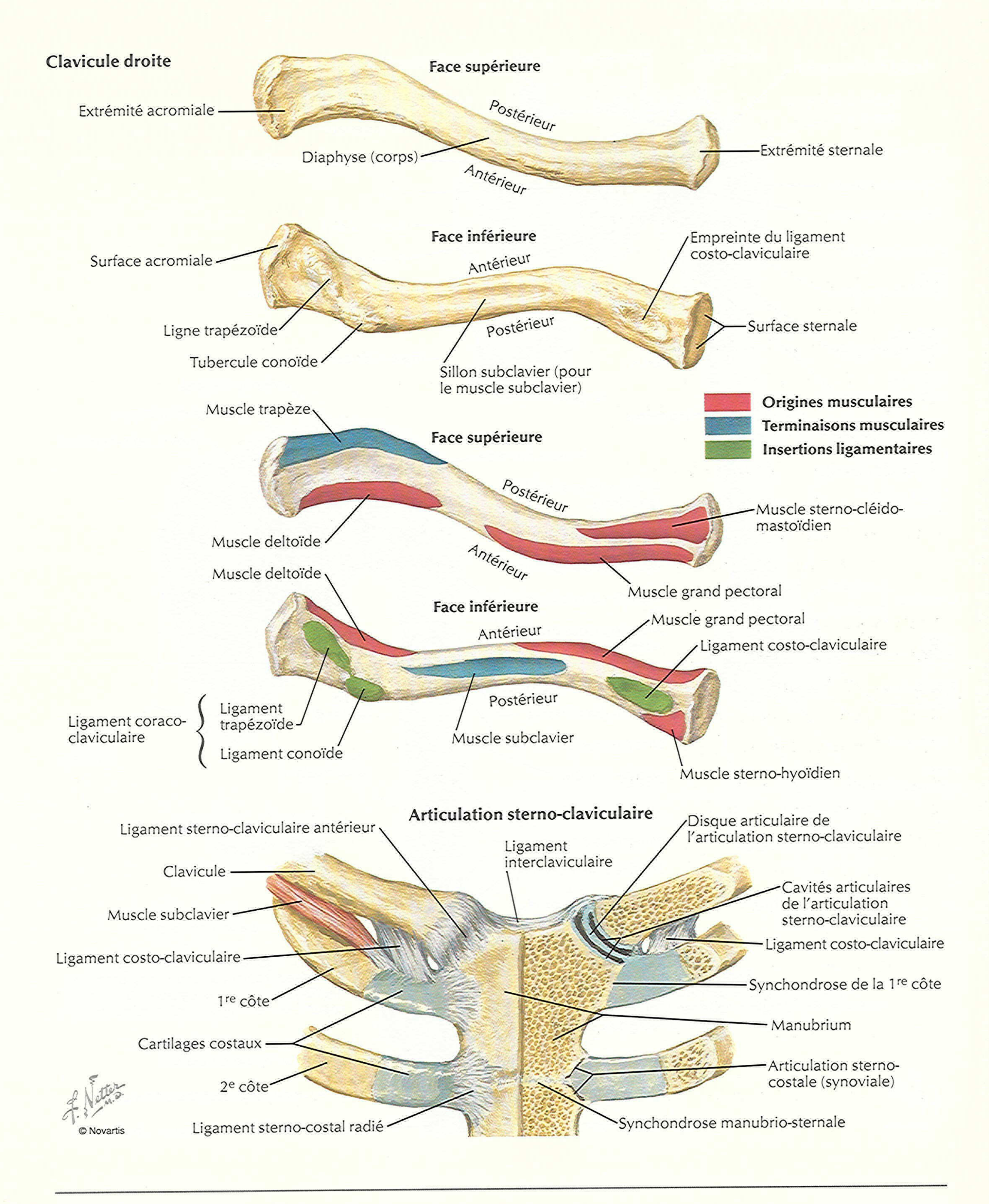


Section VI

MEMBRE SUPÉRIEUR

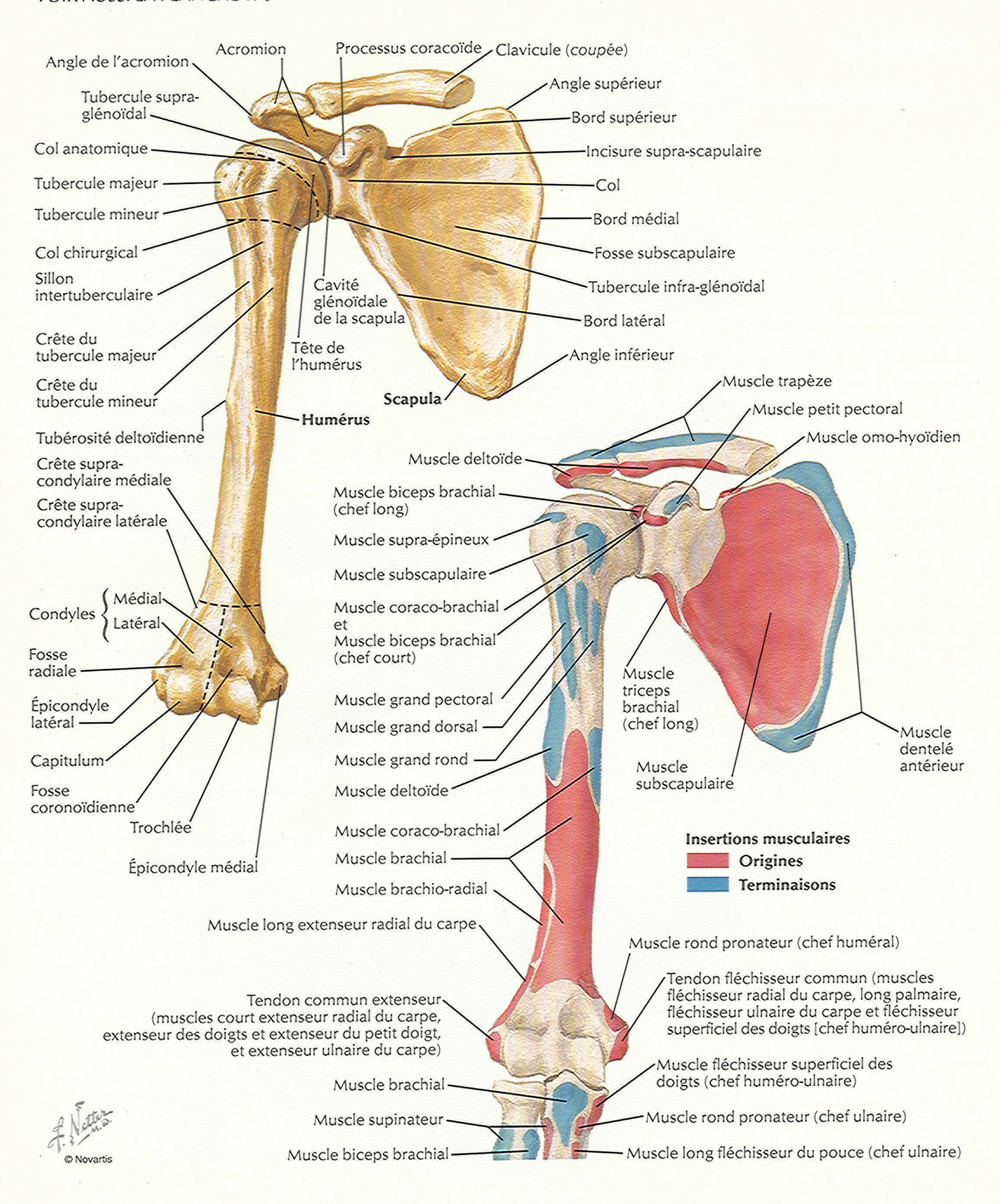
POIGNET ET MAIN
Planches 422 – 440

INNERVATION ET VASCULARISATION
Planches 441 – 452

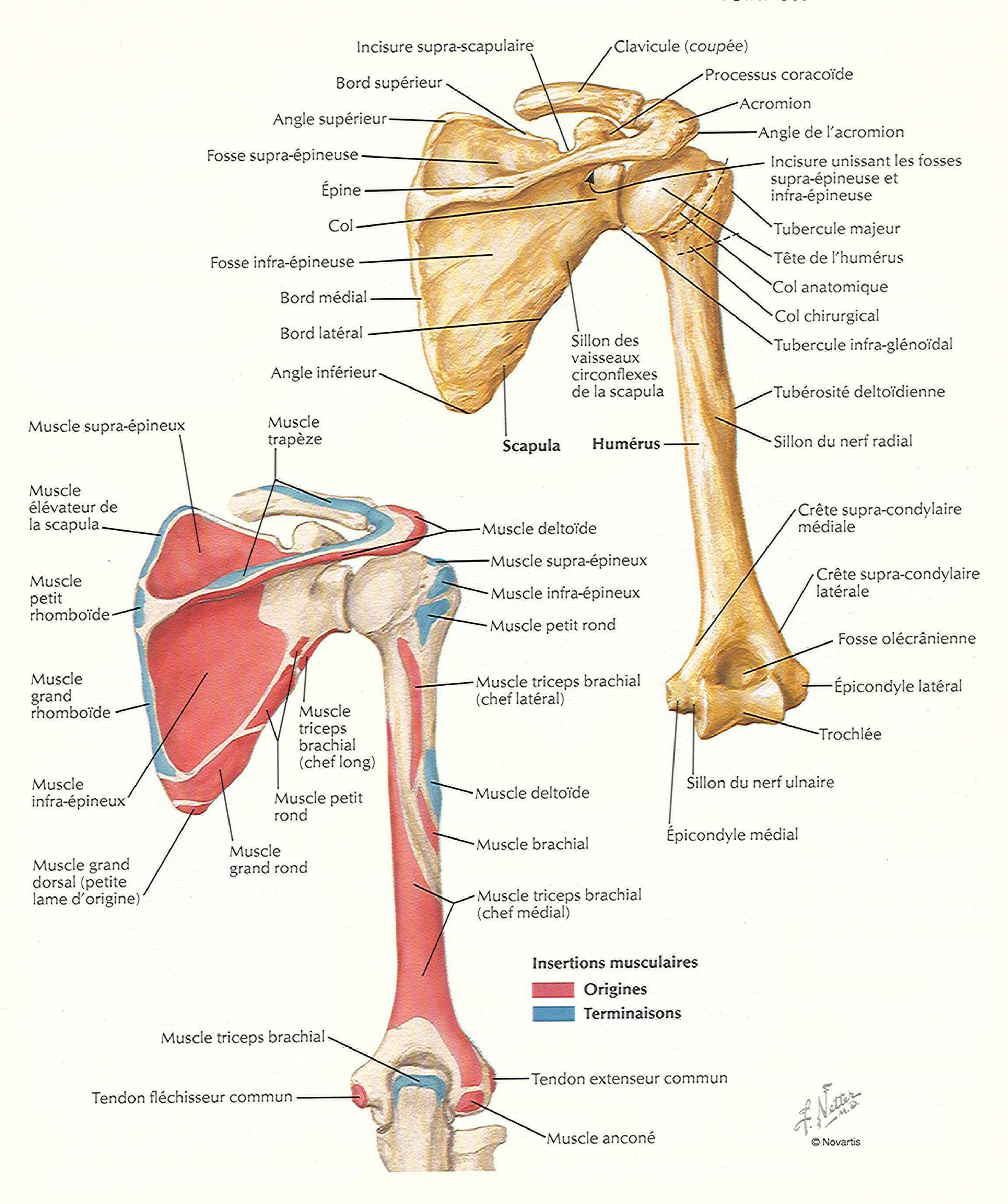

Clavicule droite
Face supérieure
Extrémité acromiale
Postérieur
Extrémité sternale
Diaphyse (corps)
Antérieur
Face inférieure
Surface acromiale
Empreinte du ligament costo-claviculaire
Antérieur
Ligne trapézoïde
Postérieur
Surface sternale
Tubercule conoïde
Sillon subclavier (pour le muscle subclavier)
Origines musculaires
Terminaisons musculaires
Insertions ligamentaires
Muscle trapèze
Face supérieure
Postérieur
Muscle sterno-cléido-mastoïdien
Muscle deltoïde
Antérieur
Muscle deltoïde
Muscle grand pectoral
Face inférieure
Muscle grand pectoral
Antérieur
Ligament costo-claviculaire
Ligament coraco-claviculaire
Ligament trapézoïde
Postérieur
Muscle subclavier
Ligament conoïde
Muscle sterno-hyoïdien
Articulation sterno-claviculaire
Ligament sterno-claviculaire antérieur
Disque articulaire de l'articulation sterno-claviculaire
Ligament interclaviculaire
Clavicule
Cavités articulaires de l'articulation sterno-claviculaire
Muscle subclavier
Ligament costo-claviculaire
Ligament costo-claviculaire
Synchondrose de la 1re côte
1re côte
Manubrium
Cartilages costaux
Articulation sterno-costale (synoviale)
2e côte
Ligament sterno-costal radié
Synchondrose manubrio-sternale
F. Netter M.D.

Humerus et scapula : vues antérieures

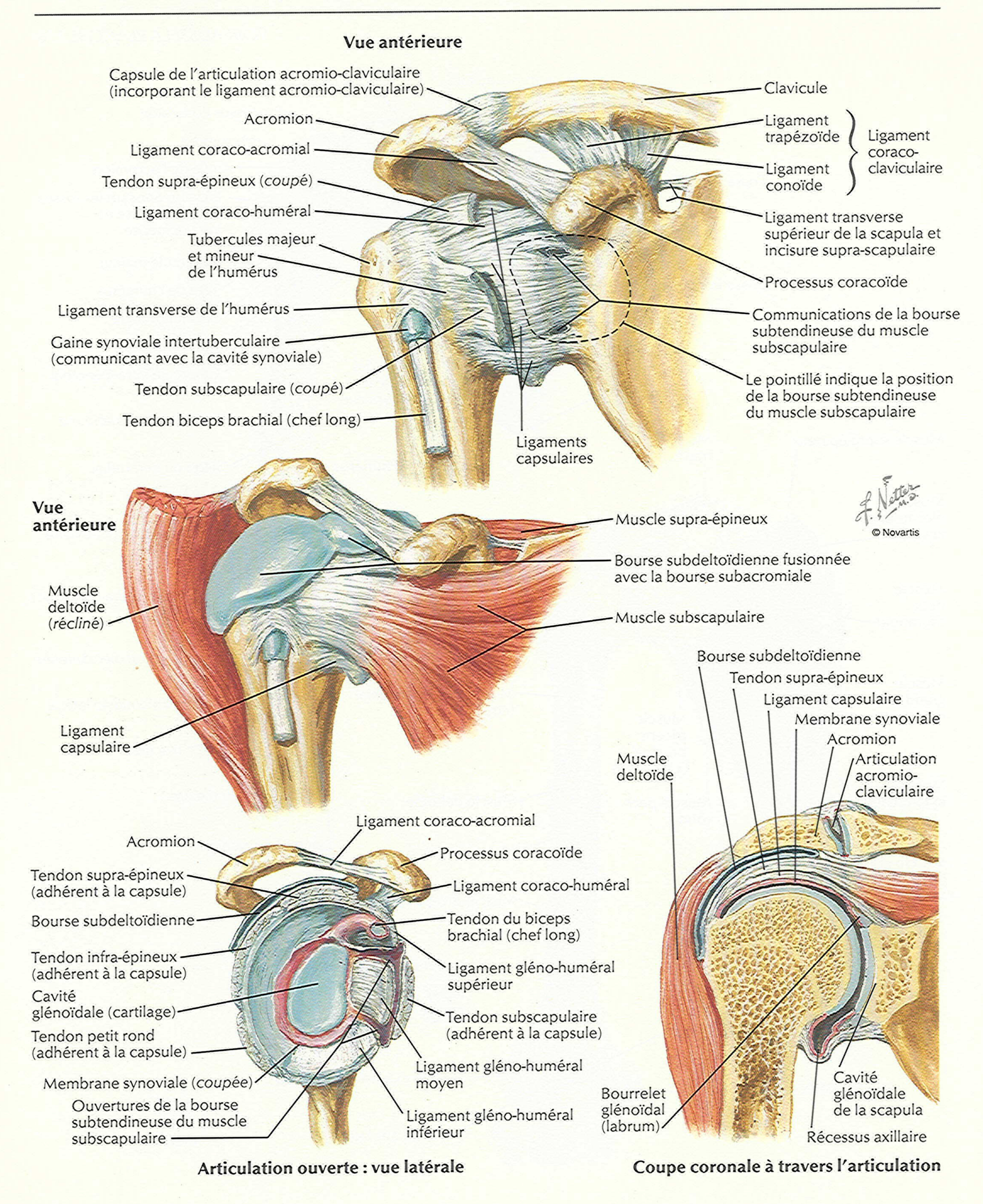
VOIR AUSSI LA PLANCHE 170



VOIR AUSSI LA PLANCHE 170



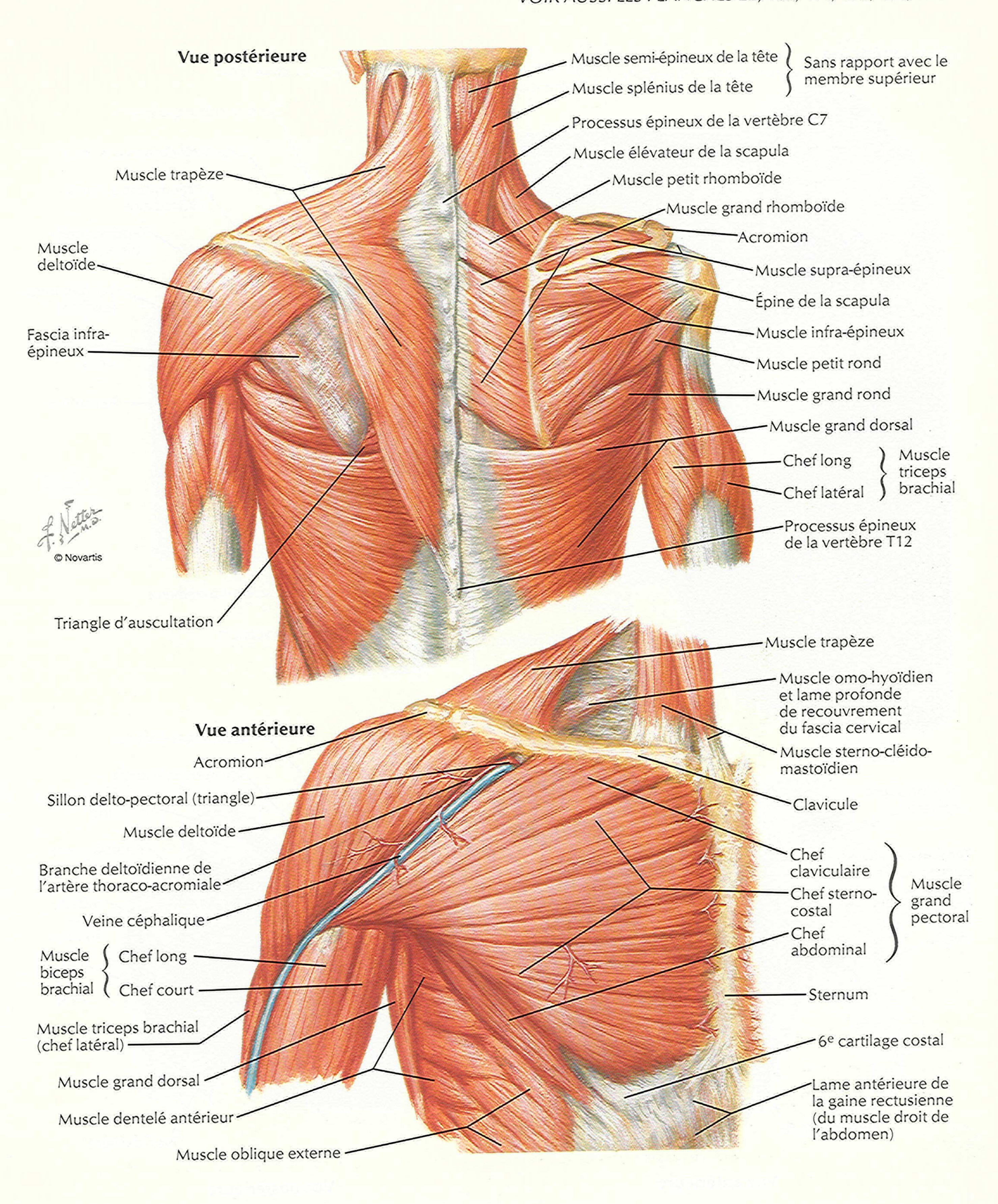
Articulation de l'épaule (gléno-humérale)



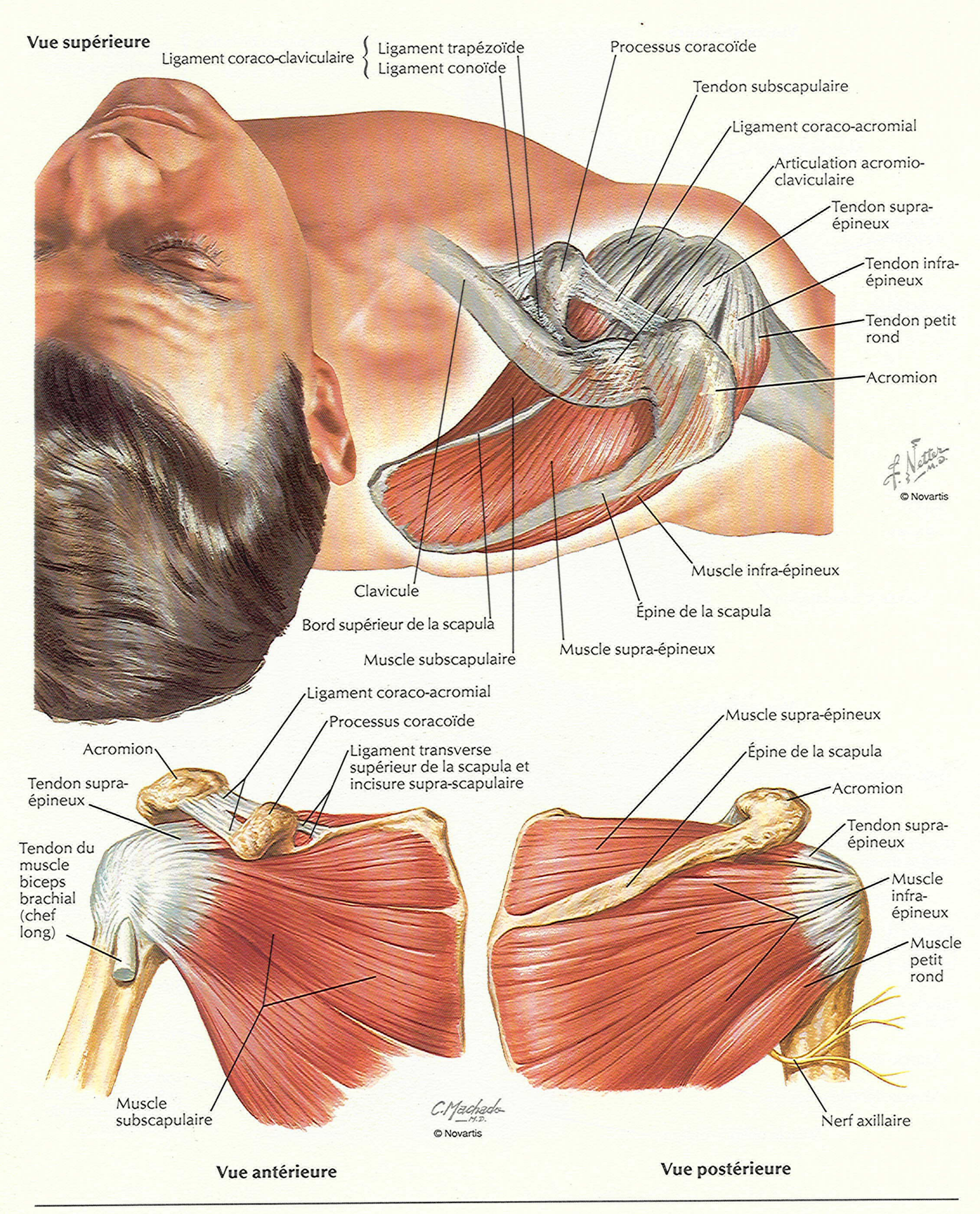
Articulation ouverte : vue latérale

Coupe coronale à travers l'articulation

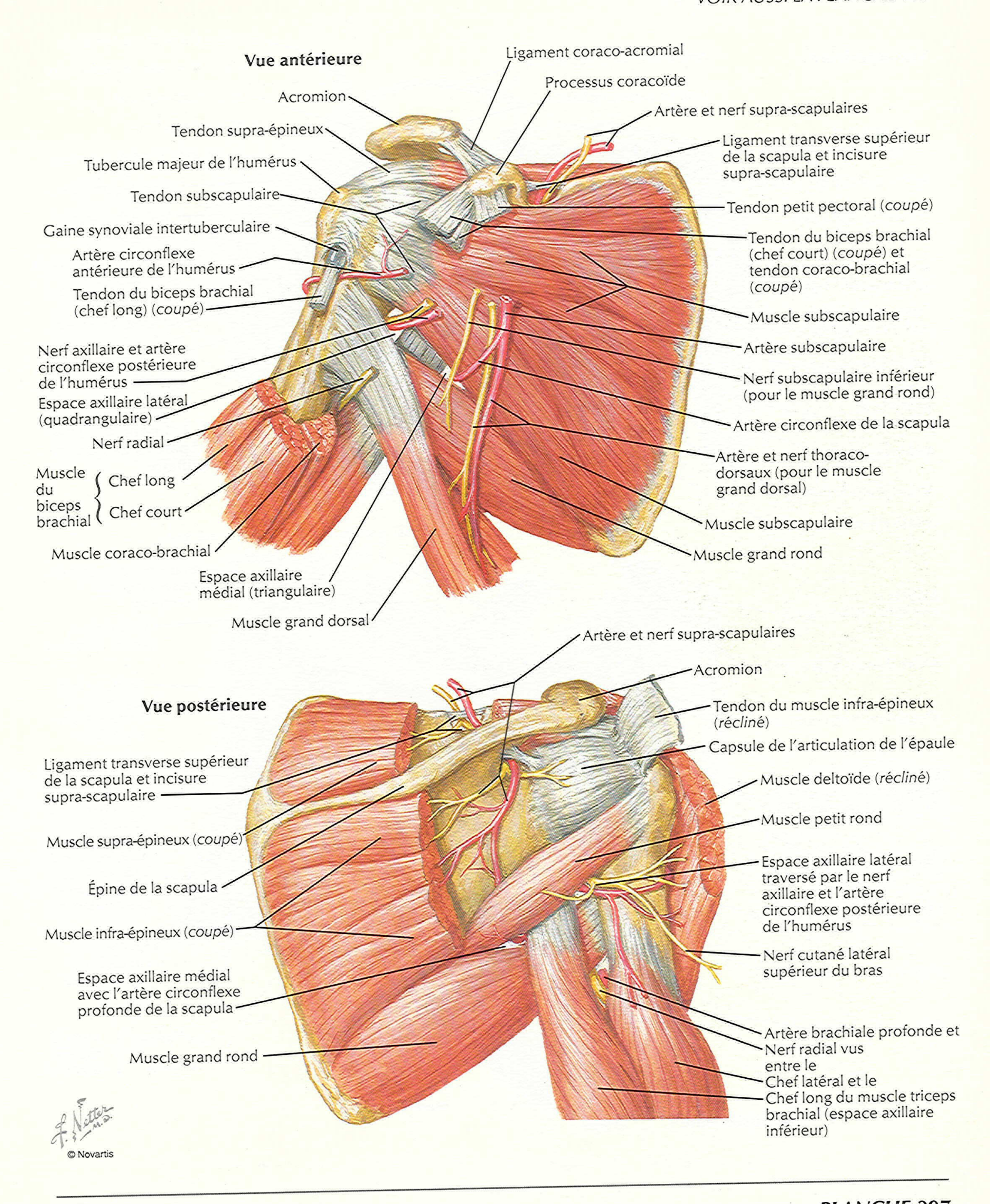
VOIR AUSSI LES PLANCHES 22, 160, 174, 175, 177, 178



Muscles de la coiffe des rotateurs

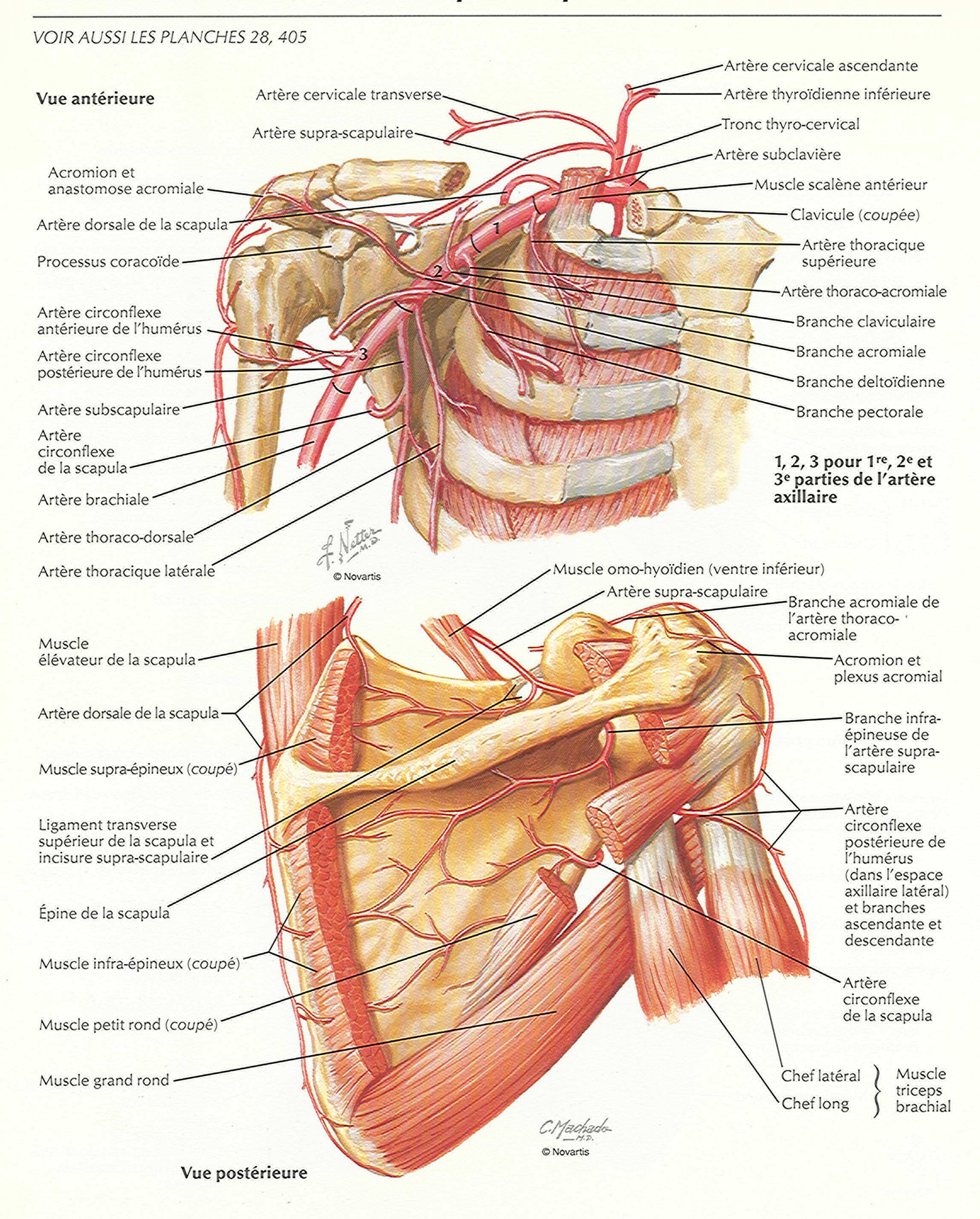


VOIR AUSSI LA PLANCHE 446



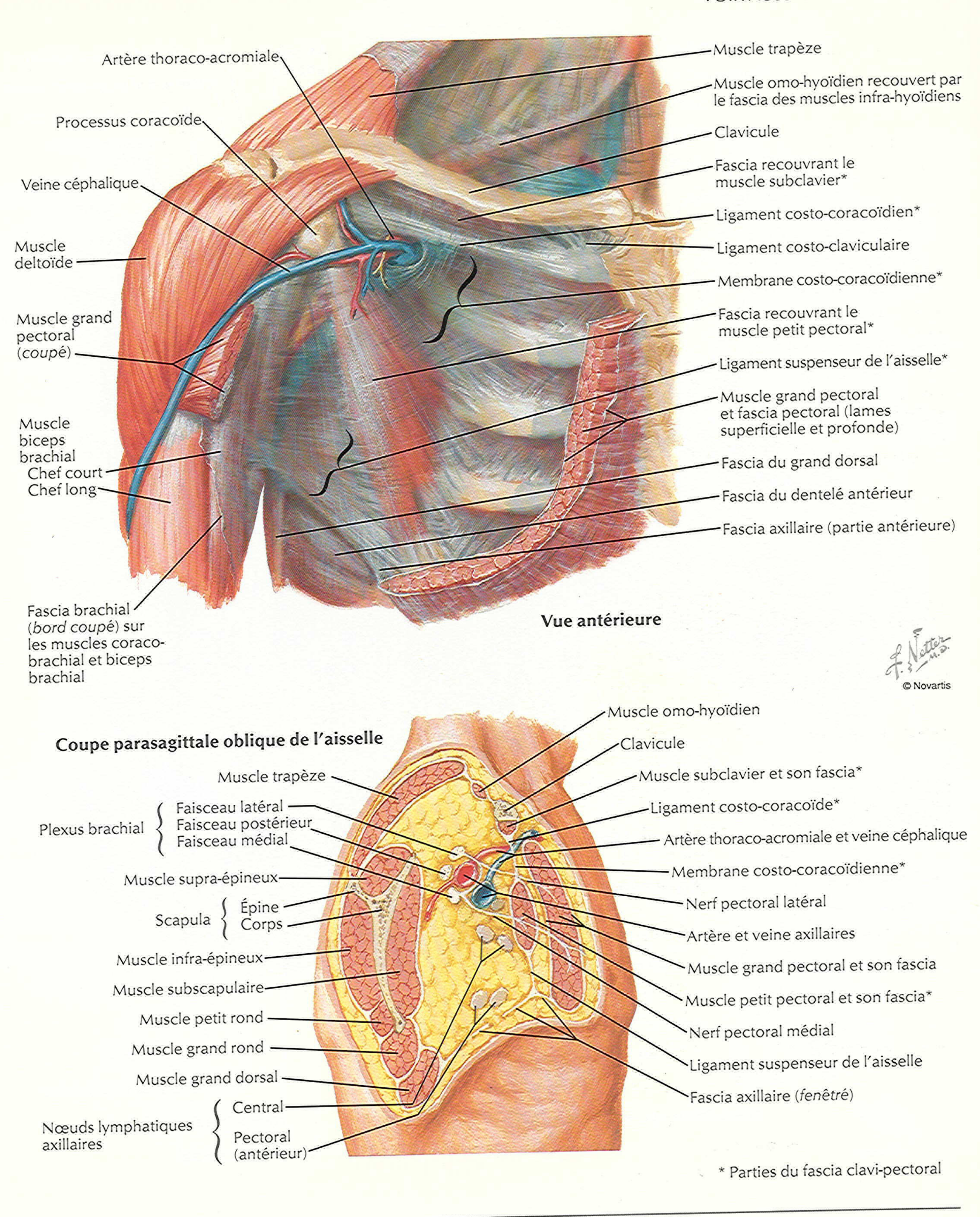
Artère axillaire et anastomoses péri-scapulaires

VOIR AUSSI LES PLANCHES 28, 405

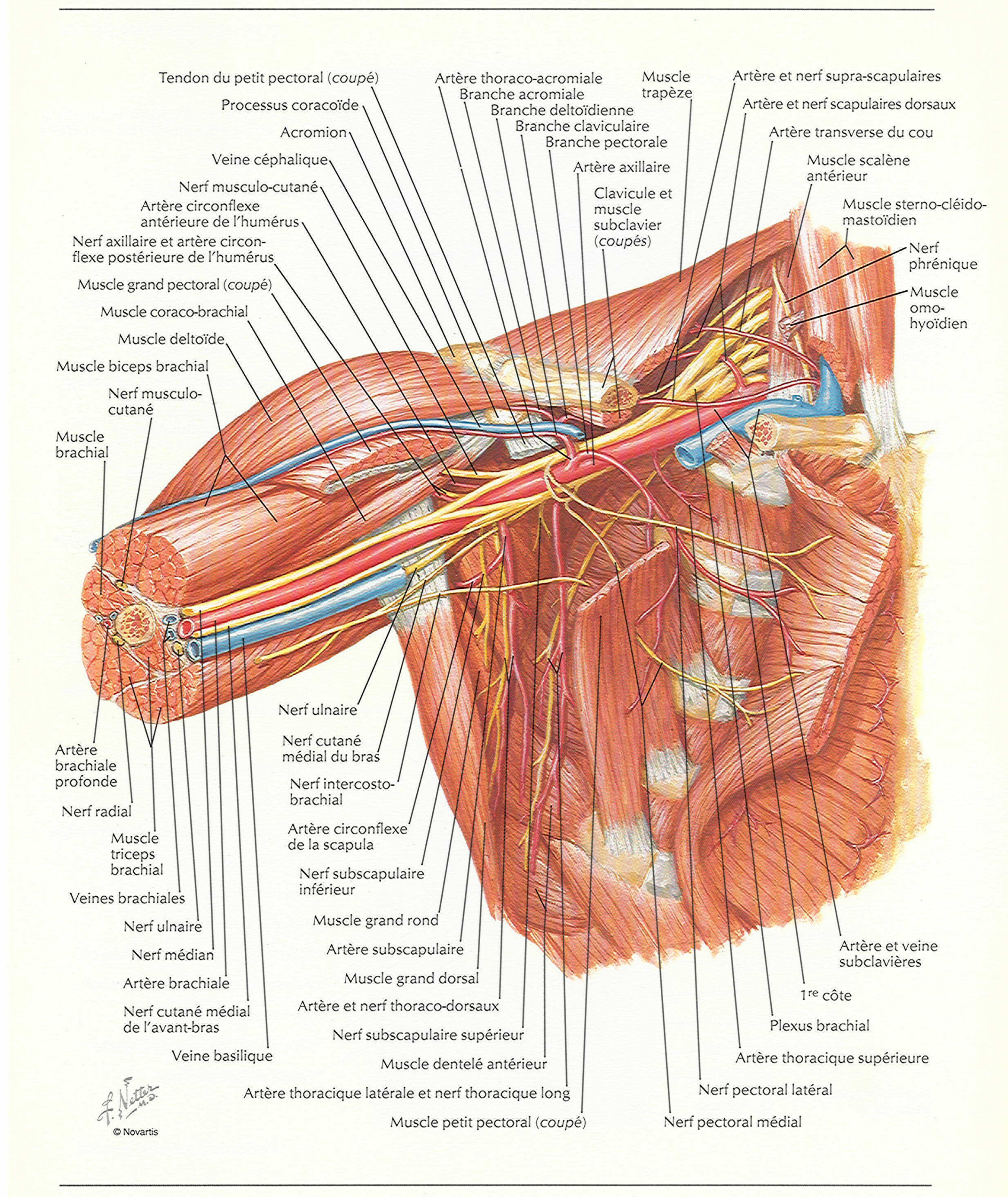


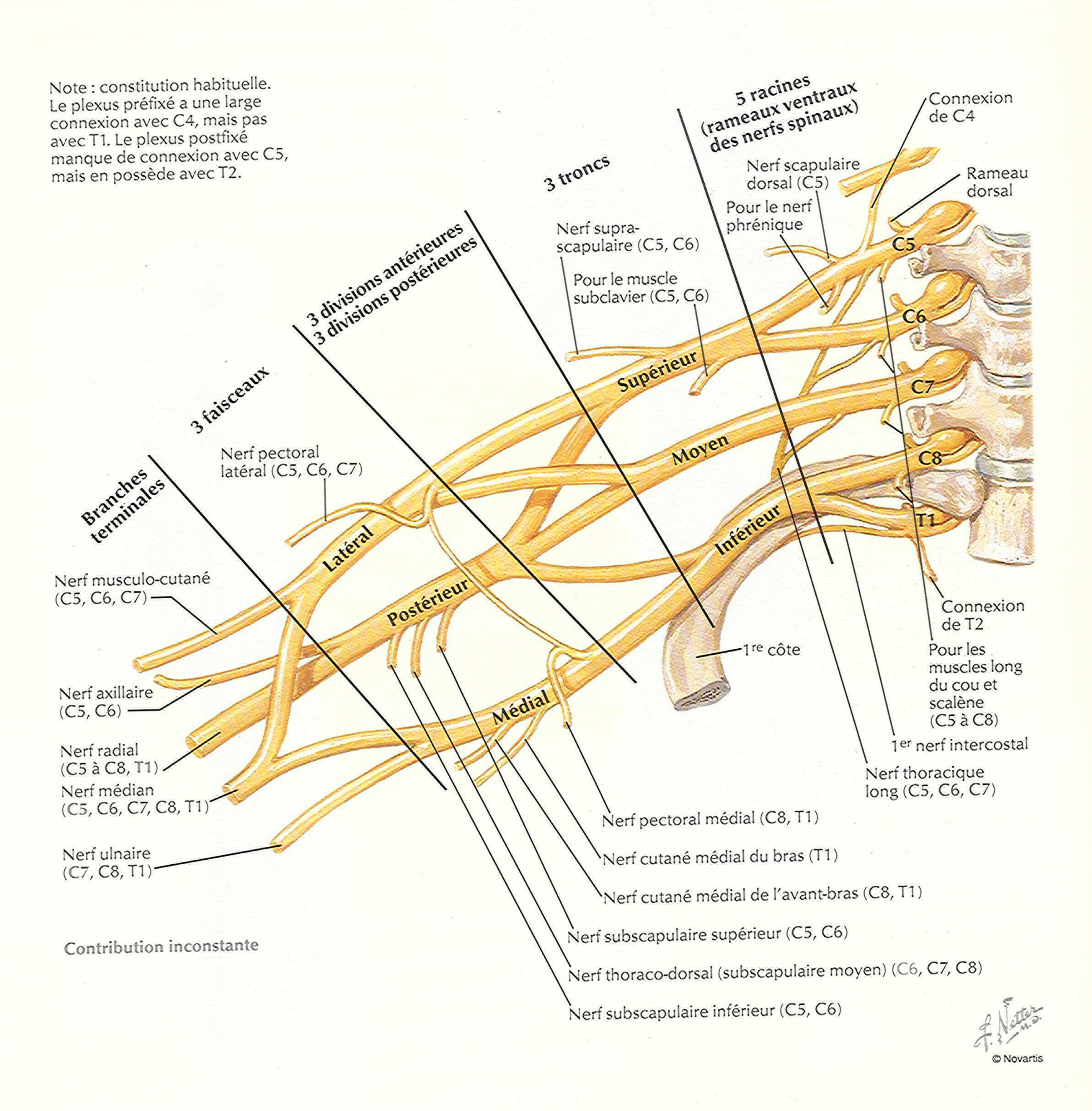
Fascias pectoral, clavi-pectoral et axillaire

VOIR AUSSI LA PLANCHE 174

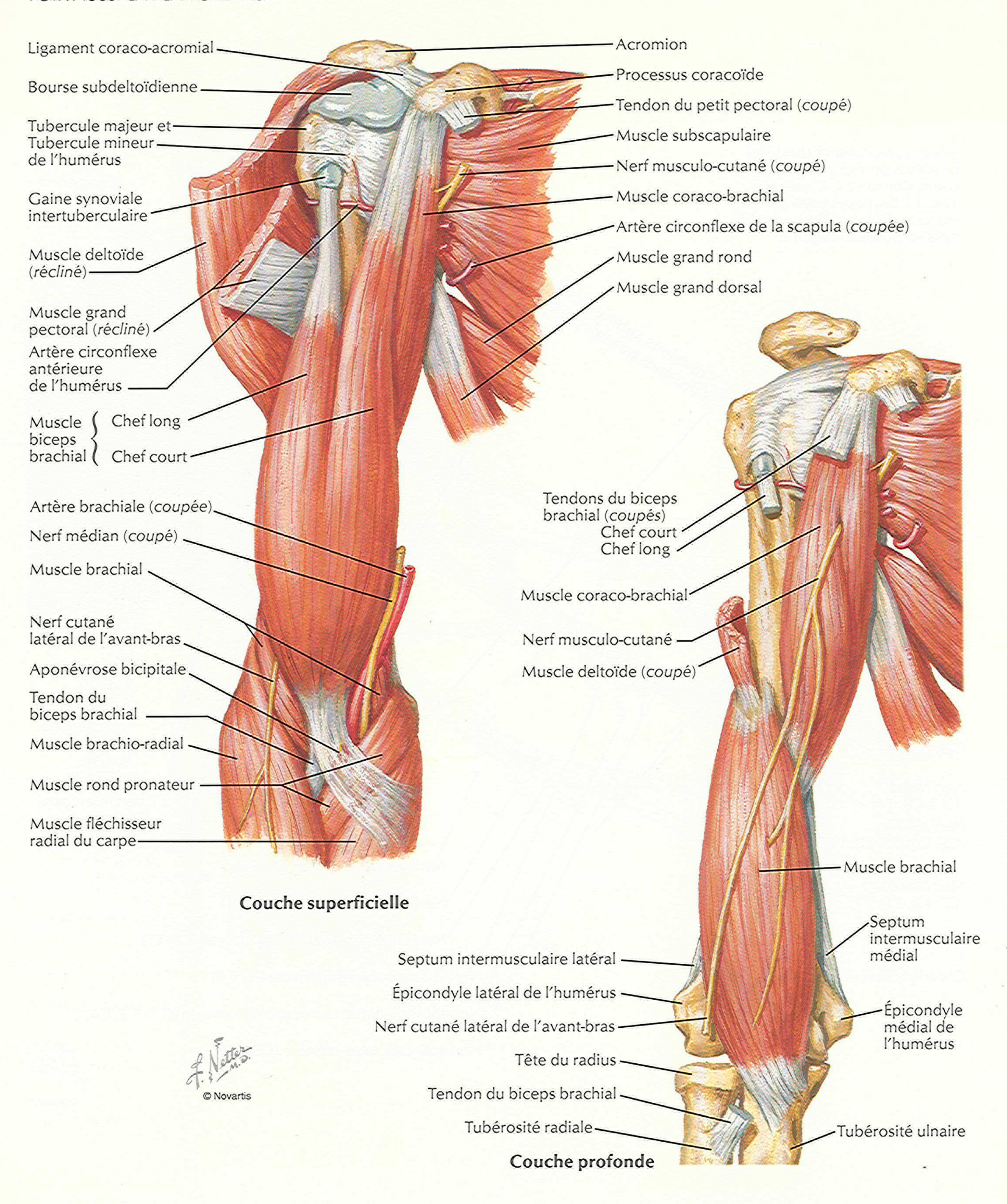


Fosse axillaire (dissection) : vue antérieure




Note : constitution habituelle. Le plexus préfixé a une large connexion avec C4, mais pas avec T1. Le plexus postfixé manque de connexion avec C5, mais en possède avec T2.
5 racines (rameaux ventraux des nerfs spinaux)
3 troncs
3 divisions antérieures
3 divisions postérieures
3 faisceaux
Branches terminales
Connexion de C4
Rameau dorsal
Nerf scapulaire dorsal (C5)
Pour le nerf phrénique
Nerf supra-scapulaire (C5, C6)
Pour le muscle subclavier (C5, C6)
C5
C6
C7
C8
T1
Supérieur
Moyen
Inférieur
Latéral
Postérieur
Médial
Nerf pectoral latéral (C5, C6, C7)
Nerf musculo-cutané (C5, C6, C7)
Nerf axillaire (C5, C6)
Nerf radial (C5 à C8, T1)
Nerf médian (C5, C6, C7, C8, T1)
Nerf ulnaire (C7, C8, T1)
1re côte
Connexion de T2
Pour les muscles long du cou et scalène (C5 à C8)
1er nerf intercostal
Nerf thoracique long (C5, C6, C7)
Nerf pectoral médial (C8, T1)
Nerf cutané médial du bras (T1)
Nerf cutané médial de l'avant-bras (C8, T1)
Nerf subscapulaire supérieur (C5, C6)
Nerf thoraco-dorsal (subscapulaire moyen) (C6, C7, C8)
Nerf subscapulaire inférieur (C5, C6)
Contribution inconstante
F. Netter M.D.
© Novartis

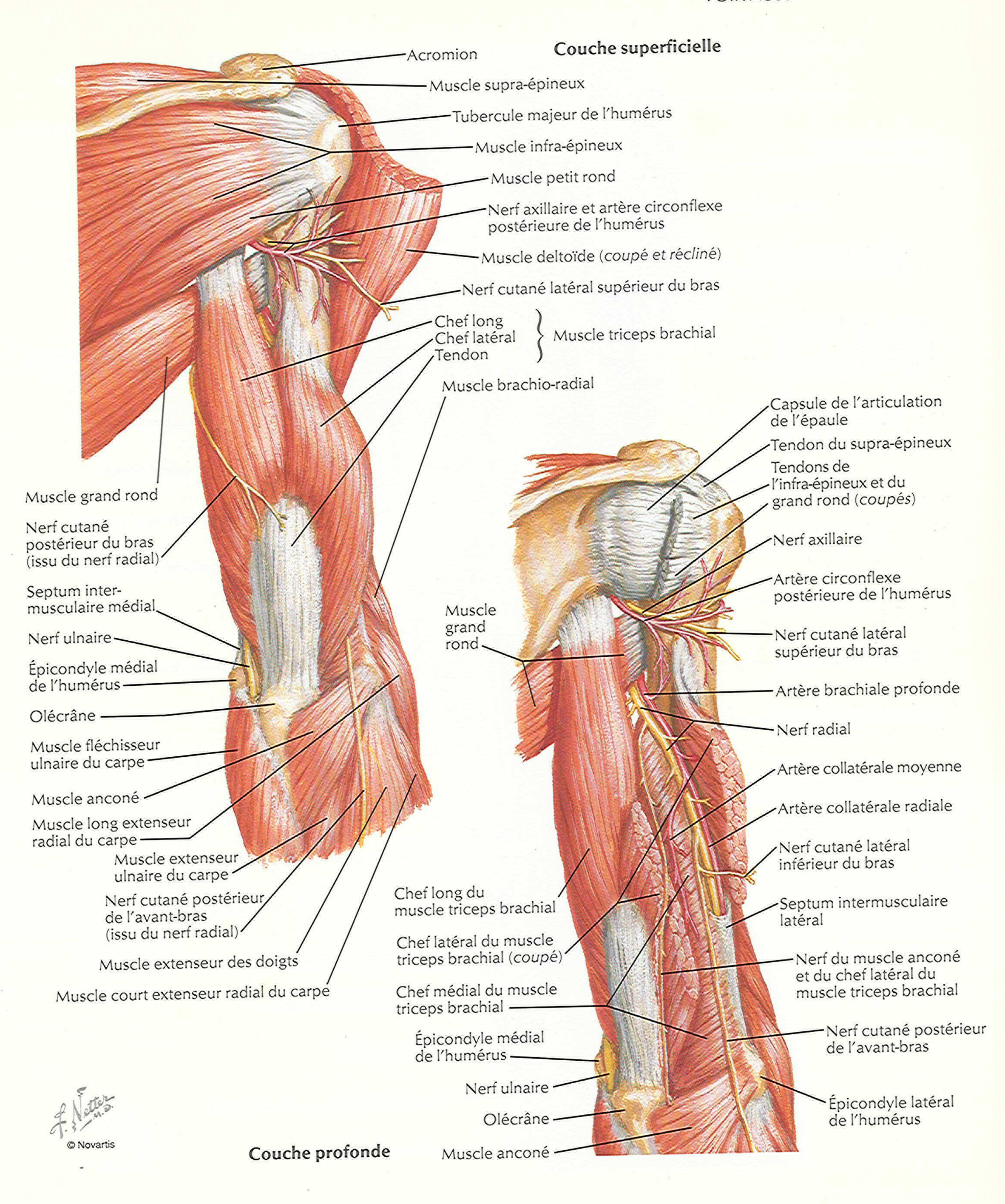
VOIR AUSSI LA PLANCHE 443



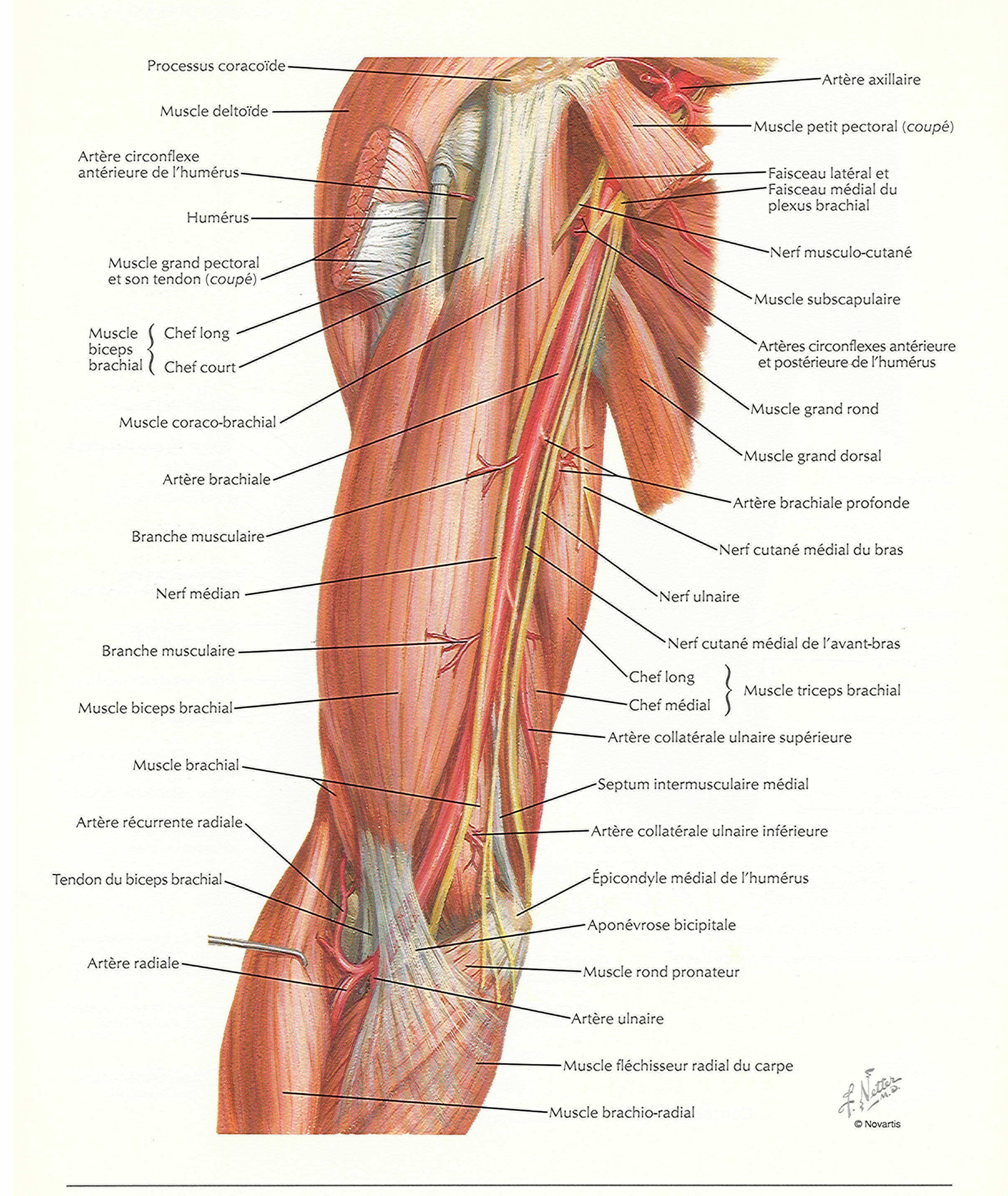
Couche superficielle

Couche profonde

VOIR AUSSI LA PLANCHE 446

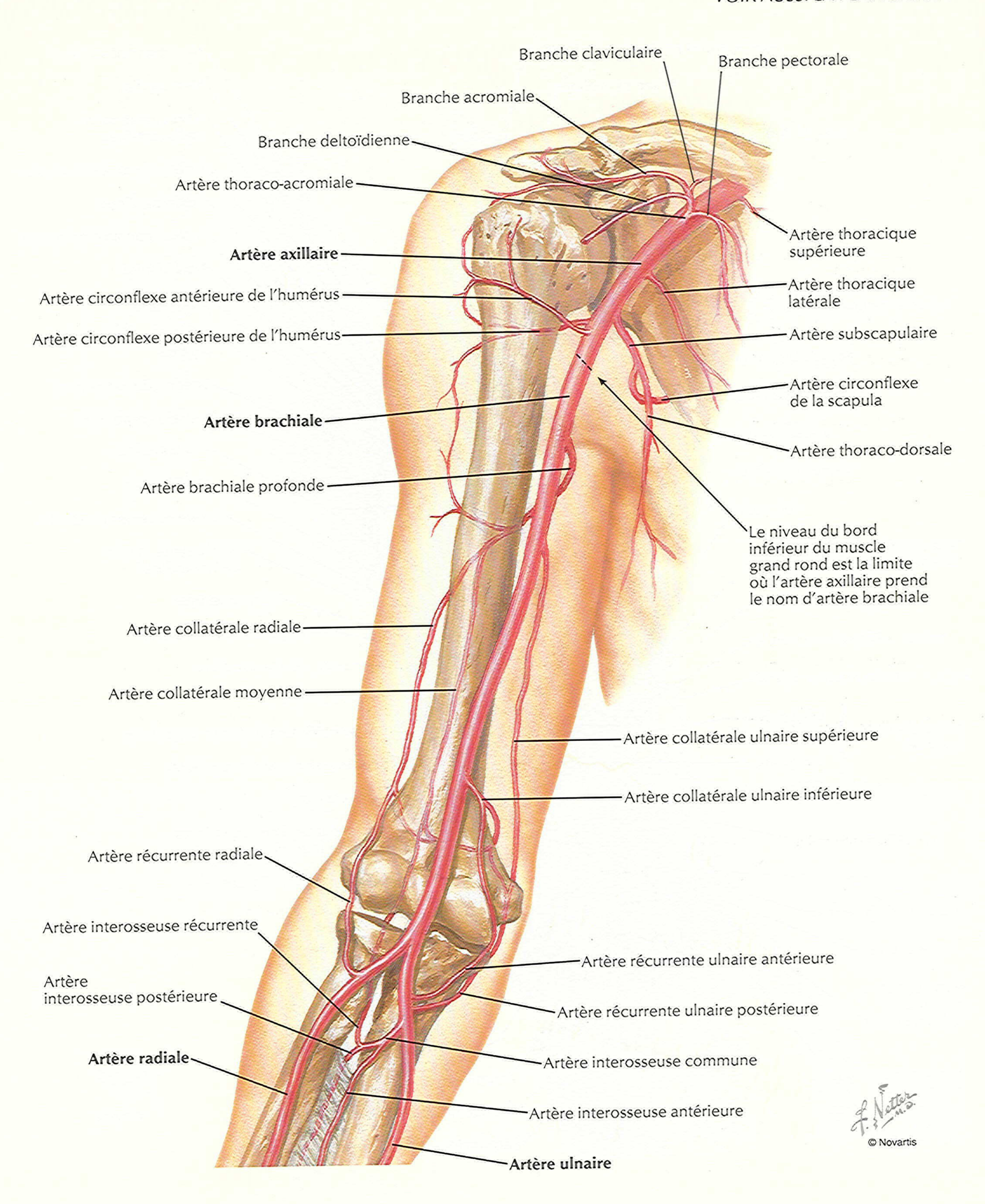


Artère brachiale in situ

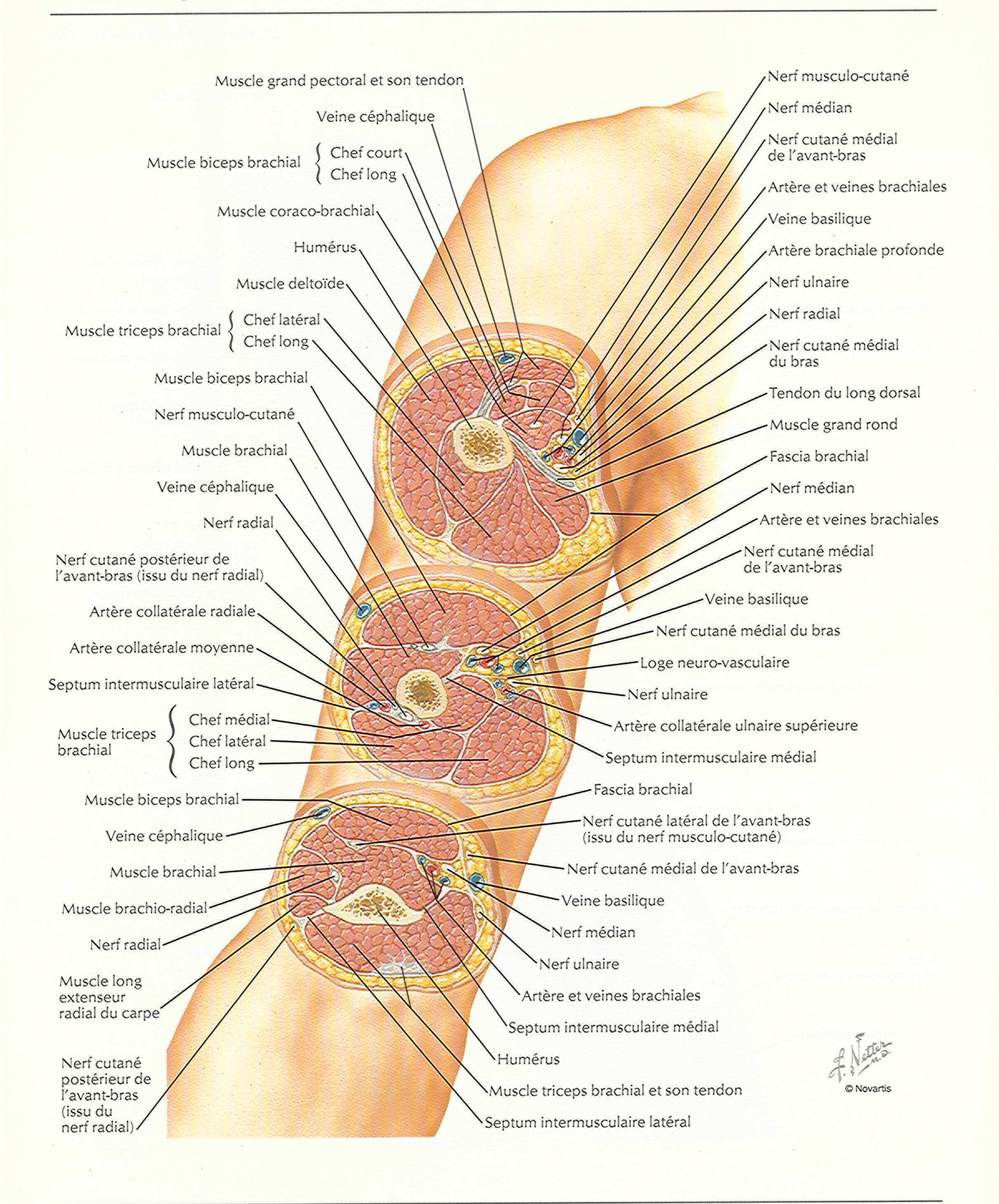


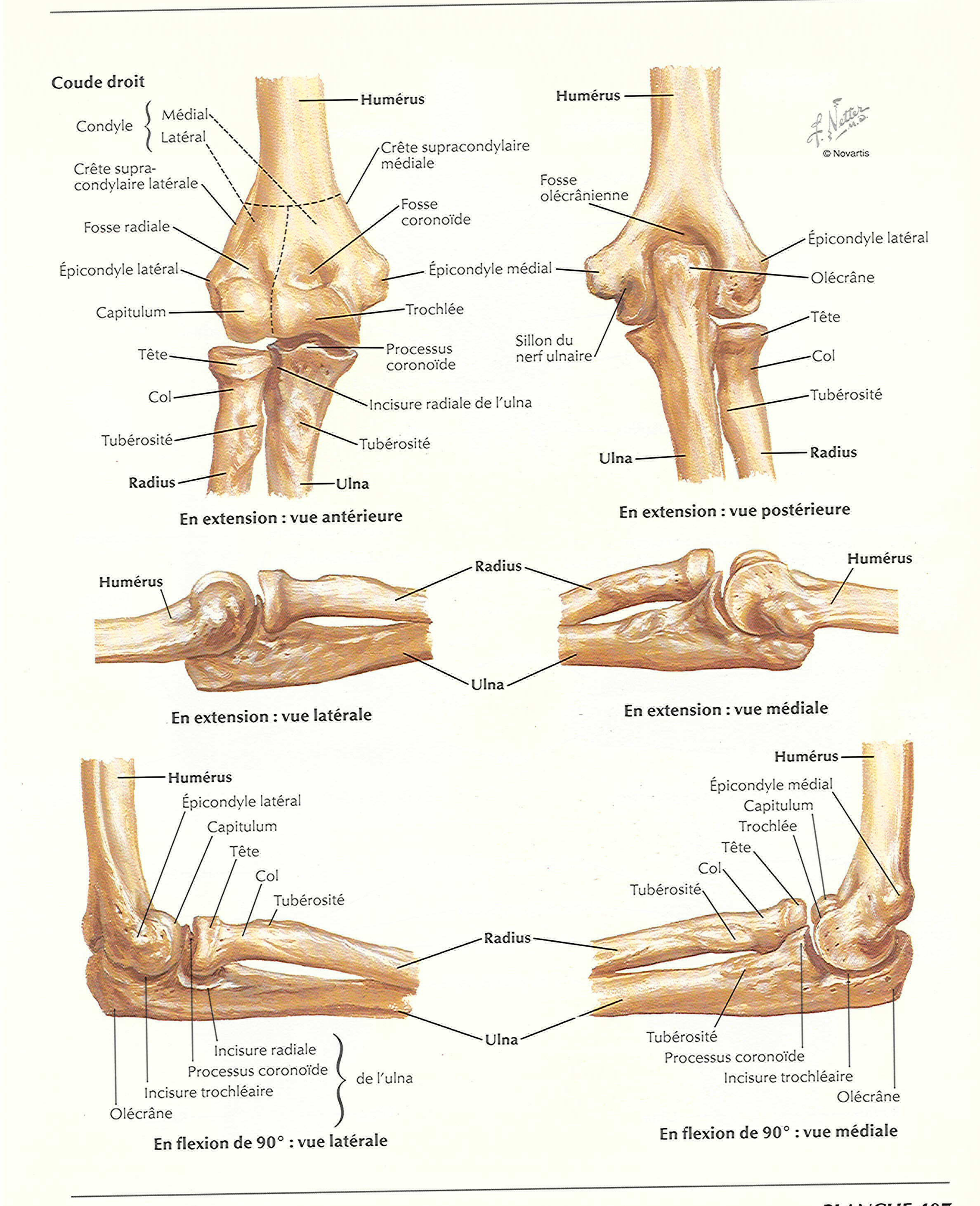
Artère brachiale et anastomoses péri-cubitales

VOIR AUSSI LA PLANCHE 398



Bras : coupes transversales sériées





En extension : vue antérieure

En extension : vue postérieure

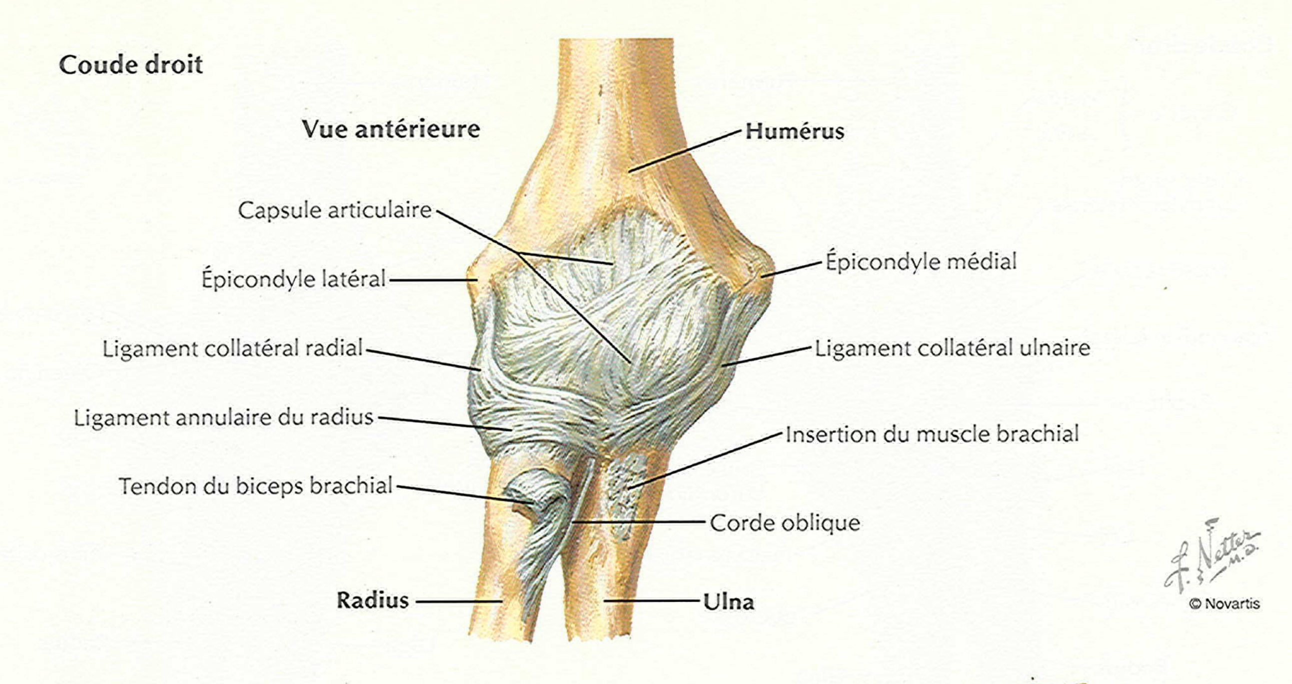
En extension : vue latérale

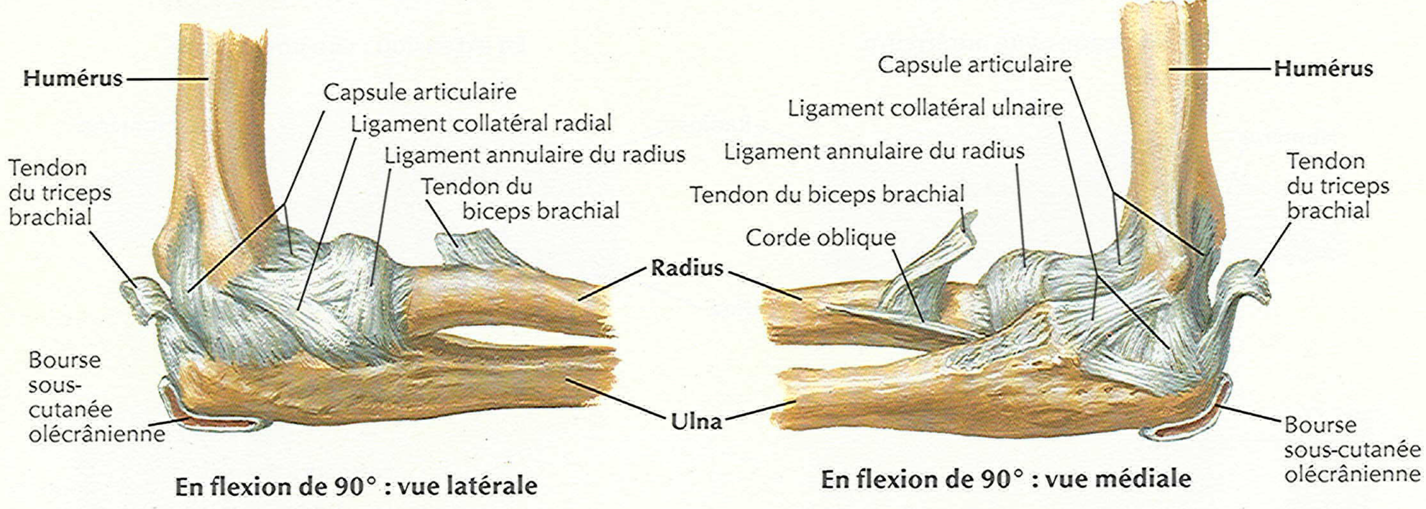
En extension : vue médiale

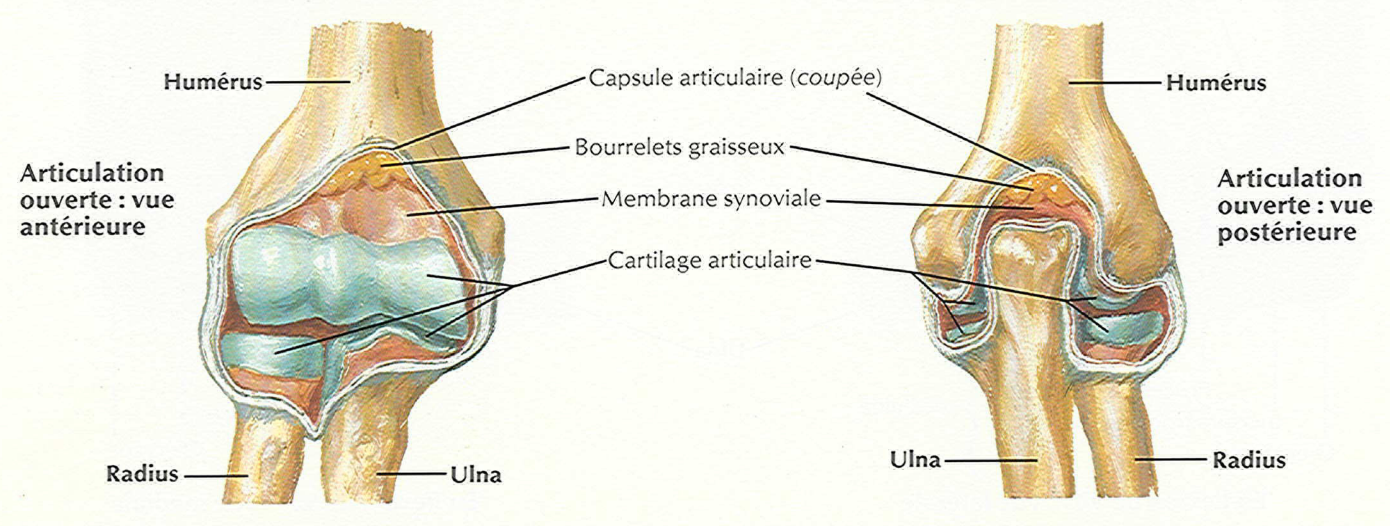
En flexion de 90° : vue latérale

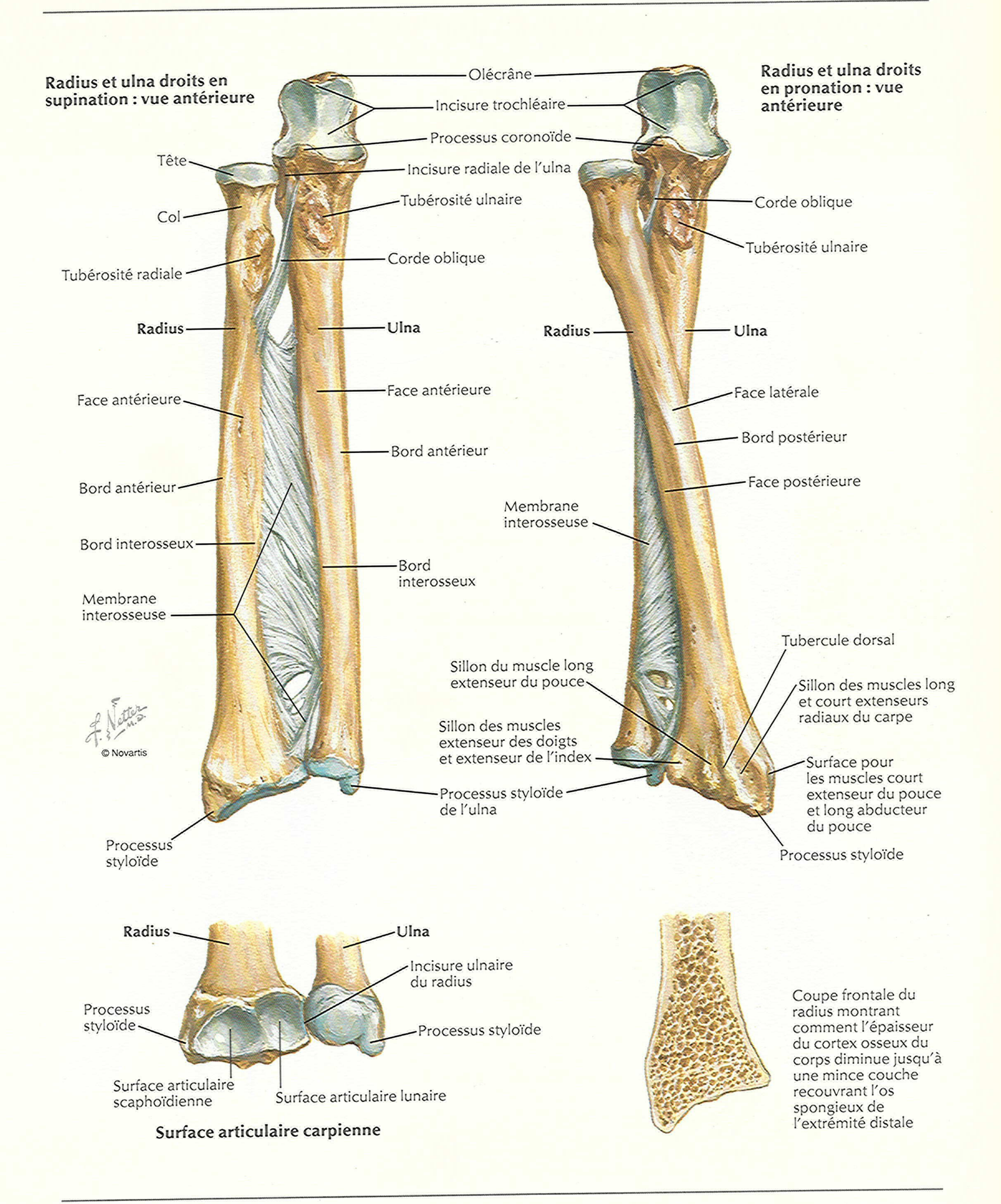
En flexion de 90° : vue médiale

Ligaments du coude

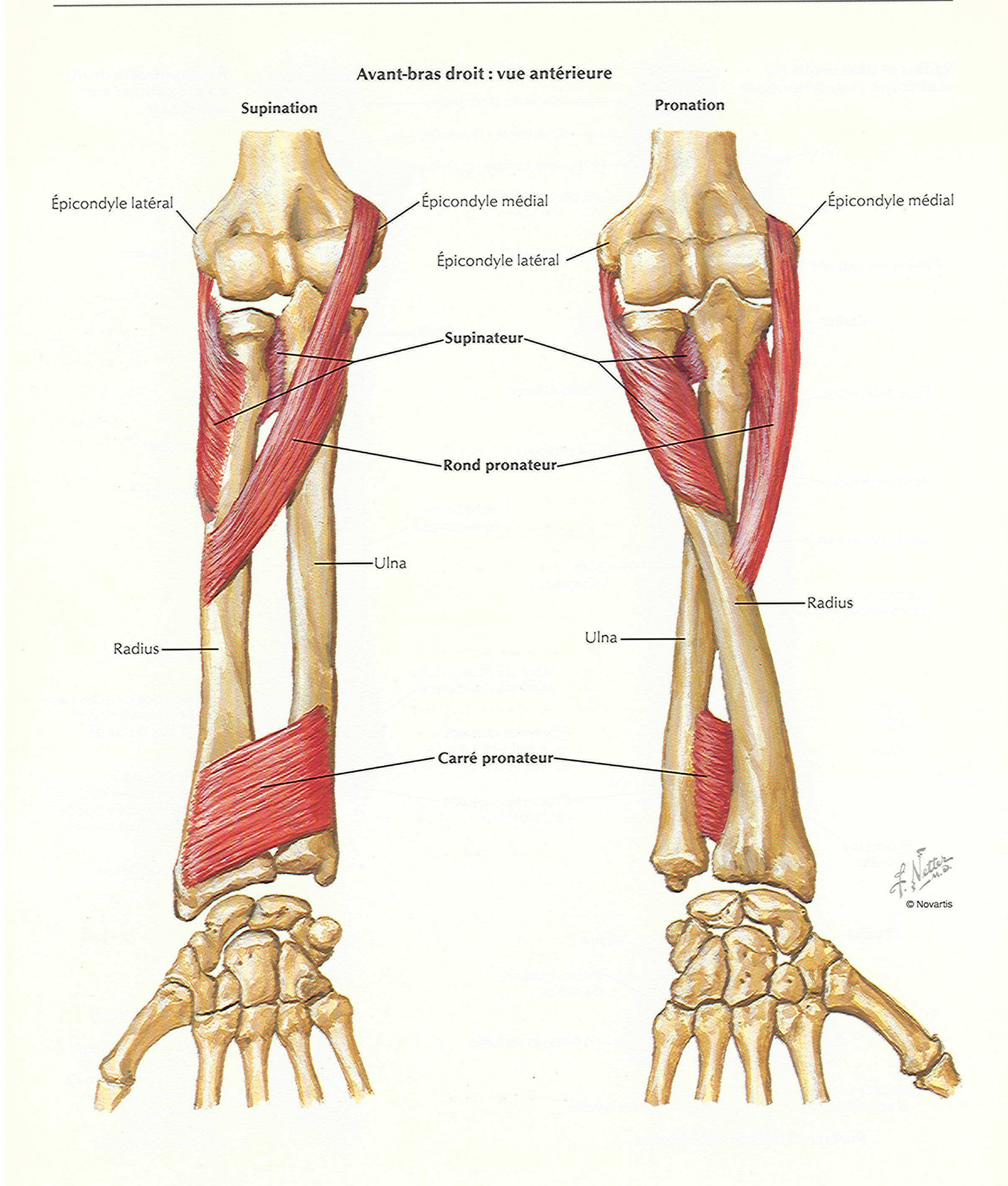




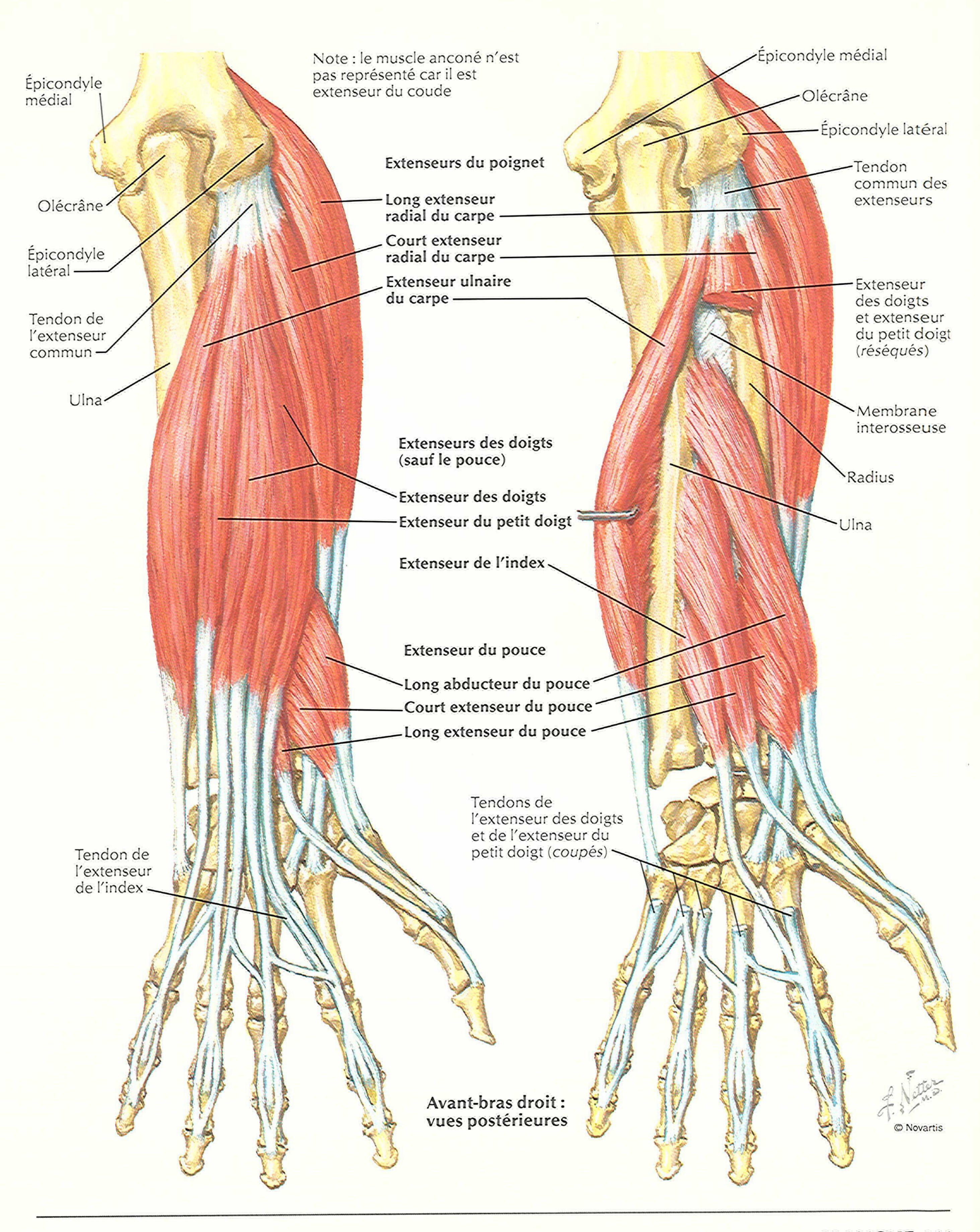



Radius et ulna droits en supination : vue antérieure
Olécrâne
Incisure trochléaire
Processus coronoïde
Tête
Incisure radiale de l'ulna
Col
Tubérosité ulnaire
Tubérosité radiale
Corde oblique
Radius
Ulna
Face antérieure
Face antérieure
Bord antérieur
Bord antérieur
Bord interosseux
Bord interosseux
Membrane interosseuse
Processus styloïde de l'ulna
Processus styloïde
Radius et ulna droits en pronation : vue antérieure
Corde oblique
Tubérosité ulnaire
Radius
Ulna
Face latérale
Bord postérieur
Face postérieure
Membrane interosseuse
Tubercule dorsal
Sillon du muscle long extenseur du pouce
Sillon des muscles long et court extenseurs radiaux du carpe
Sillon des muscles extenseur des doigts et extenseur de l'index
Surface pour les muscles court extenseur du pouce et long abducteur du pouce
Processus styloïde
Radius
Ulna
Incisure ulnaire du radius
Processus styloïde
Processus styloïde
Surface articulaire scaphoïdienne
Surface articulaire lunaire
Surface articulaire carpienne
Coupe frontale du radius montrant comment l'épaisseur du cortex osseux du corps diminue jusqu'à une mince couche recouvrant l'os spongieux de l'extrémité distale

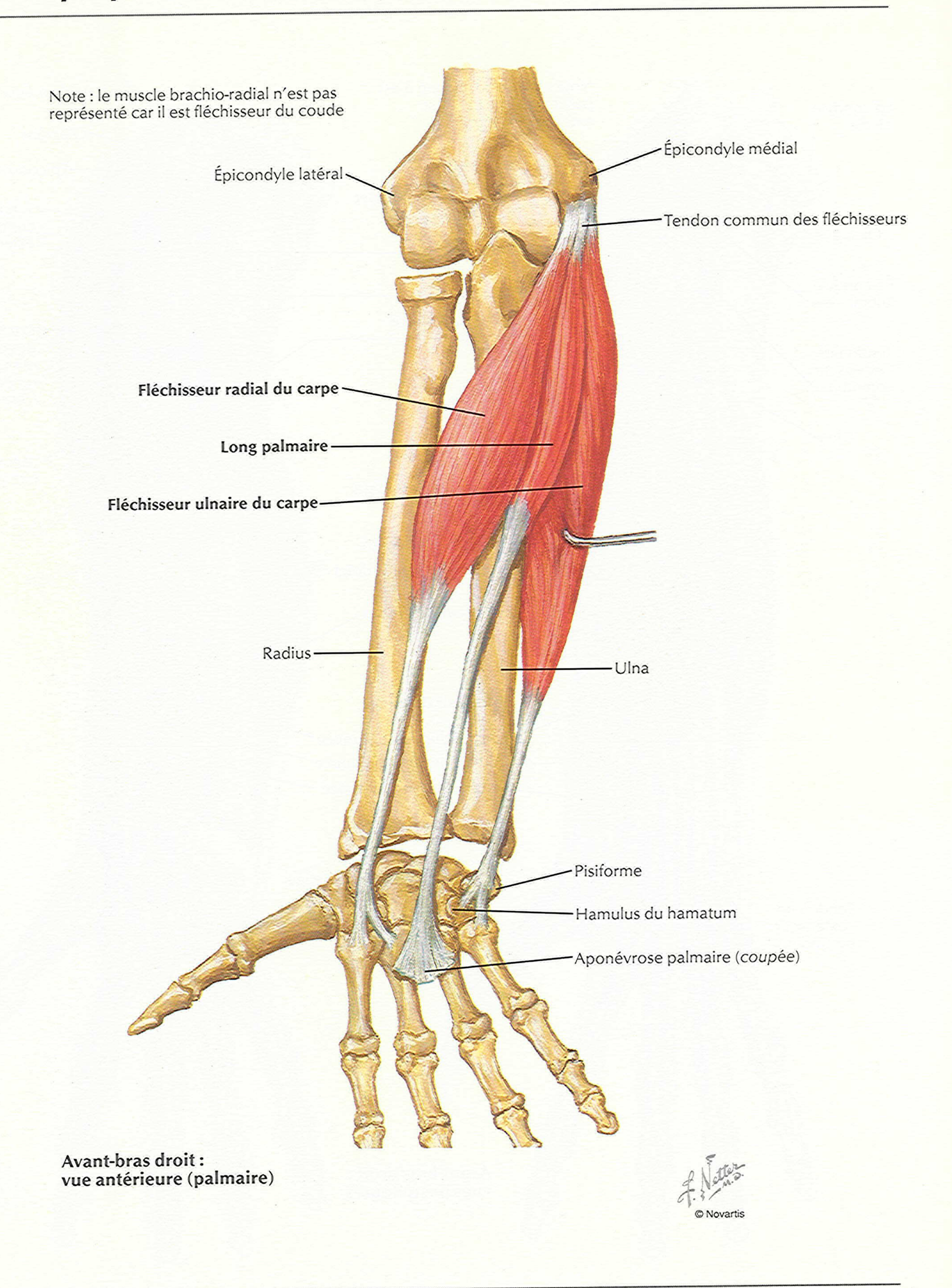
Muscles propres de l'avant-bras : rotateurs du radius



Muscles propres de l'avant-bras : extenseurs du poignet et des doigts

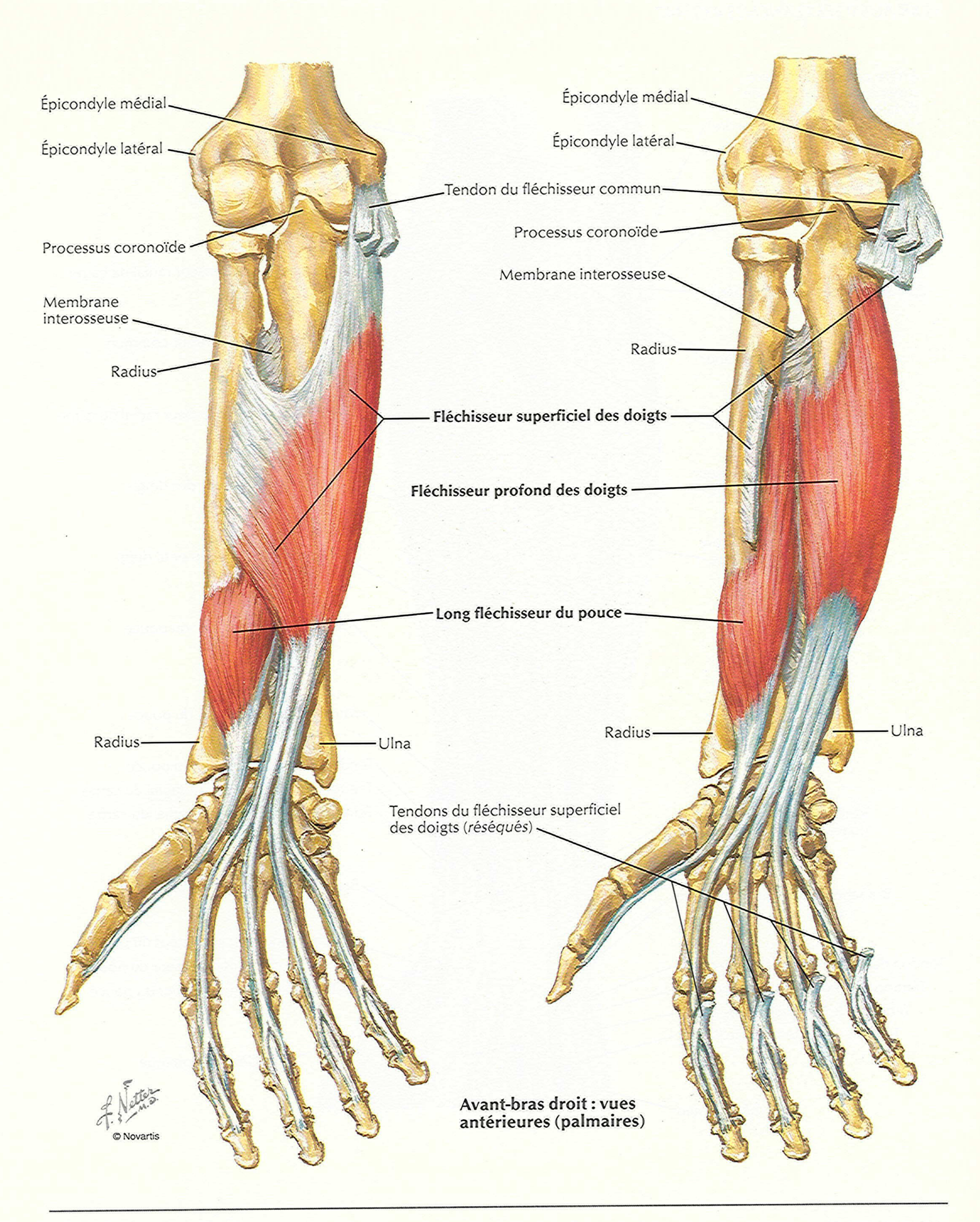


Avant-bras droit : vues postérieures



Avant-bras droit :
vue antérieure (palmaire)

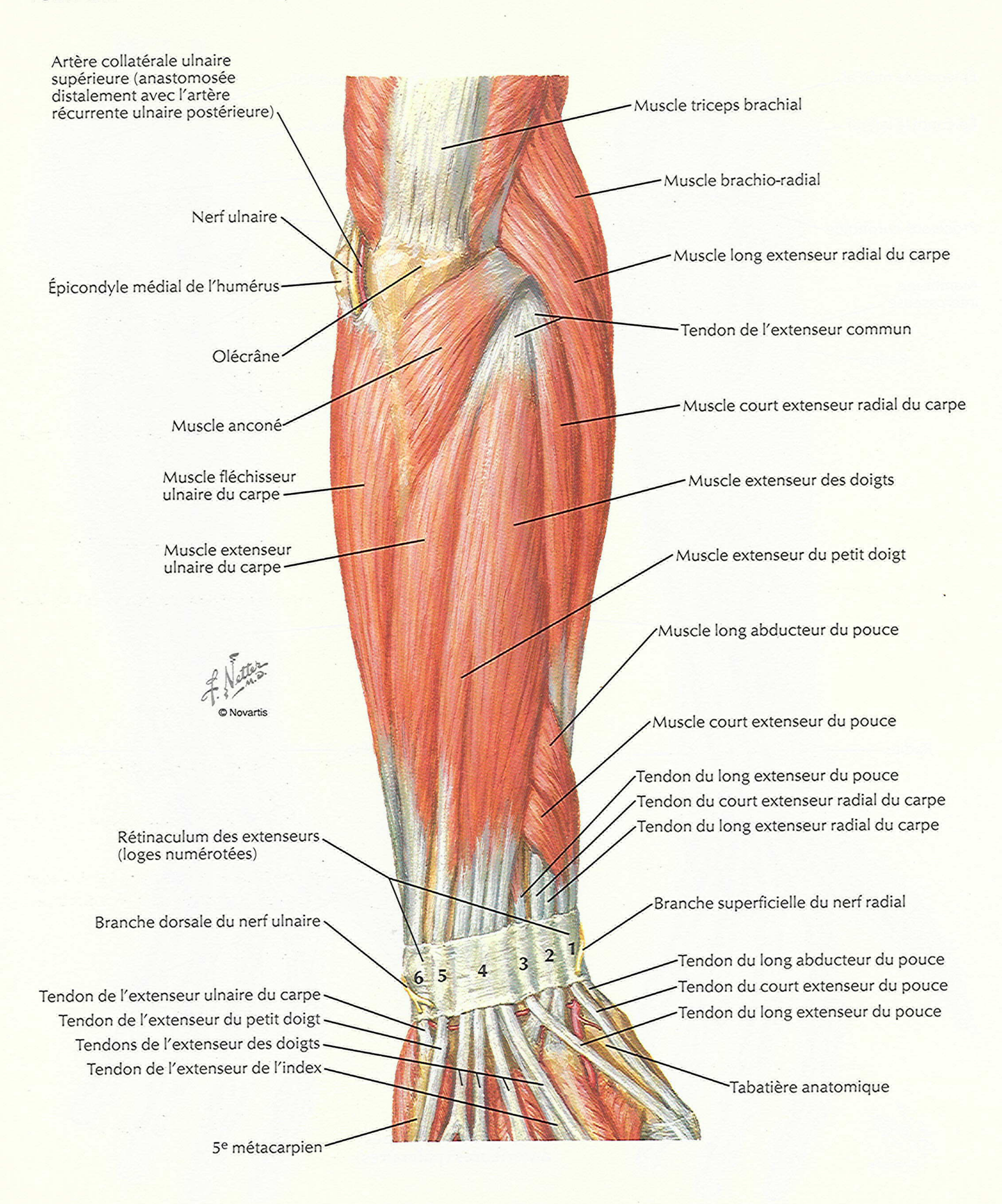
Muscles propres de l'avant-bras : fléchisseurs des doigts



Avant-bras droit : vues antérieures (palmaires)

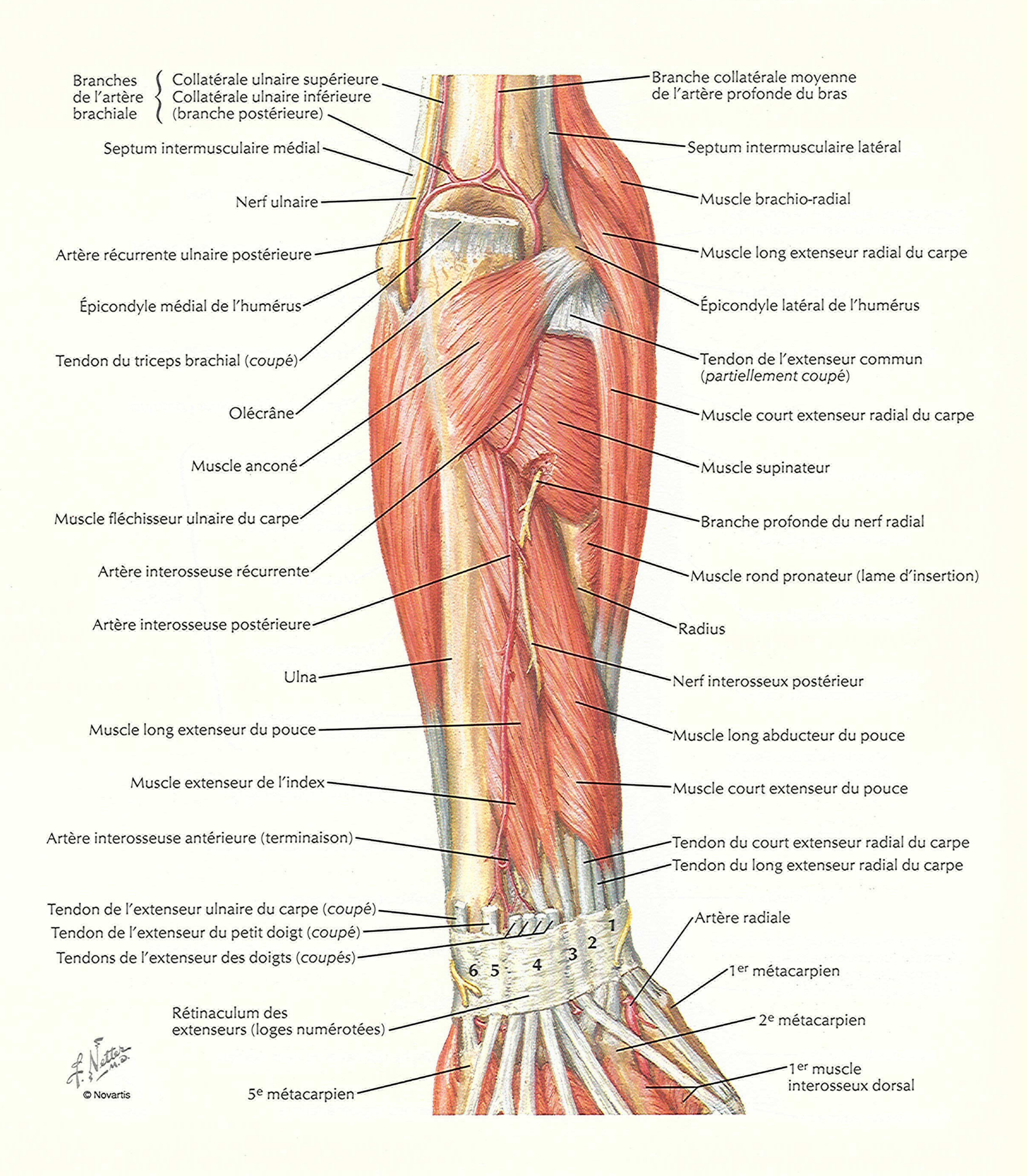
Muscles de l'avant-bras (couche superficielle) : vue postérieure

VOIR AUSSI LES PLANCHES 439, 447



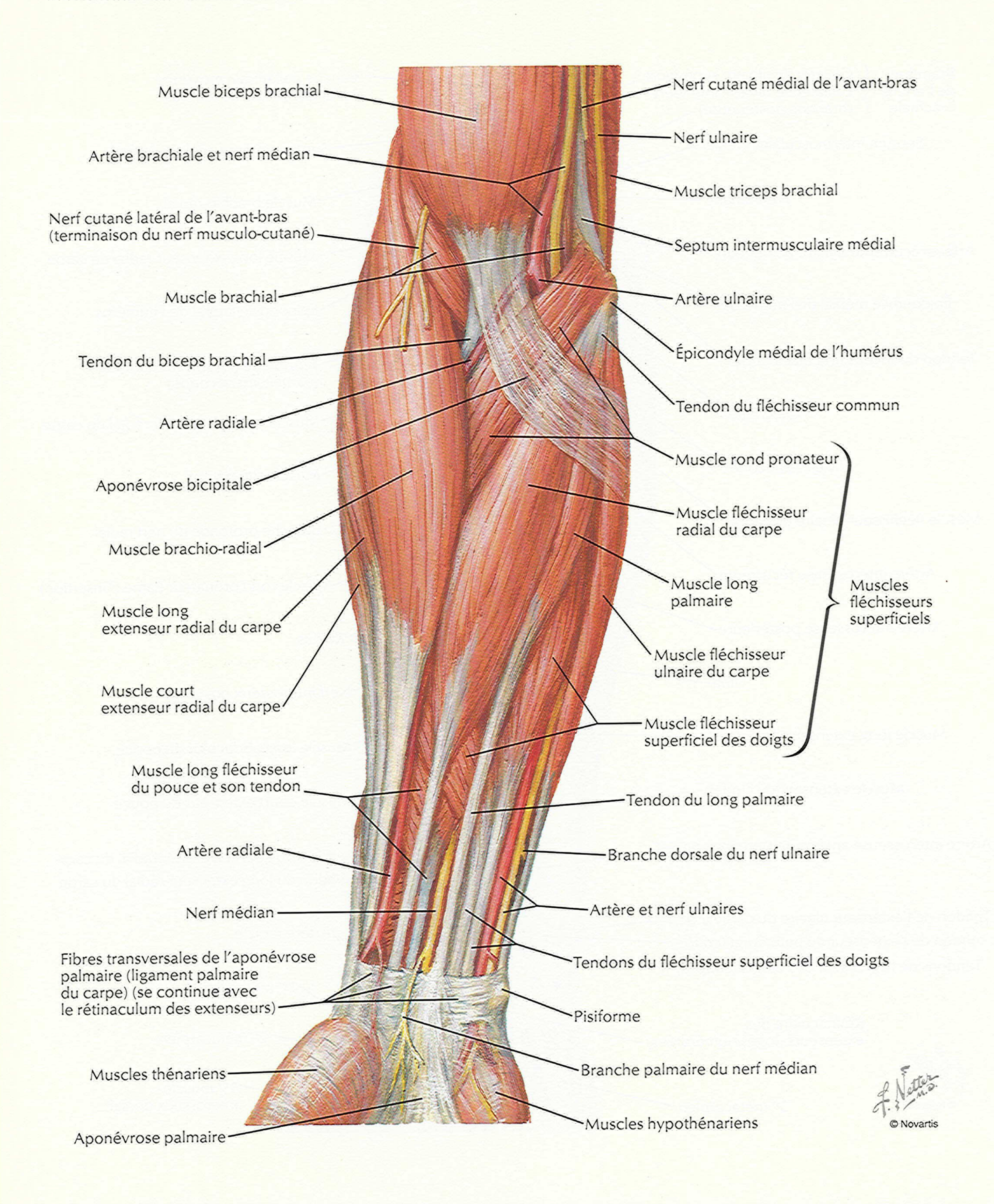
Muscles de l'avant-bras (couche profonde) : vue postérieure

VOIR AUSSI LES PLANCHES 439, 447



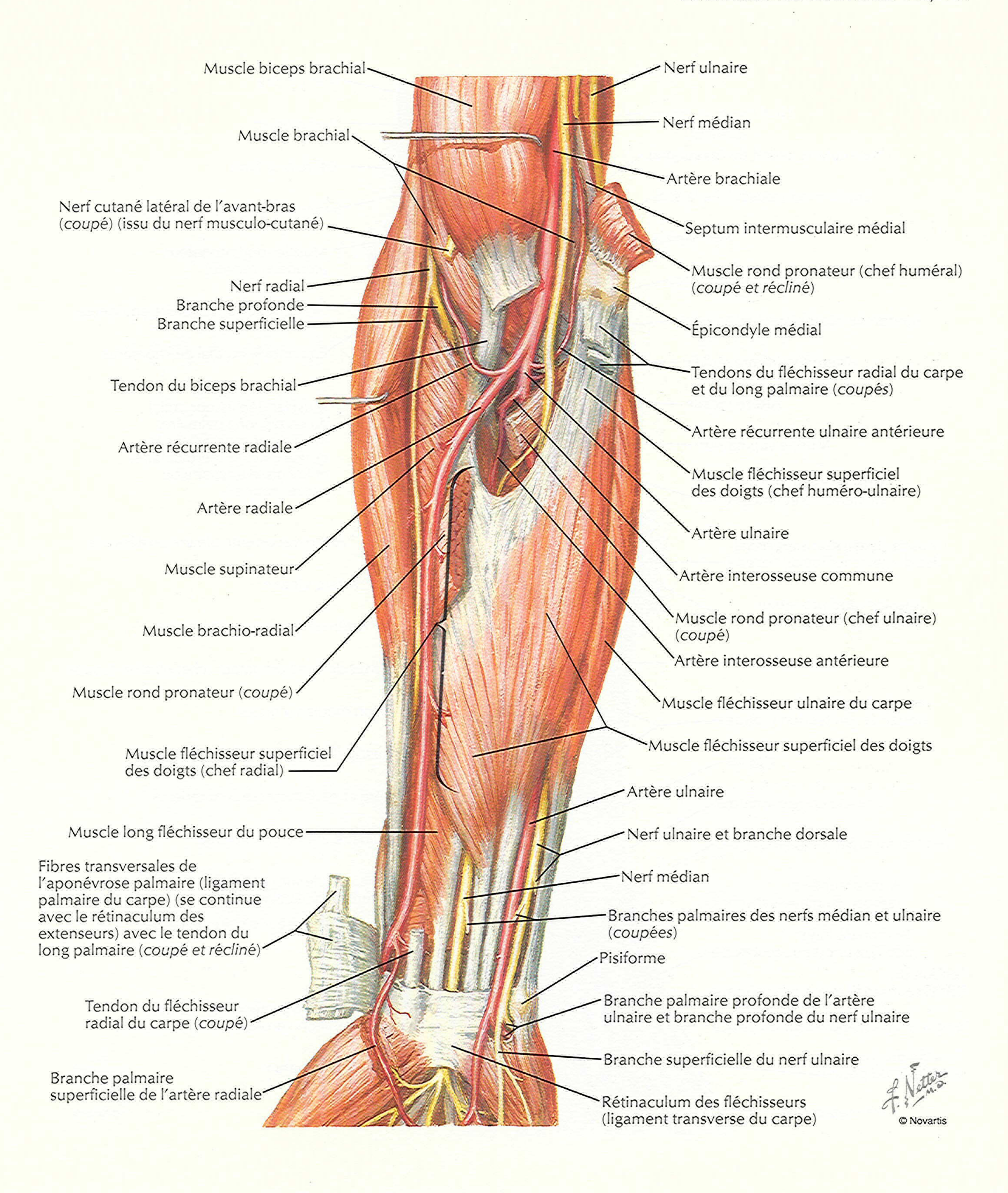
Muscles de l'avant-bras (couche superficielle) : vue antérieure

VOIR AUSSI LES PLANCHES 444, 445



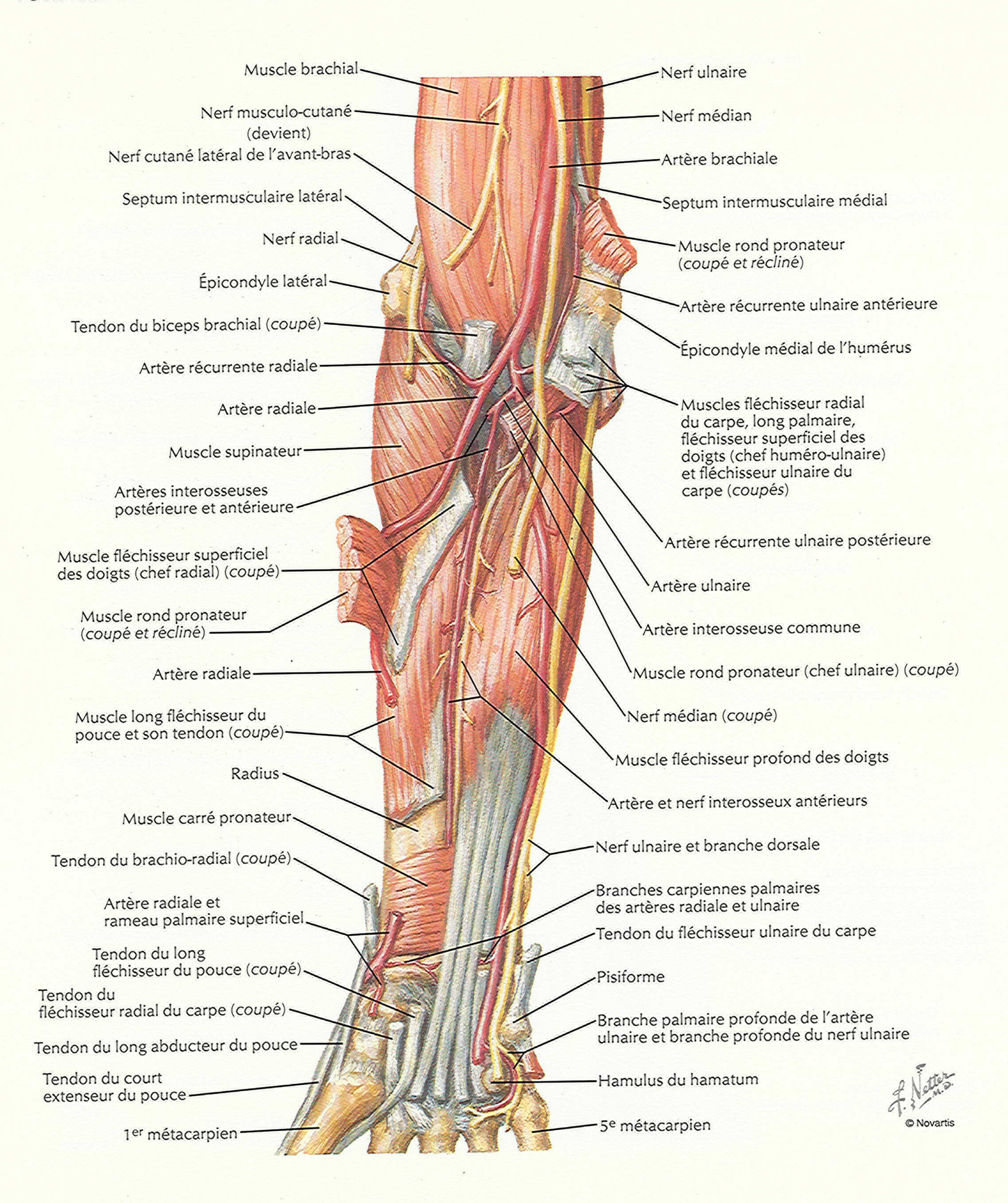
Muscles de l'avant-bras (couche intermédiaire) : vue antérieure

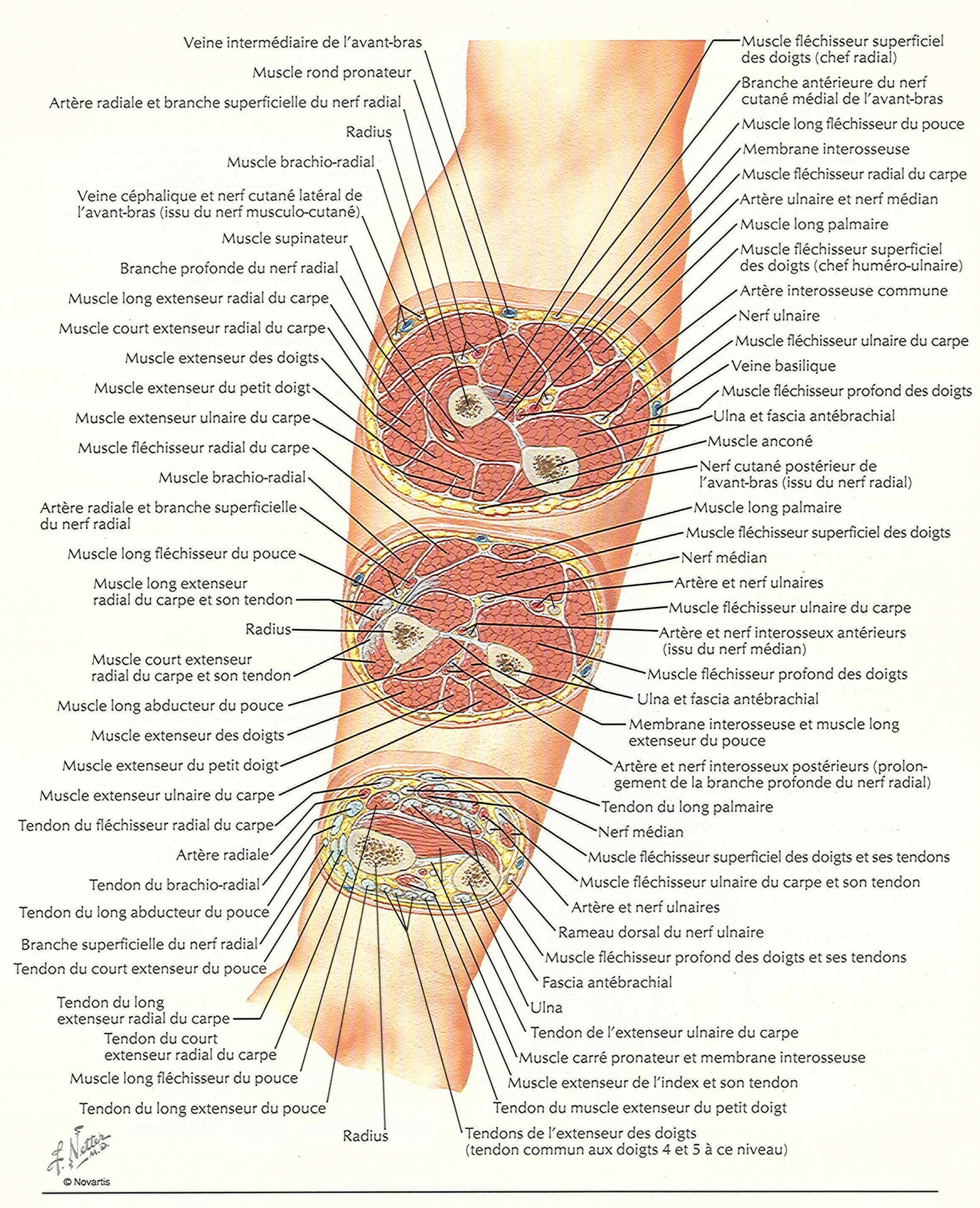
VOIR AUSSI LES PLANCHES 444, 445



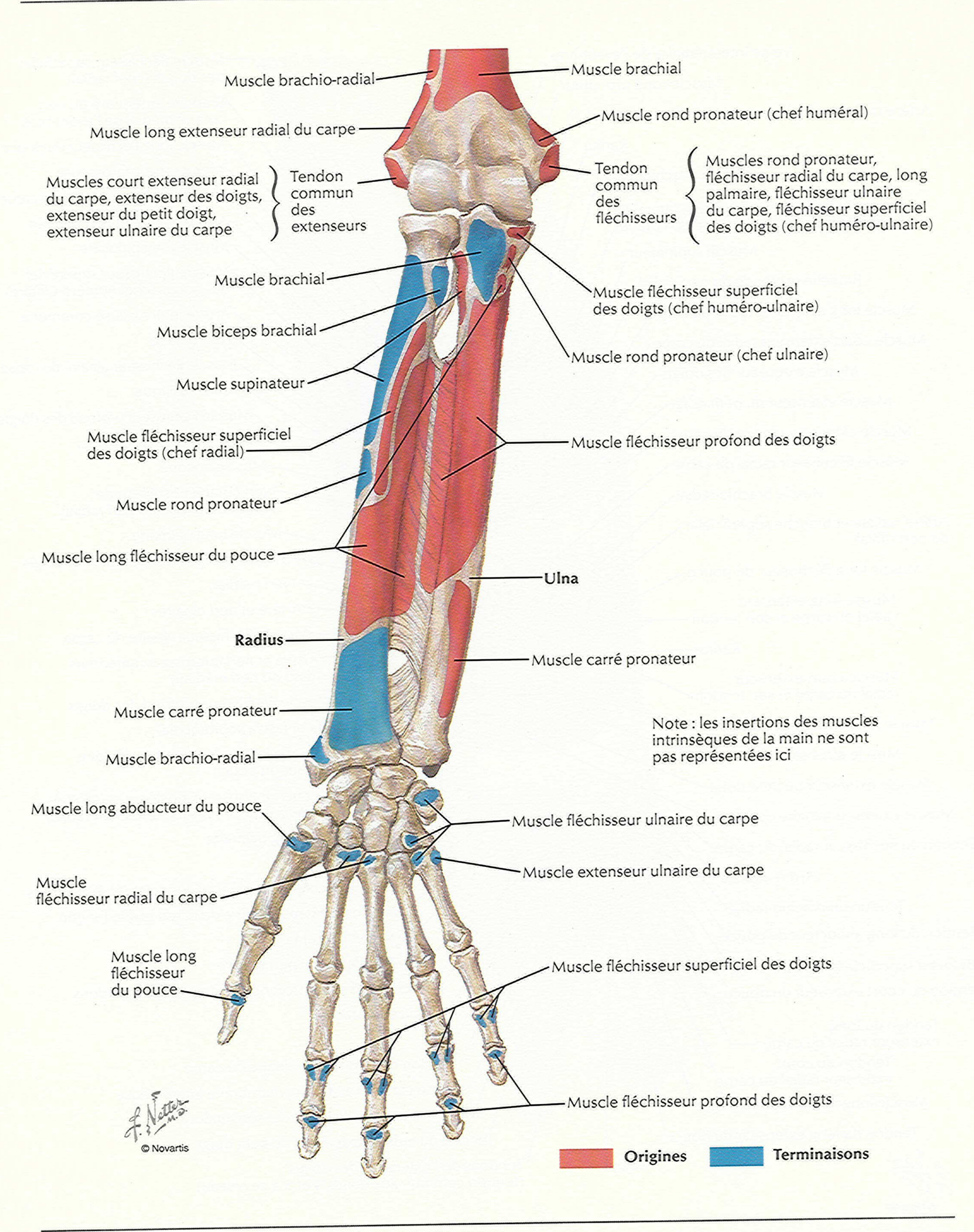
Muscles de l'avant-bras (couche profonde) : vue antérieure

VOIR AUSSI LES PLANCHES 444, 445

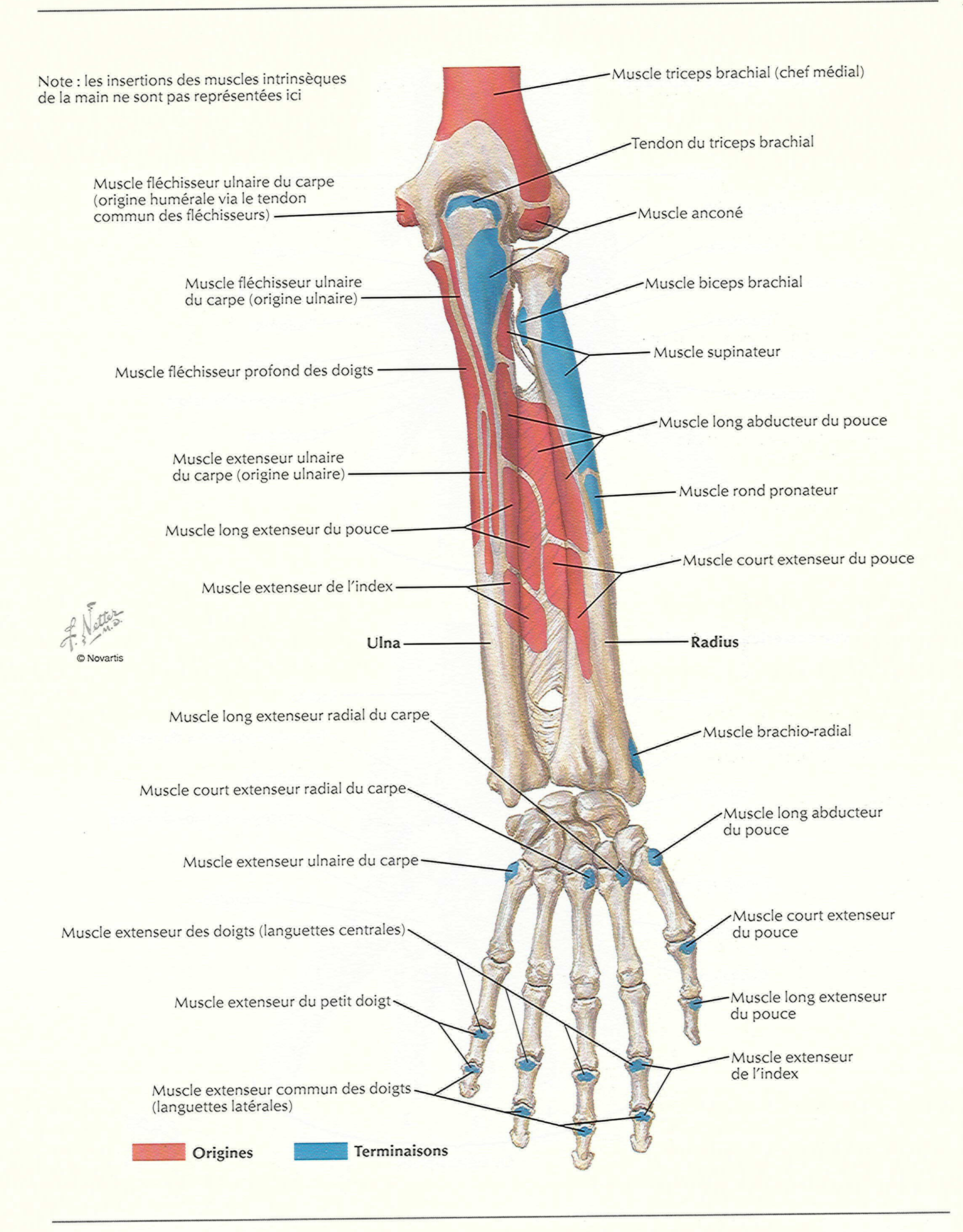


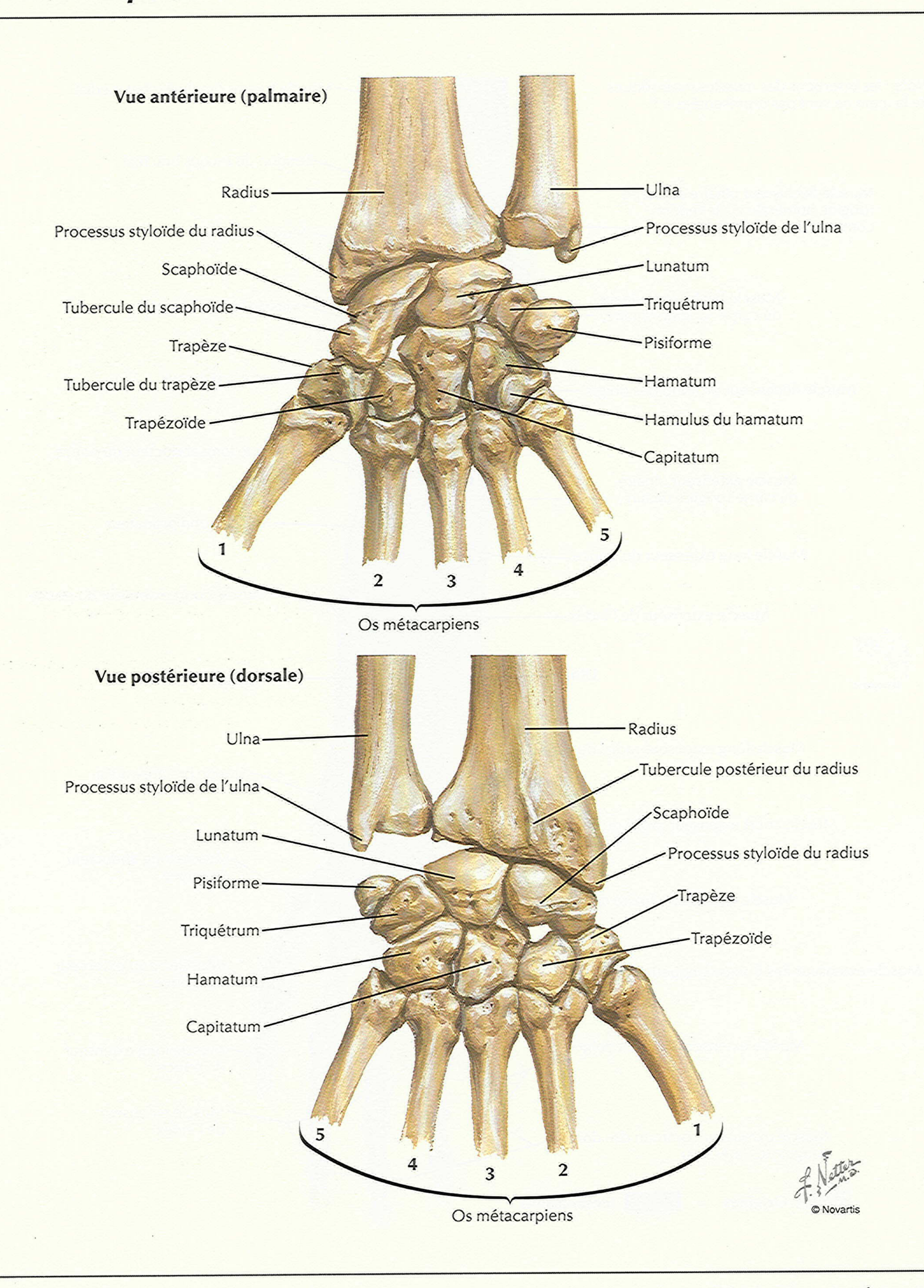

Veine intermédiaire de l'avant-bras
Muscle rond pronateur
Artère radiale et branche superficielle du nerf radial
Radius
Muscle brachio-radial
Veine céphalique et nerf cutané latéral de l'avant-bras (issu du nerf musculo-cutané)
Muscle supinateur
Branche profonde du nerf radial
Muscle long extenseur radial du carpe
Muscle court extenseur radial du carpe
Muscle extenseur des doigts
Muscle extenseur du petit doigt
Muscle extenseur ulnaire du carpe
Muscle fléchisseur radial du carpe
Muscle brachio-radial
Artère radiale et branche superficielle du nerf radial
Muscle long fléchisseur du pouce
Muscle long extenseur radial du carpe et son tendon
Radius
Muscle court extenseur radial du carpe et son tendon
Muscle long abducteur du pouce
Muscle extenseur des doigts
Muscle extenseur du petit doigt
Muscle extenseur ulnaire du carpe
Tendon du fléchisseur radial du carpe
Artère radiale
Tendon du brachio-radial
Tendon du long abducteur du pouce
Branche superficielle du nerf radial
Tendon du court extenseur du pouce
Tendon du long extenseur radial du carpe
Tendon du court extenseur radial du carpe
Muscle long fléchisseur du pouce
Tendon du long extenseur du pouce
Radius
Muscle fléchisseur superficiel des doigts (chef radial)
Branche antérieure du nerf cutané médial de l'avant-bras
Muscle long fléchisseur du pouce
Membrane interosseuse
Muscle fléchisseur radial du carpe
Artère ulnaire et nerf médian
Muscle long palmaire
Muscle fléchisseur superficiel des doigts (chef huméro-ulnaire)
Artère interosseuse commune
Nerf ulnaire
Muscle fléchisseur ulnaire du carpe
Veine basilique
Muscle fléchisseur profond des doigts
Ulna et fascia antébrachial
Muscle anconé
Nerf cutané postérieur de l'avant-bras (issu du nerf radial)
Muscle long palmaire
Muscle fléchisseur superficiel des doigts
Nerf médian
Artère et nerf ulnaires
Muscle fléchisseur ulnaire du carpe
Artère et nerf interosseux antérieurs (issu du nerf médian)
Muscle fléchisseur profond des doigts
Ulna et fascia antébrachial
Membrane interosseuse et muscle long extenseur du pouce
Artère et nerf interosseux postérieurs (prolongement de la branche profonde du nerf radial)
Tendon du long palmaire
Nerf médian
Muscle fléchisseur superficiel des doigts et ses tendons
Muscle fléchisseur ulnaire du carpe et son tendon
Artère et nerf ulnaires
Rameau dorsal du nerf ulnaire
Muscle fléchisseur profond des doigts et ses tendons
Fascia antébrachial
Ulna
Tendon de l'extenseur ulnaire du carpe
Muscle carré pronateur et membrane interosseuse
Muscle extenseur de l'index et son tendon
Tendon du muscle extenseur du petit doigt
Tendons de l'extenseur des doigts (tendon commun aux doigts 4 et 5 à ce niveau)
F. Netter M.D.

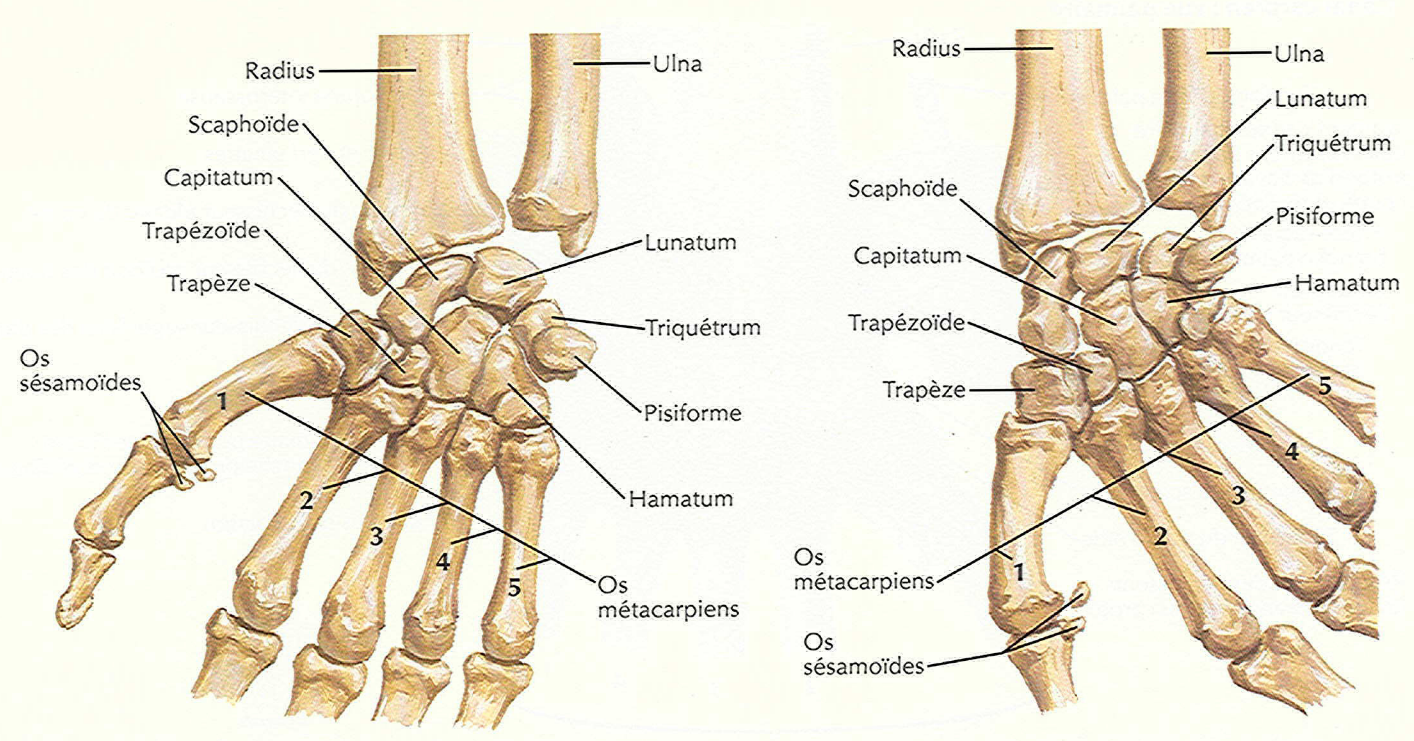
Insertions des muscles de l'avant-bras : vue antérieure



Insertions des muscles de l'avant-bras : vue postérieure




Vue antérieure (palmaire)
Radius
Processus styloïde du radius
Scaphoïde
Tubercule du scaphoïde
Trapèze
Tubercule du trapèze
Trapézoïde
Ulna
Processus styloïde de l'ulna
Lunatum
Triquétrum
Pisiforme
Hamatum
Hamulus du hamatum
Capitatum
1
2
3
4
5
Os métacarpiens
Vue postérieure (dorsale)
Ulna
Processus styloïde de l'ulna
Lunatum
Pisiforme
Triquétrum
Hamatum
Capitatum
Radius
Tubercule postérieur du radius
Scaphoïde
Processus styloïde du radius
Trapèze
Trapézoïde
5
4
3
2
1
Os métacarpiens
F. Netter M.D.



Position des os carpiens avec la main en abduction : vue antérieure (palmaire)

Position des os du carpe avec la main en adduction : vue antérieure (palmaire)

Radius
Articulation radio-carpienne (du poignet)
Disque articulaire de l'articulation radio-carpienne
Lunatum
Articulation intercarpienne (médio-carpienne)
Capitatum
Articulation carpo-métacarpienne
3e métacarpien
Dos
Paume

Main en position anatomique

Radius
Articulation radio-carpienne (du poignet)
Articulation intercarpienne (médio-carpienne)
Articulation carpo-métacarpienne
Paume

Main en flexion

Articulation radio-carpienne (du poignet)
Articulation intercarpienne (médio-carpienne)
Articulation carpo-métacarpienne
Paume

Main en extension

F. Netter M.D.

Coupes sagittales à travers le poignet et le milieu du doigt

Ligaments du poignet

Canal carpien : vue palmaire

Radius
Tendon du long palmaire
Ligament carpien palmaire (épaississement du fascia profond de l'avant-bras) (*coupé et récliné*)
Artère radiale et branche palmaire superficielle
Tendon du fléchisseur radial du carpe
Tendon du long fléchisseur du pouce
Nerf médian
Aponévrose palmaire
Tubercule du scaphoïde
Tubercule du trapézoïde
Rétinaculum des fléchisseurs (ligament transverse du carpe)

Ulna
Membrane interosseuse
Artère et nerf ulnaires
Tendon du fléchisseur ulnaire du carpe
Tendons du fléchisseur profond des doigts
Tendons du fléchisseur superficiel des doigts
Pisiforme
Branche palmaire profonde de l'artère ulnaire et branche profonde du nerf ulnaire
Hamulus du hamatum

1 2 3 4 5
Os métacarpiens

F. Netter M.D.
C. Machado M.D.

Rétinaculum des fléchisseurs réséqué : vue palmaire

Radius
Membrane interosseuse
Ligament radio-carpien palmaire { Partie radio-scapho-lunaire / Partie radio-capitale
Espace (de Poirier)
Ligament collatéral radial
Tubercule du scaphoïde
Tubercule du trapèze
Capsule articulaire de l'articulation carpo-métacarpienne du pouce
Capitatum
Ligament capito-triquétral (partie du ligament radié du carpe)
Ligaments carpo-métacarpiens palmaires

Ulna
Ligament radio-ulnaire palmaire
Aire du disque articulaire
Partie ulno-lunaire / Partie ulno-triquétrale } Ligament ulno-carpien palmaire
Ligament collatéral ulnaire
Tendon du fléchisseur ulnaire du carpe (*coupé*)
Pisiforme
Lunatum
Ligament piso-métacarpien
Ligament piso-hamatum
Hamulus du hamatum
Ligaments métacarpiens palmaires

1 2 3 4 5
Os métacarpiens

Vue postérieure (dorsale)

Ulna
Radius
Membrane interosseuse
Tissu capsulaire superficiel (*réséqué*)
Ligament radio-ulnaire dorsal
Ligament radio-carpien dorsal
Région du disque articulaire
Lunatum (recouvert par le ligament)
Ligament ulno-carpien dorsal
Scaphoïde
Ligament collatéral ulnaire
Ligament collatéral radial
Triquétrum
Capitatum
Hamatum
Triquétrum
Ligaments carpo-métacarpiens dorsaux
Capsule de la 1re articulation carpo-métacarpienne
Ligaments métacarpiens dorsaux
Trapézoïde
5 4 3 2 1
Os métacarpiens

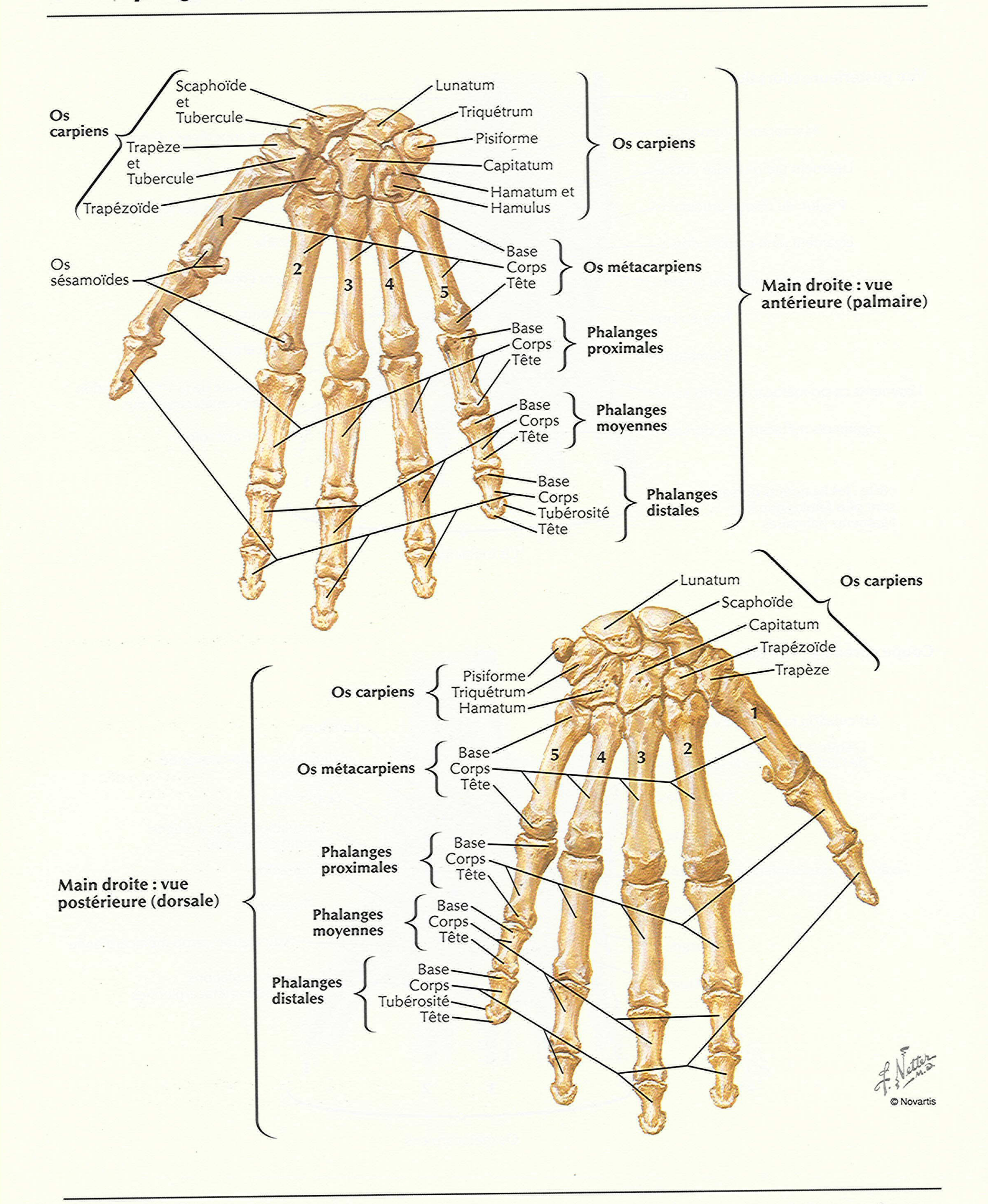
Note : les ligaments dorsaux sont plus faibles que les ligaments palmaires

Coupe coronale : vue dorsale

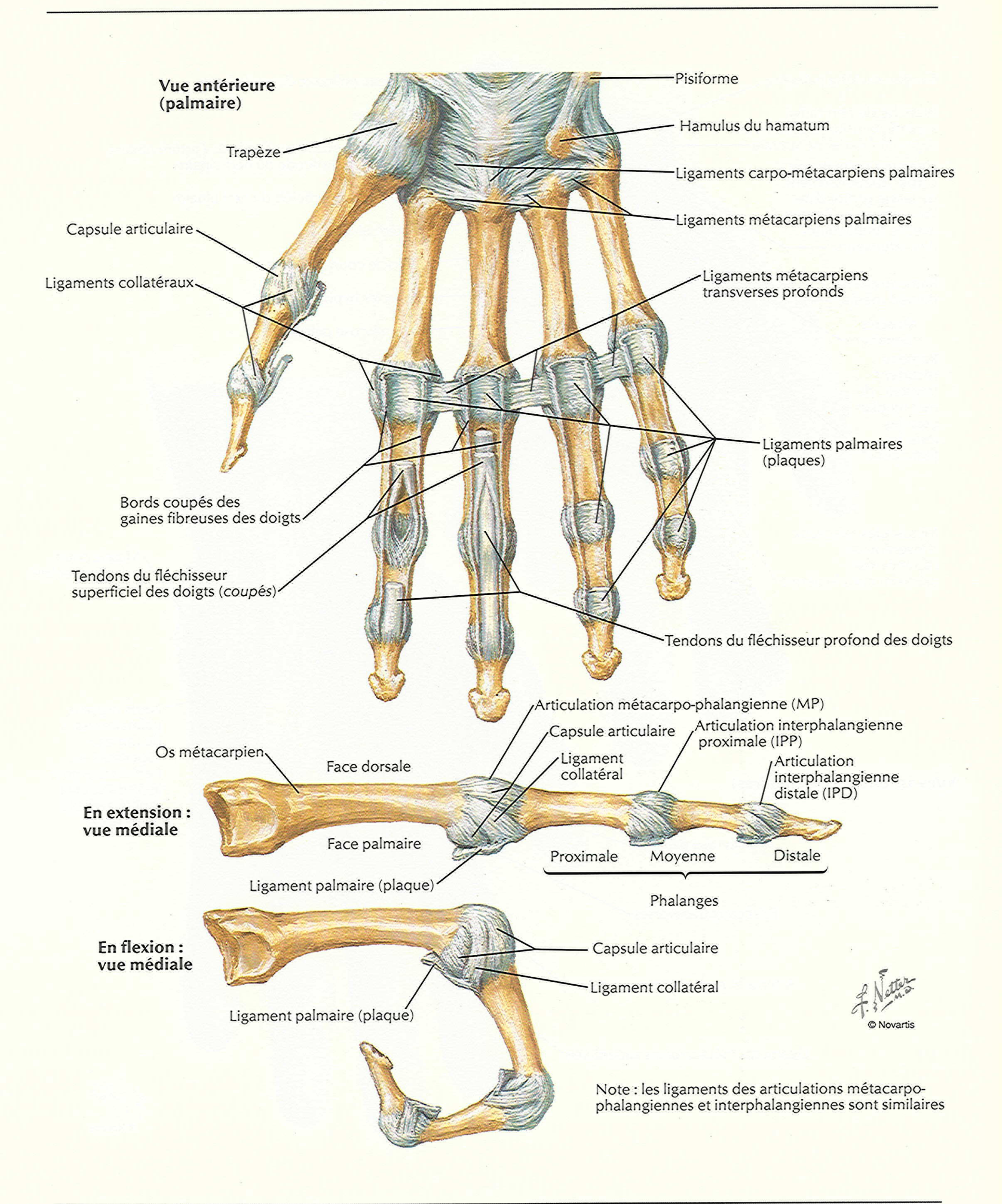
Ulna
Radius
Articulation radio-ulnaire distale
Lunatum
Disque articulaire de l'articulation radio-carpienne
Articulation radio-carpienne (du poignet)
Ménisque
Scaphoïde
Pisiforme
Articulation intercarpienne (médio-carpienne)
Ligaments intercarpiens interosseux
Trapézoïde
Triquétrum
Trapèze
Hamatum
Articulation carpo-métacarpienne
Capitatum
Articulations inter-métacarpiennes
5 4 3 2 1
Os métacarpiens

F. Netter M.D.

Os du poignet et de la main

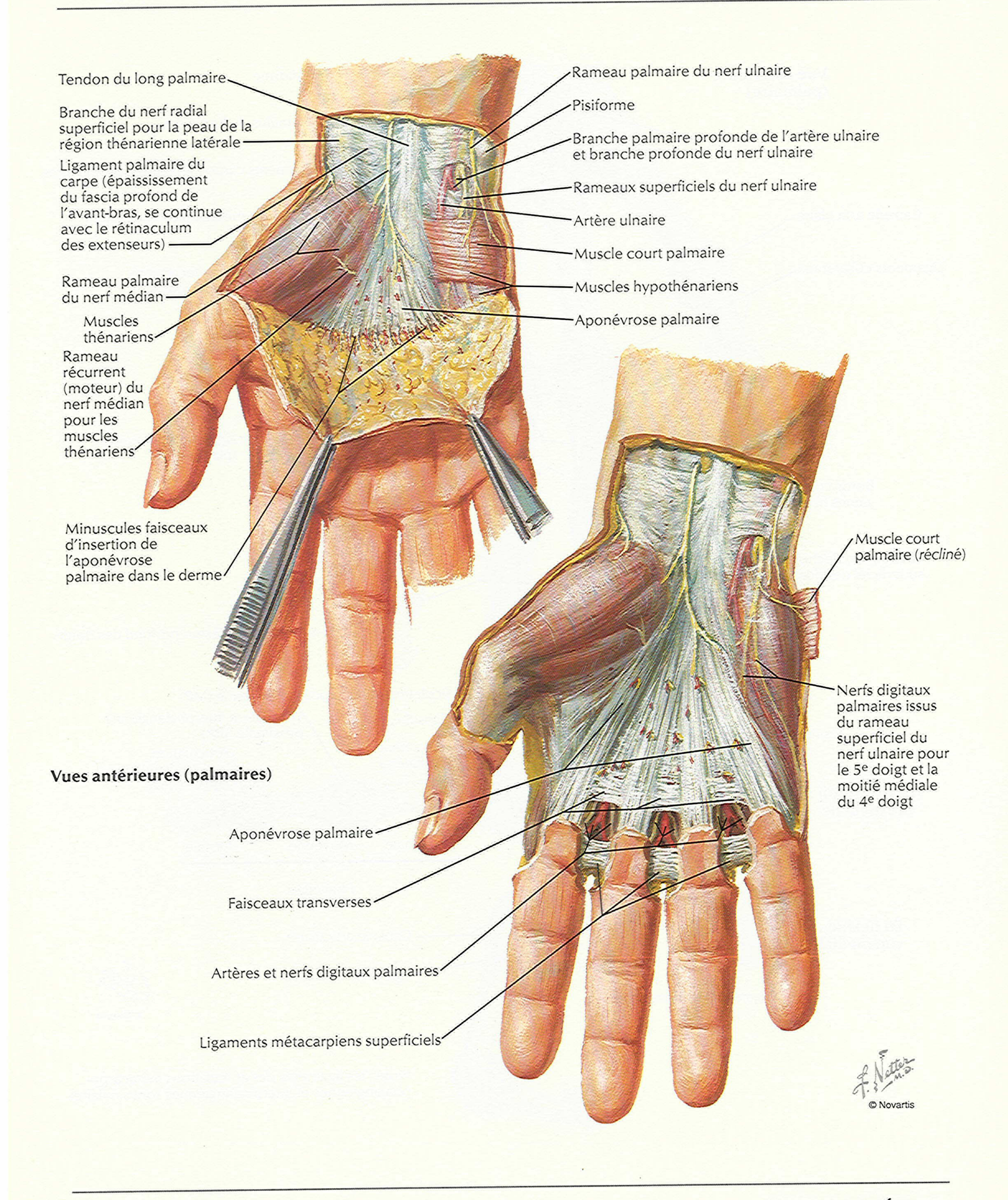


Ligaments métacarpo- et inter-phalangiens

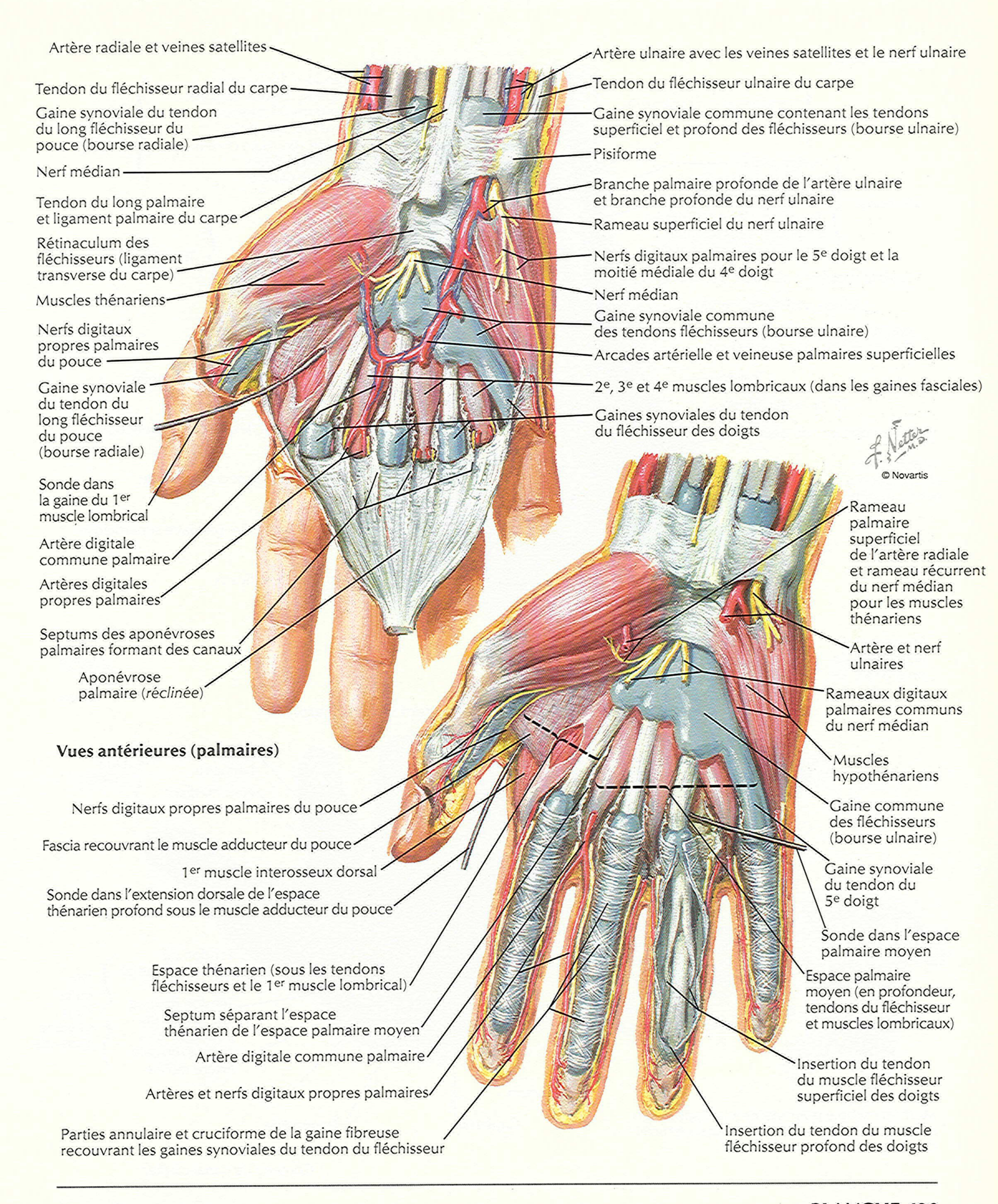


Note : les ligaments des articulations métacarpo-phalangiennes et interphalangiennes sont similaires

Poignet et main : dissections palmaires superficielles

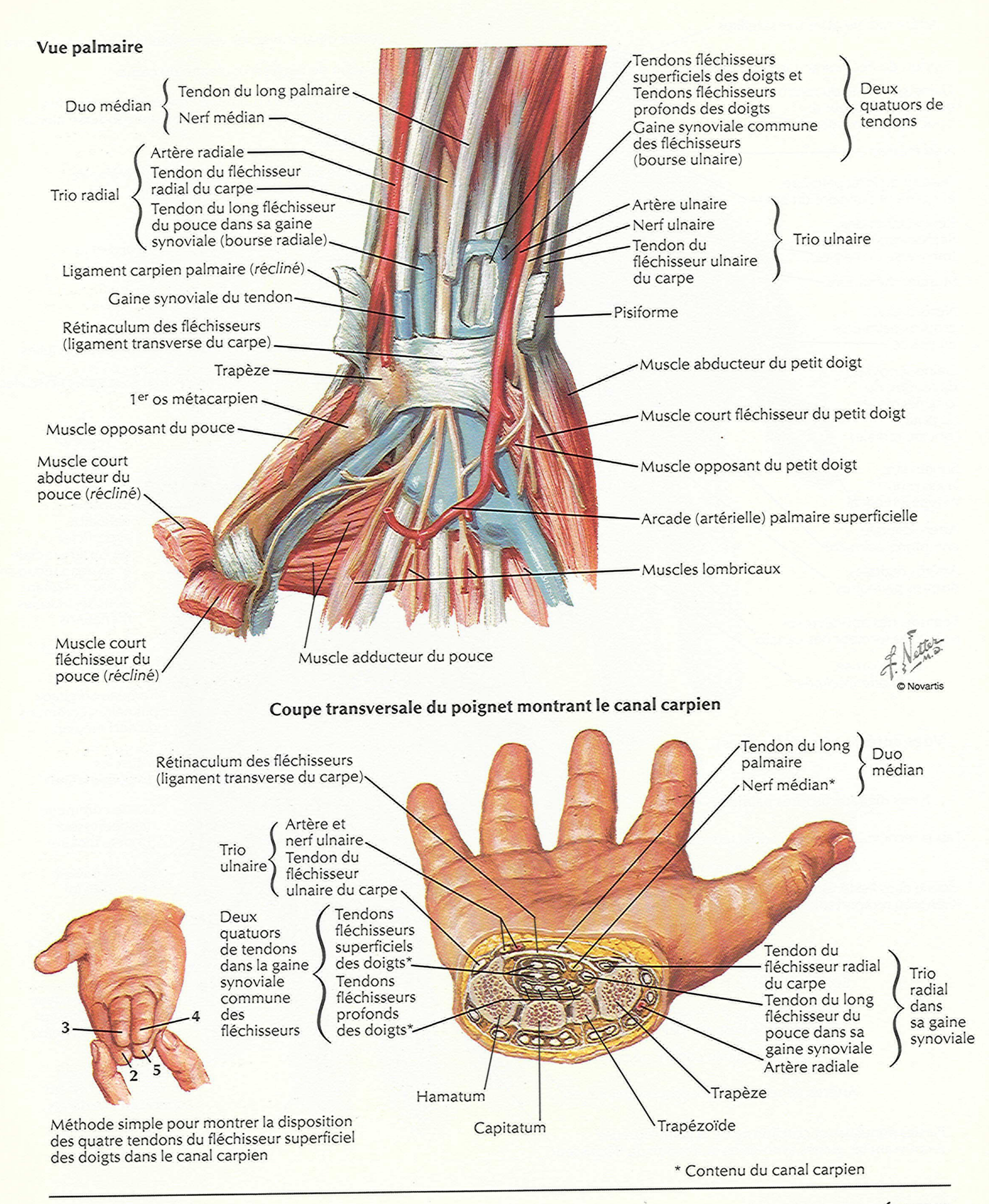


Vues antérieures (palmaires)



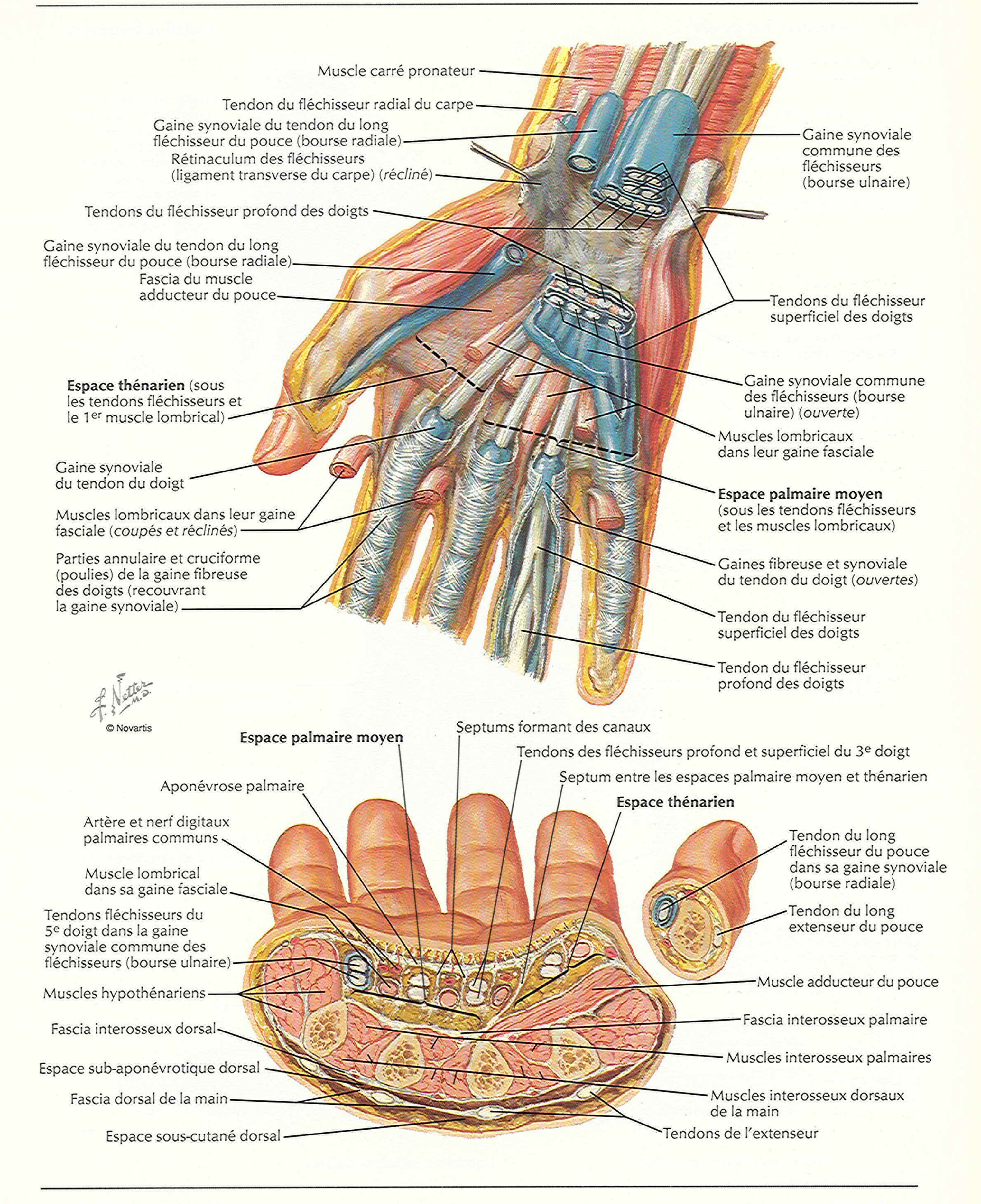
Vues antérieures (palmaires)

Tendons fléchisseurs, artères et nerf au poignet

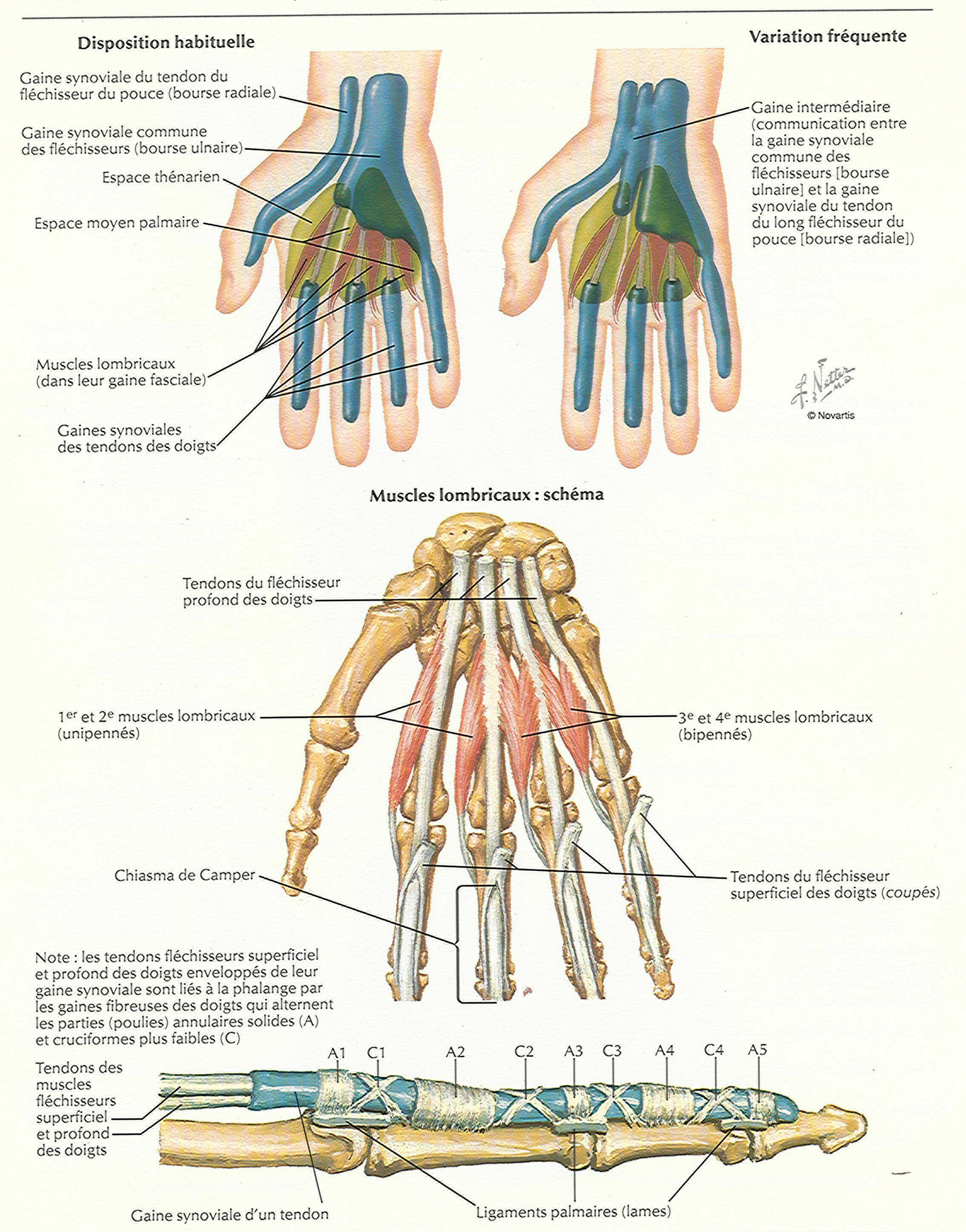


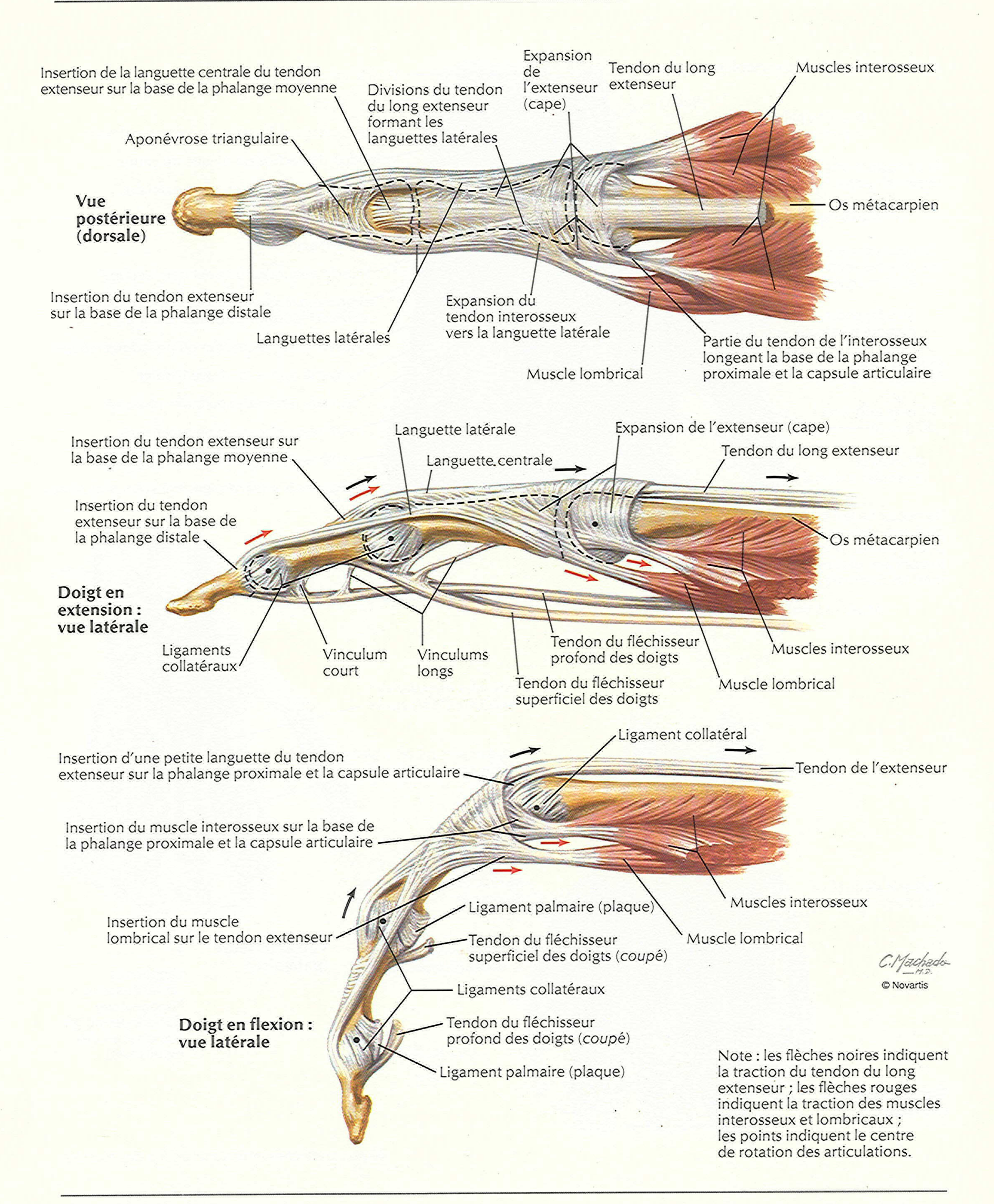
Méthode simple pour montrer la disposition des quatre tendons du fléchisseur superficiel des doigts dans le canal carpien

* Contenu du canal carpien


Muscle carré pronateur
Tendon du fléchisseur radial du carpe
Gaine synoviale du tendon du long fléchisseur du pouce (bourse radiale)
Rétinaculum des fléchisseurs (ligament transverse du carpe) (*récliné*)
Tendons du fléchisseur profond des doigts
Gaine synoviale du tendon du long fléchisseur du pouce (bourse radiale)
Fascia du muscle adducteur du pouce
Espace thénarien (sous les tendons fléchisseurs et le 1er muscle lombrical)
Gaine synoviale du tendon du doigt
Muscles lombricaux dans leur gaine fasciale (*coupés et réclinés*)
Parties annulaire et cruciforme (poulies) de la gaine fibreuse des doigts (recouvrant la gaine synoviale)
Gaine synoviale commune des fléchisseurs (bourse ulnaire)
Tendons du fléchisseur superficiel des doigts
Gaine synoviale commune des fléchisseurs (bourse ulnaire) (*ouverte*)
Muscles lombricaux dans leur gaine fasciale
Espace palmaire moyen (sous les tendons fléchisseurs et les muscles lombricaux)
Gaines fibreuse et synoviale du tendon du doigt (*ouvertes*)
Tendon du fléchisseur superficiel des doigts
Tendon du fléchisseur profond des doigts
F. Netter M.D.
© Novartis
Espace palmaire moyen
Septums formant des canaux
Tendons des fléchisseurs profond et superficiel du 3e doigt
Septum entre les espaces palmaire moyen et thénarien
Espace thénarien
Aponévrose palmaire
Artère et nerf digitaux palmaires communs
Muscle lombrical dans sa gaine fasciale
Tendons fléchisseurs du 5e doigt dans la gaine synoviale commune des fléchisseurs (bourse ulnaire)
Muscles hypothénariens
Fascia interosseux dorsal
Espace sub-aponévrotique dorsal
Fascia dorsal de la main
Espace sous-cutané dorsal
Tendon du long fléchisseur du pouce dans sa gaine synoviale (bourse radiale)
Tendon du long extenseur du pouce
Muscle adducteur du pouce
Fascia interosseux palmaire
Muscles interosseux palmaires
Muscles interosseux dorsaux de la main
Tendons de l'extenseur

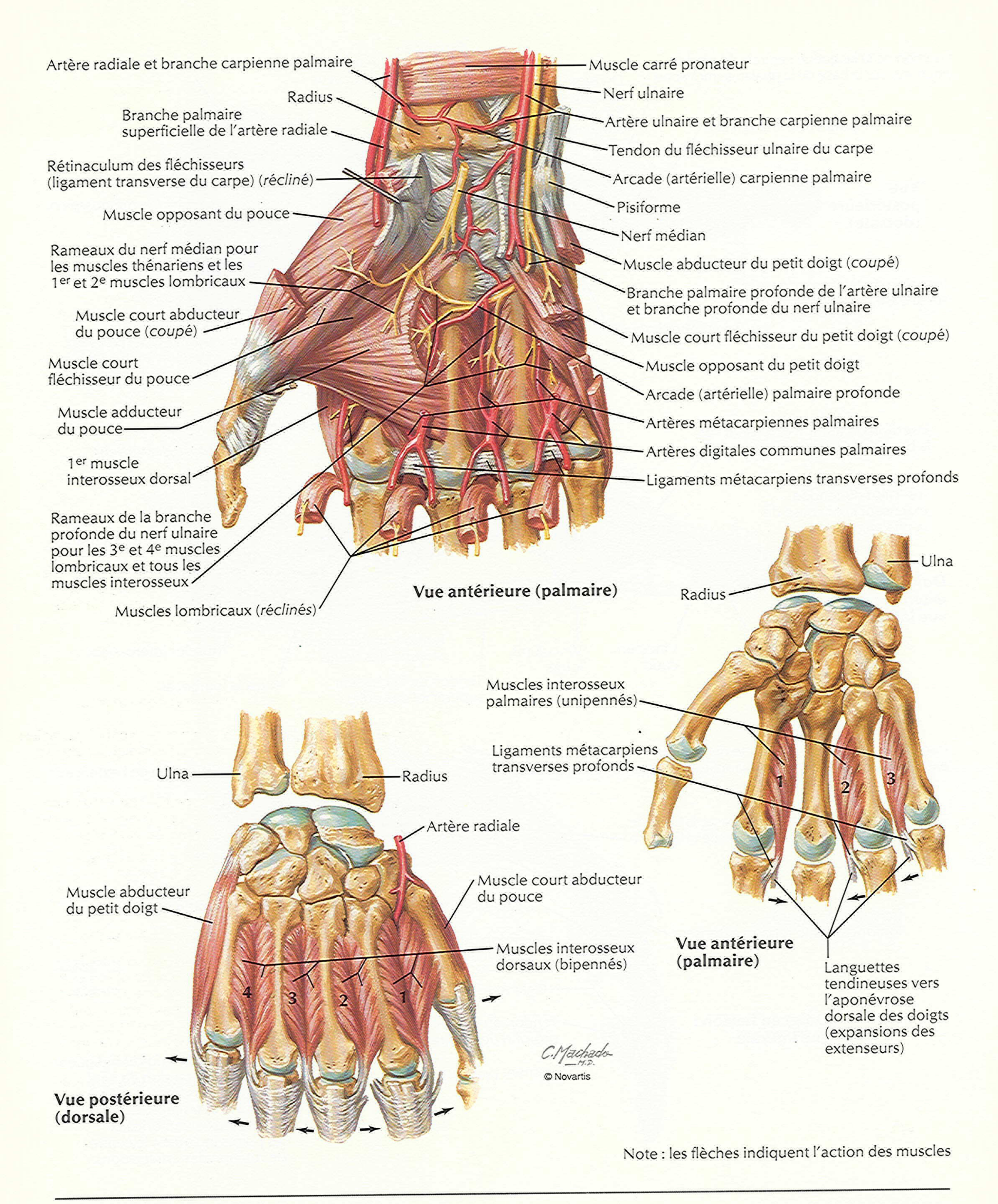
Muscles lombricaux, bourses, gaines et espaces : schéma





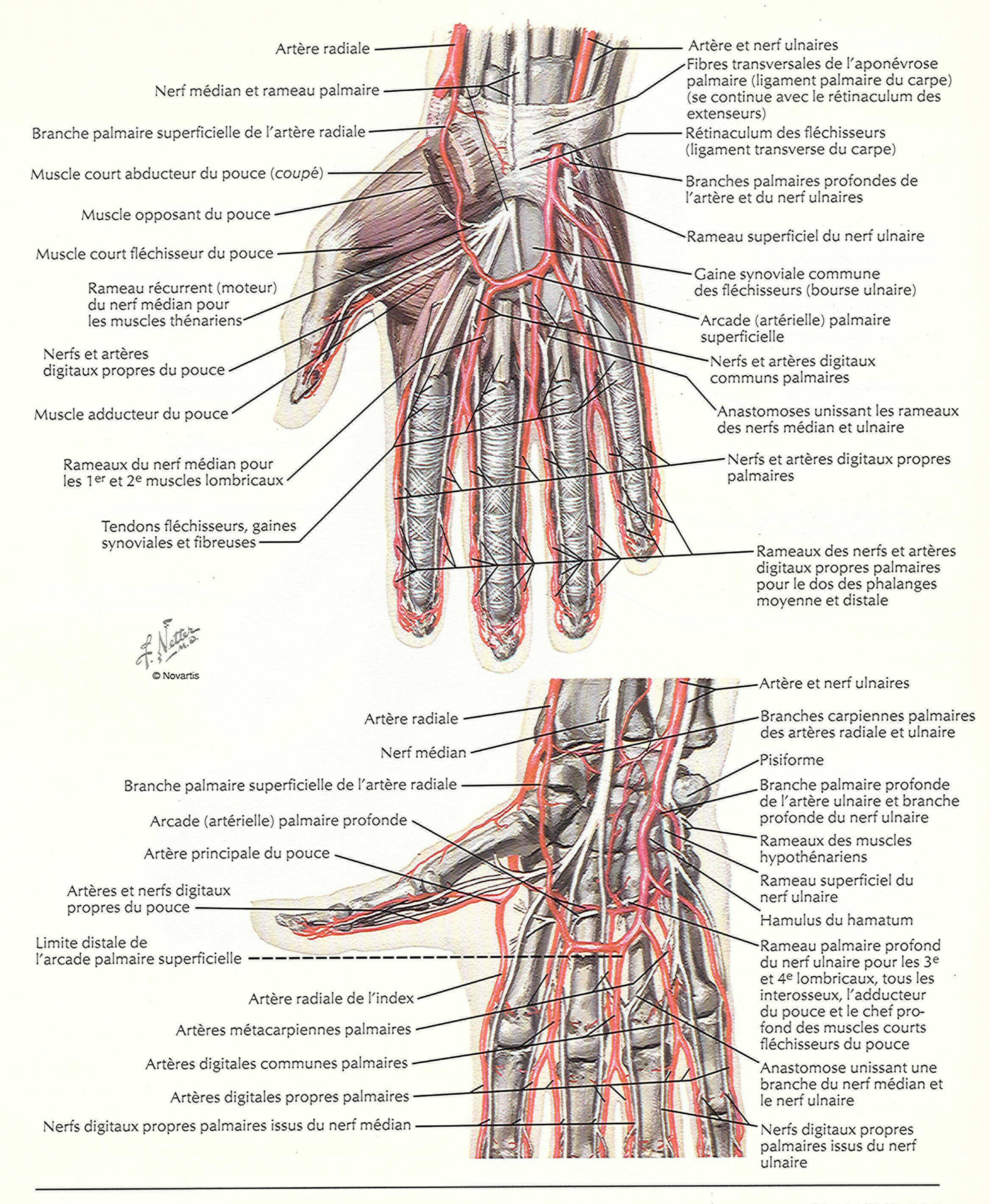
Note : les flèches noires indiquent la traction du tendon du long extenseur ; les flèches rouges indiquent la traction des muscles interosseux et lombricaux ; les points indiquent le centre de rotation des articulations.

Muscles intrinsèques de la main

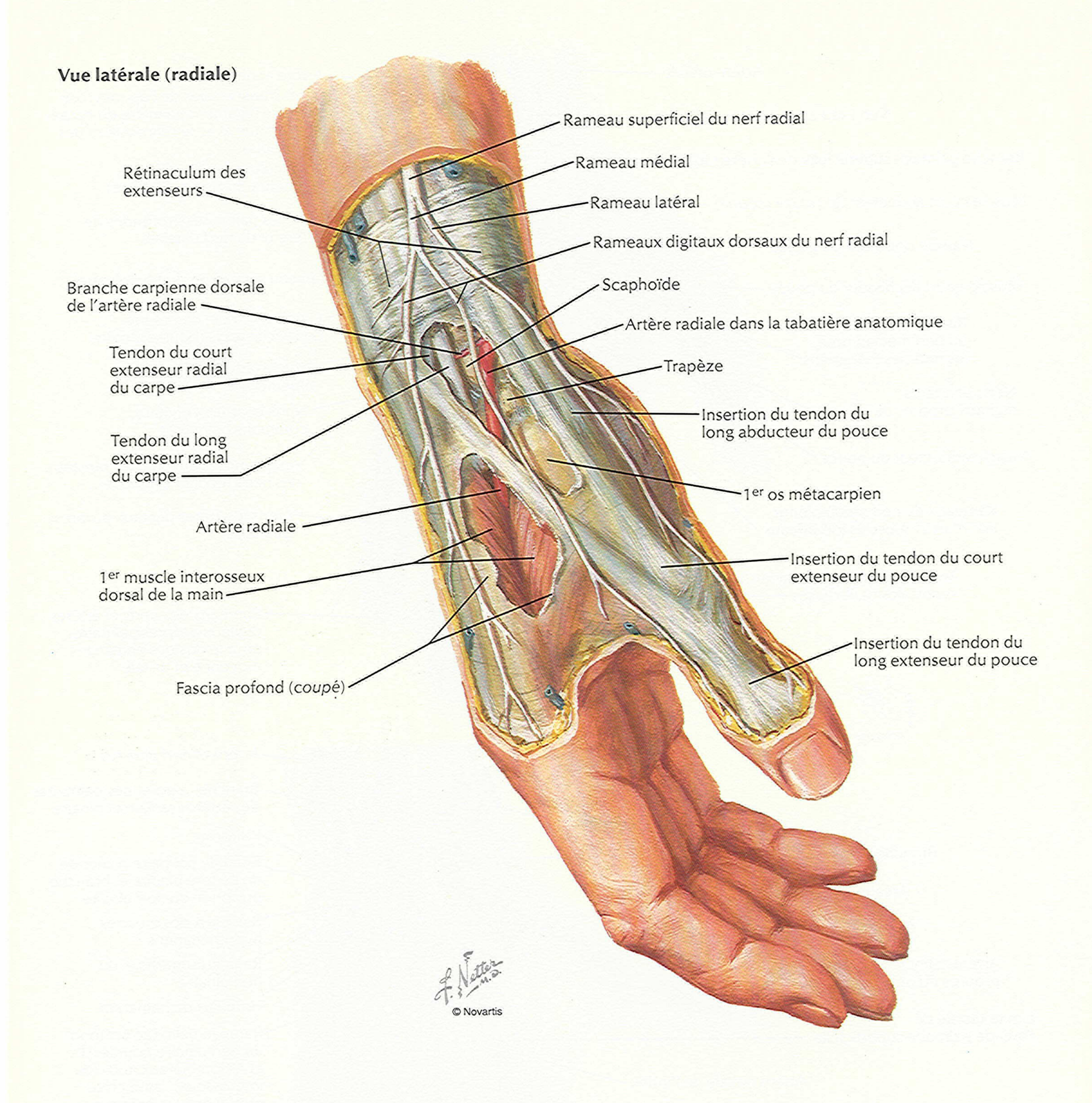


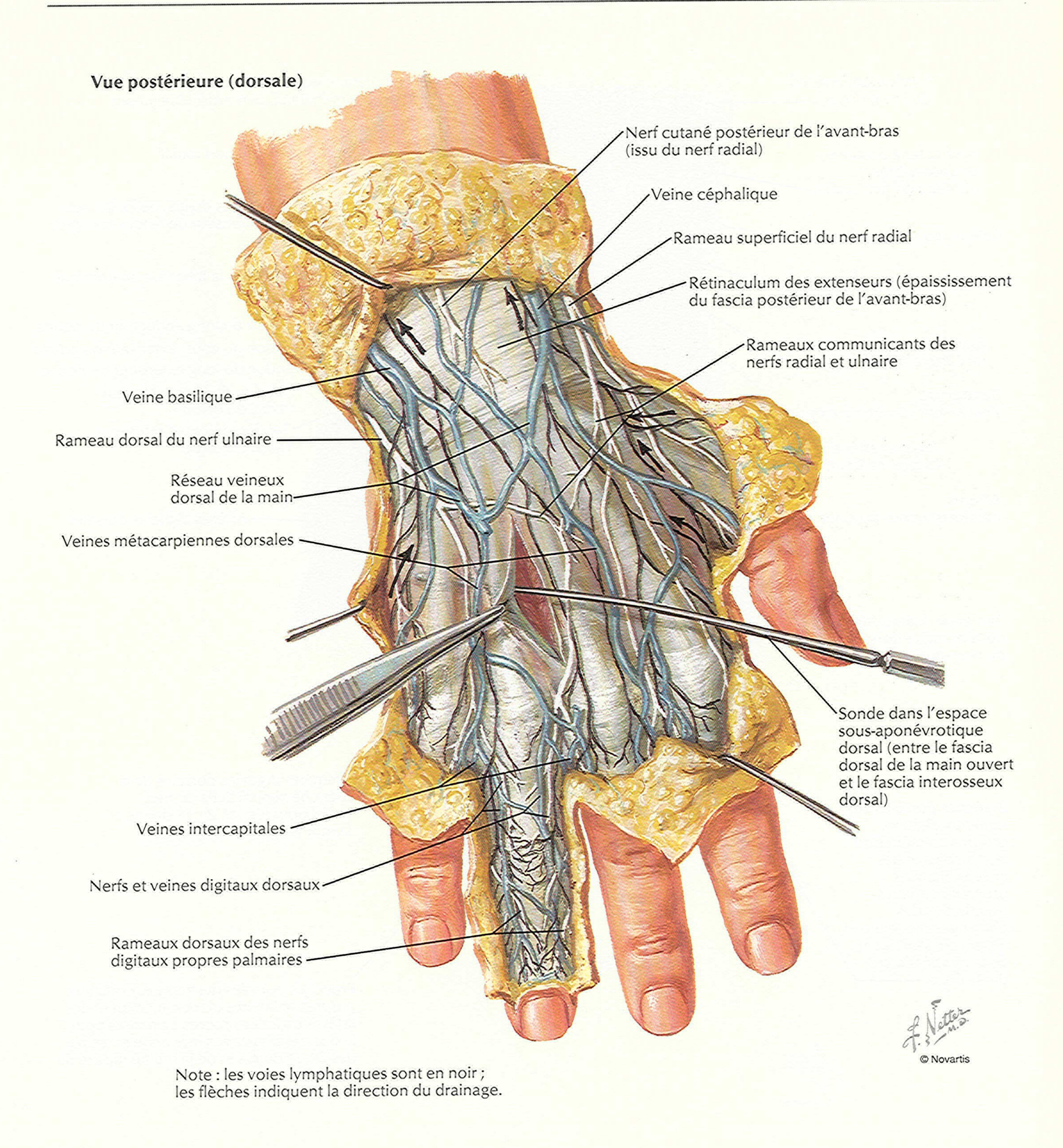
Note : les flèches indiquent l'action des muscles

Artères et nerfs de la main : vues palmaires



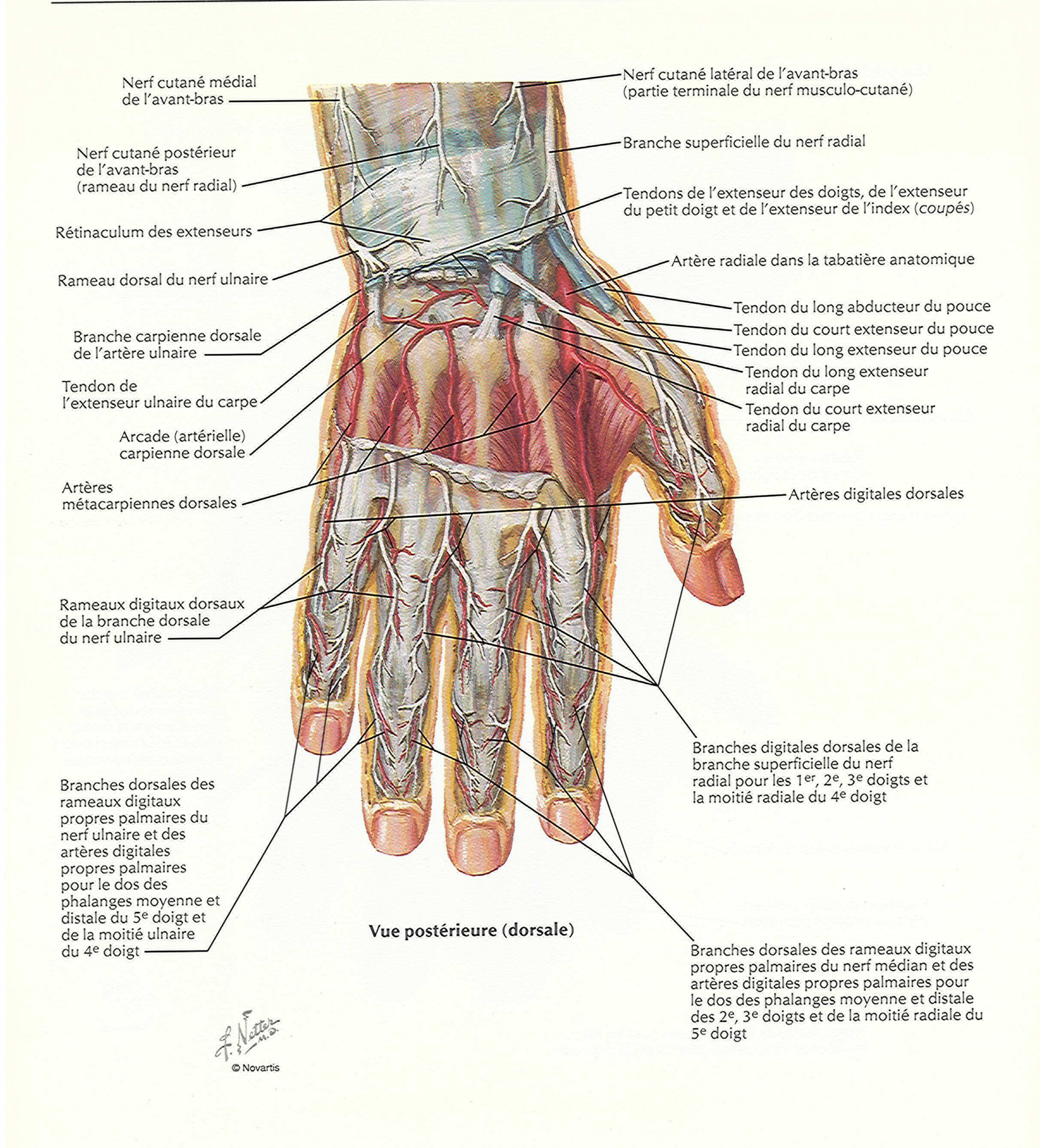
Poignet et main : dissection radiale superficielle





Note : les voies lymphatiques sont en noir ;
les flèches indiquent la direction du drainage.

Poignet et main : dissection dorsale profonde



Vue postérieure (dorsale)

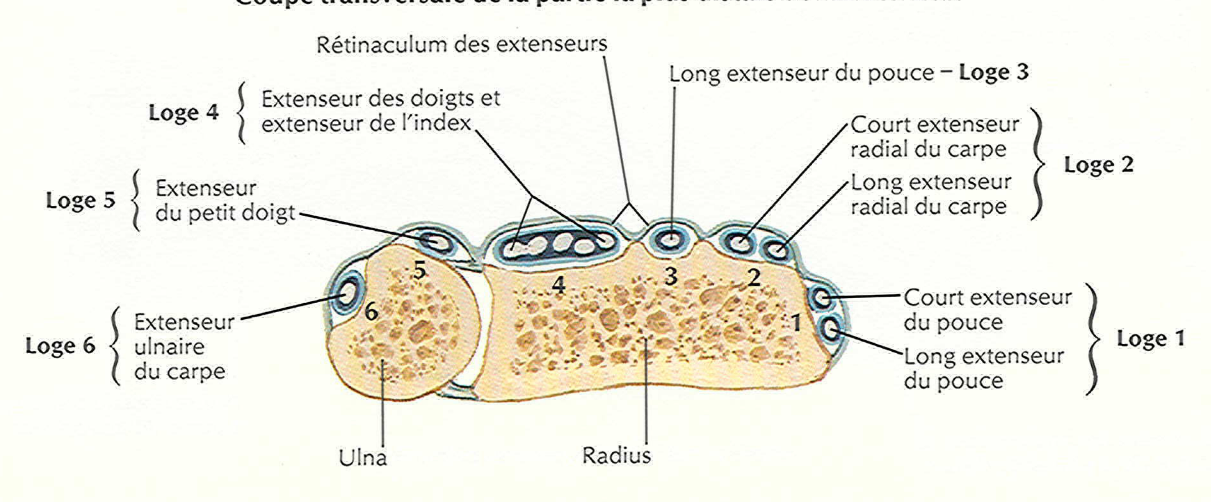
Tendons extenseurs au poignet

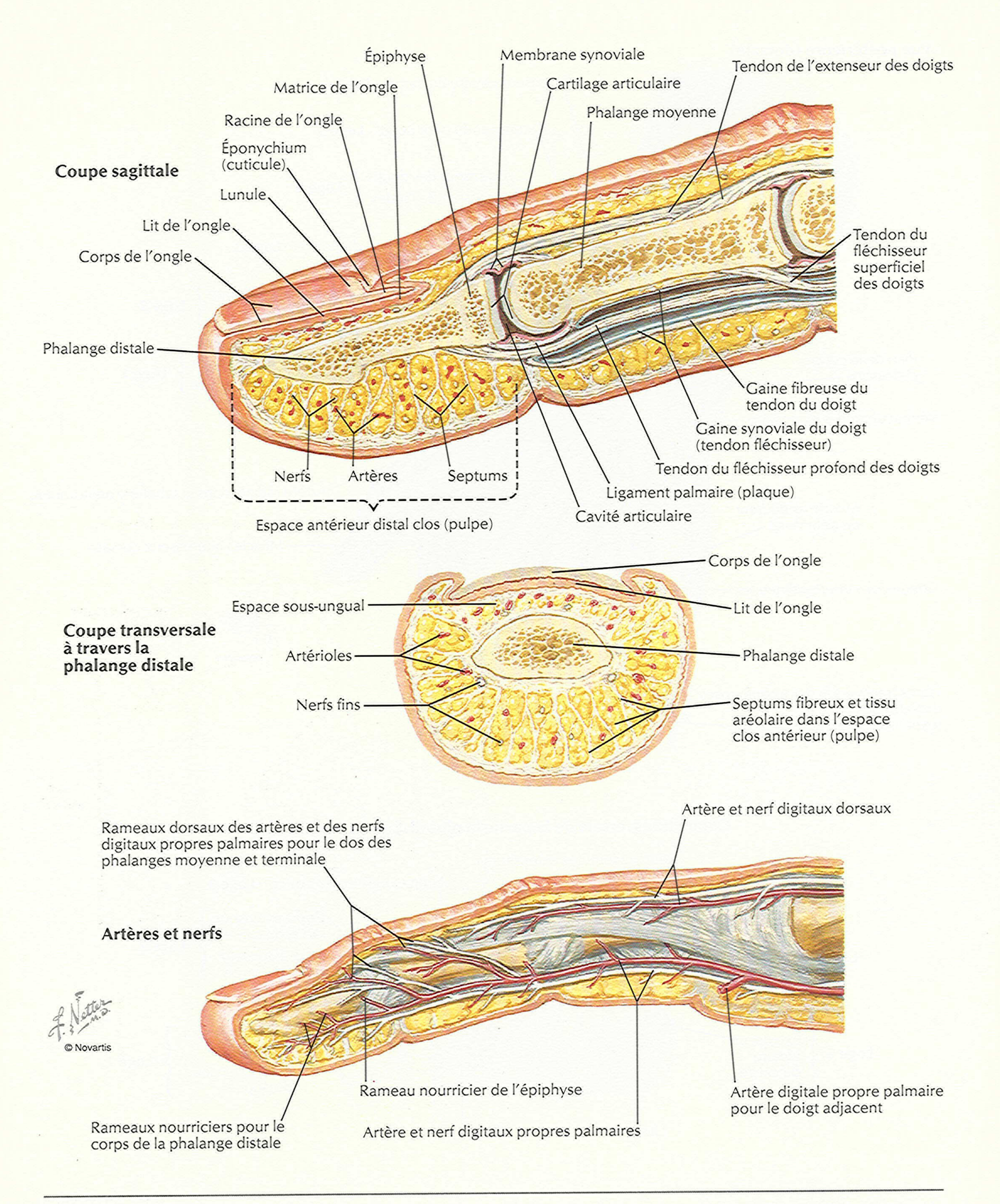
Vue postérieure (dorsale)

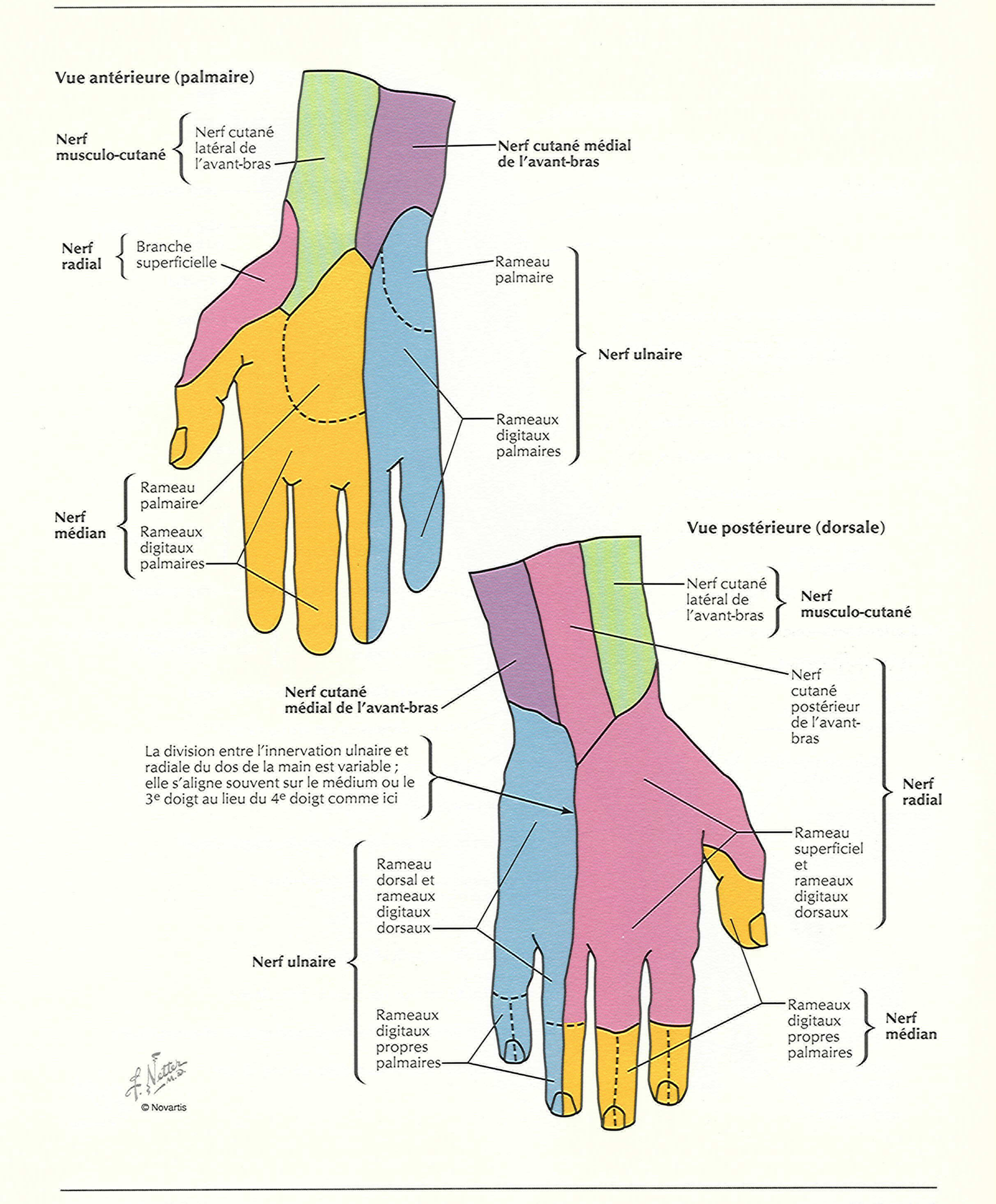
Extenseur ulnaire du carpe – **Loge 6**
Extenseur du petit doigt – **Loge 5**
Extenseur des doigts
Extenseur de l'index } **Loge 4**
Long extenseur du pouce – **Loge 3**
Court extenseur radial du carpe
Long extenseur radial du carpe } **Loge 2**
Long abducteur du pouce
Court extenseur du pouce } **Loge 1**
Plan de la coupe ci-dessous
Rétinaculum des extenseurs
Artère radiale dans la tabatière anatomique
Muscle abducteur du petit doigt
Muscles interosseux dorsaux
Connexions intertendineuses
Fibres transverses des aponévroses dorsales des doigts (expansions des extenseurs)

F. Netter M.D.

Coupe transversale de la partie la plus distale de l'avant-bras

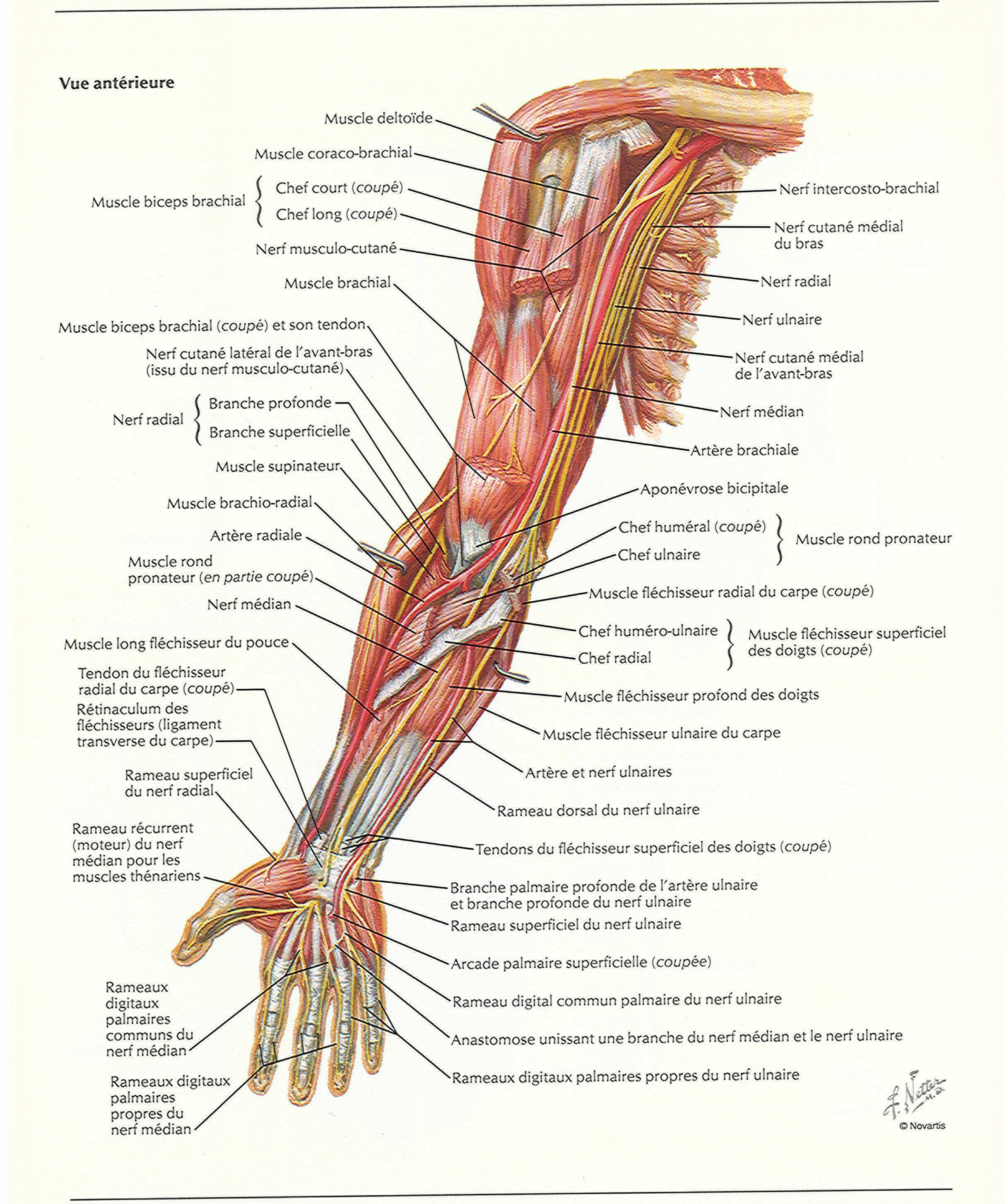


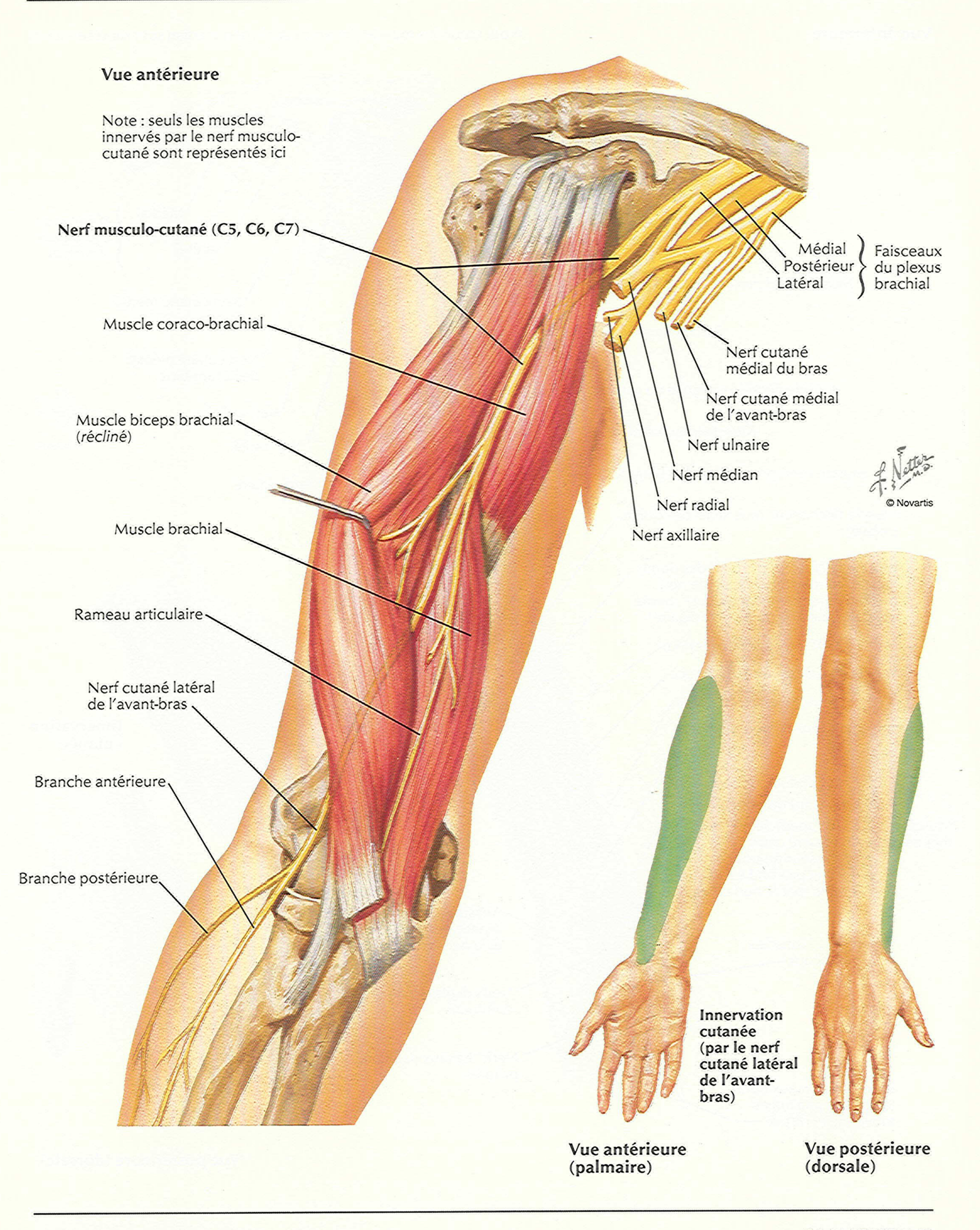

Coupe sagittale
Épiphyse
Membrane synoviale
Tendon de l'extenseur des doigts
Matrice de l'ongle
Cartilage articulaire
Racine de l'ongle
Phalange moyenne
Éponychium
(cuticule)
Lunule
Lit de l'ongle
Corps de l'ongle
Tendon du
fléchisseur
superficiel
des doigts
Phalange distale
Gaine fibreuse du
tendon du doigt
Gaine synoviale du doigt
(tendon fléchisseur)
Tendon du fléchisseur profond des doigts
Nerfs
Artères
Septums
Ligament palmaire (plaque)
Cavité articulaire
Espace antérieur distal clos (pulpe)
Corps de l'ongle
Espace sous-unguéal
Lit de l'ongle
Coupe transversale
à travers la
phalange distale
Artérioles
Phalange distale
Nerfs fins
Septums fibreux et tissu
aréolaire dans l'espace
clos antérieur (pulpe)
Artère et nerf digitaux dorsaux
Rameaux dorsaux des artères et des nerfs
digitaux propres palmaires pour le dos des
phalanges moyenne et terminale
Artères et nerfs
Rameau nourricier de l'épiphyse
Artère digitale propre palmaire
pour le doigt adjacent
Rameaux nourriciers pour le
corps de la phalange distale
Artère et nerf digitaux propres palmaires
F. Netter M.D.
© Novartis



Vue antérieure (palmaire)
Nerf musculo-cutané
Nerf cutané latéral de l'avant-bras
Nerf cutané médial de l'avant-bras
Nerf radial
Branche superficielle
Rameau palmaire
Nerf ulnaire
Rameaux digitaux palmaires
Nerf médian
Rameau palmaire
Rameaux digitaux palmaires
Vue postérieure (dorsale)
Nerf cutané latéral de l'avant-bras
Nerf musculo-cutané
Nerf cutané médial de l'avant-bras
Nerf cutané postérieur de l'avant-bras
La division entre l'innervation ulnaire et radiale du dos de la main est variable ; elle s'aligne souvent sur le médium ou le 3e doigt au lieu du 4e doigt comme ici
Nerf radial
Rameau superficiel et rameaux digitaux dorsaux
Rameau dorsal et rameaux digitaux dorsaux
Nerf ulnaire
Rameaux digitaux propres palmaires
Rameaux digitaux propres palmaires
Nerf médian
F. Netter M.D.

Artères et nerfs du membre supérieur

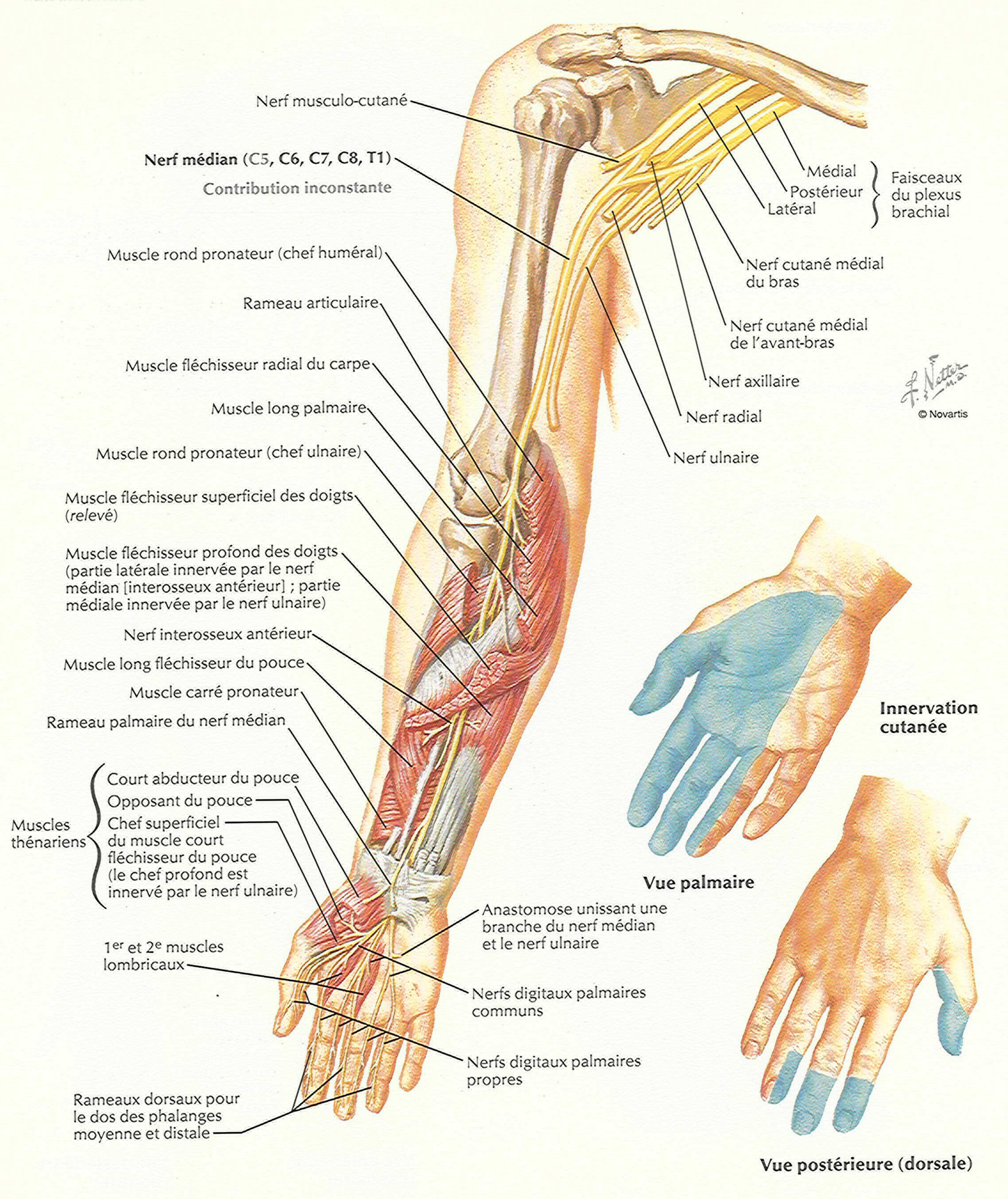


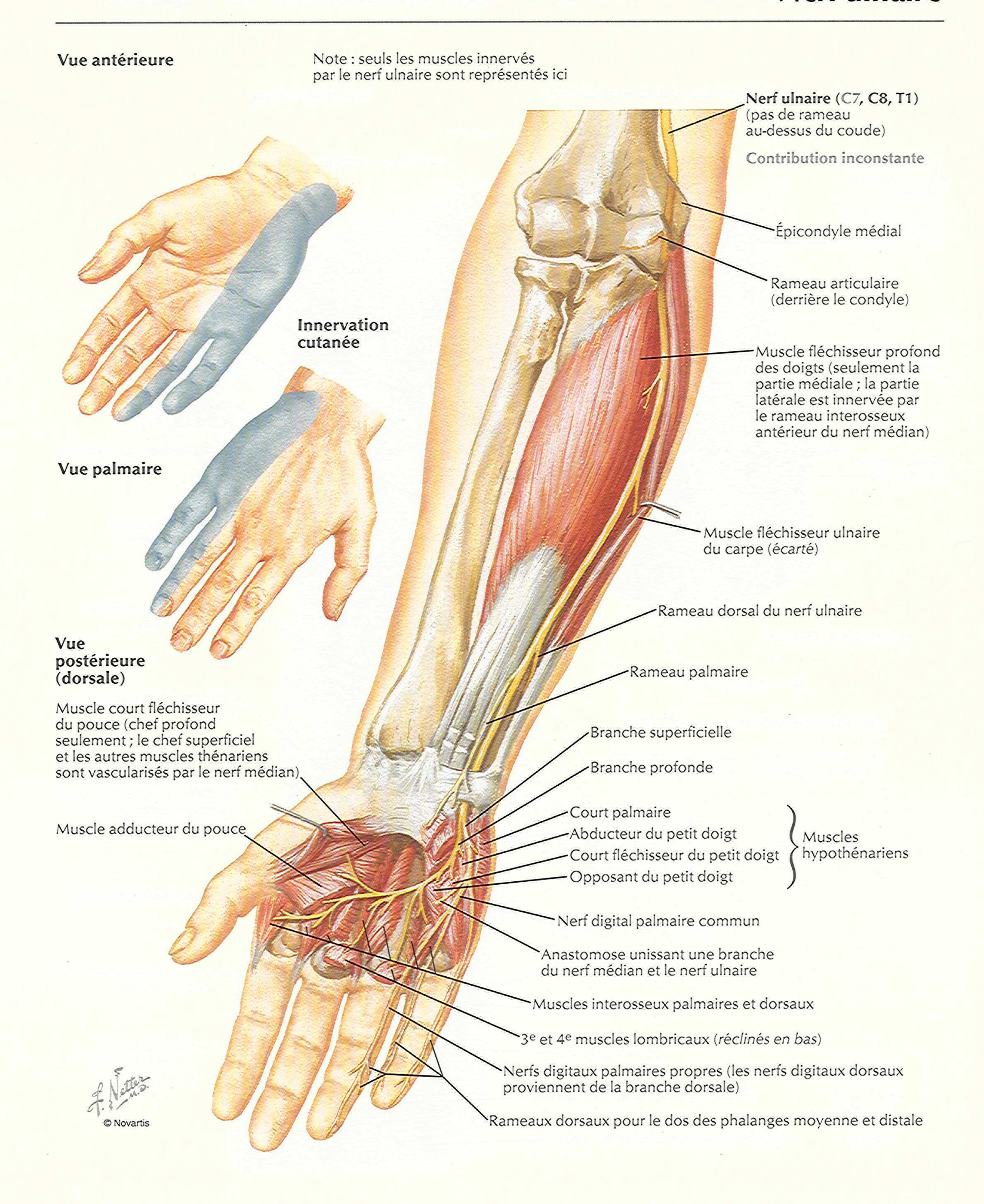

Vue antérieure
Note : seuls les muscles innervés par le nerf musculo-cutané sont représentés ici
Nerf musculo-cutané (C5, C6, C7)
Muscle coraco-brachial
Muscle biceps brachial (récliné)
Muscle brachial
Rameau articulaire
Nerf cutané latéral de l'avant-bras
Branche antérieure
Branche postérieure
Médial
Postérieur
Latéral
Faisceaux du plexus brachial
Nerf cutané médial du bras
Nerf cutané médial de l'avant-bras
Nerf ulnaire
Nerf médian
Nerf radial
Nerf axillaire
F. Netter M.D.
© Novartis
Innervation cutanée (par le nerf cutané latéral de l'avant-bras)
Vue antérieure (palmaire)
Vue postérieure (dorsale)

Nerf médian

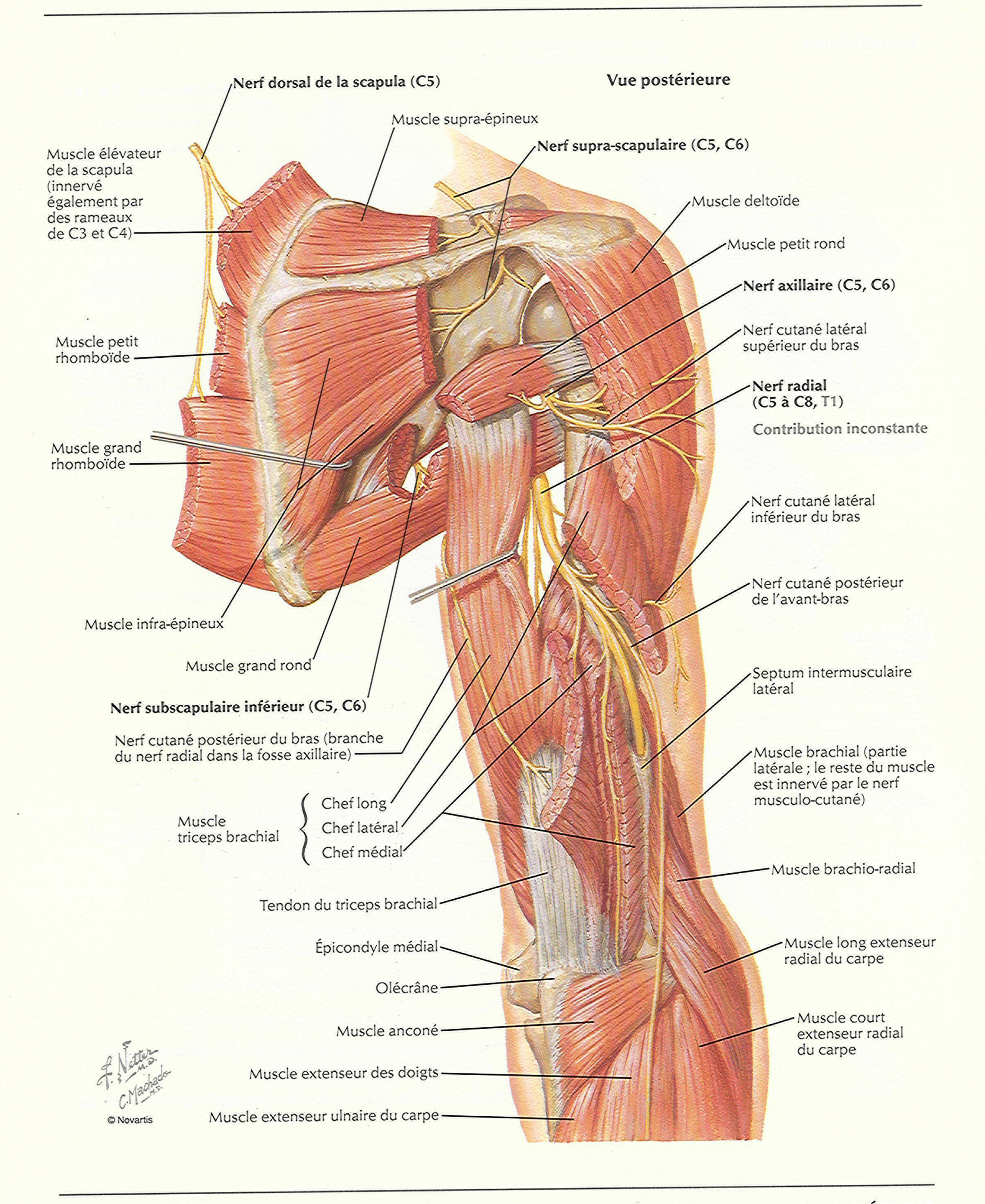
Vue antérieure

Note : seuls les muscles innervés par le nerf médian sont représentés ici



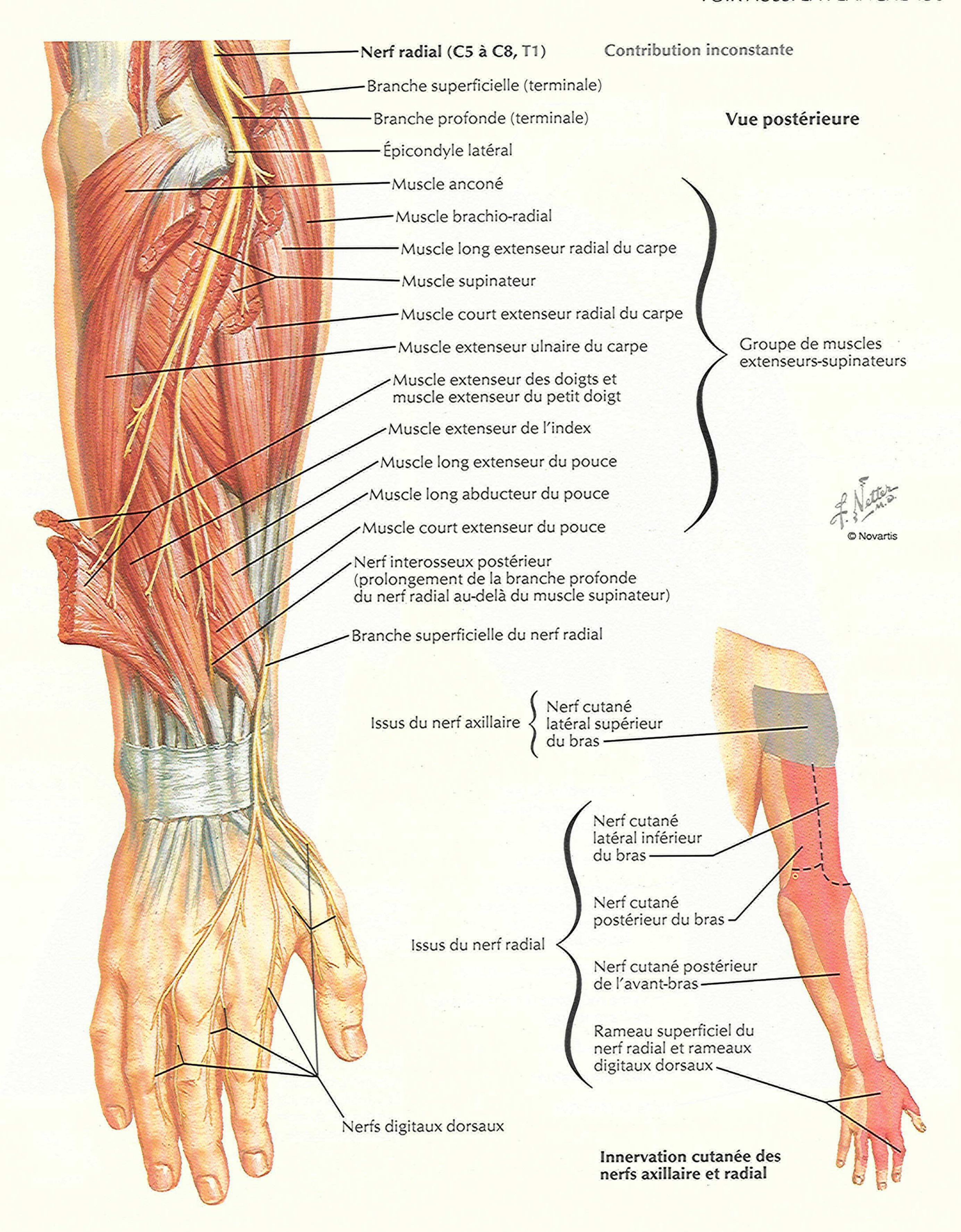

Vue antérieure
Note : seuls les muscles innervés par le nerf ulnaire sont représentés ici
Nerf ulnaire (C7, C8, T1) (pas de rameau au-dessus du coude)
Contribution inconstante
Épicondyle médial
Rameau articulaire (derrière le condyle)
Muscle fléchisseur profond des doigts (seulement la partie médiale ; la partie latérale est innervée par le rameau interosseux antérieur du nerf médian)
Innervation cutanée
Vue palmaire
Muscle fléchisseur ulnaire du carpe (écarté)
Rameau dorsal du nerf ulnaire
Vue postérieure (dorsale)
Rameau palmaire
Muscle court fléchisseur du pouce (chef profond seulement ; le chef superficiel et les autres muscles thénariens sont vascularisés par le nerf médian)
Branche superficielle
Branche profonde
Court palmaire
Abducteur du petit doigt
Court fléchisseur du petit doigt
Opposant du petit doigt
Muscles hypothénariens
Muscle adducteur du pouce
Nerf digital palmaire commun
Anastomose unissant une branche du nerf médian et le nerf ulnaire
Muscles interosseux palmaires et dorsaux
3e et 4e muscles lombricaux (réclinés en bas)
Nerfs digitaux palmaires propres (les nerfs digitaux dorsaux proviennent de la branche dorsale)
Rameaux dorsaux pour le dos des phalanges moyenne et distale
F. Netter M.D.
© Novartis

Nerf radial au bras et nerfs de la région postérieure de l'épaule



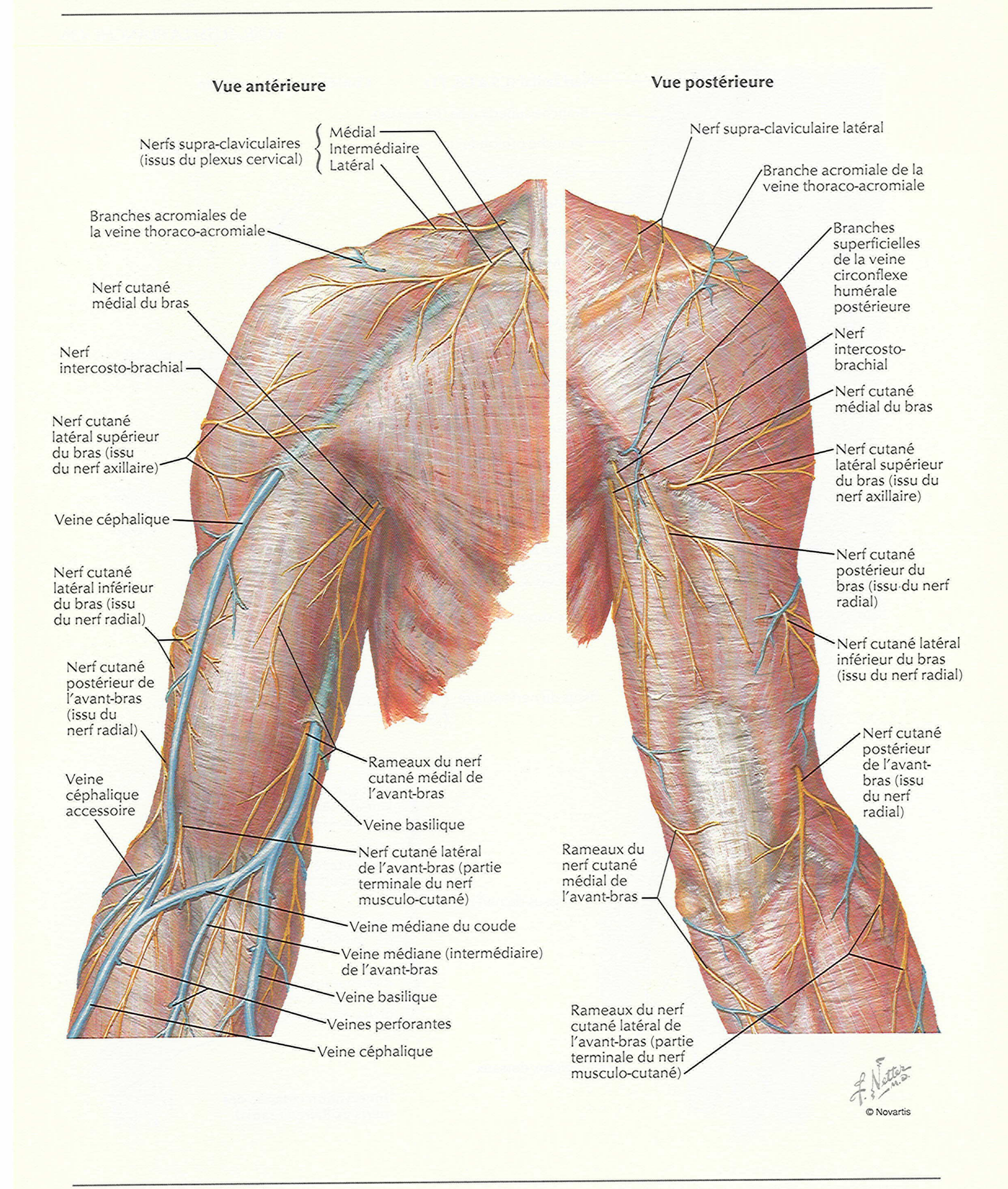
Nerf radial à l'avant-bras

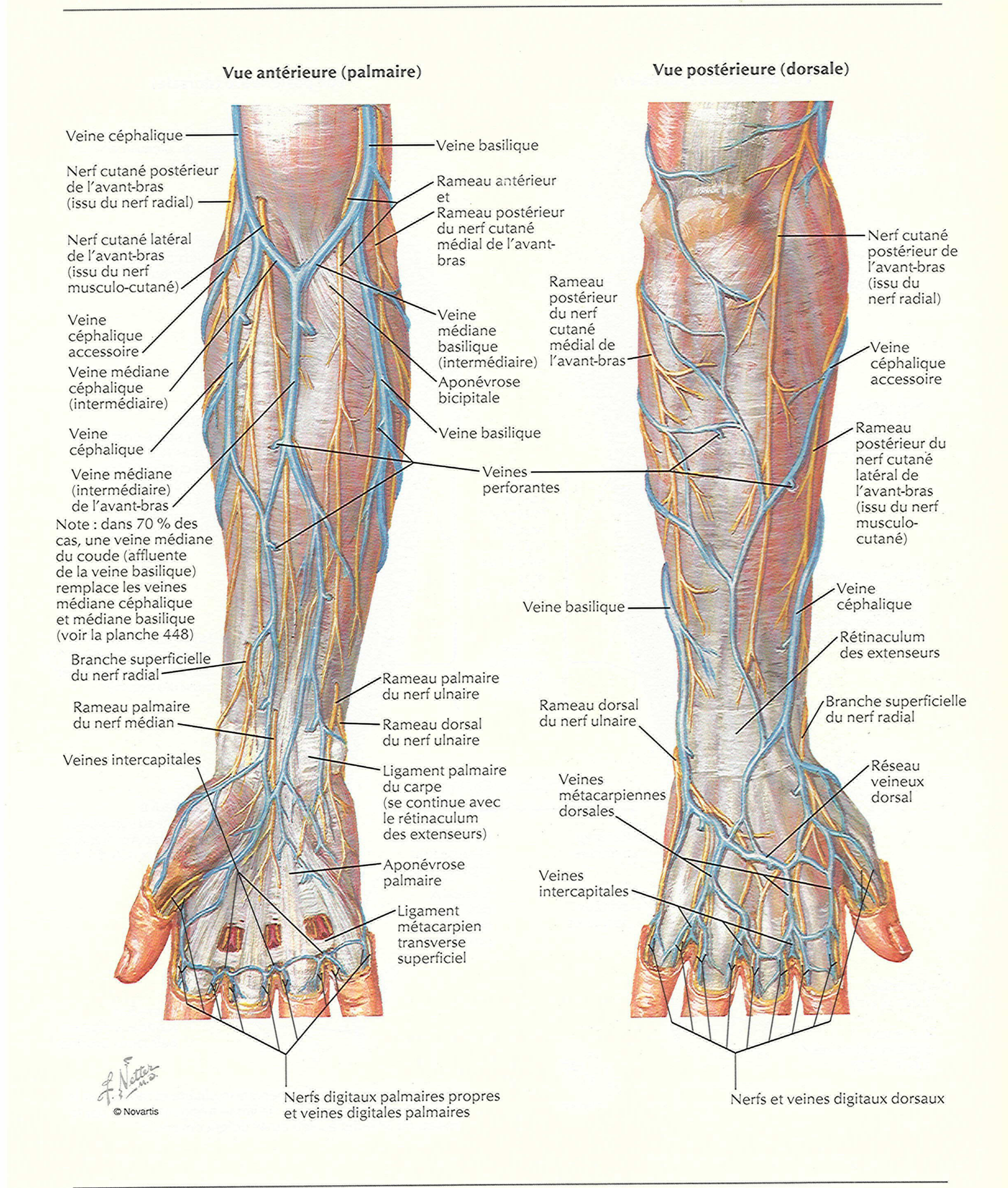
VOIR AUSSI LA PLANCHE 436



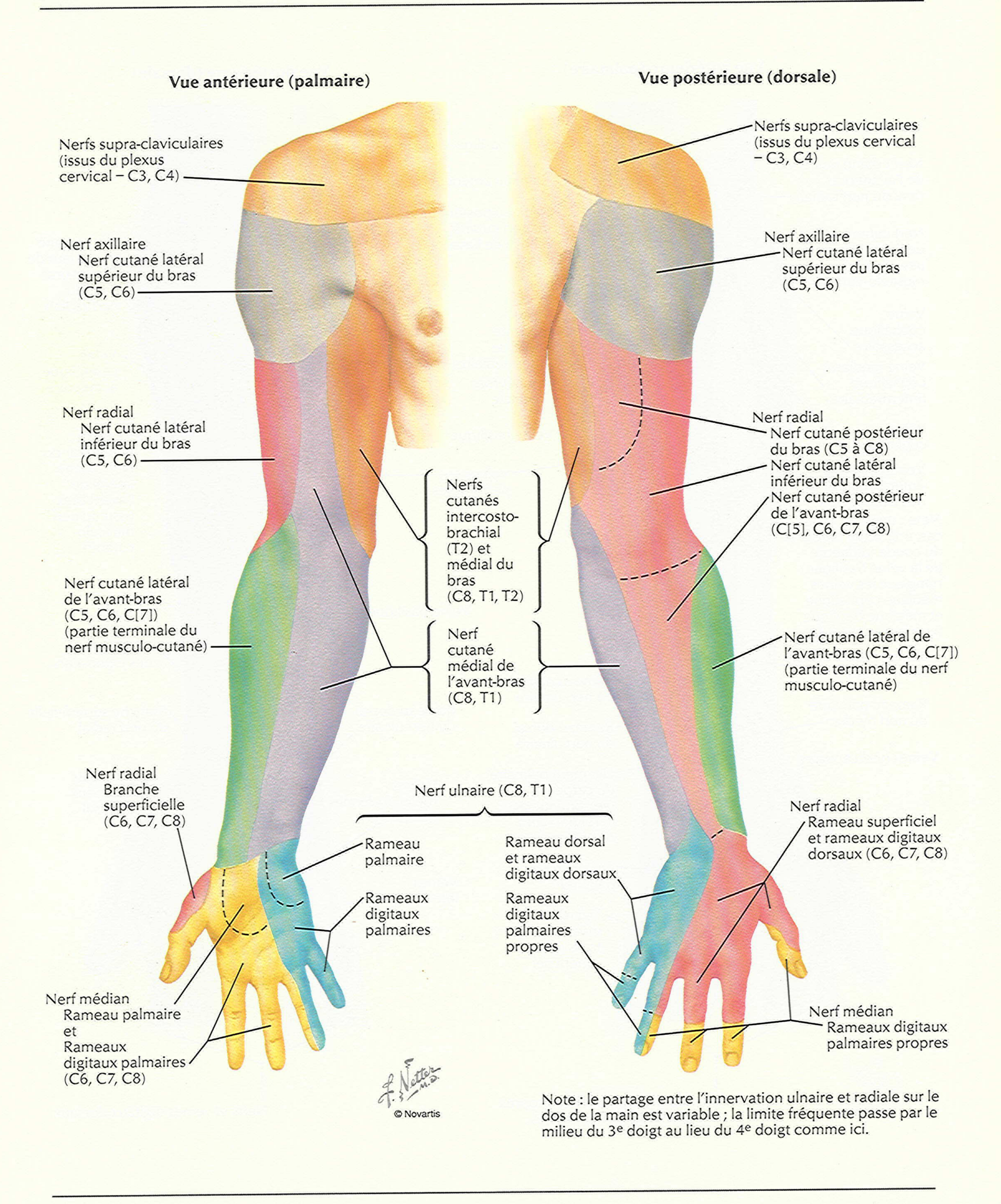
Innervation cutanée des nerfs axillaire et radial

Nerfs cutanés et veines superficielles de l'épaule et du bras




Vue antérieure (palmaire)
Vue postérieure (dorsale)
Veine céphalique
Nerf cutané postérieur de l'avant-bras (issu du nerf radial)
Nerf cutané latéral de l'avant-bras (issu du nerf musculo-cutané)
Veine céphalique accessoire
Veine médiane céphalique (intermédiaire)
Veine céphalique
Veine médiane (intermédiaire) de l'avant-bras
Note : dans 70 % des cas, une veine médiane du coude (affluente de la veine basilique) remplace les veines médiane céphalique et médiane basilique (voir la planche 448)
Branche superficielle du nerf radial
Rameau palmaire du nerf médian
Veines intercapitales
Veine basilique
Rameau antérieur et Rameau postérieur du nerf cutané médial de l'avant-bras
Veine médiane basilique (intermédiaire)
Aponévrose bicipitale
Veine basilique
Veines perforantes
Rameau palmaire du nerf ulnaire
Rameau dorsal du nerf ulnaire
Ligament palmaire du carpe (se continue avec le rétinaculum des extenseurs)
Aponévrose palmaire
Ligament métacarpien transverse superficiel
Nerfs digitaux palmaires propres et veines digitales palmaires
Rameau postérieur du nerf cutané médial de l'avant-bras
Veine basilique
Rameau dorsal du nerf ulnaire
Veines métacarpiennes dorsales
Veines intercapitales
Nerf cutané postérieur de l'avant-bras (issu du nerf radial)
Veine céphalique accessoire
Rameau postérieur du nerf cutané latéral de l'avant-bras (issu du nerf musculo-cutané)
Veine céphalique
Rétinaculum des extenseurs
Branche superficielle du nerf radial
Réseau veineux dorsal
Nerfs et veines digitaux dorsaux
F. Netter M.D.

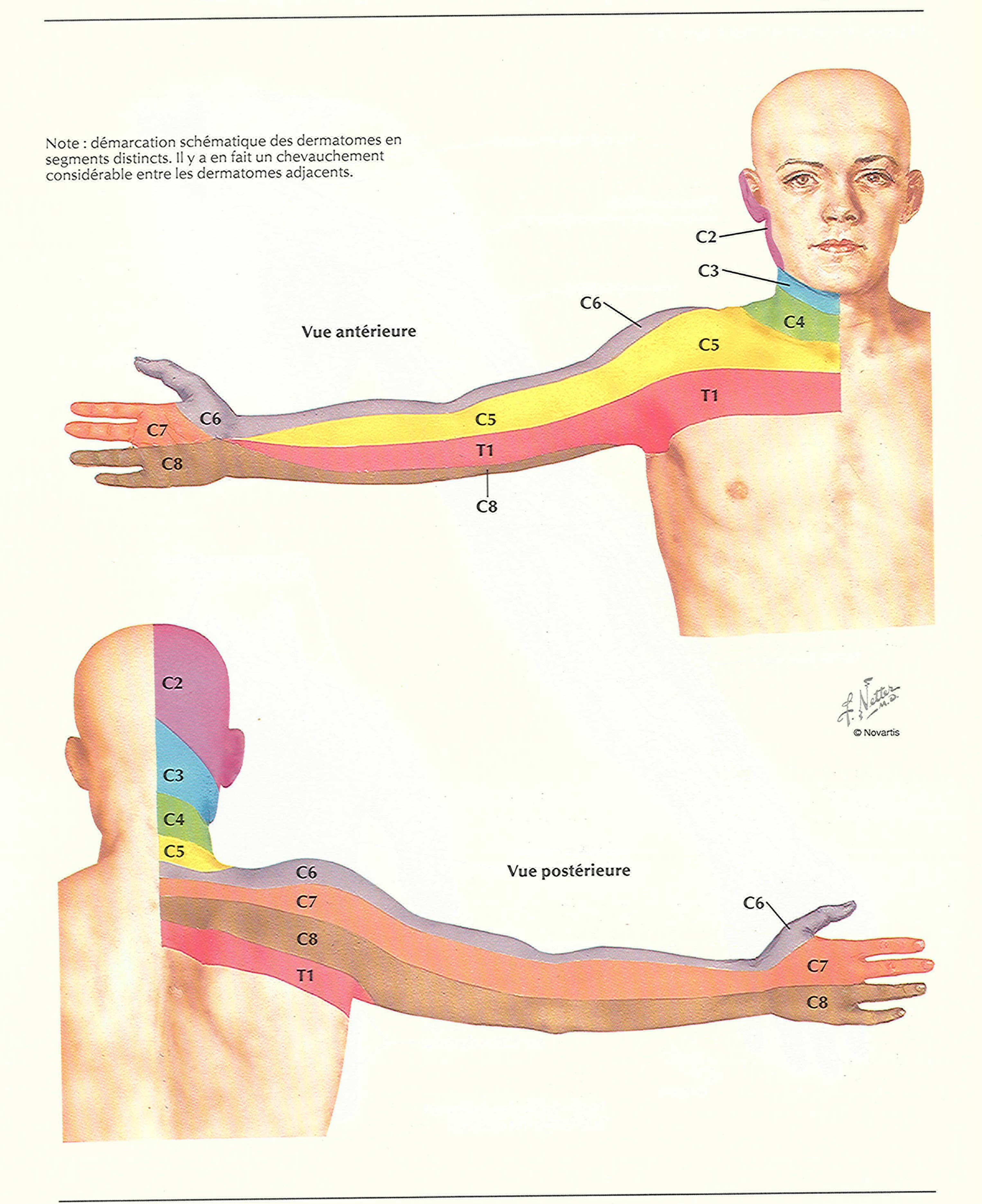
Innervation cutanée du membre supérieur



Note : le partage entre l'innervation ulnaire et radiale sur le dos de la main est variable ; la limite fréquente passe par le milieu du 3e doigt au lieu du 4e doigt comme ici.

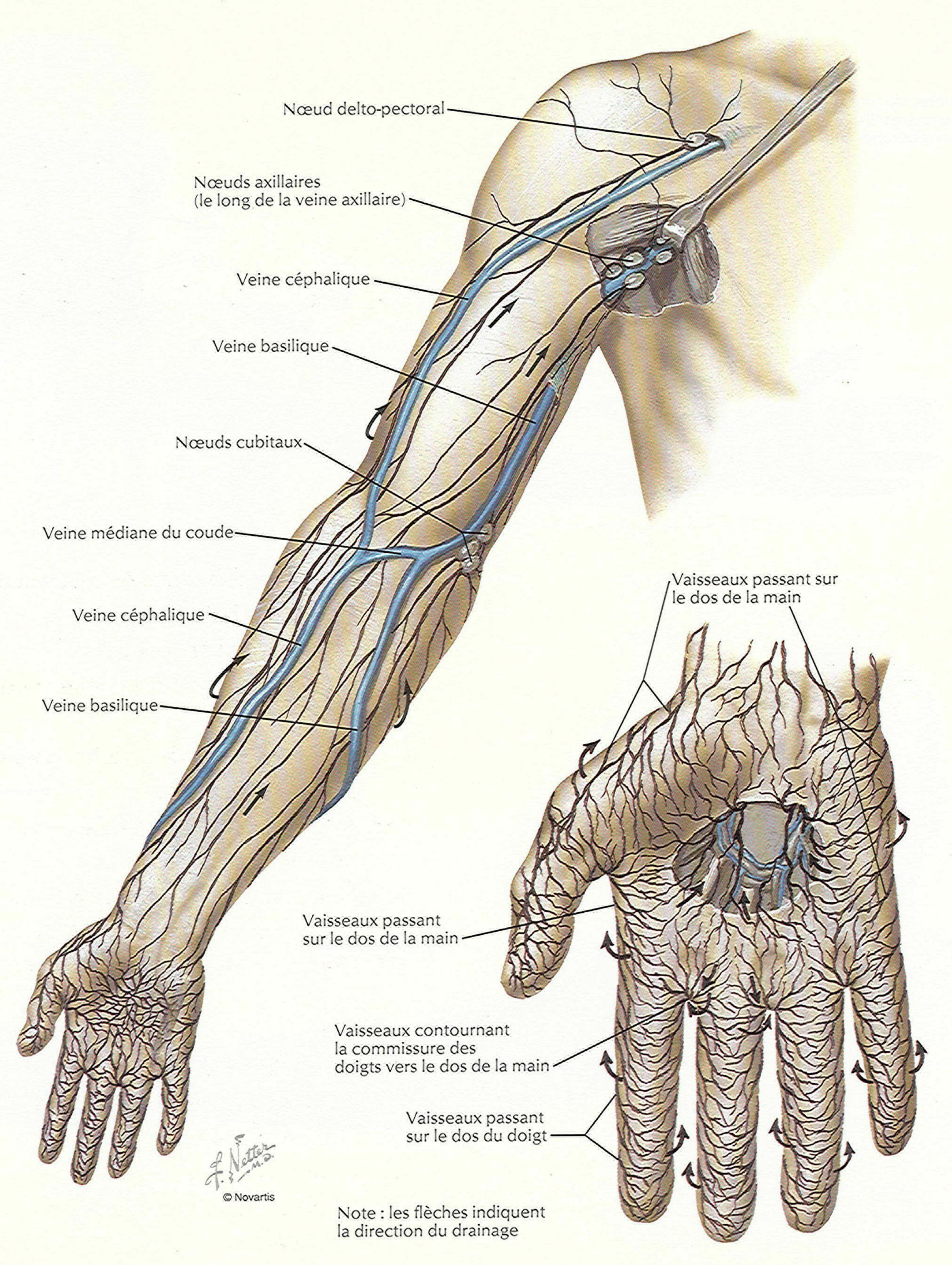
Dermatomes du membre supérieur

Note : démarcation schématique des dermatomes en segments distincts. Il y a en fait un chevauchement considérable entre les dermatomes adjacents.



Vaisseaux et nœuds lymphatiques du membre supérieur

VOIR AUSSI LES PLANCHES 169, 437



Note : les flèches indiquent la direction du drainage

Section VII

MEMBRE INFÉRIEUR

HANCHE ET CUISSE
Planches 453 – 471

GENOU
Planches 472 – 477

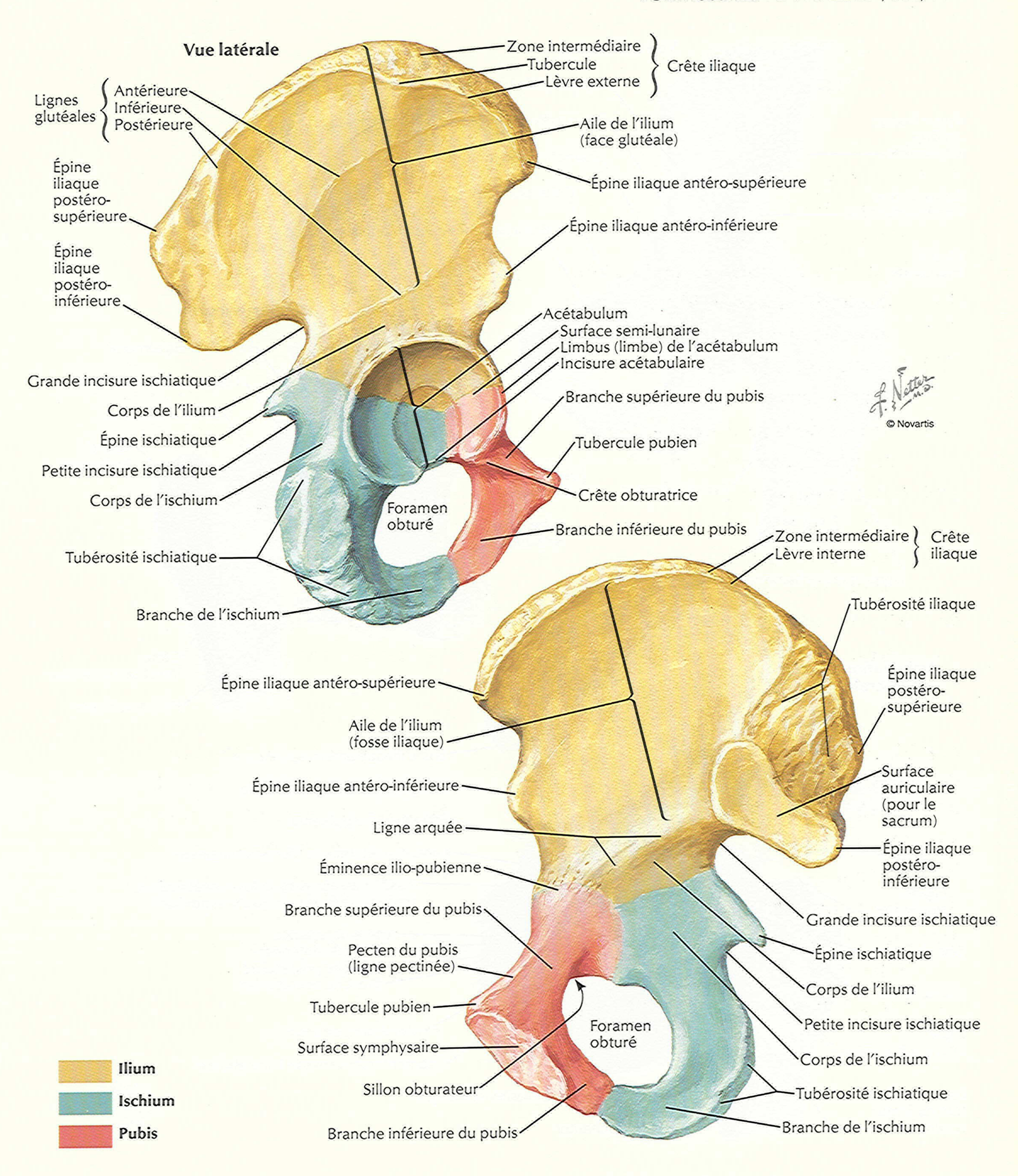
JAMBE
Planches 478 – 487

CHEVILLE ET PIED
Planches 488 – 501

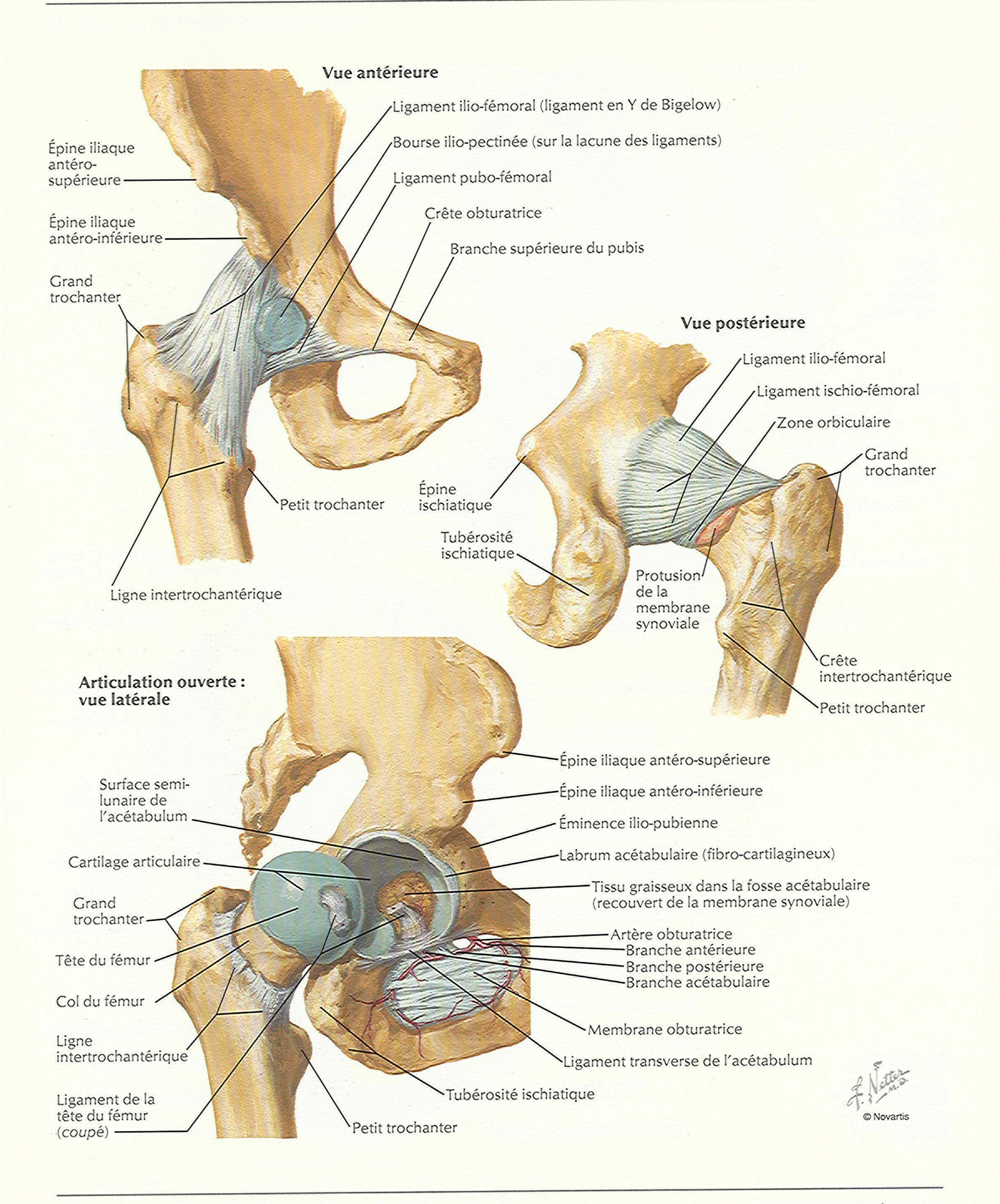
INNERVATION-VASCULARISATION
Planches 502 – 510

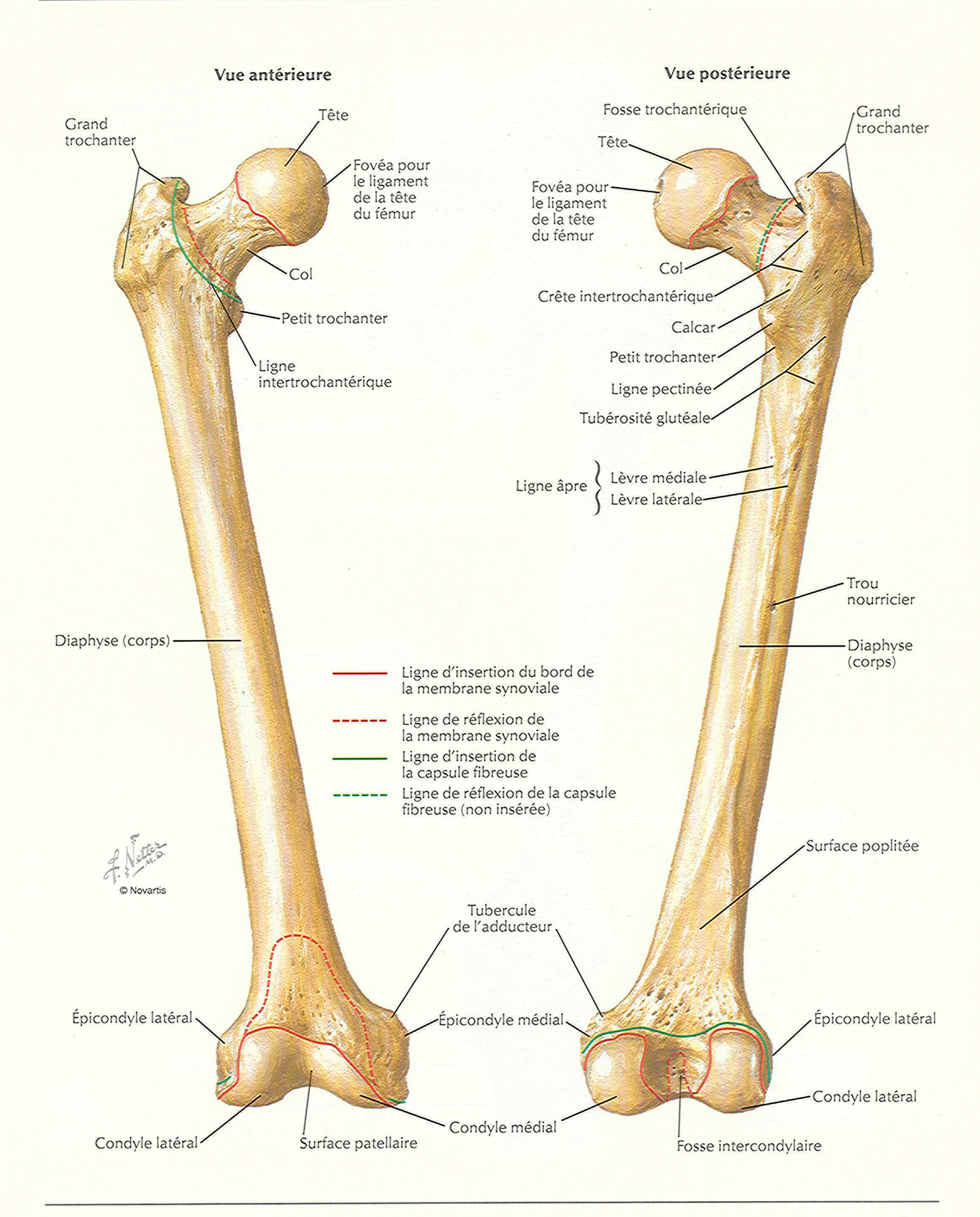
Os coxal (os de la hanche)

VOIR AUSSI LES PLANCHES 231, 330, 331

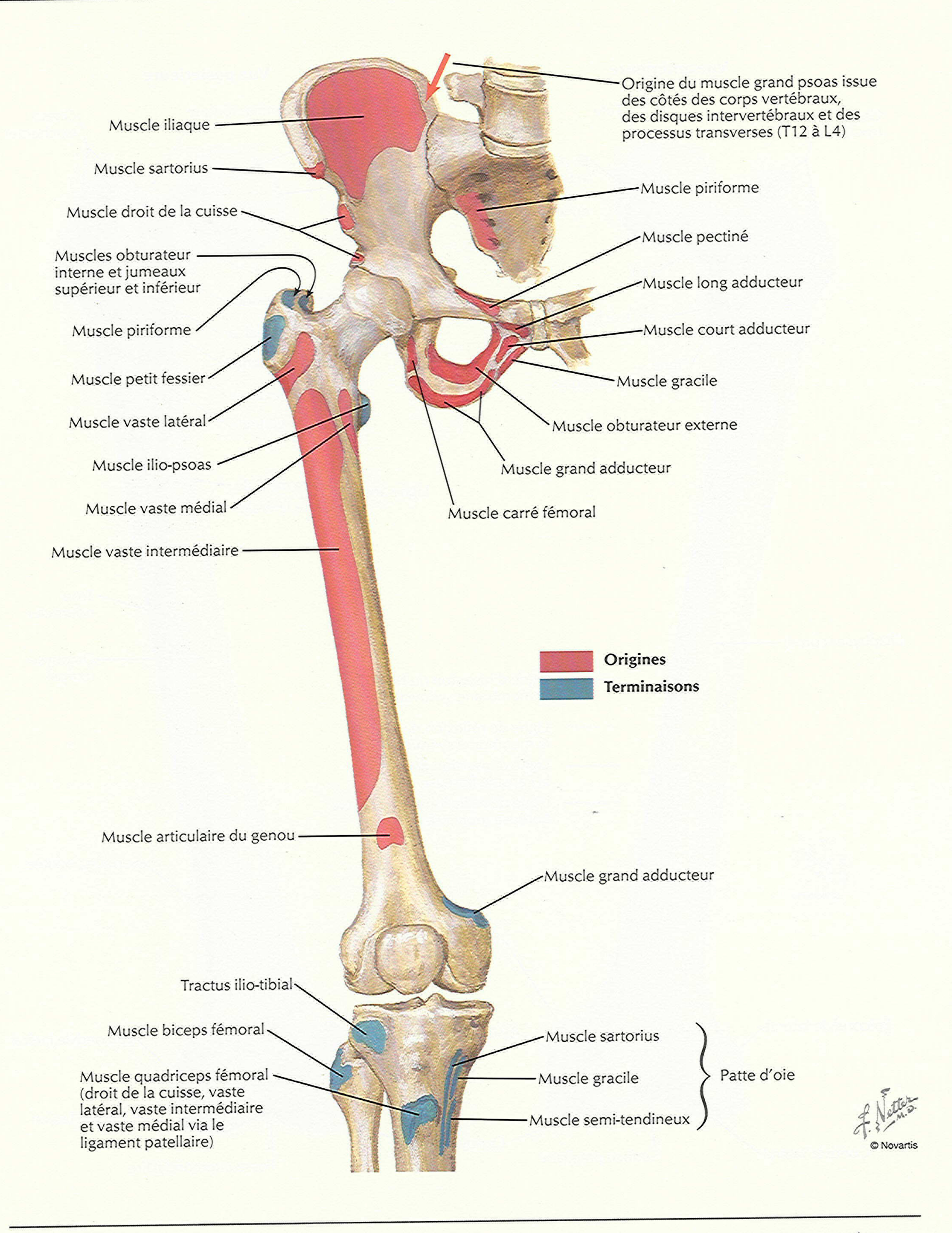


Articulation de la hanche

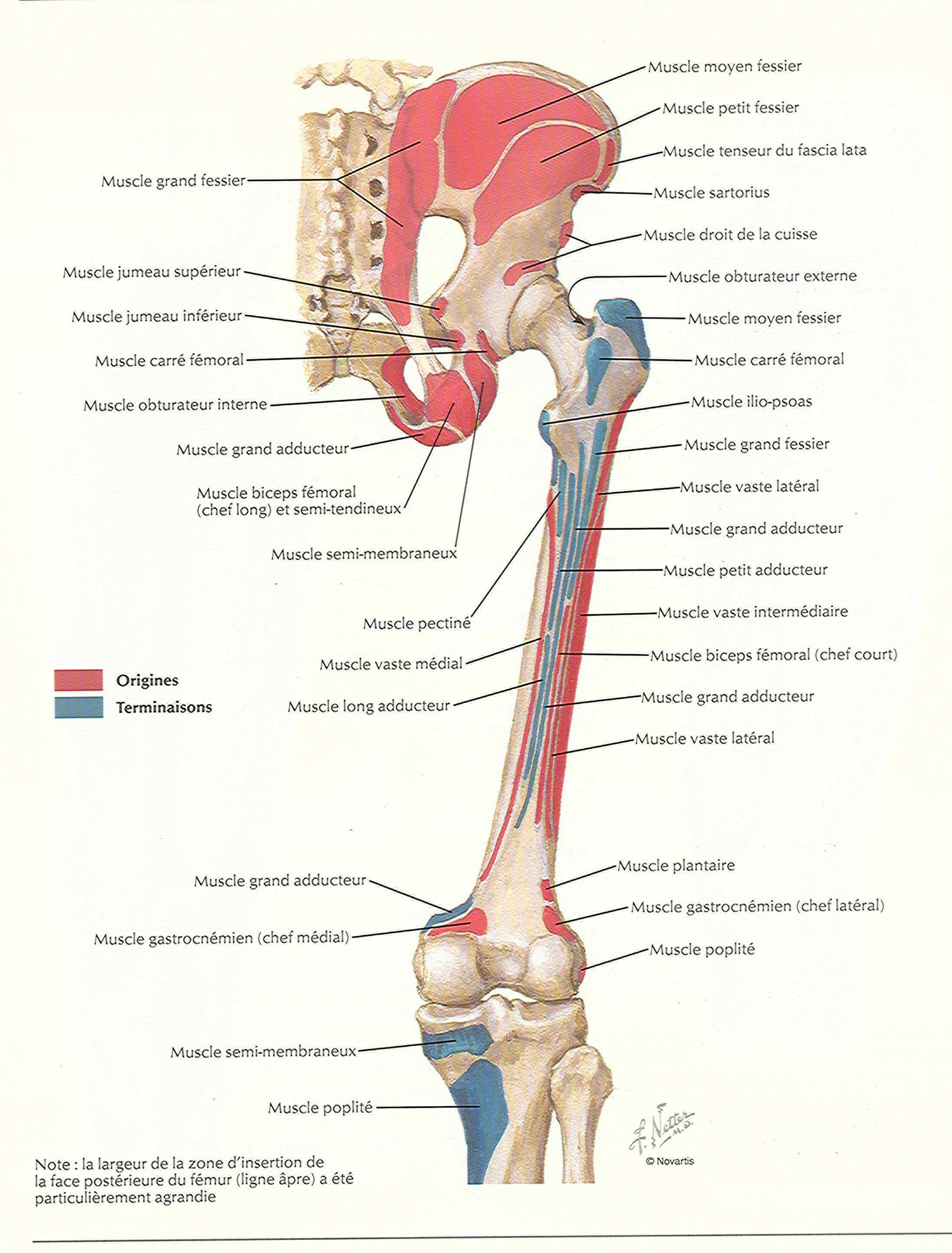



Vue antérieure
Vue postérieure
Grand trochanter
Tête
Fovéa pour le ligament de la tête du fémur
Col
Petit trochanter
Ligne intertrochantérique
Fosse trochantérique
Crête intertrochantérique
Calcar
Ligne pectinée
Tubérosité glutéale
Ligne âpre
Lèvre médiale
Lèvre latérale
Trou nourricier
Diaphyse (corps)
Ligne d'insertion du bord de la membrane synoviale
Ligne de réflexion de la membrane synoviale
Ligne d'insertion de la capsule fibreuse
Ligne de réflexion de la capsule fibreuse (non insérée)
© Novartis
Surface poplitée
Tubercule de l'adducteur
Épicondyle latéral
Épicondyle médial
Condyle latéral
Surface patellaire
Condyle médial
Fosse intercondylaire

Insertions osseuses des muscles de la hanche et de la cuisse : vue antérieure

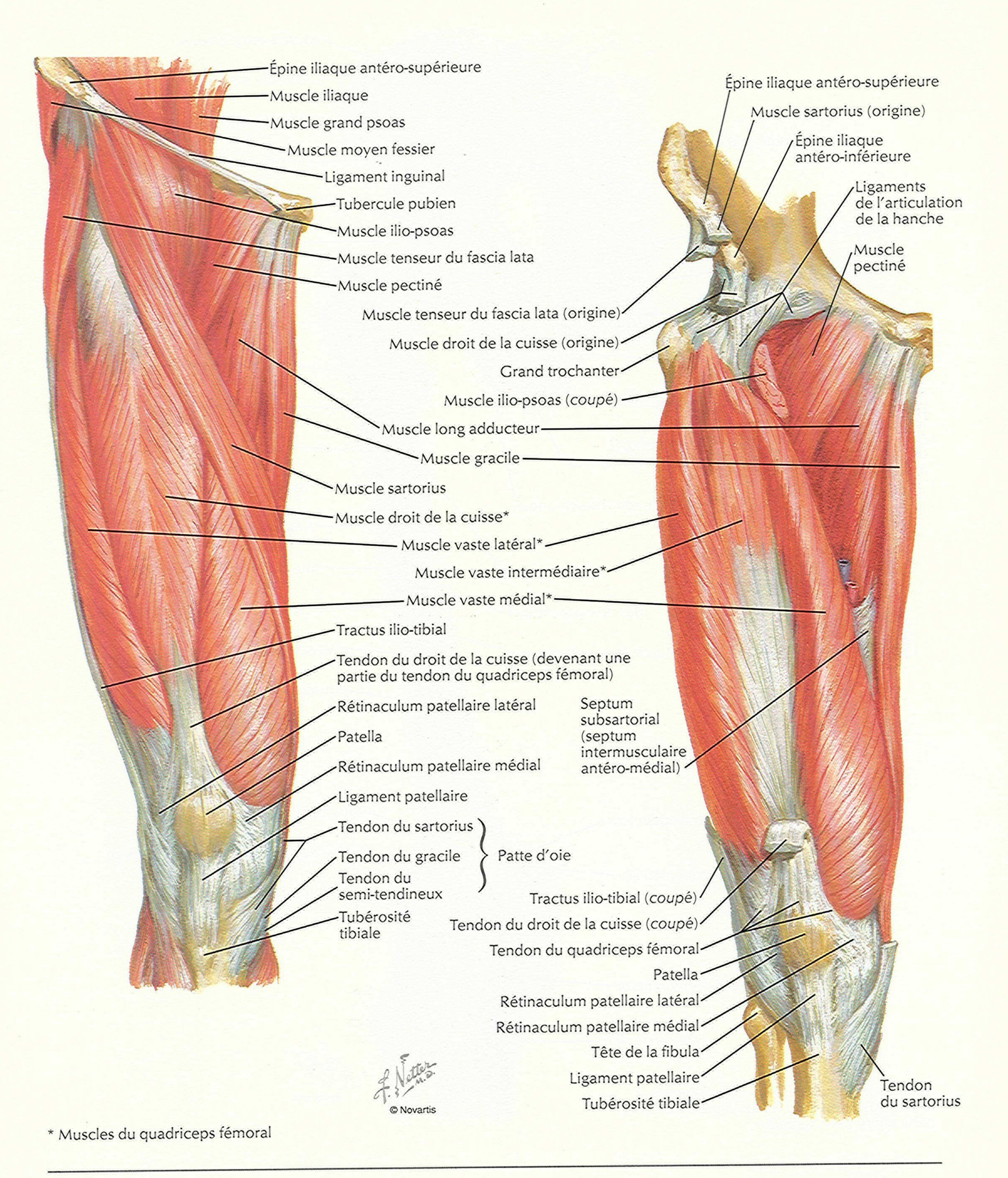


Insertions osseuses des muscles de la hanche et de la cuisse : vue postérieure

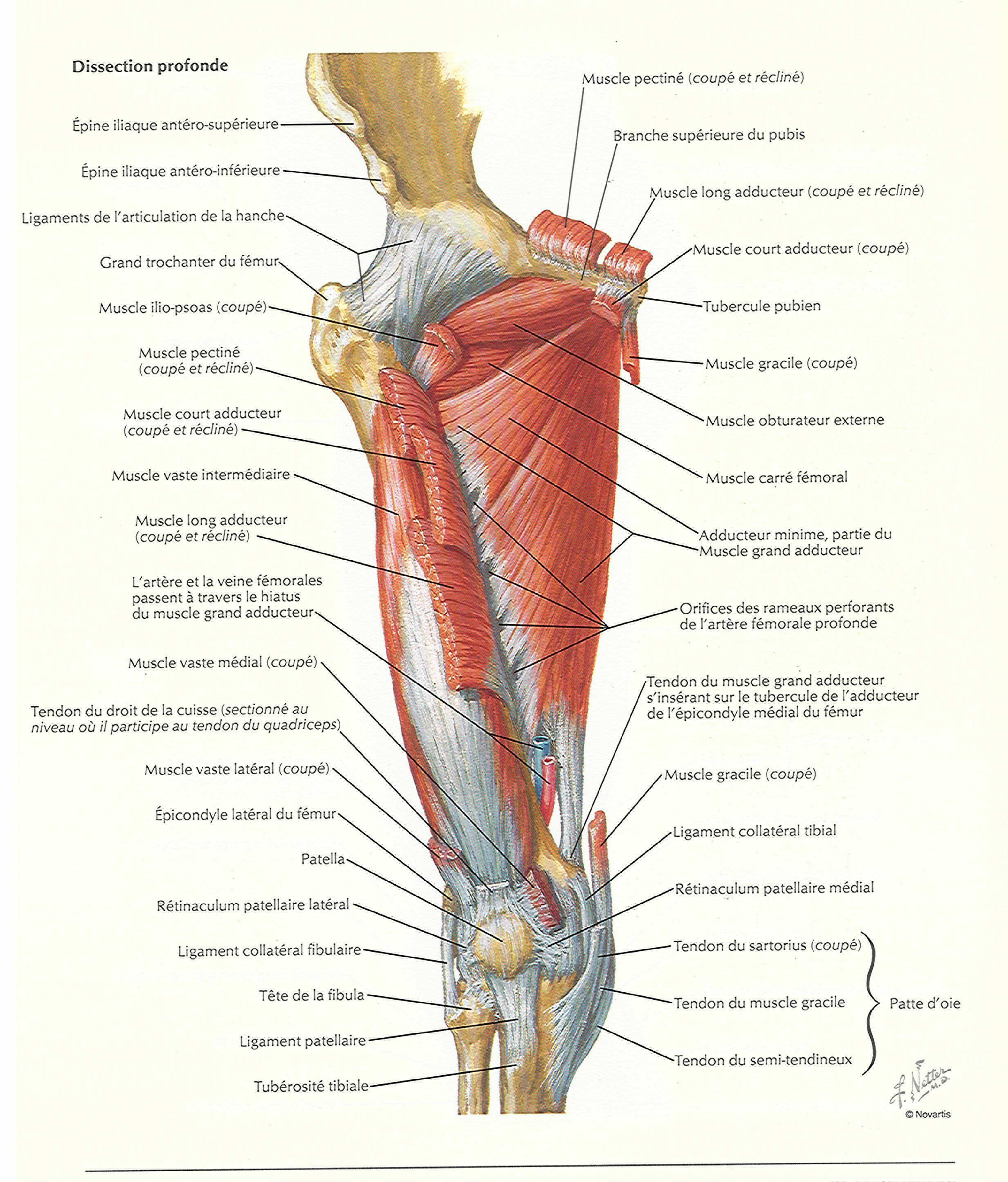


Note : la largeur de la zone d'insertion de la face postérieure du fémur (ligne âpre) a été particulièrement agrandie

Muscles de la cuisse : vues antérieures

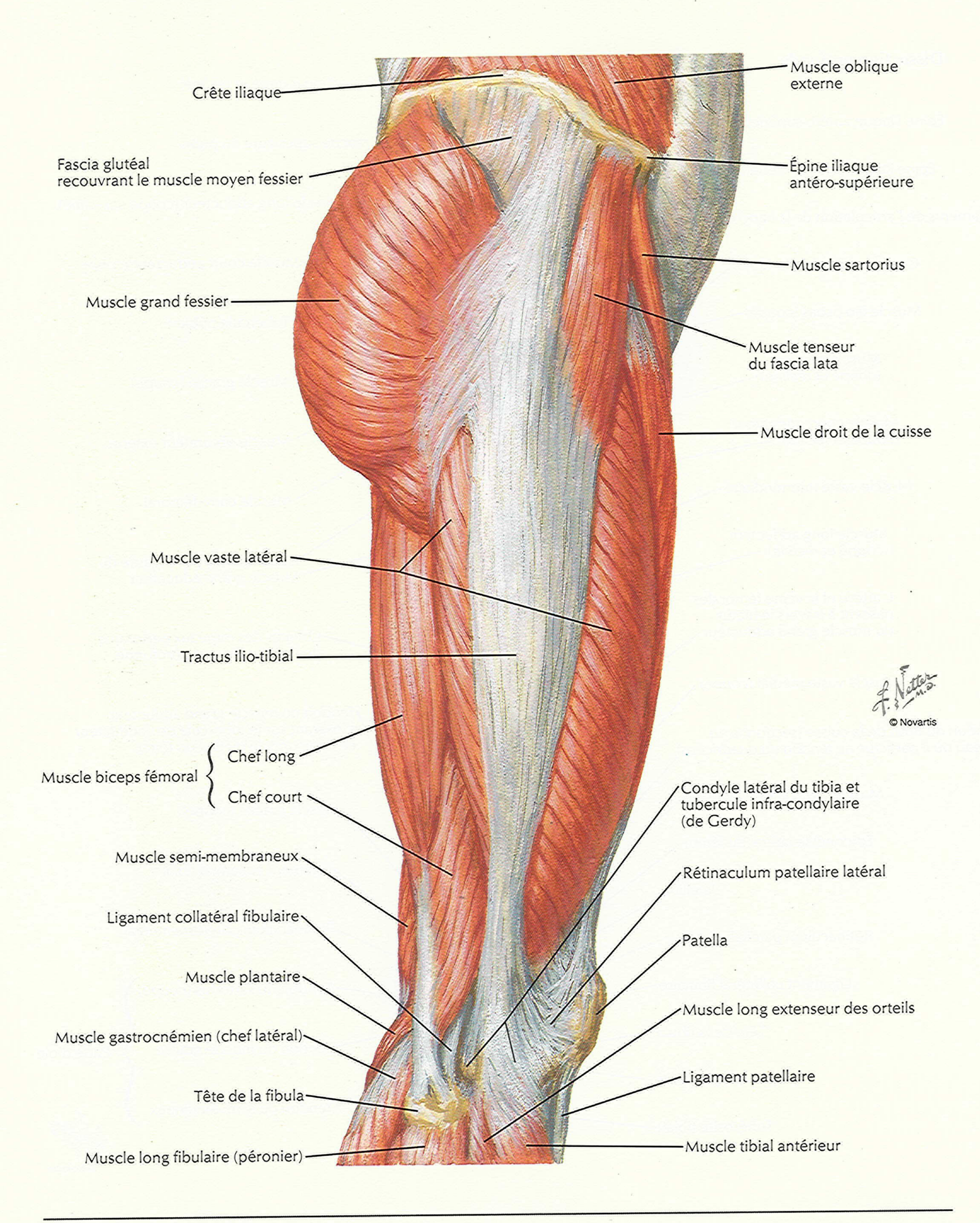


* Muscles du quadriceps fémoral



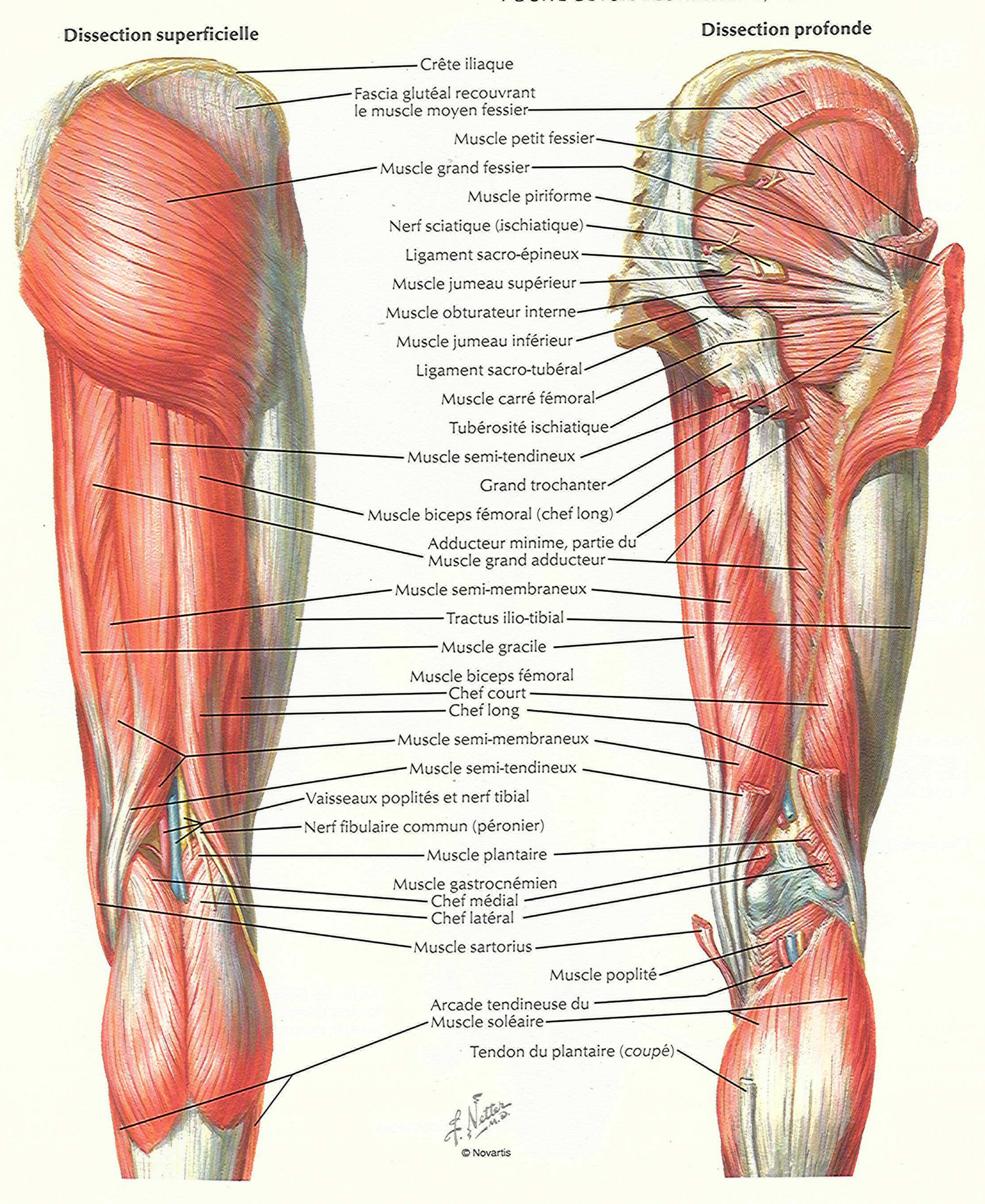
Dissection profonde
Épine iliaque antéro-supérieure
Épine iliaque antéro-inférieure
Ligaments de l'articulation de la hanche
Grand trochanter du fémur
Muscle ilio-psoas (*coupé*)
Muscle pectiné (*coupé et récliné*)
Muscle court adducteur (*coupé et récliné*)
Muscle vaste intermédiaire
Muscle long adducteur (*coupé et récliné*)
L'artère et la veine fémorales passent à travers le hiatus du muscle grand adducteur
Muscle vaste médial (*coupé*)
Tendon du droit de la cuisse (*sectionné au niveau où il participe au tendon du quadriceps*)
Muscle vaste latéral (*coupé*)
Épicondyle latéral du fémur
Patella
Rétinaculum patellaire latéral
Ligament collatéral fibulaire
Tête de la fibula
Ligament patellaire
Tubérosité tibiale
Muscle pectiné (*coupé et récliné*)
Branche supérieure du pubis
Muscle long adducteur (*coupé et récliné*)
Muscle court adducteur (*coupé*)
Tubercule pubien
Muscle gracile (*coupé*)
Muscle obturateur externe
Muscle carré fémoral
Adducteur minime, partie du Muscle grand adducteur
Orifices des rameaux perforants de l'artère fémorale profonde
Tendon du muscle grand adducteur s'insérant sur le tubercule de l'adducteur de l'épicondyle médial du fémur
Muscle gracile (*coupé*)
Ligament collatéral tibial
Rétinaculum patellaire médial
Tendon du sartorius (*coupé*)
Tendon du muscle gracile
Tendon du semi-tendineux
Patte d'oie
F. Netter M.D.
© Novartis

Muscles de la hanche et de la cuisse : vue latérale



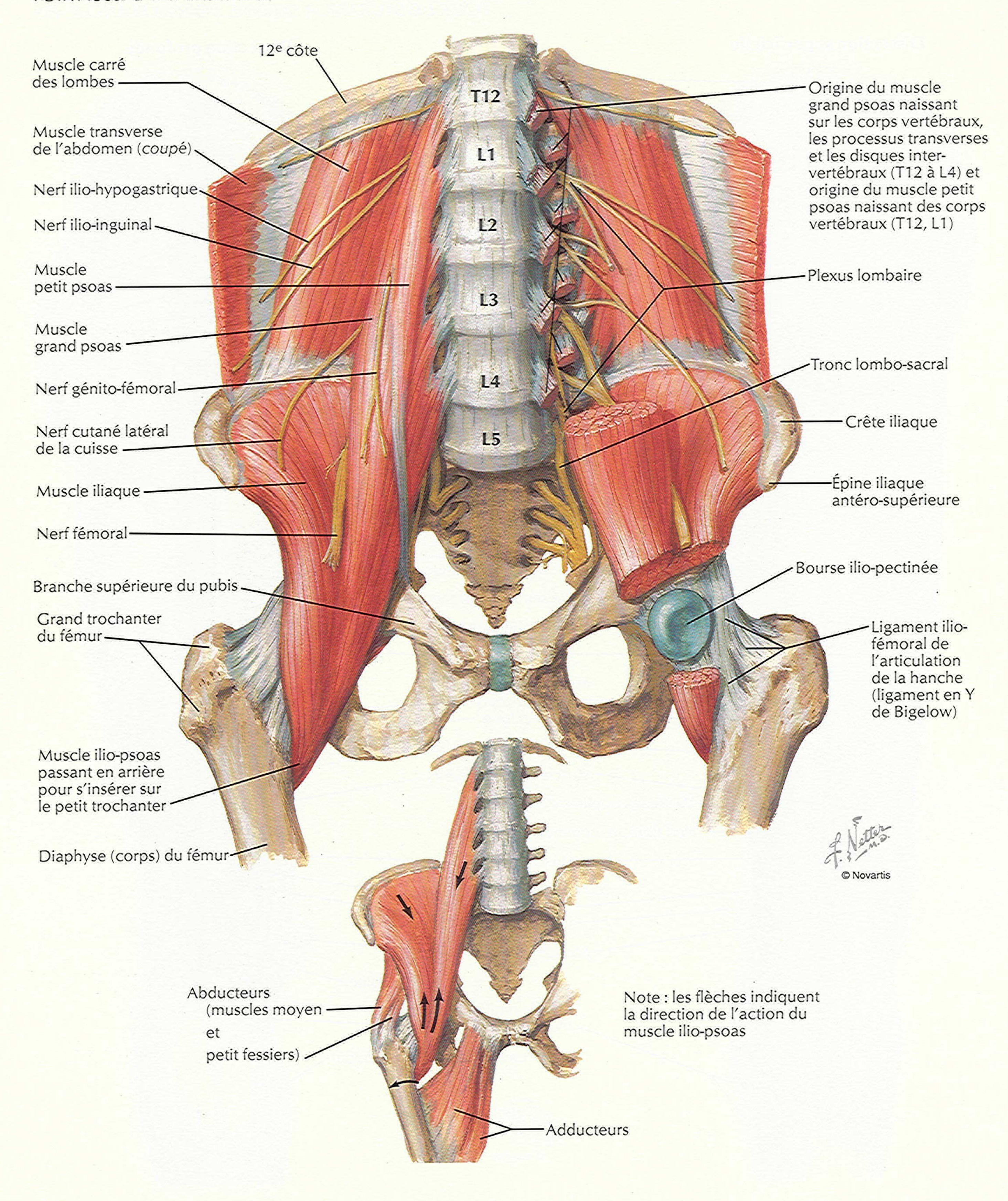
Muscles de la hanche et de la cuisse : vues postérieures

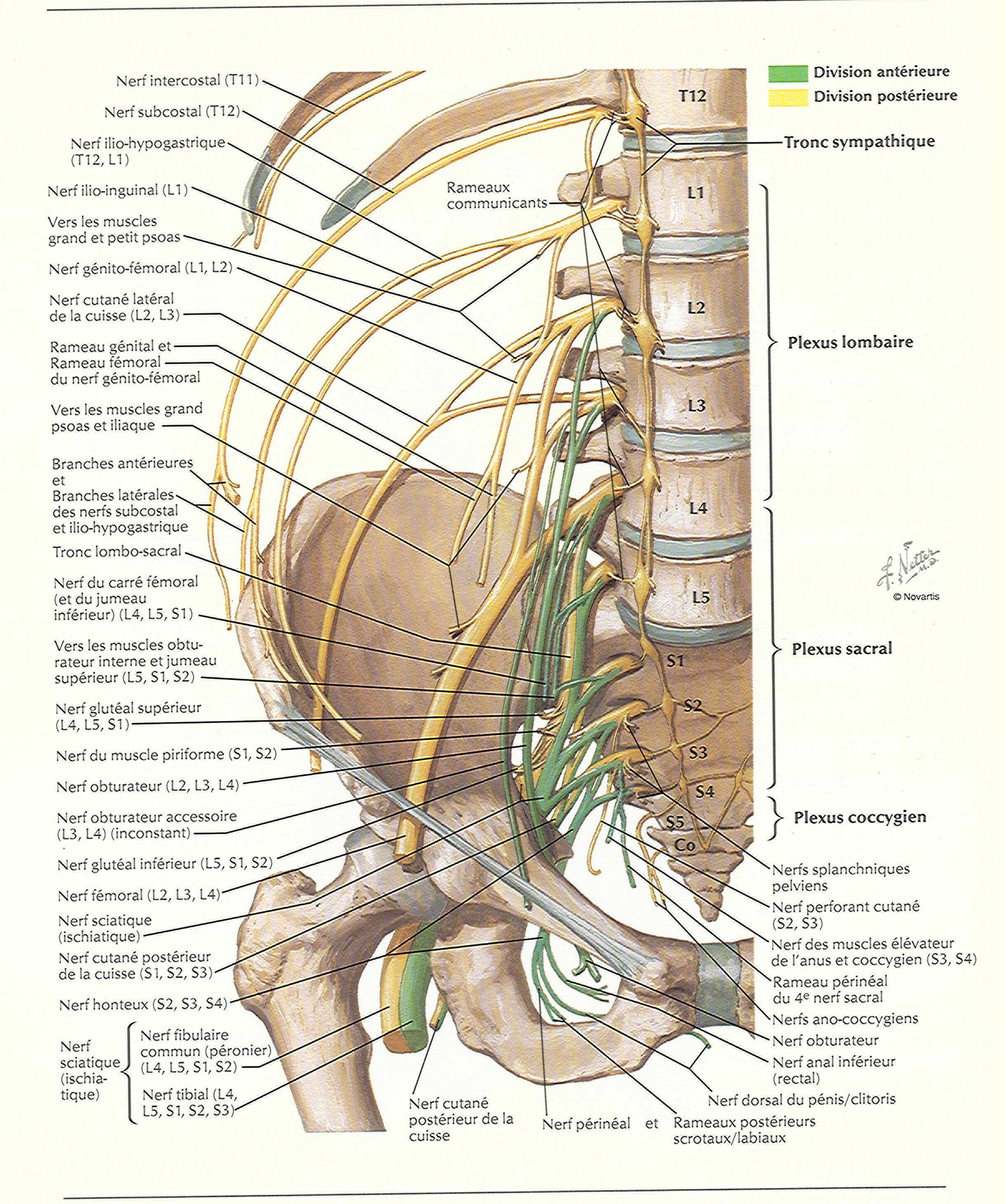
POUR LE PIRIFORME ET L'OBTURATEUR INTERNE, VOIR AUSSI LES PLANCHES 333, 334 ;
POUR L'OBTURATEUR EXTERNE, VOIR LA PLANCHE 459



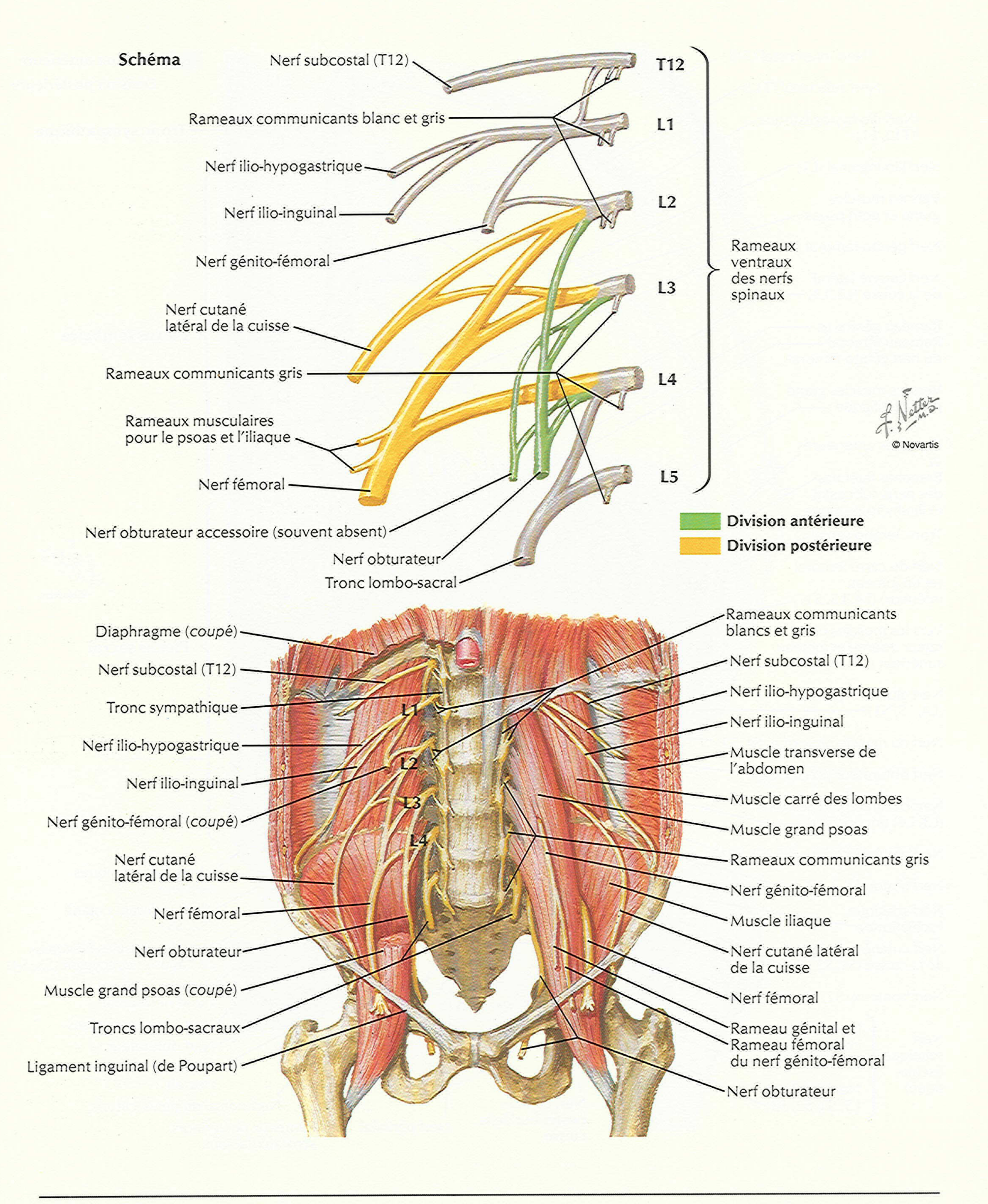
Muscles psoas et iliaque

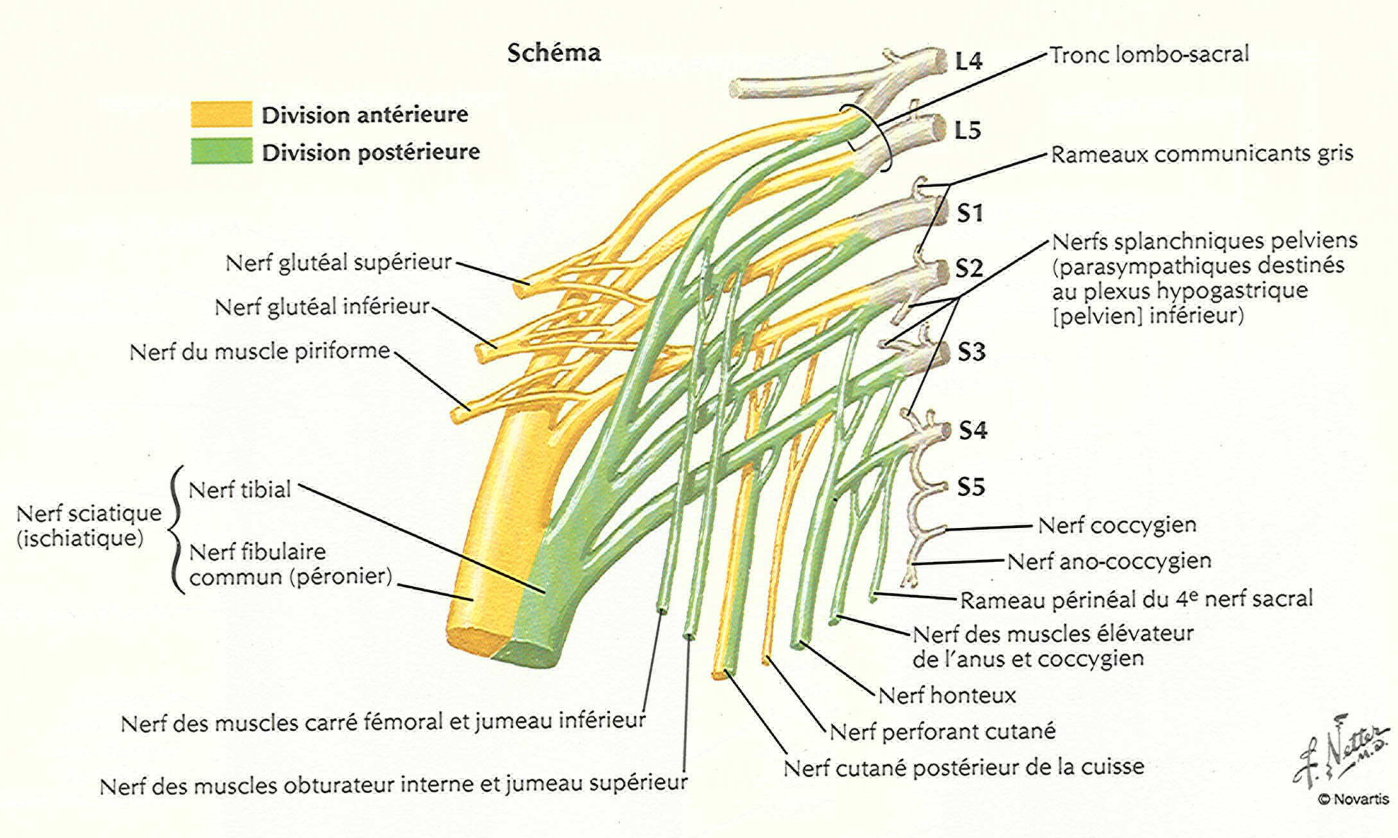
VOIR AUSSI LA PLANCHE 246

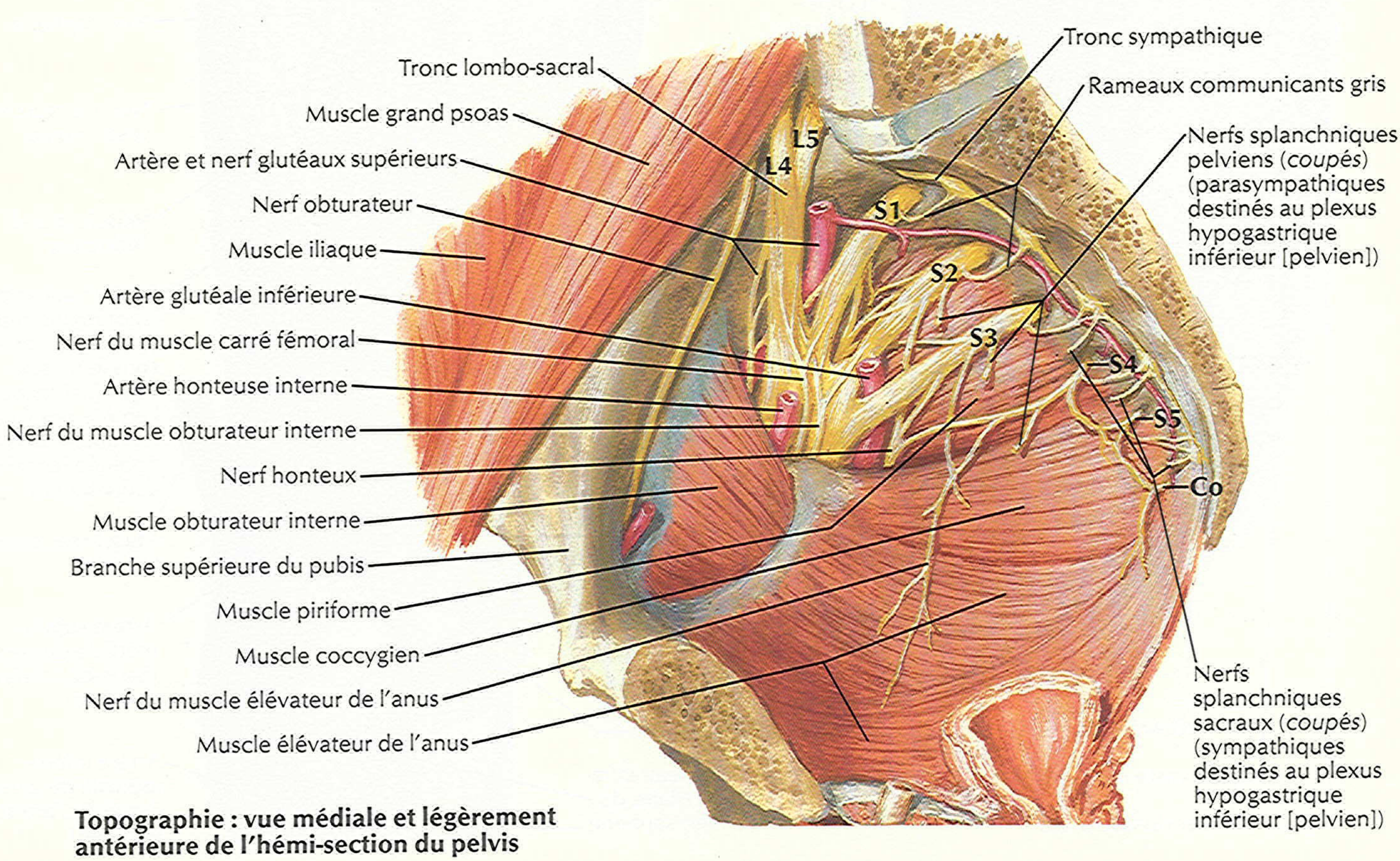




Division antérieure
Division postérieure
Nerf intercostal (T11)
Nerf subcostal (T12)
Nerf ilio-hypogastrique (T12, L1)
Nerf ilio-inguinal (L1)
Vers les muscles grand et petit psoas
Nerf génito-fémoral (L1, L2)
Nerf cutané latéral de la cuisse (L2, L3)
Rameau génital et Rameau fémoral du nerf génito-fémoral
Vers les muscles grand psoas et iliaque
Branches antérieures et Branches latérales des nerfs subcostal et ilio-hypogastrique
Tronc lombo-sacral
Nerf du carré fémoral (et du jumeau inférieur) (L4, L5, S1)
Vers les muscles obturateur interne et jumeau supérieur (L5, S1, S2)
Nerf glutéal supérieur (L4, L5, S1)
Nerf du muscle piriforme (S1, S2)
Nerf obturateur (L2, L3, L4)
Nerf obturateur accessoire (L3, L4) (inconstant)
Nerf glutéal inférieur (L5, S1, S2)
Nerf fémoral (L2, L3, L4)
Nerf sciatique (ischiatique)
Nerf cutané postérieur de la cuisse (S1, S2, S3)
Nerf honteux (S2, S3, S4)
Nerf sciatique (ischiatique)
Nerf fibulaire commun (péronier) (L4, L5, S1, S2)
Nerf tibial (L4, L5, S1, S2, S3)
Nerf cutané postérieur de la cuisse
Nerf périnéal et Rameaux postérieurs scrotaux/labiaux
Nerf dorsal du pénis/clitoris
Nerf anal inférieur (rectal)
Nerf obturateur
Nerfs ano-coccygiens
Rameau périnéal du 4e nerf sacral
Nerf des muscles élévateur de l'anus et coccygien (S3, S4)
Nerf perforant cutané (S2, S3)
Nerfs splanchniques pelviens
Plexus coccygien
Plexus sacral
Plexus lombaire
Tronc sympathique
Rameaux communicants
T12
L1
L2
L3
L4
L5
S1
S2
S3
S4
S5
Co
F. Netter M.D.
© Novartis

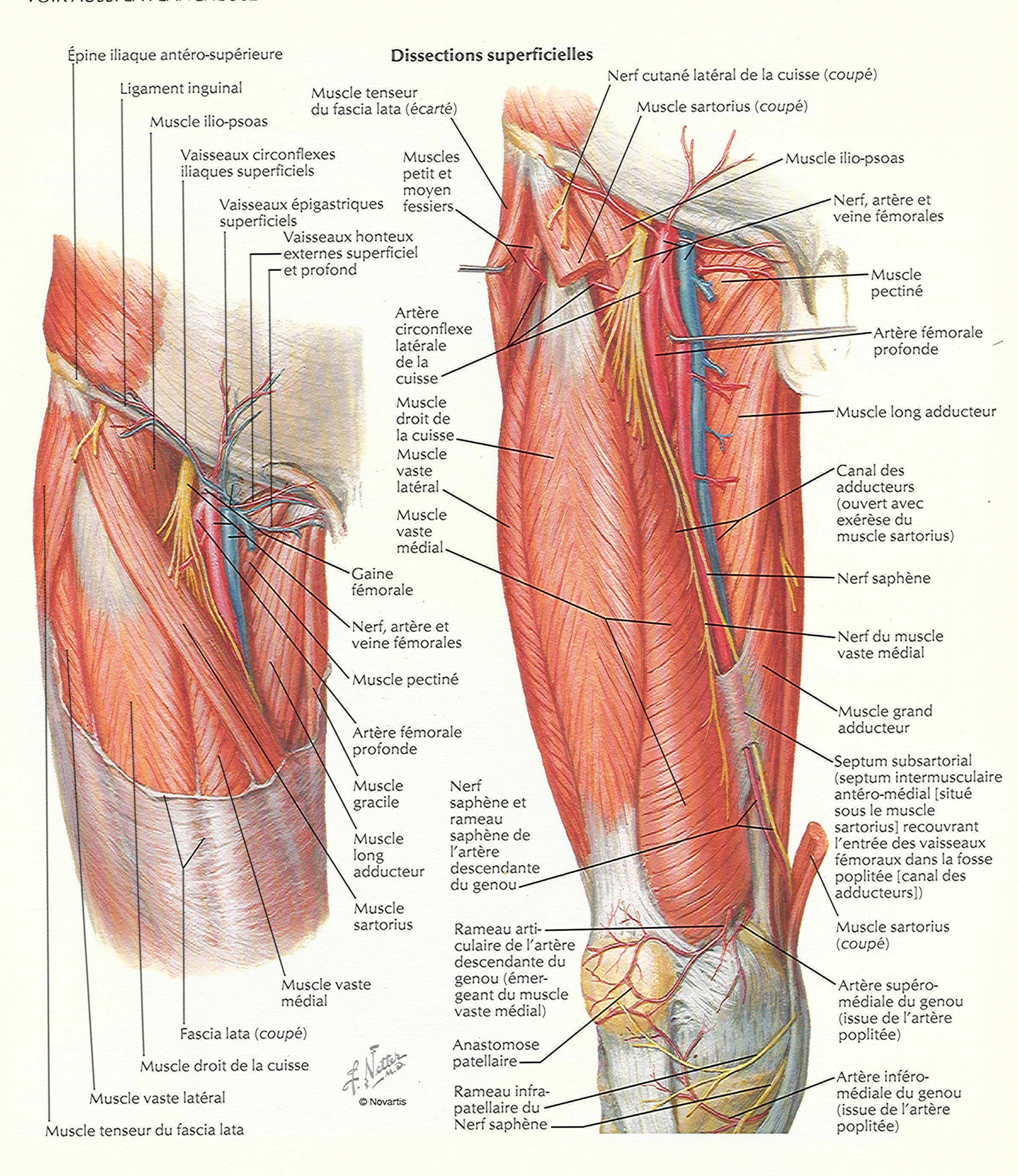

Schéma
Nerf subcostal (T12)
Rameaux communicants blanc et gris
Nerf ilio-hypogastrique
Nerf ilio-inguinal
Nerf génito-fémoral
Nerf cutané latéral de la cuisse
Rameaux communicants gris
Rameaux musculaires pour le psoas et l'iliaque
Nerf fémoral
Nerf obturateur accessoire (souvent absent)
Nerf obturateur
Tronc lombo-sacral
T12
L1
L2
L3
L4
L5
Rameaux ventraux des nerfs spinaux
Division antérieure
Division postérieure
© Novartis
Diaphragme (coupé)
Nerf subcostal (T12)
Tronc sympathique
Nerf ilio-hypogastrique
Nerf ilio-inguinal
Nerf génito-fémoral (coupé)
Nerf cutané latéral de la cuisse
Nerf fémoral
Nerf obturateur
Muscle grand psoas (coupé)
Troncs lombo-sacraux
Ligament inguinal (de Poupart)
L1
L2
L3
L4
Rameaux communicants blancs et gris
Nerf subcostal (T12)
Nerf ilio-hypogastrique
Nerf ilio-inguinal
Muscle transverse de l'abdomen
Muscle carré des lombes
Muscle grand psoas
Rameaux communicants gris
Nerf génito-fémoral
Muscle iliaque
Nerf cutané latéral de la cuisse
Nerf fémoral
Rameau génital et Rameau fémoral du nerf génito-fémoral
Nerf obturateur



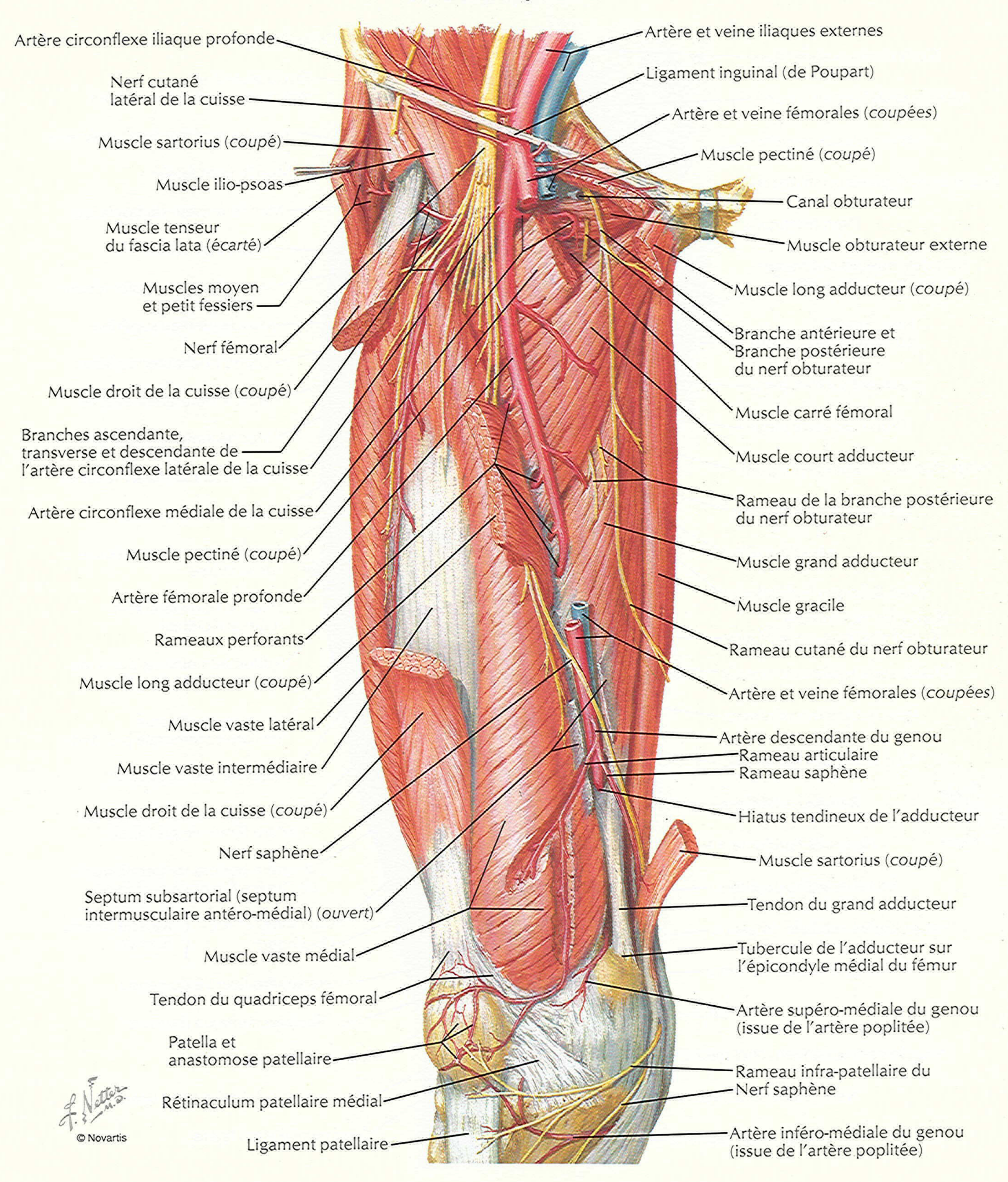


Topographie : vue médiale et légèrement antérieure de l'hémi-section du pelvis

VOIR AUSSI LA PLANCHE 502



VOIR AUSSI LES PLANCHES 502, 503



Artères et nerfs de la cuisse : vue postérieure

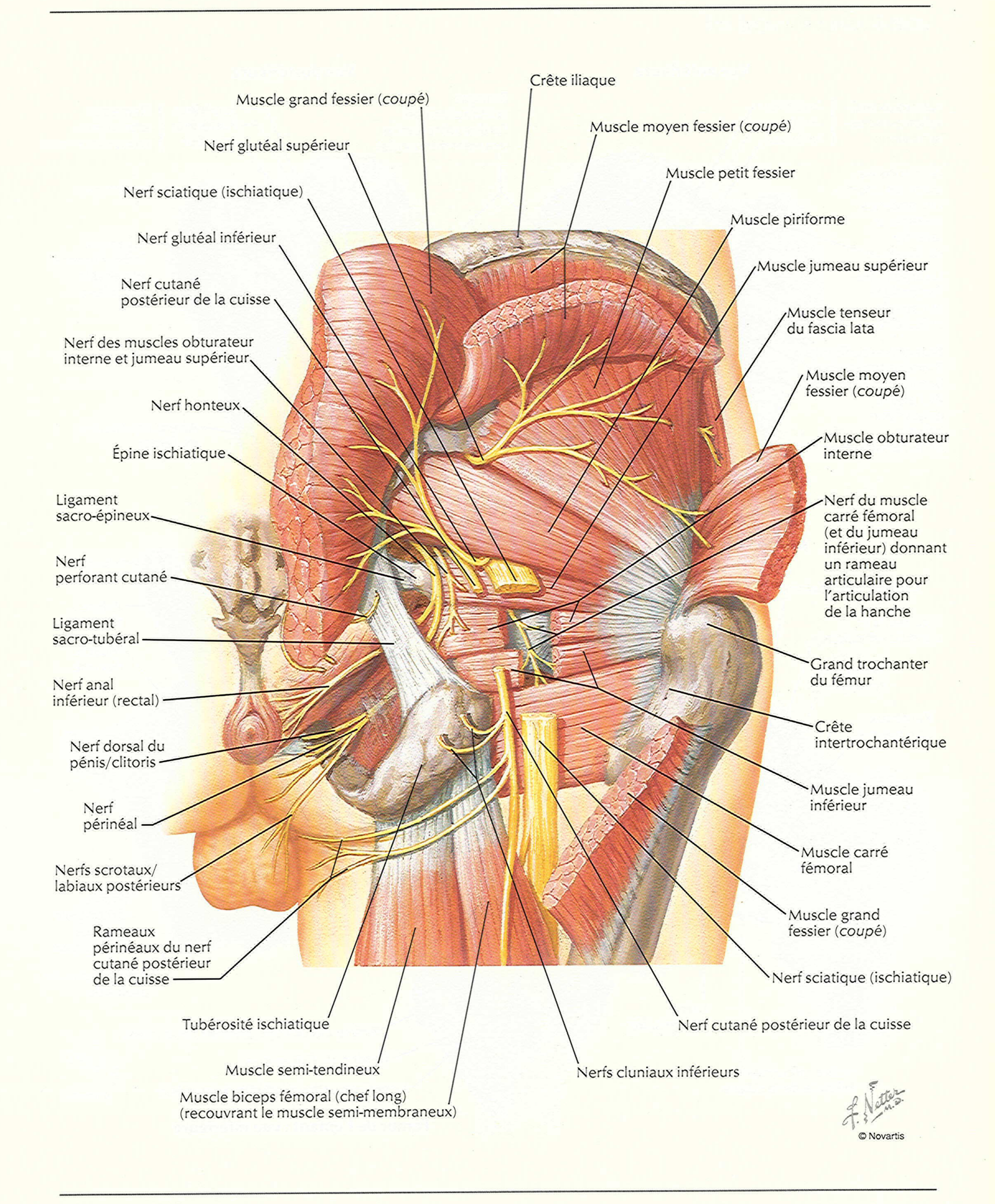
VOIR AUSSI LA PLANCHE 504

Dissection profonde

Nerfs cluniaux supérieurs
Muscle grand fessier (*coupé*)
Nerfs cluniaux moyens
Artère et nerf glutéaux inférieurs
Nerf honteux
Nerf des muscles obturateur interne et jumeau supérieur
Nerf cutané postérieur de la cuisse
Ligament sacro-tubéral
Tubérosité ischiatique
Nerfs cluniaux inférieurs (*coupés*)
Muscle grand adducteur
Muscle gracile
Nerf sciatique (ischiatique)
Rameaux musculaires du nerf sciatique (ischiatique)
Muscle semi-tendineux (*écarté*)
Muscle semi-membraneux
Nerf sciatique (ischiatique)
Rameau articulaire
Hiatus de l'adducteur
Veine et artère poplitées
Artère supéro-médiale du genou
Épicondyle médial du fémur
Nerf tibial
Muscle gastrocnémien (chef médial)
Nerf cutané sural médial
Petite veine saphène

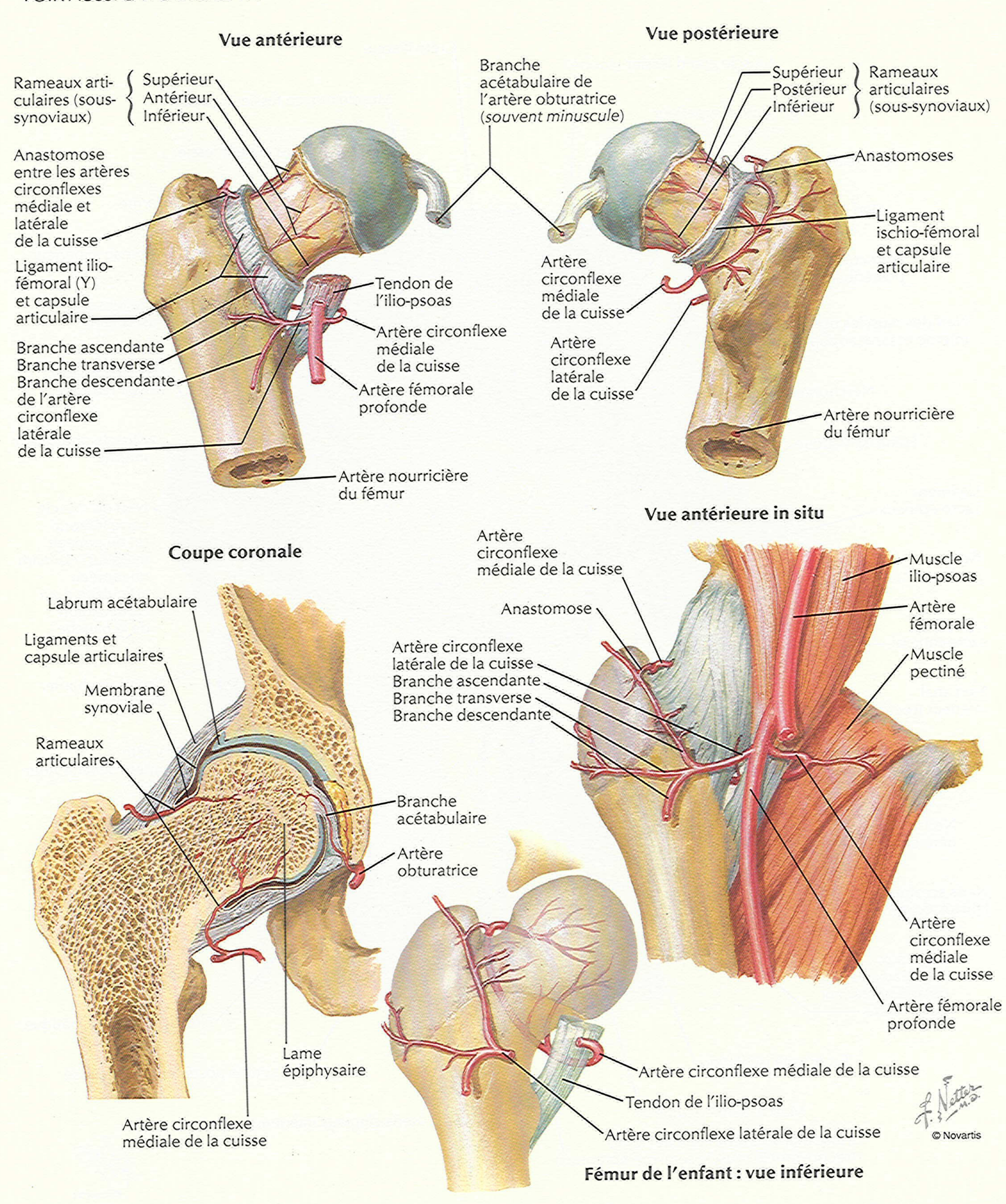
Crête iliaque
Fascia glutéal et muscle moyen fessier (*coupé*)
Artère et nerf glutéaux supérieurs
Muscle petit fessier
Muscle tenseur du fascia lata
Muscle piriforme
Muscle moyen fessier (*coupé*)
Muscle jumeau supérieur
Grand trochanter du fémur
Muscle obturateur interne
Muscle jumeau inférieur
Muscle grand fessier (*coupé*)
Muscle carré fémoral
Artère circonflexe médiale de la cuisse
Muscle vaste latéral et tractus ilio-tibial
Adducteur minime, partie du muscle grand adducteur
1re artère perforante (de l'artère fémorale profonde)
Muscle grand adducteur
2e et 3e artères perforantes (de l'artère fémorale profonde)
4e artère perforante (terminaison de l'artère fémorale profonde)
Chef long (*écarté*) / Chef court } Muscle biceps fémoral
Artère supéro-latérale du genou
Nerf fibulaire commun (péronier)
Muscle plantaire
Muscle gastrocnémien (chef latéral)
Nerf cutané sural latéral

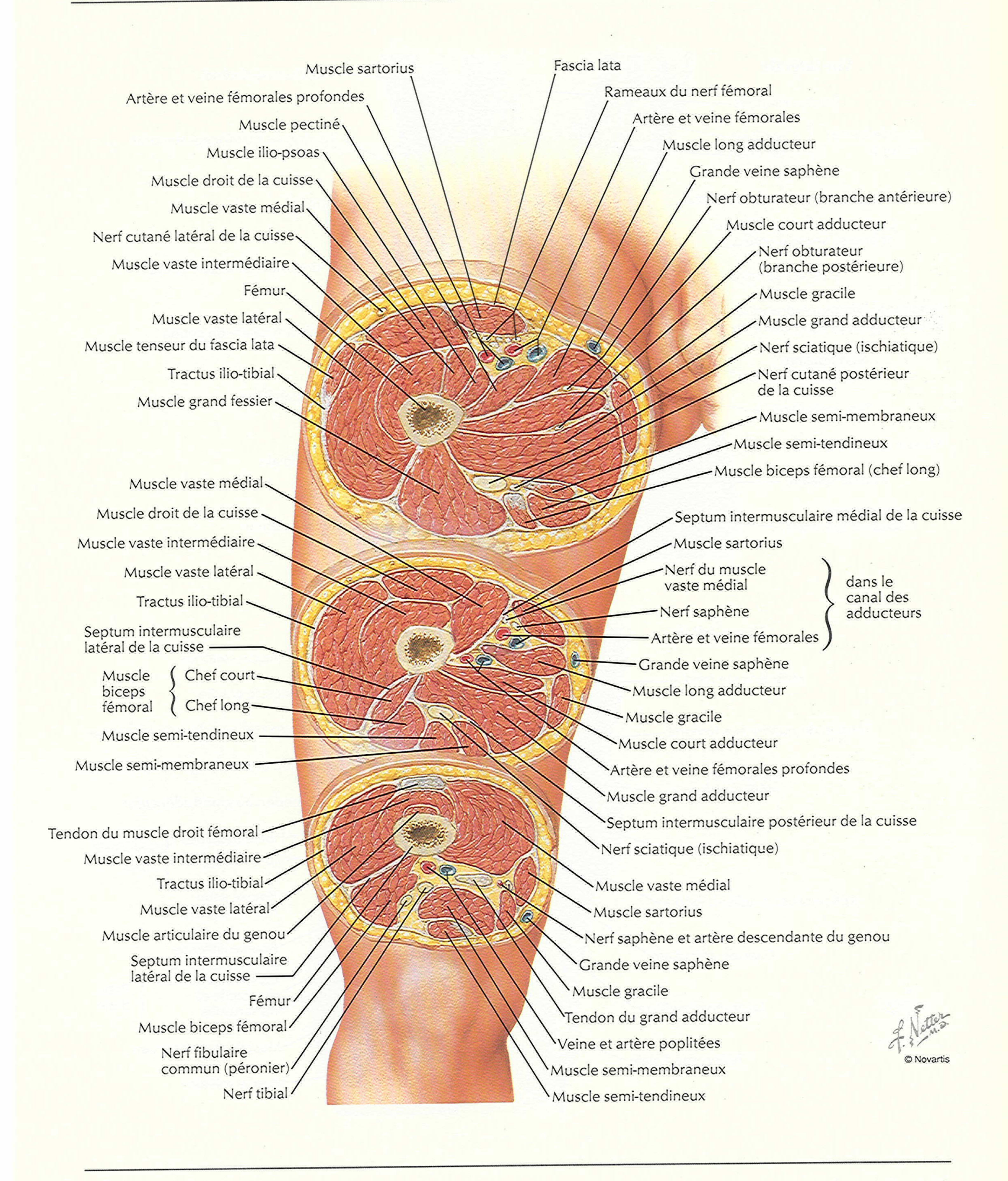
F. Netter M.D.


Crête iliaque
Muscle grand fessier (coupé)
Muscle moyen fessier (coupé)
Nerf glutéal supérieur
Muscle petit fessier
Nerf sciatique (ischiatique)
Muscle piriforme
Nerf glutéal inférieur
Muscle jumeau supérieur
Nerf cutané postérieur de la cuisse
Muscle tenseur du fascia lata
Nerf des muscles obturateur interne et jumeau supérieur
Muscle moyen fessier (coupé)
Nerf honteux
Muscle obturateur interne
Épine ischiatique
Ligament sacro-épineux
Nerf du muscle carré fémoral (et du jumeau inférieur) donnant un rameau articulaire pour l'articulation de la hanche
Nerf perforant cutané
Ligament sacro-tubéral
Grand trochanter du fémur
Nerf anal inférieur (rectal)
Crête intertrochantérique
Nerf dorsal du pénis/clitoris
Muscle jumeau inférieur
Nerf périnéal
Muscle carré fémoral
Nerfs scrotaux/labiaux postérieurs
Muscle grand fessier (coupé)
Rameaux périnéaux du nerf cutané postérieur de la cuisse
Nerf sciatique (ischiatique)
Tubérosité ischiatique
Nerf cutané postérieur de la cuisse
Muscle semi-tendineux
Nerfs cluniaux inférieurs
Muscle biceps fémoral (chef long) (recouvrant le muscle semi-membraneux)
F. Netter M.D.
© Novartis

Artères de la tête et du col du fémur

VOIR AUSSI LA PLANCHE 477



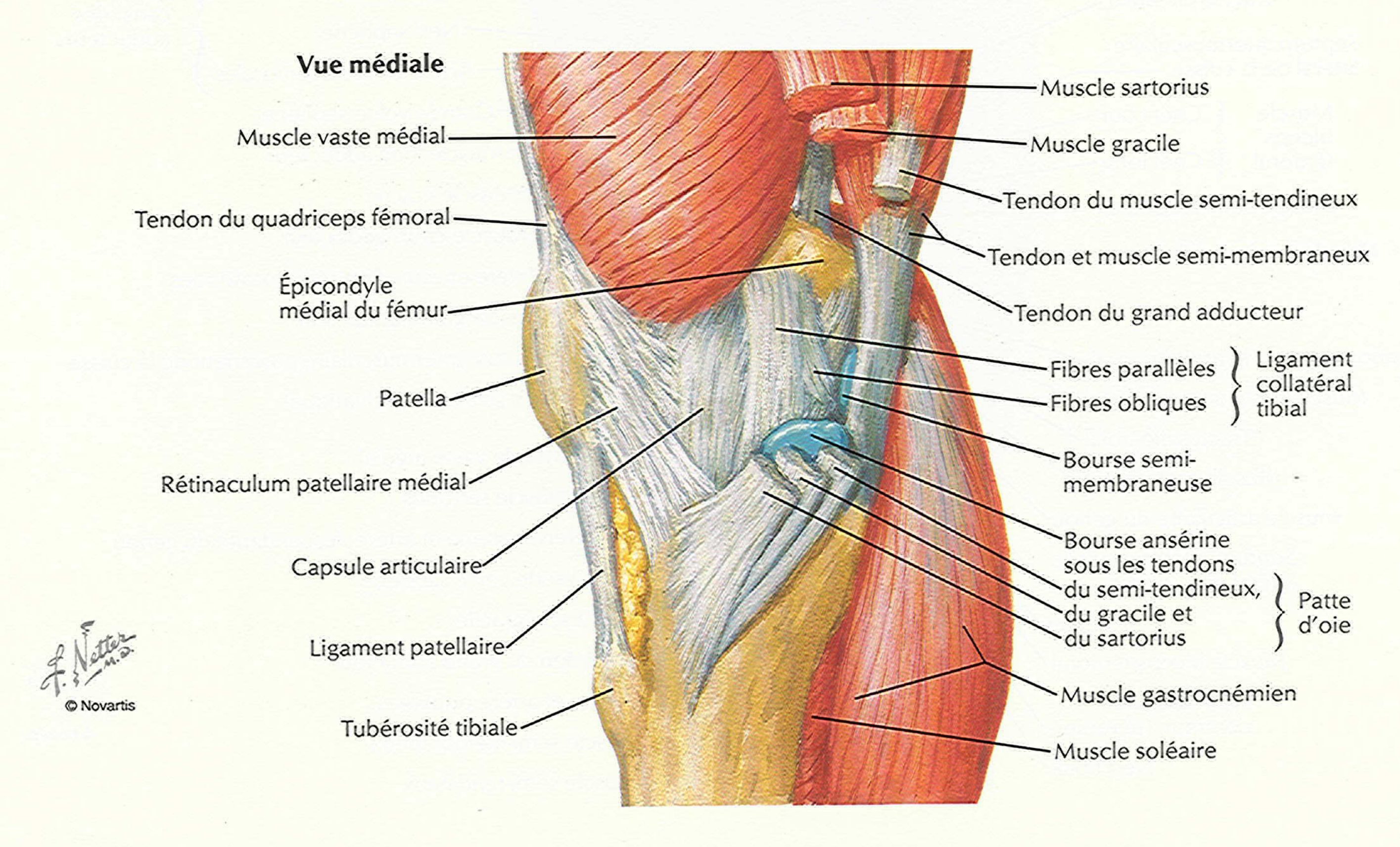

Muscle sartorius
Artère et veine fémorales profondes
Muscle pectiné
Muscle ilio-psoas
Muscle droit de la cuisse
Muscle vaste médial
Nerf cutané latéral de la cuisse
Muscle vaste intermédiaire
Fémur
Muscle vaste latéral
Muscle tenseur du fascia lata
Tractus ilio-tibial
Muscle grand fessier
Fascia lata
Rameaux du nerf fémoral
Artère et veine fémorales
Muscle long adducteur
Grande veine saphène
Nerf obturateur (branche antérieure)
Muscle court adducteur
Nerf obturateur (branche postérieure)
Muscle gracile
Muscle grand adducteur
Nerf sciatique (ischiatique)
Nerf cutané postérieur de la cuisse
Muscle semi-membraneux
Muscle semi-tendineux
Muscle biceps fémoral (chef long)
Muscle vaste médial
Muscle droit de la cuisse
Muscle vaste intermédiaire
Muscle vaste latéral
Tractus ilio-tibial
Septum intermusculaire latéral de la cuisse
Muscle biceps fémoral
Chef court
Chef long
Muscle semi-tendineux
Muscle semi-membraneux
Septum intermusculaire médial de la cuisse
Muscle sartorius
Nerf du muscle vaste médial
Nerf saphène
Artère et veine fémorales
dans le canal des adducteurs
Grande veine saphène
Muscle long adducteur
Muscle gracile
Muscle court adducteur
Artère et veine fémorales profondes
Muscle grand adducteur
Septum intermusculaire postérieur de la cuisse
Nerf sciatique (ischiatique)
Tendon du muscle droit fémoral
Muscle vaste intermédiaire
Tractus ilio-tibial
Muscle vaste latéral
Muscle articulaire du genou
Septum intermusculaire latéral de la cuisse
Fémur
Muscle biceps fémoral
Nerf fibulaire commun (péronier)
Nerf tibial
Muscle vaste médial
Muscle sartorius
Nerf saphène et artère descendante du genou
Grande veine saphène
Muscle gracile
Tendon du grand adducteur
Veine et artère poplitées
Muscle semi-membraneux
Muscle semi-tendineux
F. Netter M.D.
© Novartis

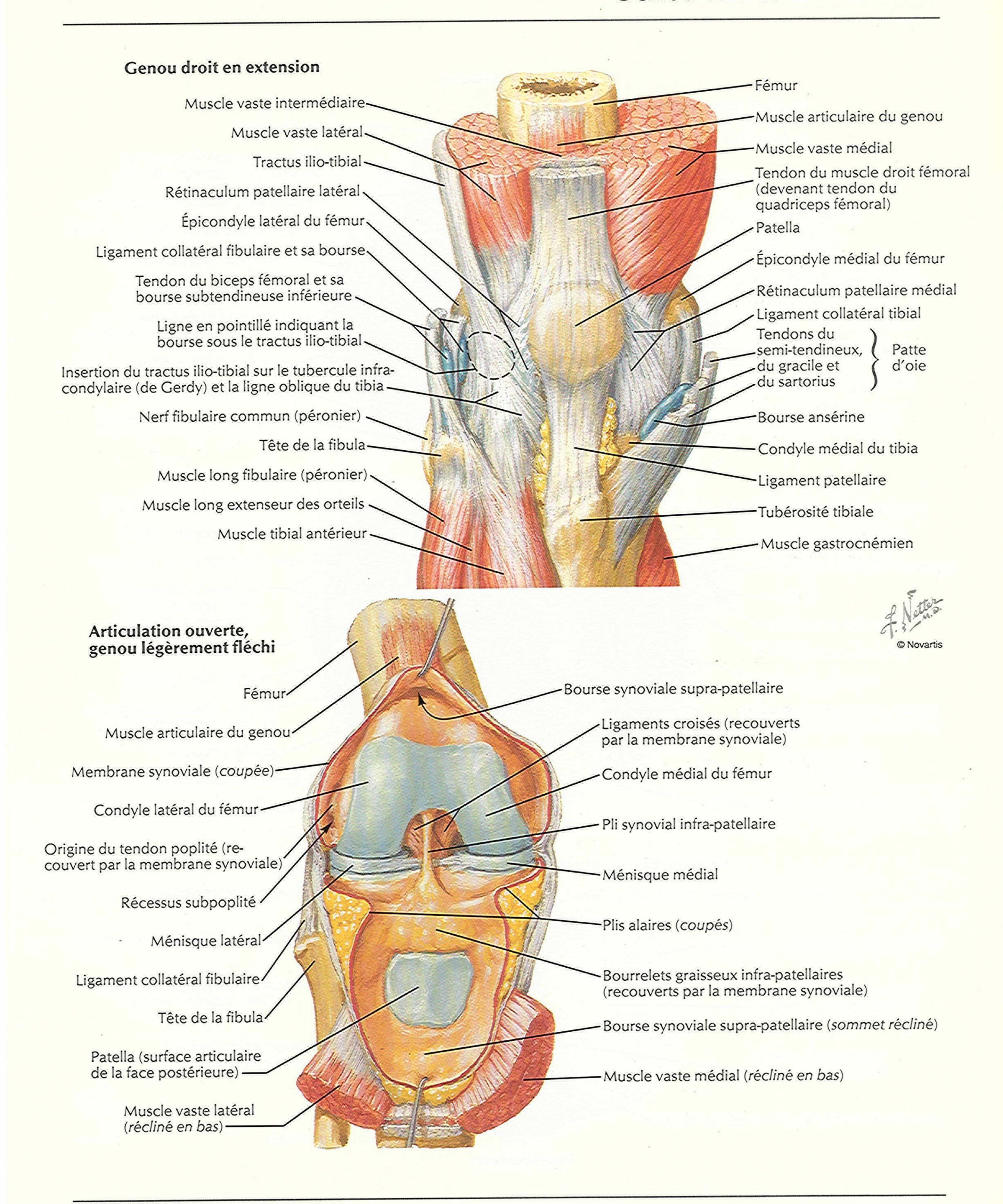
Genou : vues latérale et médiale

Vue latérale

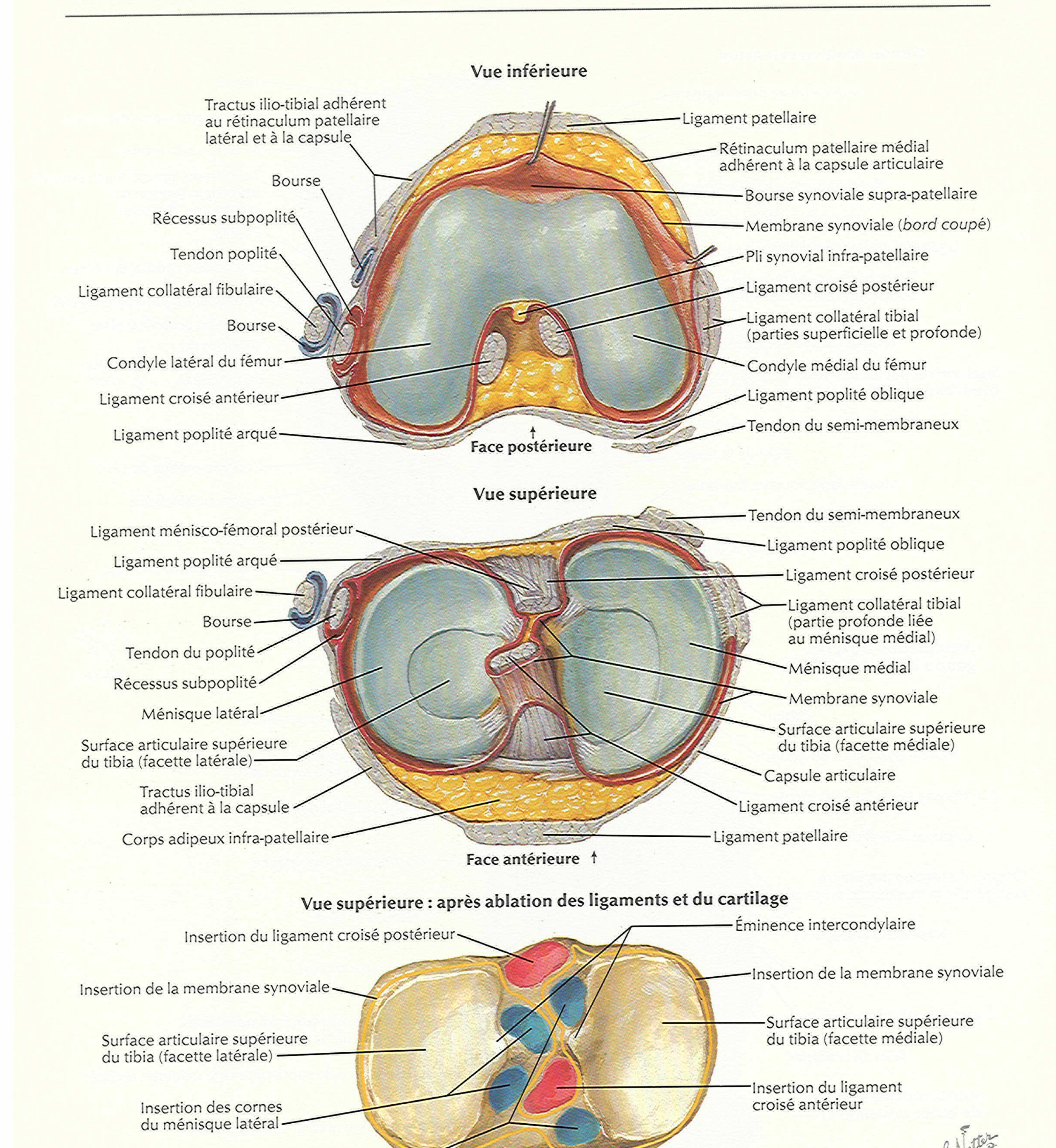
Tractus ilio-tibial
Muscle biceps fémoral — Chef long, Chef court
Bourse sous-jacente au tractus ilio-tibial
Ligament collatéral fibulaire et bourse sous-jacente
Muscle plantaire
Tendon du biceps fémoral et sa bourse subtendineuse inférieure
Nerf fibulaire commun (péronier)
Tête de la fibula
Muscle gastrocnémien
Muscle soléaire
Muscle long fibulaire (péronier)
Muscle vaste latéral
Tendon du quadriceps fémoral
Patella
Rétinaculum patellaire latéral
Capsule articulaire du genou
Ligament patellaire
Tubérosité tibiale
Muscle tibial antérieur

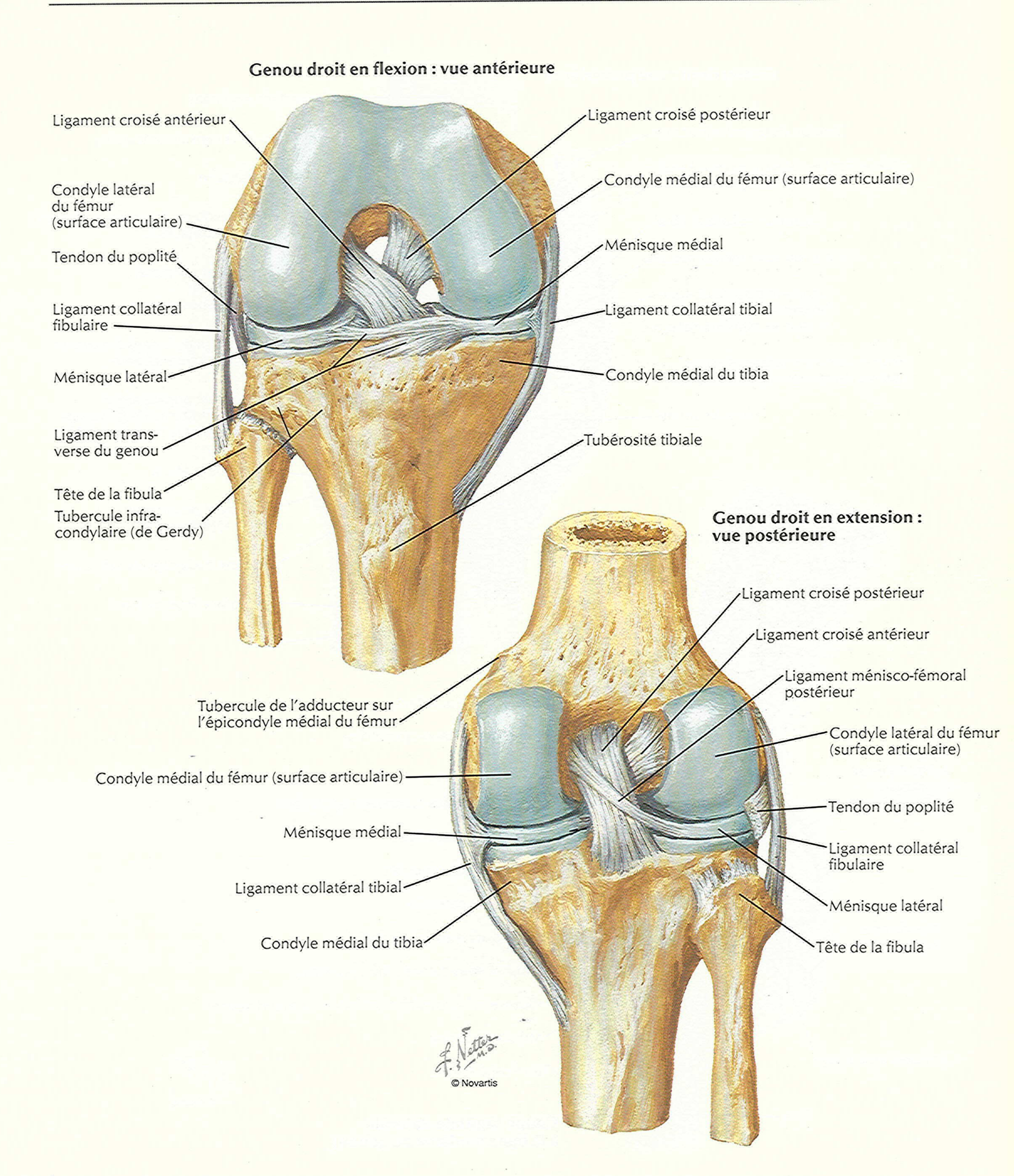
Vue médiale

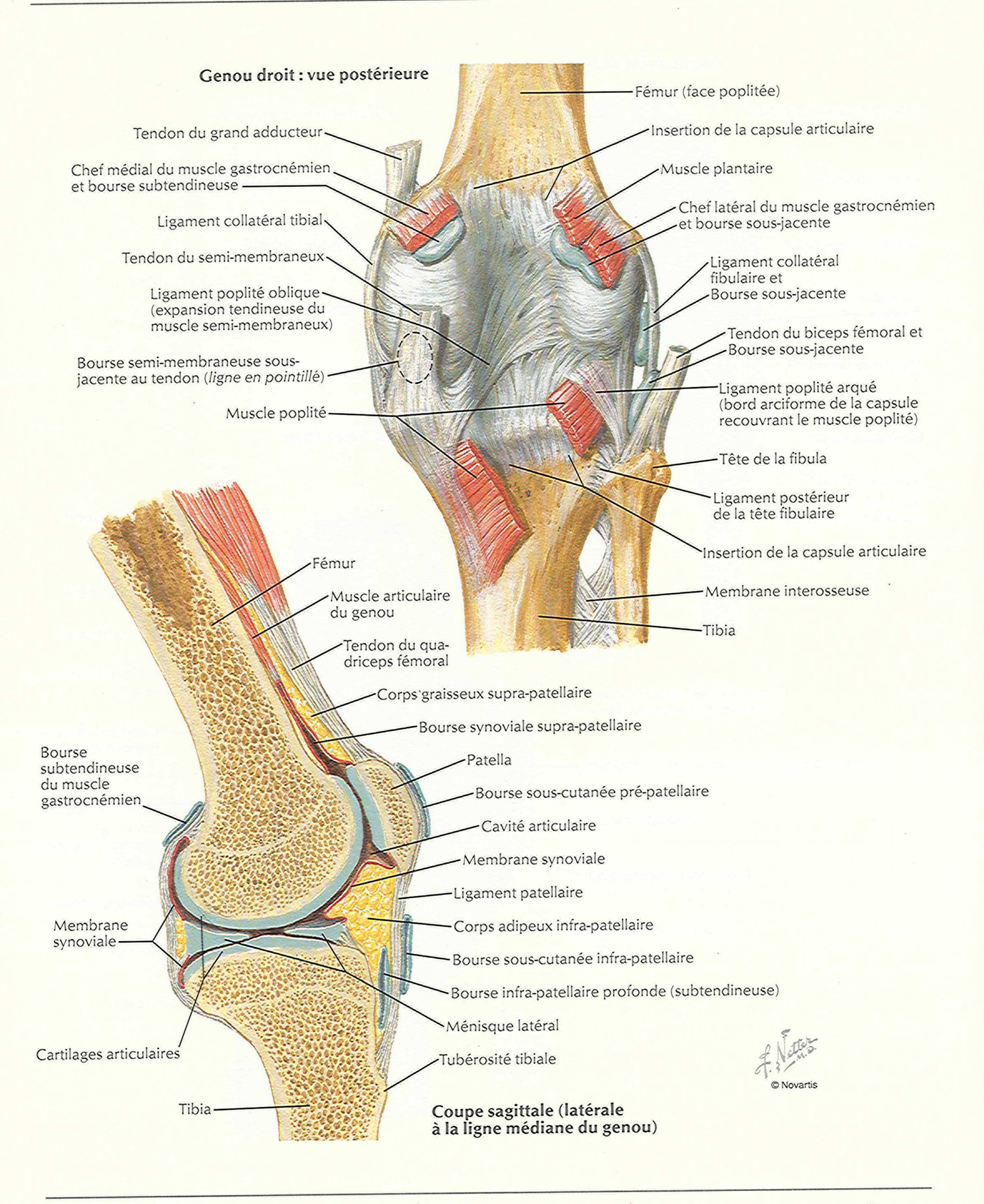


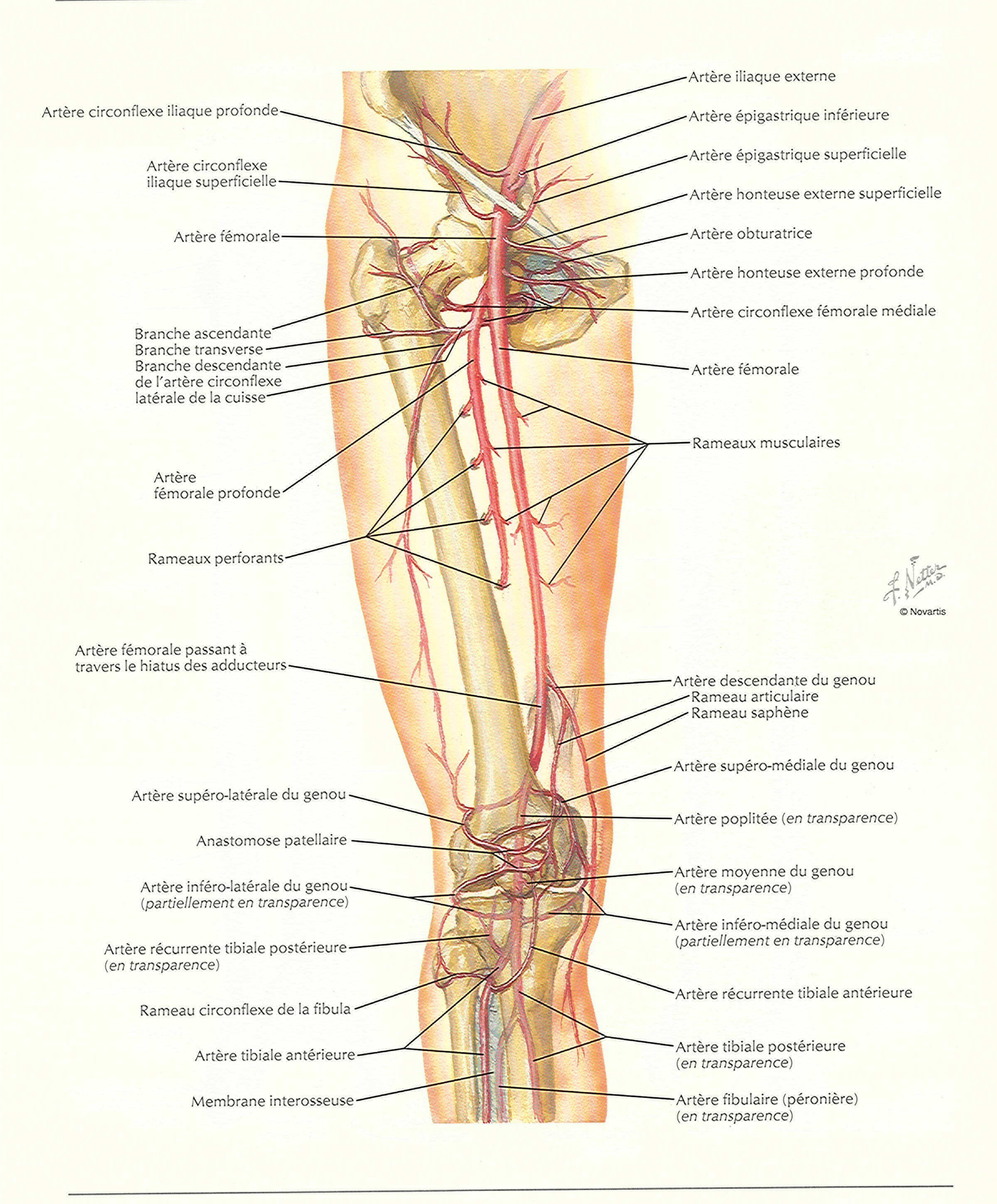

Genou droit en extension
Fémur
Muscle vaste intermédiaire
Muscle articulaire du genou
Muscle vaste latéral
Muscle vaste médial
Tractus ilio-tibial
Tendon du muscle droit fémoral (devenant tendon du quadriceps fémoral)
Rétinaculum patellaire latéral
Patella
Épicondyle latéral du fémur
Épicondyle médial du fémur
Ligament collatéral fibulaire et sa bourse
Rétinaculum patellaire médial
Tendon du biceps fémoral et sa bourse subtendineuse inférieure
Ligament collatéral tibial
Ligne en pointillé indiquant la bourse sous le tractus ilio-tibial
Tendons du semi-tendineux, du gracile et du sartorius
Patte d'oie
Insertion du tractus ilio-tibial sur le tubercule infra-condylaire (de Gerdy) et la ligne oblique du tibia
Nerf fibulaire commun (péronier)
Bourse ansérine
Tête de la fibula
Condyle médial du tibia
Muscle long fibulaire (péronier)
Ligament patellaire
Muscle long extenseur des orteils
Tubérosité tibiale
Muscle tibial antérieur
Muscle gastrocnémien
© Novartis
Articulation ouverte, genou légèrement fléchi
Fémur
Bourse synoviale supra-patellaire
Muscle articulaire du genou
Ligaments croisés (recouverts par la membrane synoviale)
Membrane synoviale (coupée)
Condyle médial du fémur
Condyle latéral du fémur
Pli synovial infra-patellaire
Origine du tendon poplité (recouvert par la membrane synoviale)
Ménisque médial
Récessus subpoplité
Plis alaires (coupés)
Ménisque latéral
Bourrelets graisseux infra-patellaires (recouverts par la membrane synoviale)
Ligament collatéral fibulaire
Tête de la fibula
Bourse synoviale supra-patellaire (sommet récliné)
Patella (surface articulaire de la face postérieure)
Muscle vaste médial (récliné en bas)
Muscle vaste latéral (récliné en bas)

Genou : intérieur

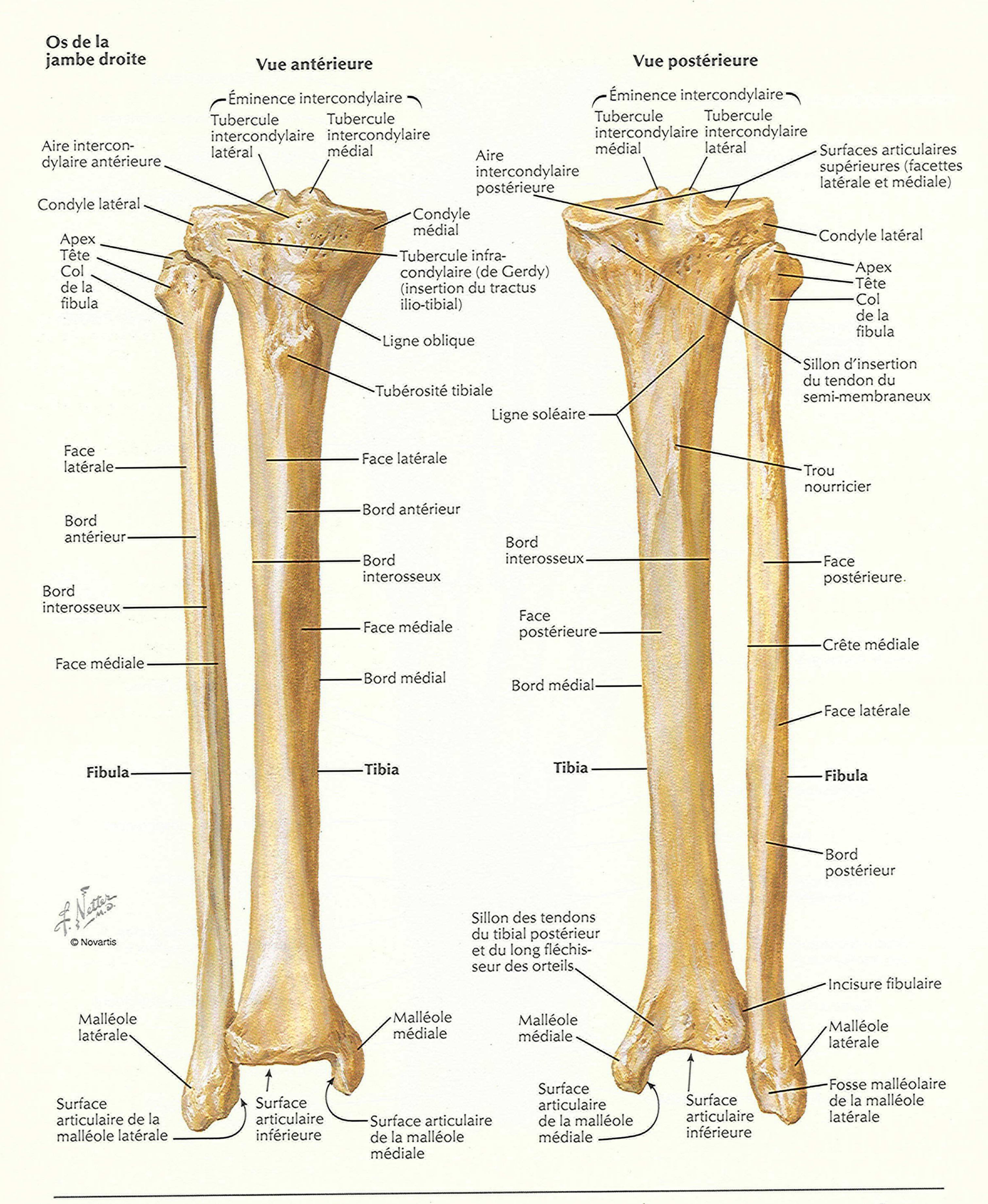


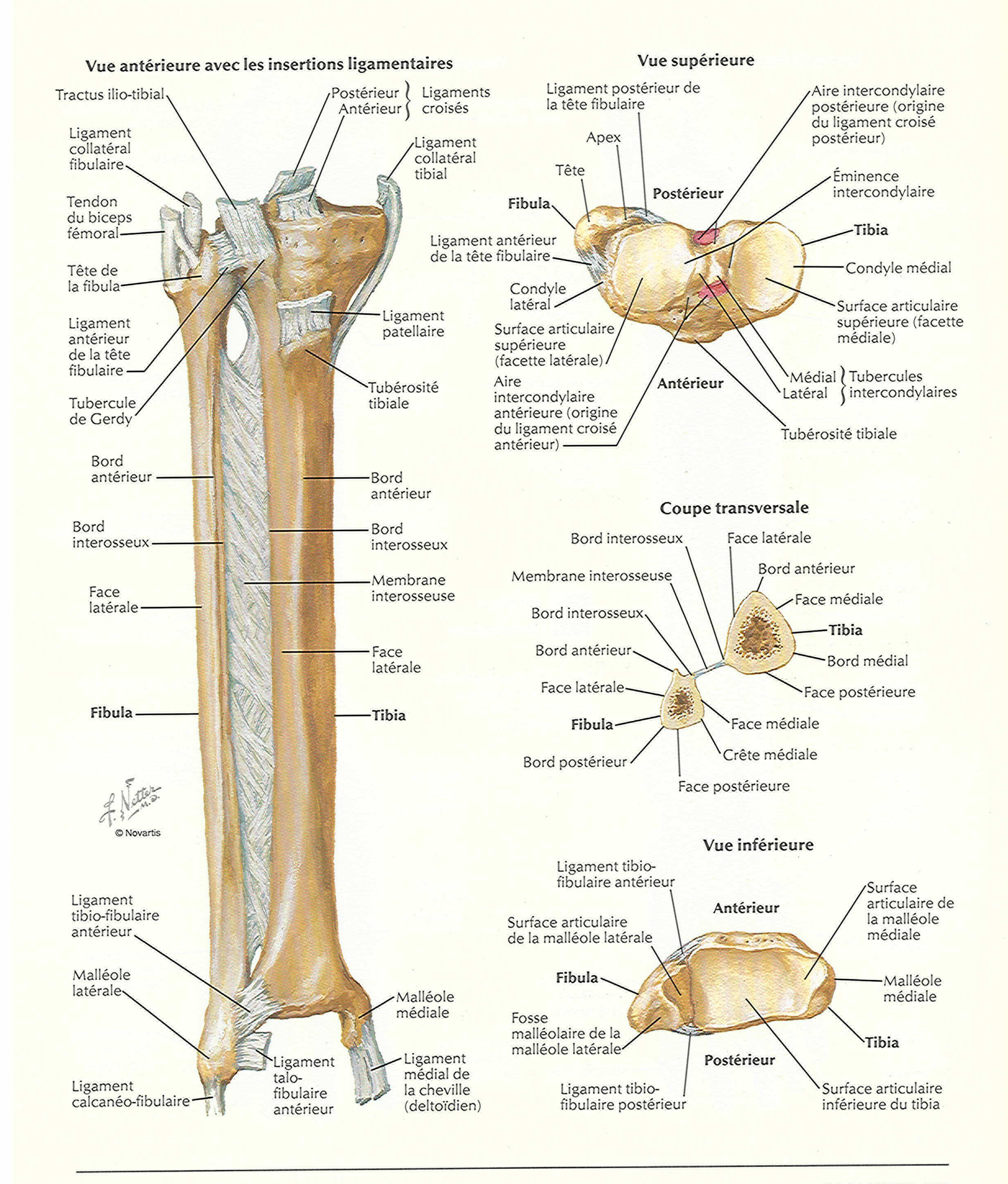

Genou droit en flexion : vue antérieure
Ligament croisé antérieur
Ligament croisé postérieur
Condyle latéral du fémur (surface articulaire)
Condyle médial du fémur (surface articulaire)
Tendon du poplité
Ménisque médial
Ligament collatéral fibulaire
Ligament collatéral tibial
Ménisque latéral
Condyle médial du tibia
Ligament transverse du genou
Tubérosité tibiale
Tête de la fibula
Tubercule infracondylaire (de Gerdy)
Genou droit en extension : vue postérieure
Ligament croisé postérieur
Ligament croisé antérieur
Ligament ménisco-fémoral postérieur
Tubercule de l'adducteur sur l'épicondyle médial du fémur
Condyle latéral du fémur (surface articulaire)
Condyle médial du fémur (surface articulaire)
Tendon du poplité
Ménisque médial
Ligament collatéral fibulaire
Ligament collatéral tibial
Ménisque latéral
Condyle médial du tibia
Tête de la fibula
F. Netter M.D.
© Novartis


Genou droit : vue postérieure
Fémur (face poplitée)
Tendon du grand adducteur
Insertion de la capsule articulaire
Chef médial du muscle gastrocnémien et bourse subtendineuse
Muscle plantaire
Chef latéral du muscle gastrocnémien et bourse sous-jacente
Ligament collatéral tibial
Tendon du semi-membraneux
Ligament collatéral fibulaire et Bourse sous-jacente
Ligament poplité oblique (expansion tendineuse du muscle semi-membraneux)
Tendon du biceps fémoral et Bourse sous-jacente
Bourse semi-membraneuse sous-jacente au tendon (ligne en pointillé)
Ligament poplité arqué (bord arciforme de la capsule recouvrant le muscle poplité)
Muscle poplité
Tête de la fibula
Ligament postérieur de la tête fibulaire
Insertion de la capsule articulaire
Membrane interosseuse
Tibia
Fémur
Muscle articulaire du genou
Tendon du quadriceps fémoral
Corps graisseux supra-patellaire
Bourse synoviale supra-patellaire
Patella
Bourse subtendineuse du muscle gastrocnémien
Bourse sous-cutanée pré-patellaire
Cavité articulaire
Membrane synoviale
Ligament patellaire
Corps adipeux infra-patellaire
Membrane synoviale
Bourse sous-cutanée infra-patellaire
Bourse infra-patellaire profonde (subtendineuse)
Ménisque latéral
Cartilages articulaires
Tubérosité tibiale
Tibia
Coupe sagittale (latérale à la ligne médiane du genou)
F. Netter M.D.
© Novartis

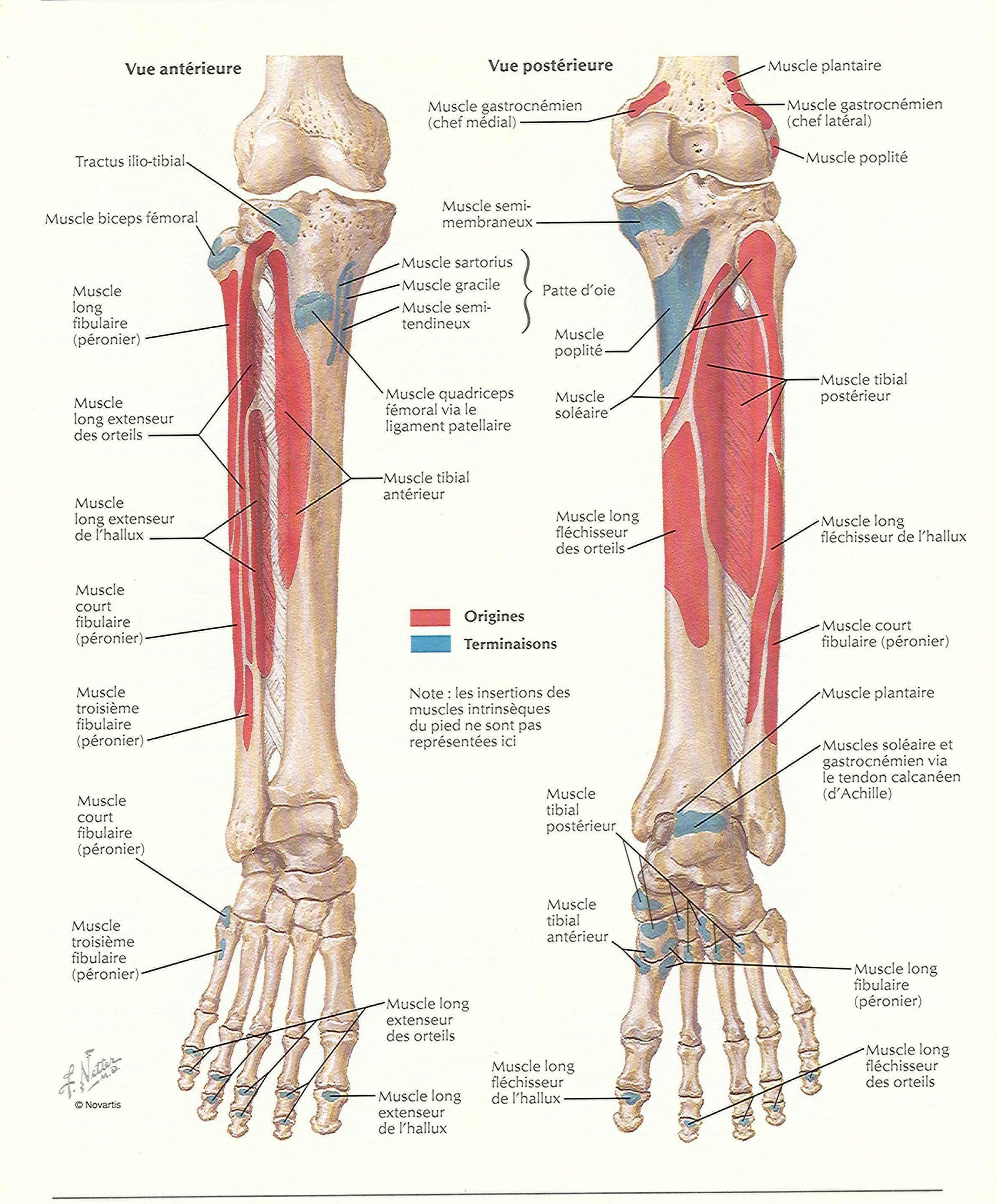

Artère iliaque externe
Artère circonflexe iliaque profonde
Artère épigastrique inférieure
Artère épigastrique superficielle
Artère circonflexe iliaque superficielle
Artère honteuse externe superficielle
Artère fémorale
Artère obturatrice
Artère honteuse externe profonde
Artère circonflexe fémorale médiale
Branche ascendante
Branche transverse
Branche descendante
de l'artère circonflexe
latérale de la cuisse
Artère fémorale
Rameaux musculaires
Artère fémorale profonde
Rameaux perforants
Artère fémorale passant à travers le hiatus des adducteurs
Artère descendante du genou
Rameau articulaire
Rameau saphène
Artère supéro-médiale du genou
Artère supéro-latérale du genou
Artère poplitée (en transparence)
Anastomose patellaire
Artère moyenne du genou (en transparence)
Artère inféro-latérale du genou (partiellement en transparence)
Artère inféro-médiale du genou (partiellement en transparence)
Artère récurrente tibiale postérieure (en transparence)
Artère récurrente tibiale antérieure
Rameau circonflexe de la fibula
Artère tibiale antérieure
Artère tibiale postérieure (en transparence)
Membrane interosseuse
Artère fibulaire (péronière) (en transparence)
F. Netter M.D.
© Novartis

Tibia et fibula

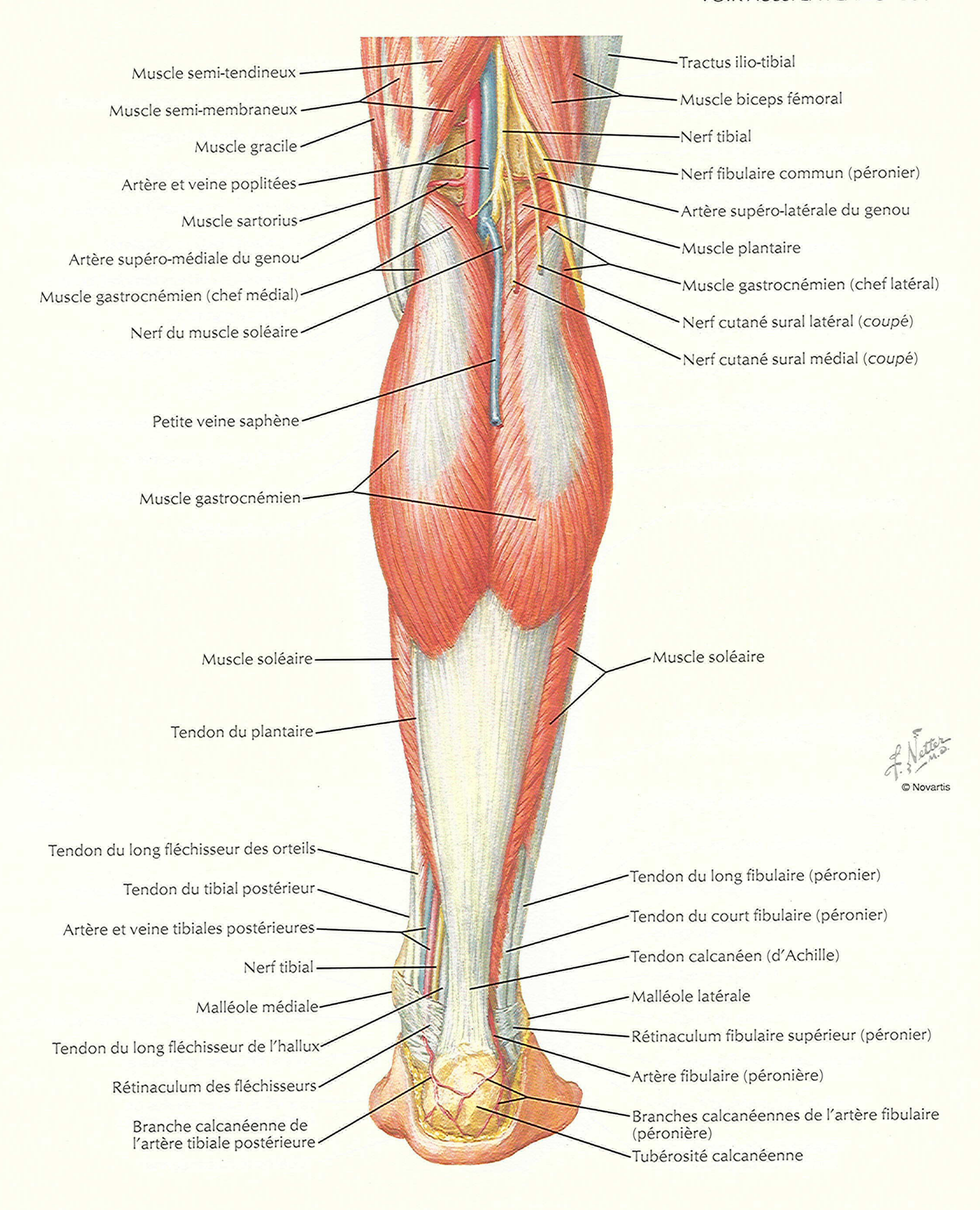



Vue antérieure avec les insertions ligamentaires
Tractus ilio-tibial
Postérieur
Antérieur
Ligaments croisés
Ligament collatéral fibulaire
Ligament collatéral tibial
Tendon du biceps fémoral
Tête de la fibula
Ligament patellaire
Ligament antérieur de la tête fibulaire
Tubérosité tibiale
Tubercule de Gerdy
Bord antérieur
Bord antérieur
Bord interosseux
Bord interosseux
Membrane interosseuse
Face latérale
Face latérale
Fibula
Tibia
© Novartis
Ligament tibio-fibulaire antérieur
Malléole latérale
Malléole médiale
Ligament talo-fibulaire antérieur
Ligament médial de la cheville (deltoïdien)
Ligament calcanéo-fibulaire
Vue supérieure
Ligament postérieur de la tête fibulaire
Aire intercondylaire postérieure (origine du ligament croisé postérieur)
Apex
Tête
Postérieur
Éminence intercondylaire
Fibula
Tibia
Ligament antérieur de la tête fibulaire
Condyle médial
Condyle latéral
Surface articulaire supérieure (facette médiale)
Surface articulaire supérieure (facette latérale)
Médial
Latéral
Tubercules intercondylaires
Aire intercondylaire antérieure (origine du ligament croisé antérieur)
Antérieur
Tubérosité tibiale
Coupe transversale
Bord interosseux
Face latérale
Bord antérieur
Membrane interosseuse
Face médiale
Bord interosseux
Tibia
Bord antérieur
Bord médial
Face latérale
Face postérieure
Fibula
Face médiale
Bord postérieur
Crête médiale
Face postérieure
Vue inférieure
Ligament tibio-fibulaire antérieur
Antérieur
Surface articulaire de la malléole médiale
Surface articulaire de la malléole latérale
Fibula
Malléole médiale
Fosse malléolaire de la malléole latérale
Tibia
Postérieur
Ligament tibio-fibulaire postérieur
Surface articulaire inférieure du tibia

Insertions des muscles de la jambe

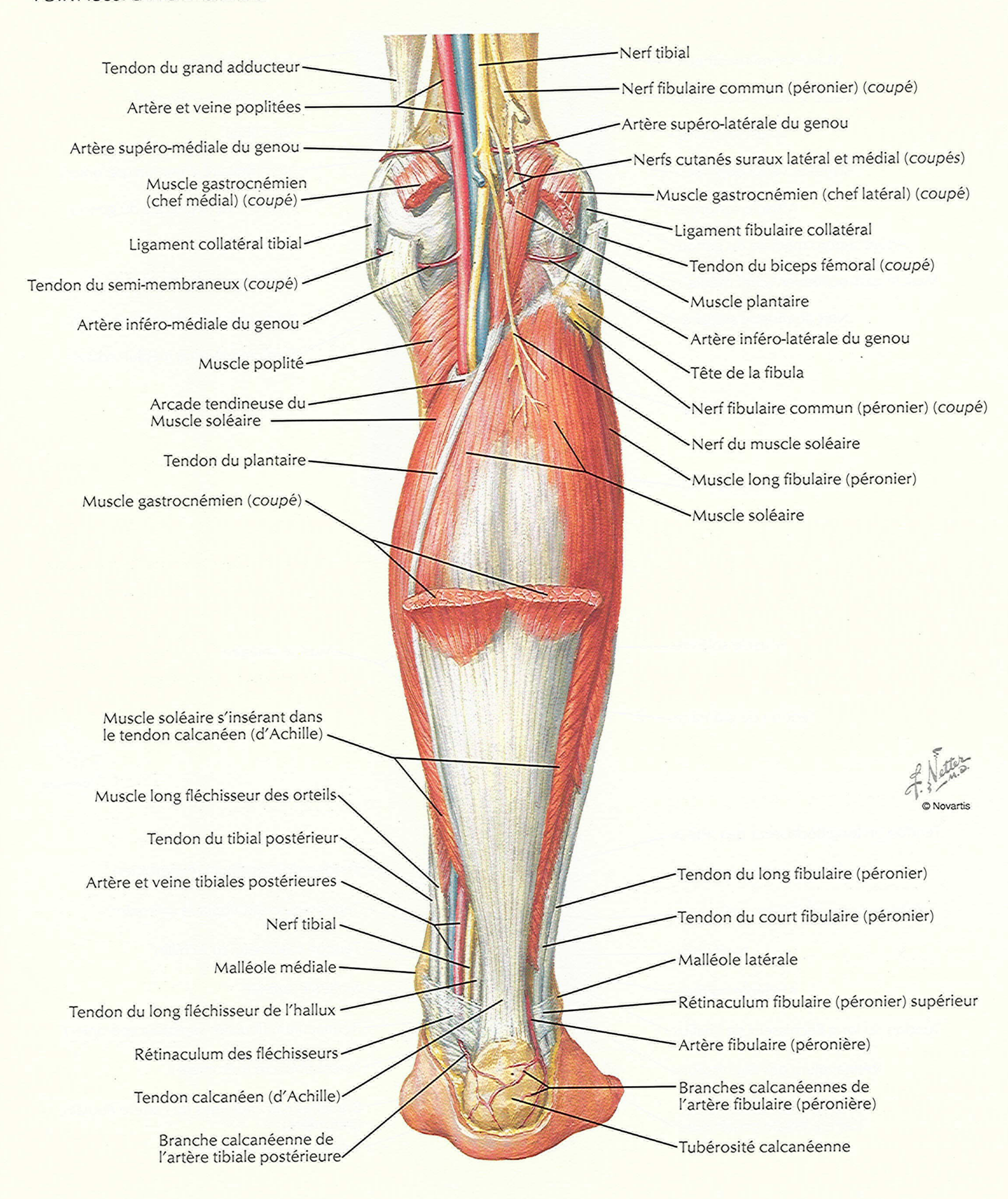


VOIR AUSSI LA PLANCHE 504



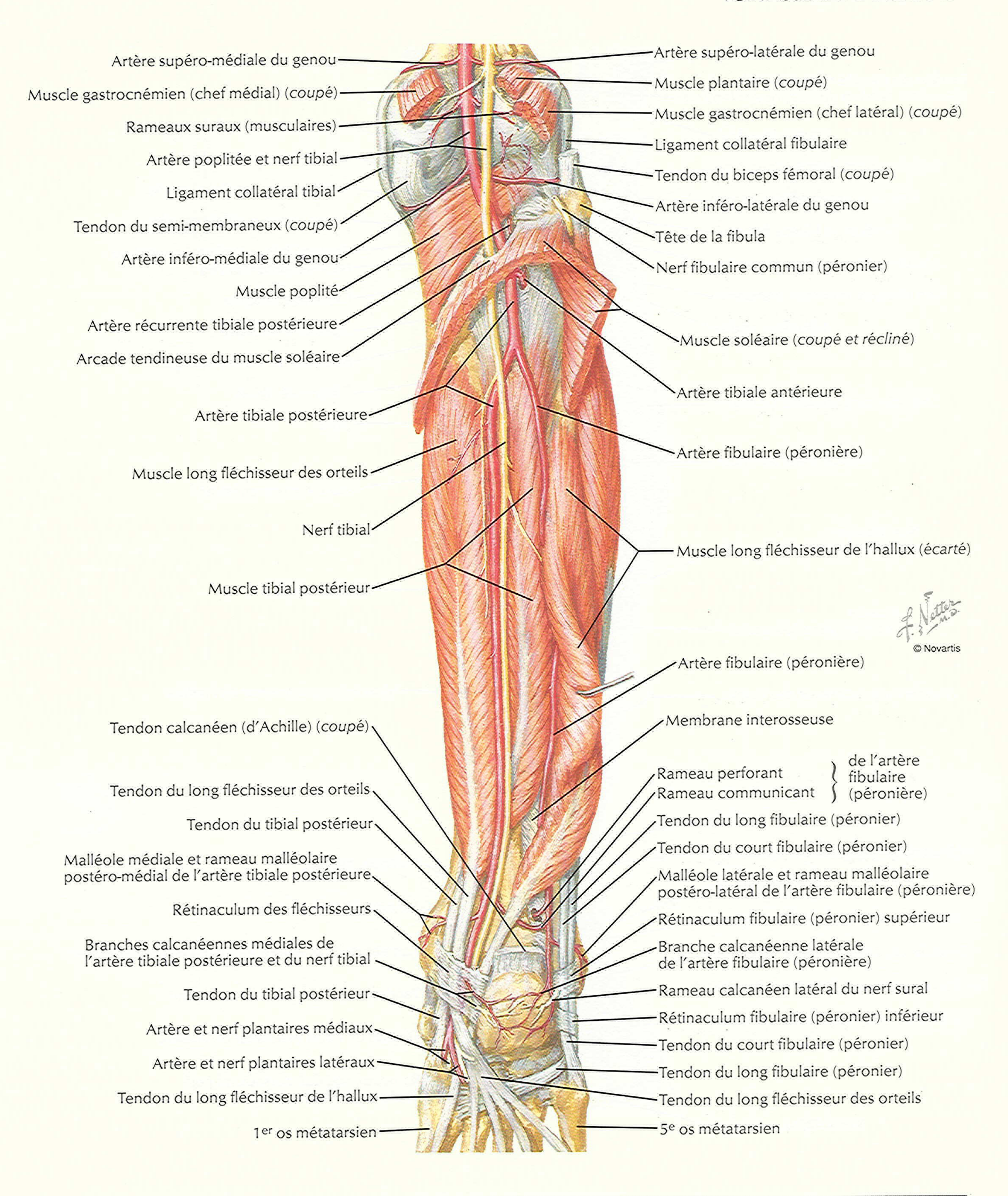
Muscles de la jambe (dissection intermédiaire) : vue postérieure

VOIR AUSSI LA PLANCHE 505



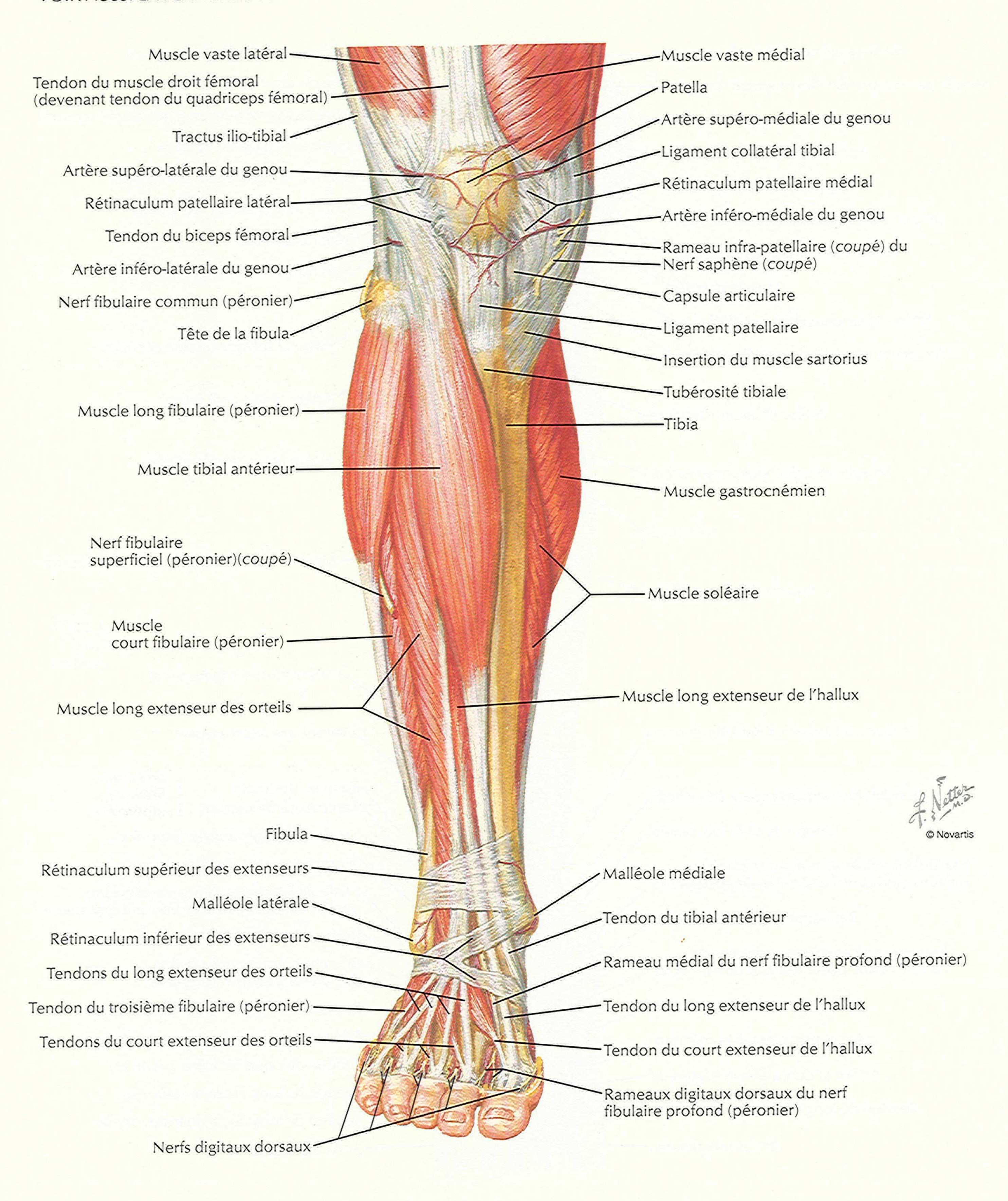
Muscles de la jambe (dissection profonde) : vue postérieure

VOIR AUSSI LA PLANCHE 505



Muscles de la jambe (dissection superficielle) : vue antérieure

VOIR AUSSI LA PLANCHE 506



Muscles de la jambe (dissection profonde) : vue antérieure

VOIR AUSSI LA PLANCHE 506

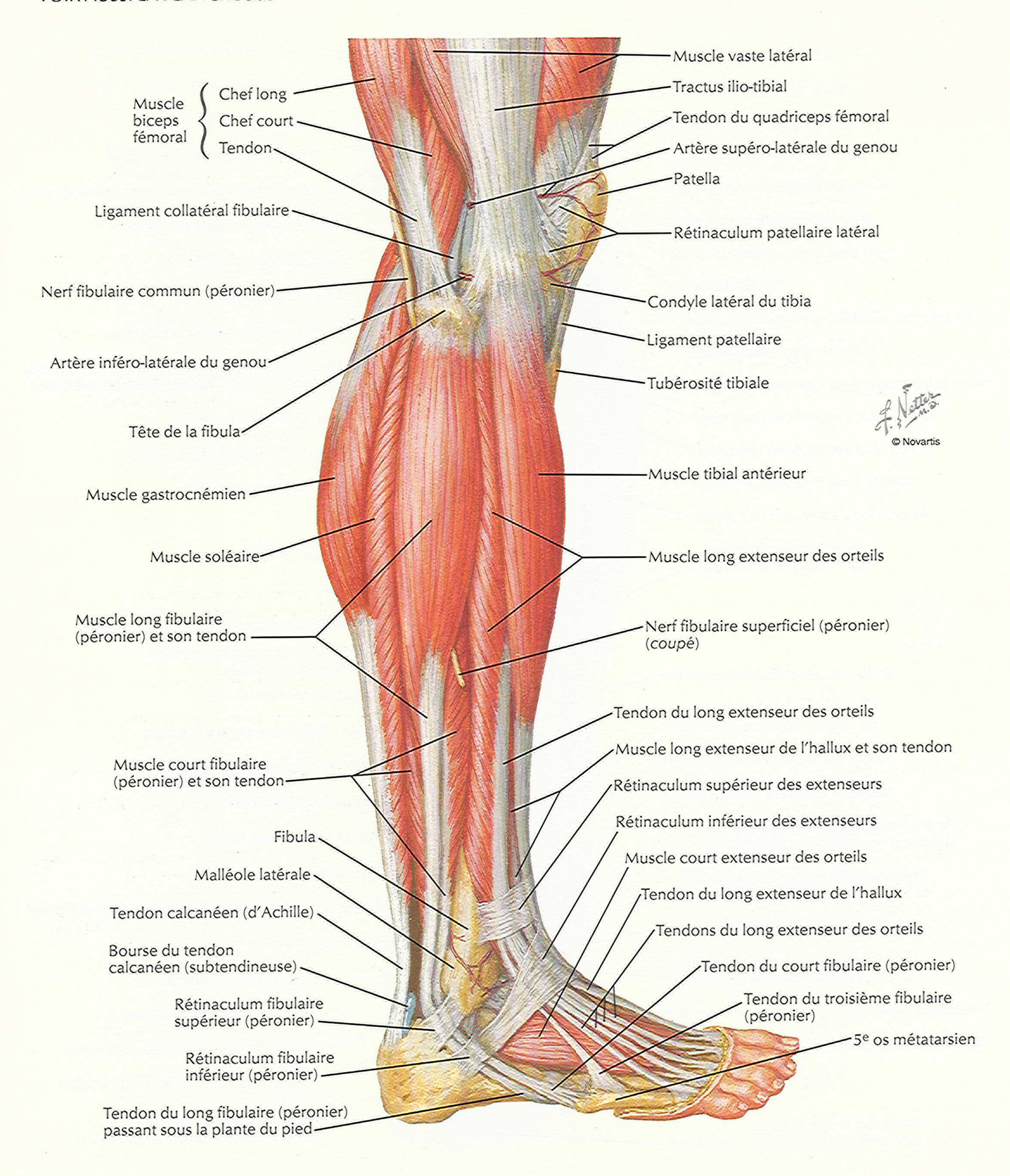
Artère supéro-latérale du genou
Ligament collatéral fibulaire
Rétinaculum patellaire latéral
Tractus ilio-tibial (*coupé*)
Tendon du biceps fémoral (*coupé*)
Artère inféro-latérale du genou
Nerf fibulaire commun (péronier)
Tête de la fibula
Muscle long fibulaire (péronier) (*coupé*)
Artère tibiale antérieure
Muscle long extenseur des orteils (*coupé*)
Nerf fibulaire superficiel (péronier)
Nerf fibulaire profond (péronier)
Muscle long fibulaire (péronier)
Muscle long extenseur des orteils
Muscle court fibulaire (péronier) et son tendon

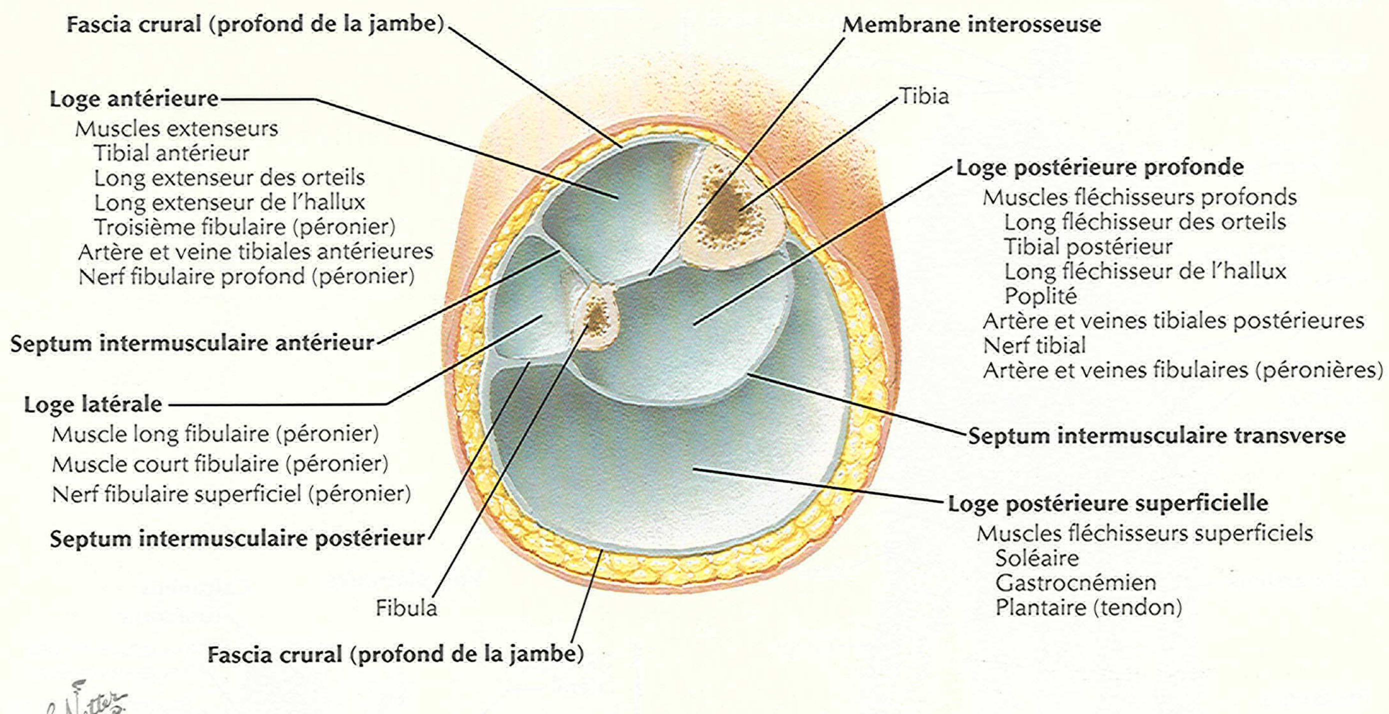
Tendon du long fibulaire (péronier)
Branche perforante de l'artère fibulaire (péronière)
Artère malléolaire antéro-latérale
Malléole latérale et plexus artériel
Artère tarsale latérale et rameau latéral du nerf fibulaire profond (péronier)
Muscles court extenseur des orteils et court extenseur de l'hallux (*coupés*)
Tendon du court fibulaire (péronier)
Rameaux perforants postérieurs de l'arcade plantaire profonde
Tendons du long extenseur des orteils (*coupés*)
Tendon du court extenseur des orteils (*coupé*)
Artères digitales dorsales
Rameaux des artères et des nerfs digitaux propres plantaires

Artère supéro-médiale du genou
Tendon du quadriceps fémoral
Ligament collatéral tibial
Rétinaculum patellaire médial
Rameau infra-patellaire du nerf saphène (*coupé*)
Artère inféro-médiale du genou
Nerf saphène (*coupé*)
Ligament patellaire
Insertion du tendon du sartorius
Artère récurrente tibiale antérieure et rameau récurrent du nerf fibulaire profond (péronier)
Membrane interosseuse
Muscle tibial antérieur (*coupé*)
Muscle gastrocnémien
Muscle soléaire
Tibia
Nerf fibulaire superficiel (péronier) (*coupé*)
Muscle long extenseur de l'hallux et son tendon (*coupé*)
Membrane interosseuse
Artère malléolaire antéro-médiale
Malléole médiale et plexus artériel
Artère dorsale du pied
Tendon du tibial antérieur
Artère tarsienne médiale
Rameau médial du nerf fibulaire profond (péronier)
Artère arquée
Artère plantaire profonde
Artères métatarsiennes dorsales
Tendon du long extenseur de l'hallux (*coupé*)
Tendon du court extenseur de l'hallux (*coupé*)
Rameaux digitaux dorsaux du nerf fibulaire profond (péronier)

Muscles de la jambe : vue latérale

VOIR AUSSI LA PLANCHE 506

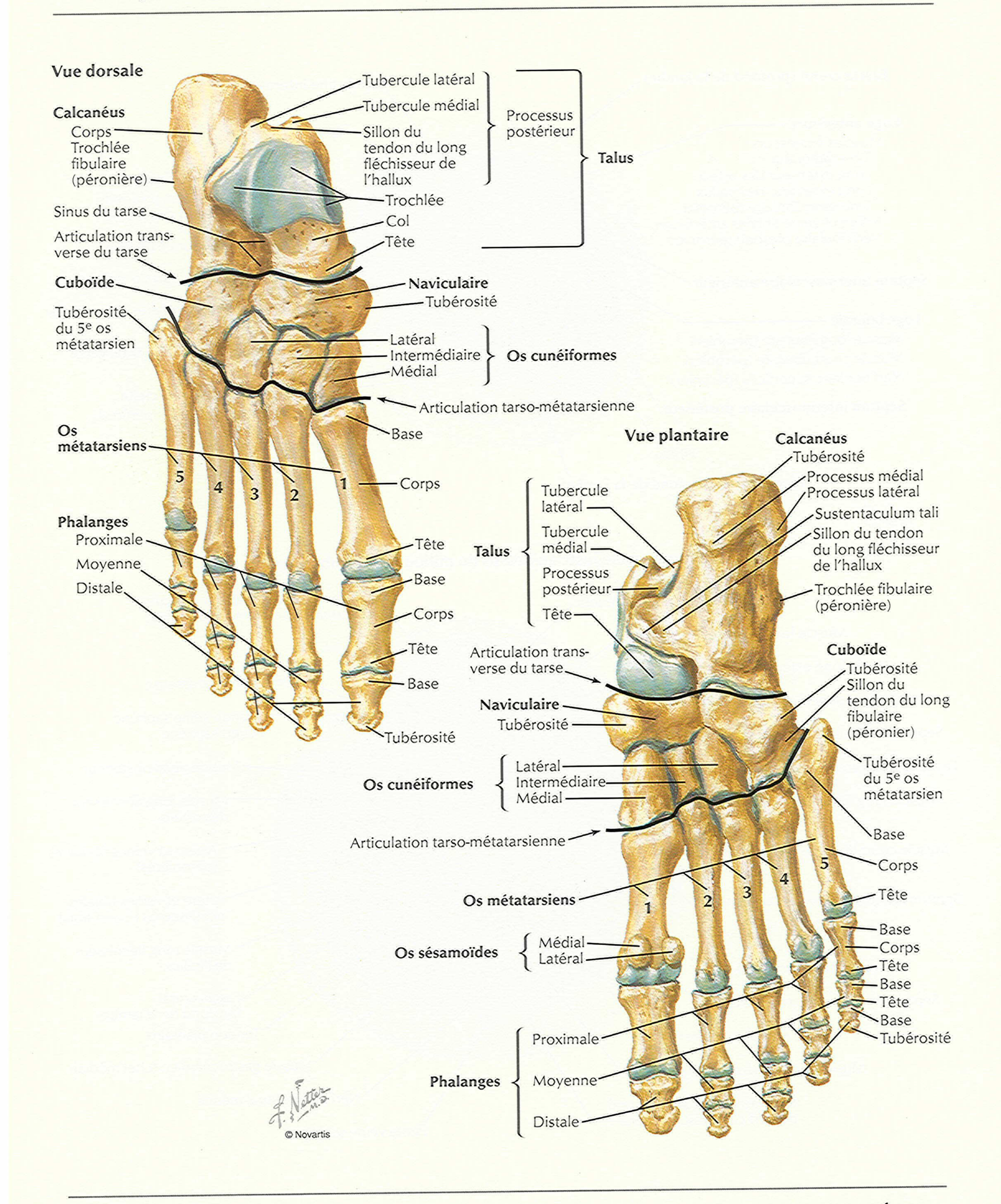




Coupe transversale juste au-dessus du milieu de la jambe gauche

Muscle tibial antérieur
Artère et veines tibiales antérieures et nerf fibulaire profond (péronier)
Muscle long extenseur de l'hallux
Tibia
Muscle long extenseur des orteils
Membrane interosseuse
Nerf fibulaire superficiel (péronier)
Grande veine saphène et nerf saphène
Septum intermusculaire antérieur
Fascia crural (profond de la jambe)
Muscle tibial postérieur
Muscle long fibulaire (péronier)
Muscle long fléchisseur des orteils
Muscle court fibulaire (péronier)
Artère et veines fibulaires (péronières)
Septum intermusculaire postérieur
Artère et veines tibiales postérieures et nerf tibial
Fibula
Muscle long fléchisseur de l'hallux
Nerf cutané sural latéral
Fascia crural (profond de la jambe)
Septum intermusculaire transverse
Tendon plantaire
Muscle soléaire
Muscle gastrocnémien (chef médial)
Muscle gastrocnémien (chef latéral)
Nerf cutané sural médial
Rameau communicant sural du nerf cutané sural latéral
Petite veine saphène

Os du pied



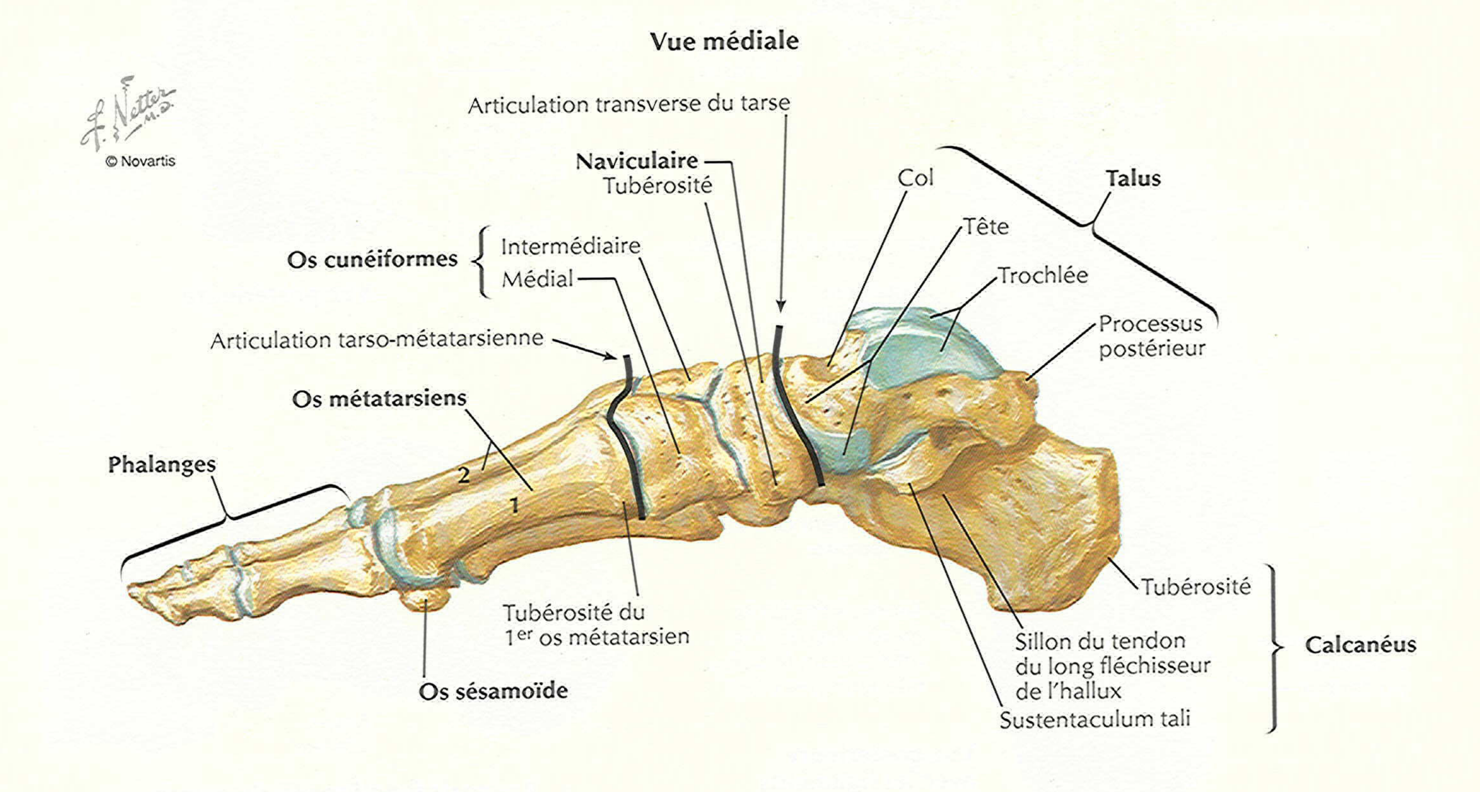
Vue dorsale
Calcanéus
Corps
Trochlée fibulaire (péronière)
Sinus du tarse
Articulation transverse du tarse
Cuboïde
Tubérosité du 5e os métatarsien
Tubercule latéral
Tubercule médial
Sillon du tendon du long fléchisseur de l'hallux
Processus postérieur
Talus
Trochlée
Col
Tête
Naviculaire
Tubérosité
Latéral
Intermédiaire
Médial
Os cunéiformes
Articulation tarso-métatarsienne
Base
Os métatarsiens
5
4
3
2
1
Corps
Phalanges
Proximale
Moyenne
Distale
Tête
Base
Corps
Tête
Base
Tubérosité
Vue plantaire
Calcanéus
Tubérosité
Processus médial
Processus latéral
Sustentaculum tali
Sillon du tendon du long fléchisseur de l'hallux
Trochlée fibulaire (péronière)
Talus
Tubercule latéral
Tubercule médial
Processus postérieur
Tête
Articulation transverse du tarse
Cuboïde
Tubérosité
Sillon du tendon du long fibulaire (péronier)
Naviculaire
Tubérosité
Os cunéiformes
Latéral
Intermédiaire
Médial
Tubérosité du 5e os métatarsien
Base
Articulation tarso-métatarsienne
Corps
Os métatarsiens
1
2
3
4
5
Tête
Base
Corps
Os sésamoïdes
Médial
Latéral
Tête
Base
Tête
Base
Tubérosité
Phalanges
Proximale
Moyenne
Distale
F. Netter M.D.
© Novartis

Os du pied (suite)

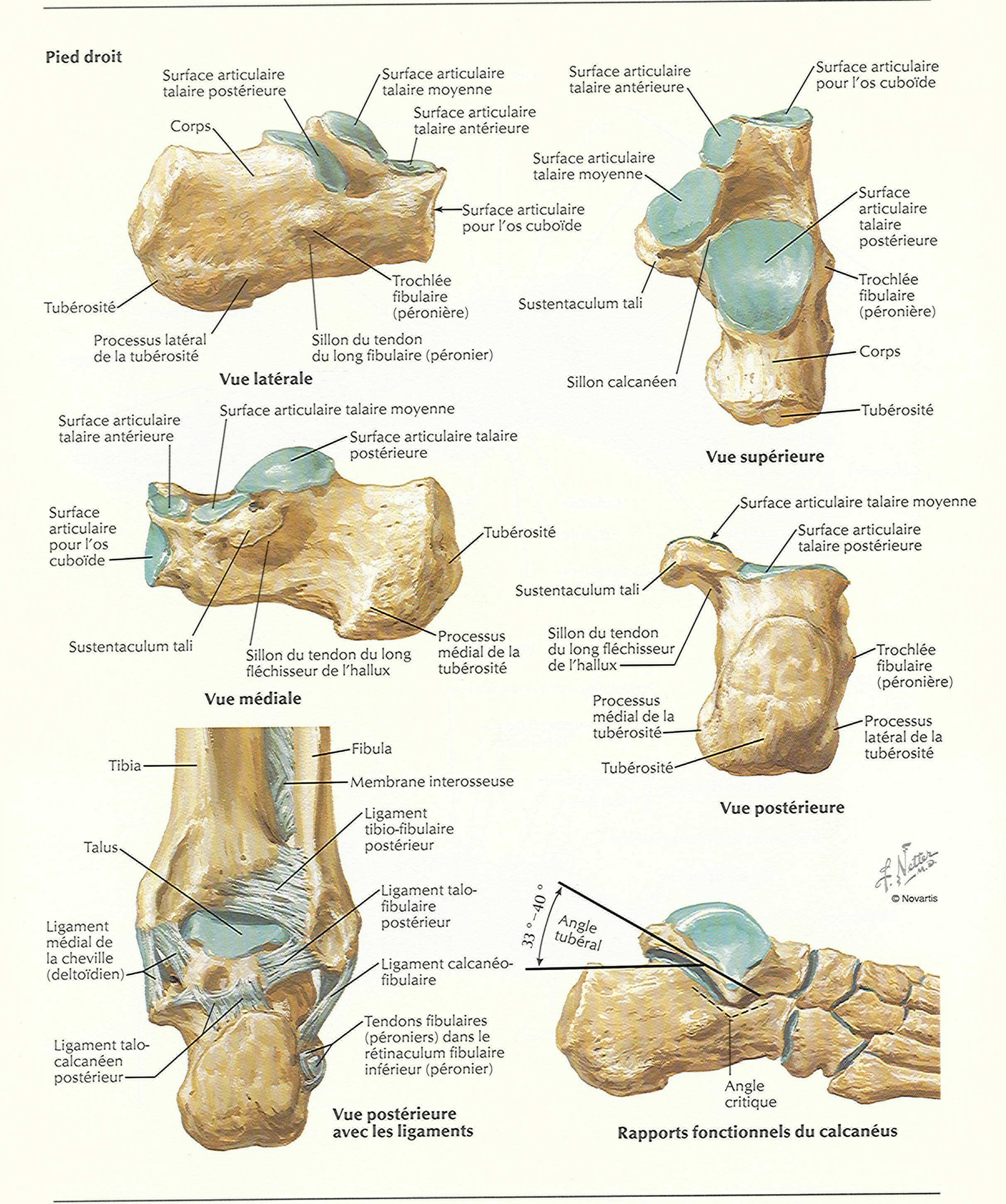
Vue latérale

Talus
Tête
Col
Trochlée
Processus latéral
Processus postérieur
Articulation transverse du tarse
Naviculaire
Intermédiaire
Latéral
Os cunéiformes
Articulation tarso-métatarsienne
Os métatarsiens
Phalanges
2
3
4
5
Sinus du tarse
Calcanéus
Corps
Trochlée fibulaire (péronière)
Tubérosité
Sillon du tendon du long fibulaire (péronier)
Cuboïde
Tubérosité
Sillon du tendon du long fibulaire (péronier)
Tubérosité du 5e os métatarsien

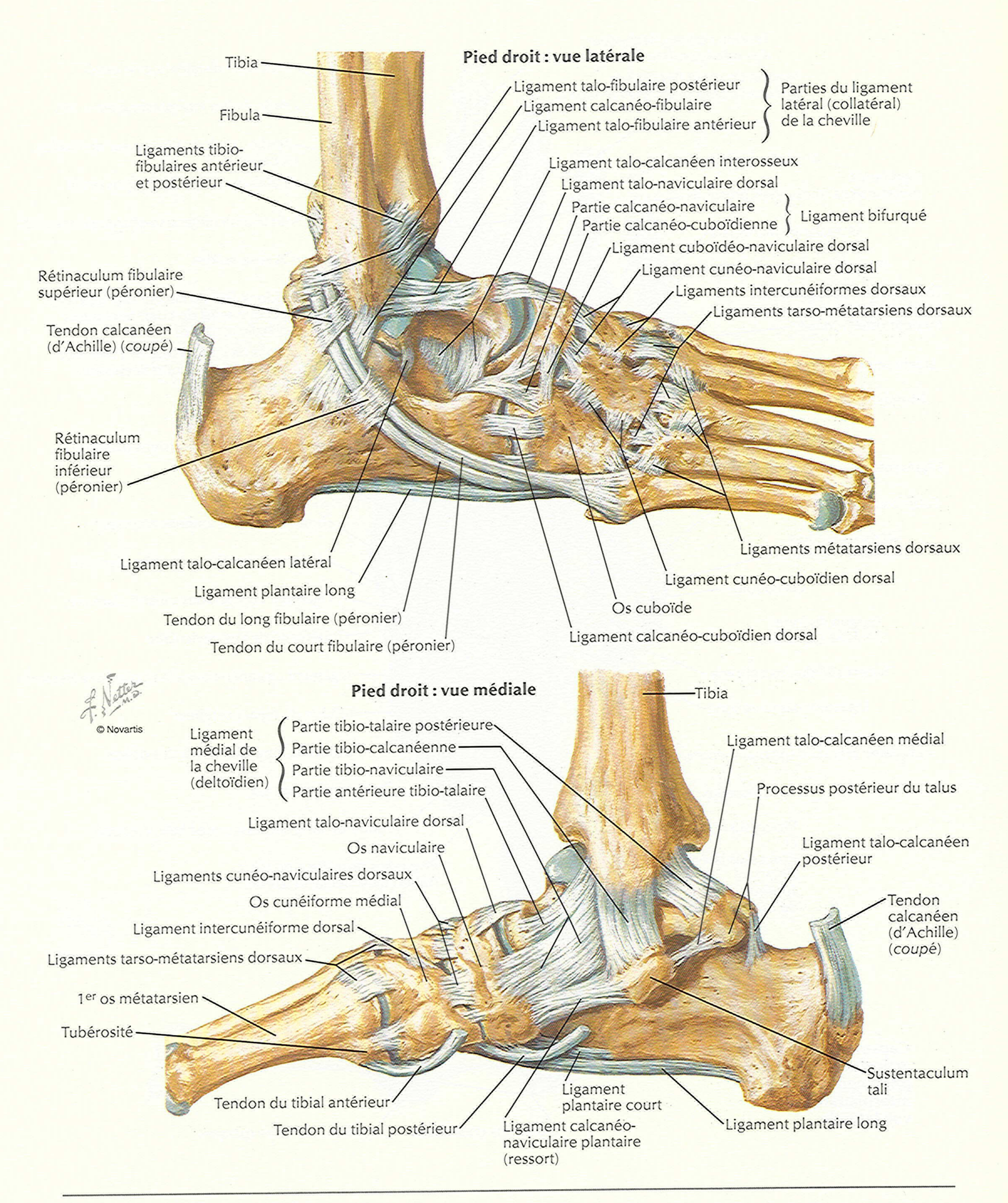
Vue médiale



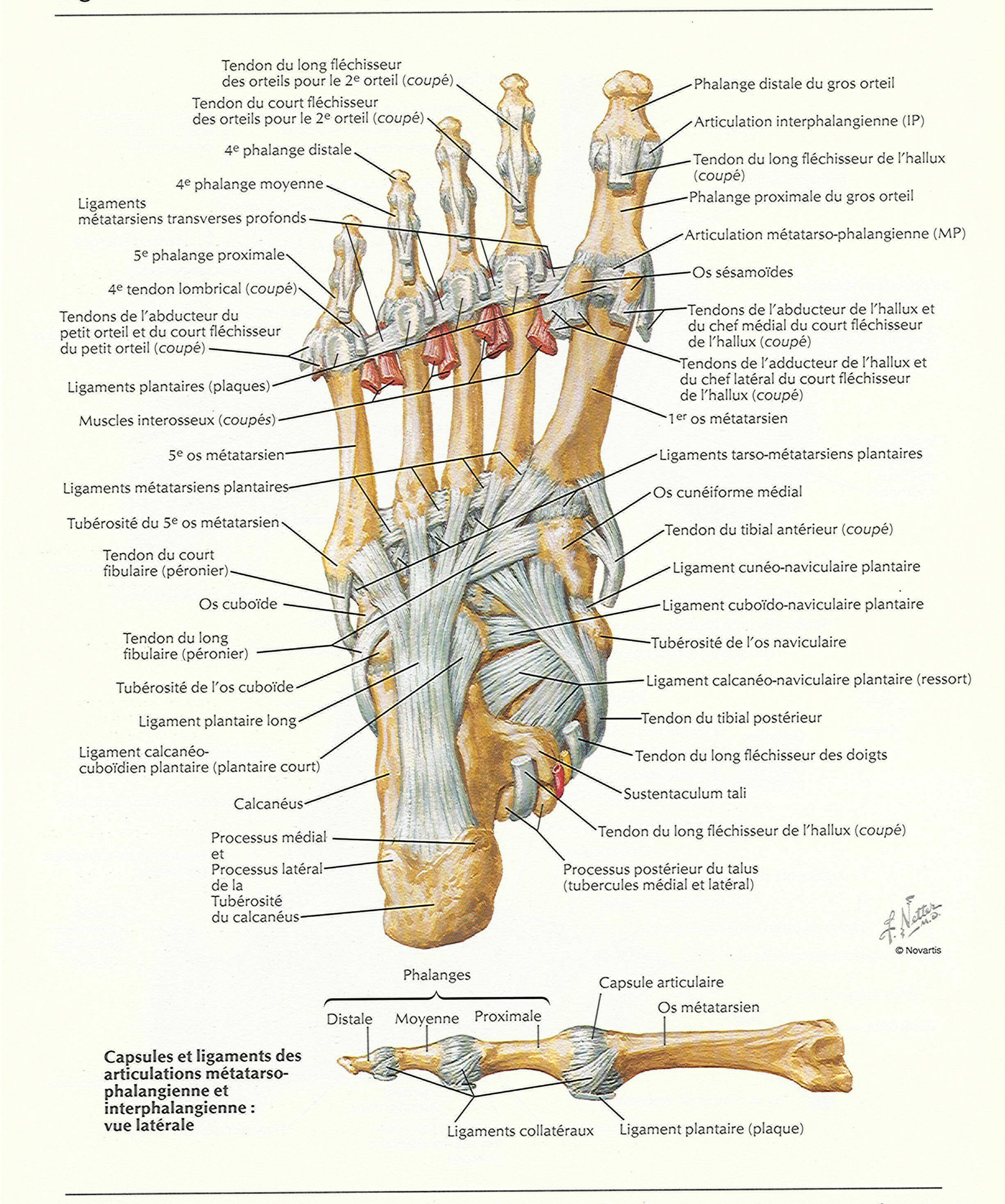
Calcanéus



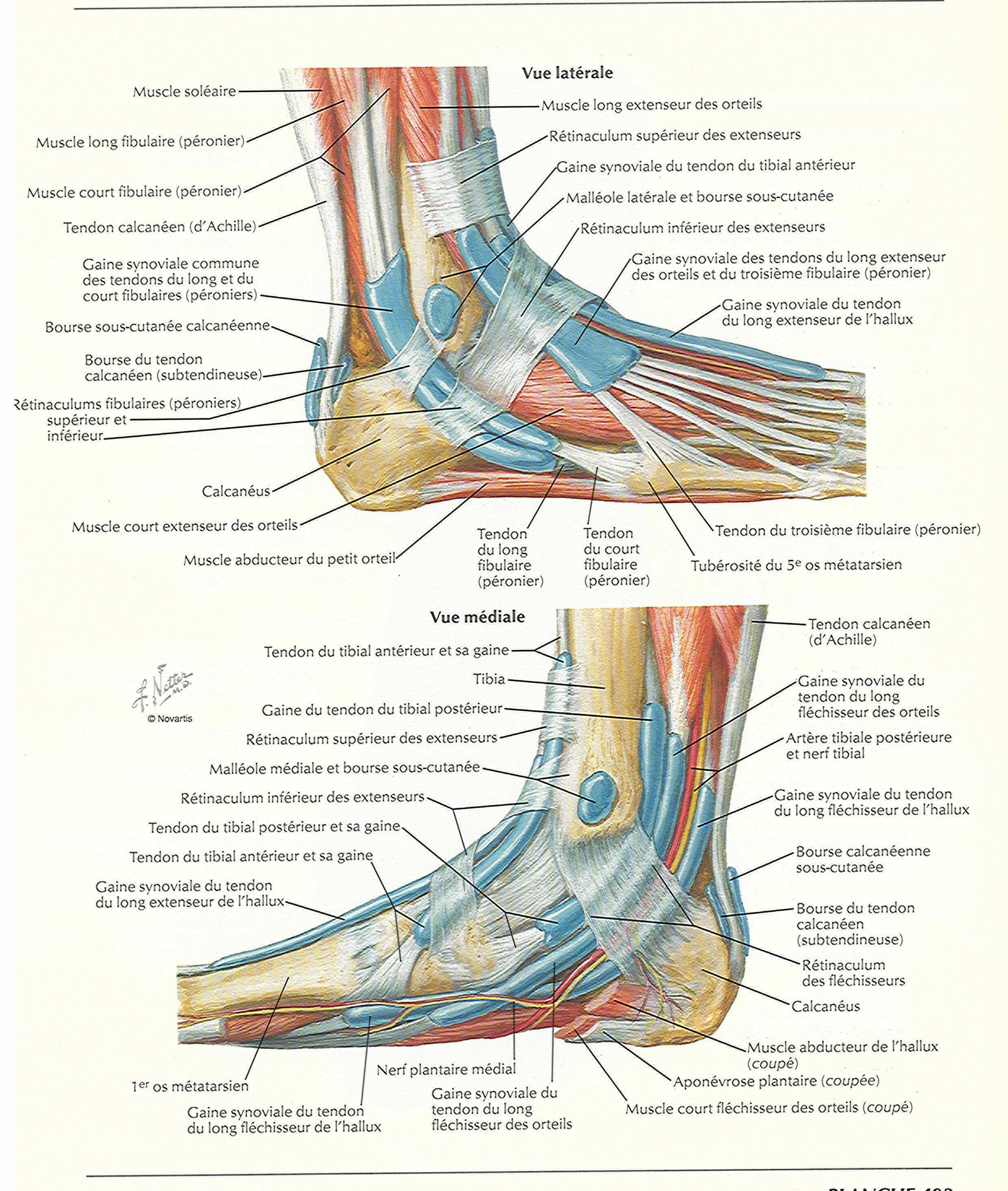
Pied droit
Surface articulaire talaire postérieure
Surface articulaire talaire moyenne
Surface articulaire talaire antérieure
Corps
Surface articulaire pour l'os cuboïde
Trochlée fibulaire (péronière)
Tubérosité
Processus latéral de la tubérosité
Sillon du tendon du long fibulaire (péronier)
Vue latérale
Surface articulaire talaire antérieure
Surface articulaire pour l'os cuboïde
Surface articulaire talaire moyenne
Surface articulaire talaire postérieure
Sustentaculum tali
Trochlée fibulaire (péronière)
Corps
Sillon calcanéen
Tubérosité
Vue supérieure
Surface articulaire talaire antérieure
Surface articulaire talaire moyenne
Surface articulaire talaire postérieure
Surface articulaire pour l'os cuboïde
Tubérosité
Sustentaculum tali
Sillon du tendon du long fléchisseur de l'hallux
Processus médial de la tubérosité
Vue médiale
Surface articulaire talaire moyenne
Surface articulaire talaire postérieure
Sustentaculum tali
Sillon du tendon du long fléchisseur de l'hallux
Trochlée fibulaire (péronière)
Processus médial de la tubérosité
Processus latéral de la tubérosité
Tubérosité
Vue postérieure
Tibia
Fibula
Membrane interosseuse
Ligament tibio-fibulaire postérieur
Talus
Ligament talo-fibulaire postérieur
Ligament médial de la cheville (deltoïdien)
Ligament calcanéo-fibulaire
Tendons fibulaires (péroniers) dans le rétinaculum fibulaire inférieur (péronier)
Ligament talo-calcanéen postérieur
Vue postérieure avec les ligaments
33 °–40 °
Angle tubéral
Angle critique
Rapports fonctionnels du calcanéus
F. Netter M.D.
© Novartis


Pied droit : vue latérale
Tibia
Fibula
Ligaments tibio-fibulaires antérieur et postérieur
Ligament talo-fibulaire postérieur
Ligament calcanéo-fibulaire
Ligament talo-fibulaire antérieur
Parties du ligament latéral (collatéral) de la cheville
Ligament talo-calcanéen interosseux
Ligament talo-naviculaire dorsal
Partie calcanéo-naviculaire
Partie calcanéo-cuboïdienne
Ligament bifurqué
Ligament cuboïdéo-naviculaire dorsal
Ligament cunéo-naviculaire dorsal
Ligaments intercunéiformes dorsaux
Ligaments tarso-métatarsiens dorsaux
Rétinaculum fibulaire supérieur (péronier)
Tendon calcanéen (d'Achille) (coupé)
Rétinaculum fibulaire inférieur (péronier)
Ligaments métatarsiens dorsaux
Ligament cunéo-cuboïdien dorsal
Os cuboïde
Ligament calcanéo-cuboïdien dorsal
Ligament talo-calcanéen latéral
Ligament plantaire long
Tendon du long fibulaire (péronier)
Tendon du court fibulaire (péronier)
© Novartis
Pied droit : vue médiale
Tibia
Ligament médial de la cheville (deltoïdien)
Partie tibio-talaire postérieure
Partie tibio-calcanéenne
Partie tibio-naviculaire
Partie antérieure tibio-talaire
Ligament talo-calcanéen médial
Processus postérieur du talus
Ligament talo-naviculaire dorsal
Os naviculaire
Ligaments cunéo-naviculaires dorsaux
Os cunéiforme médial
Ligament intercunéiforme dorsal
Ligaments tarso-métatarsiens dorsaux
1er os métatarsien
Tubérosité
Ligament talo-calcanéen postérieur
Tendon calcanéen (d'Achille) (coupé)
Sustentaculum tali
Ligament plantaire court
Tendon du tibial antérieur
Tendon du tibial postérieur
Ligament calcanéo-naviculaire plantaire (ressort)
Ligament plantaire long

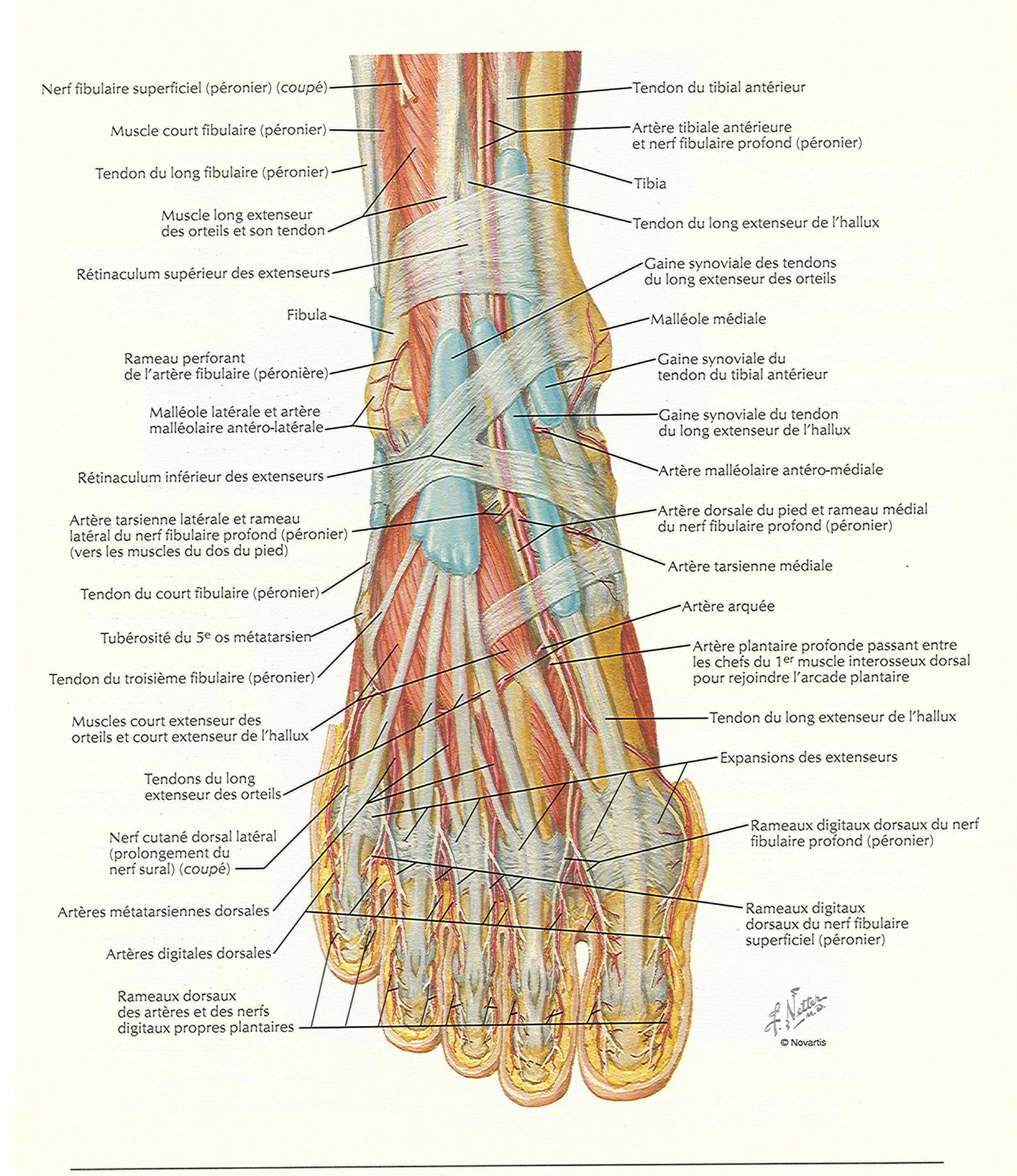
Ligaments et tendons du pied : vue plantaire



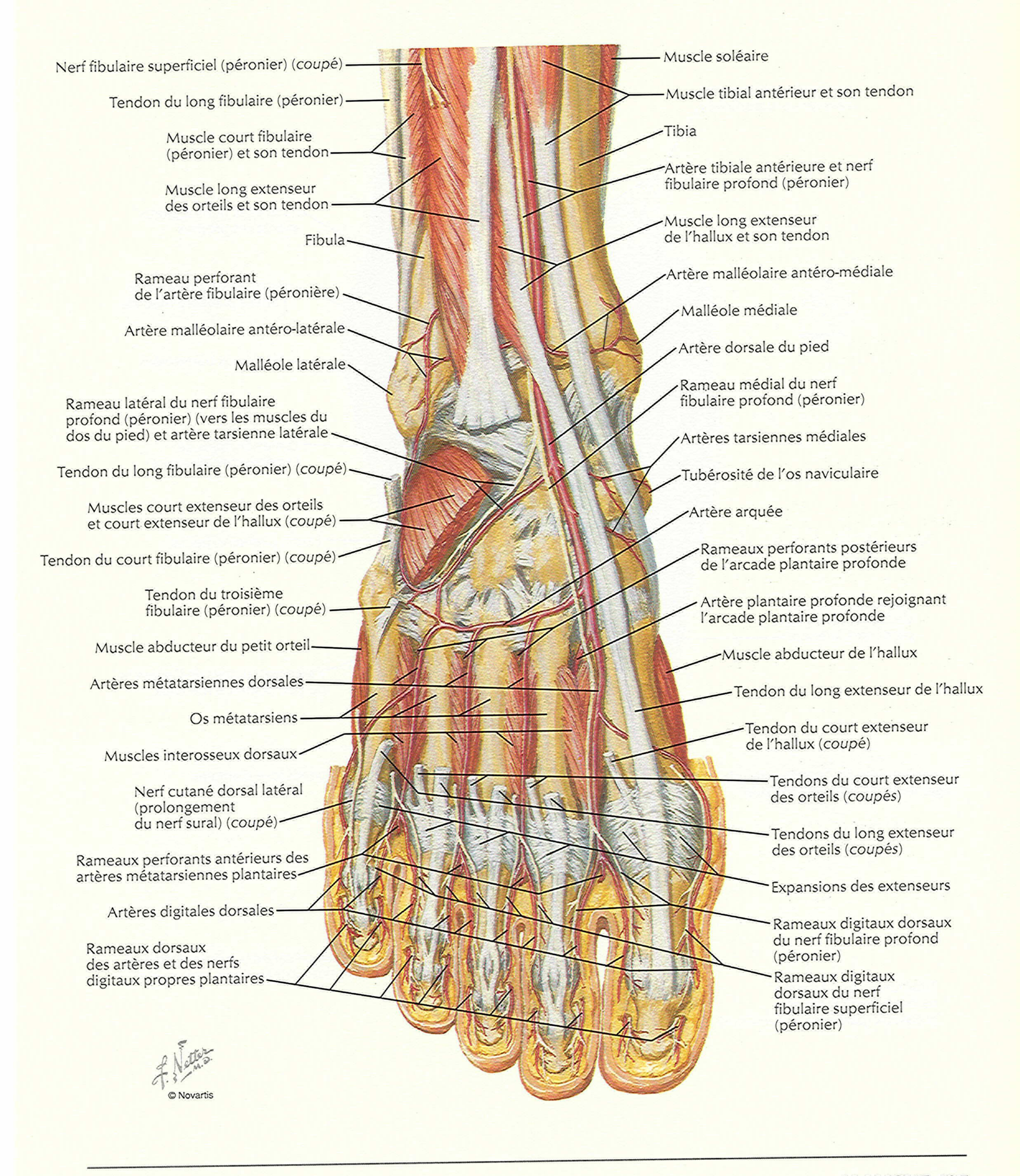
Capsules et ligaments des articulations métatarso-phalangienne et interphalangienne : vue latérale

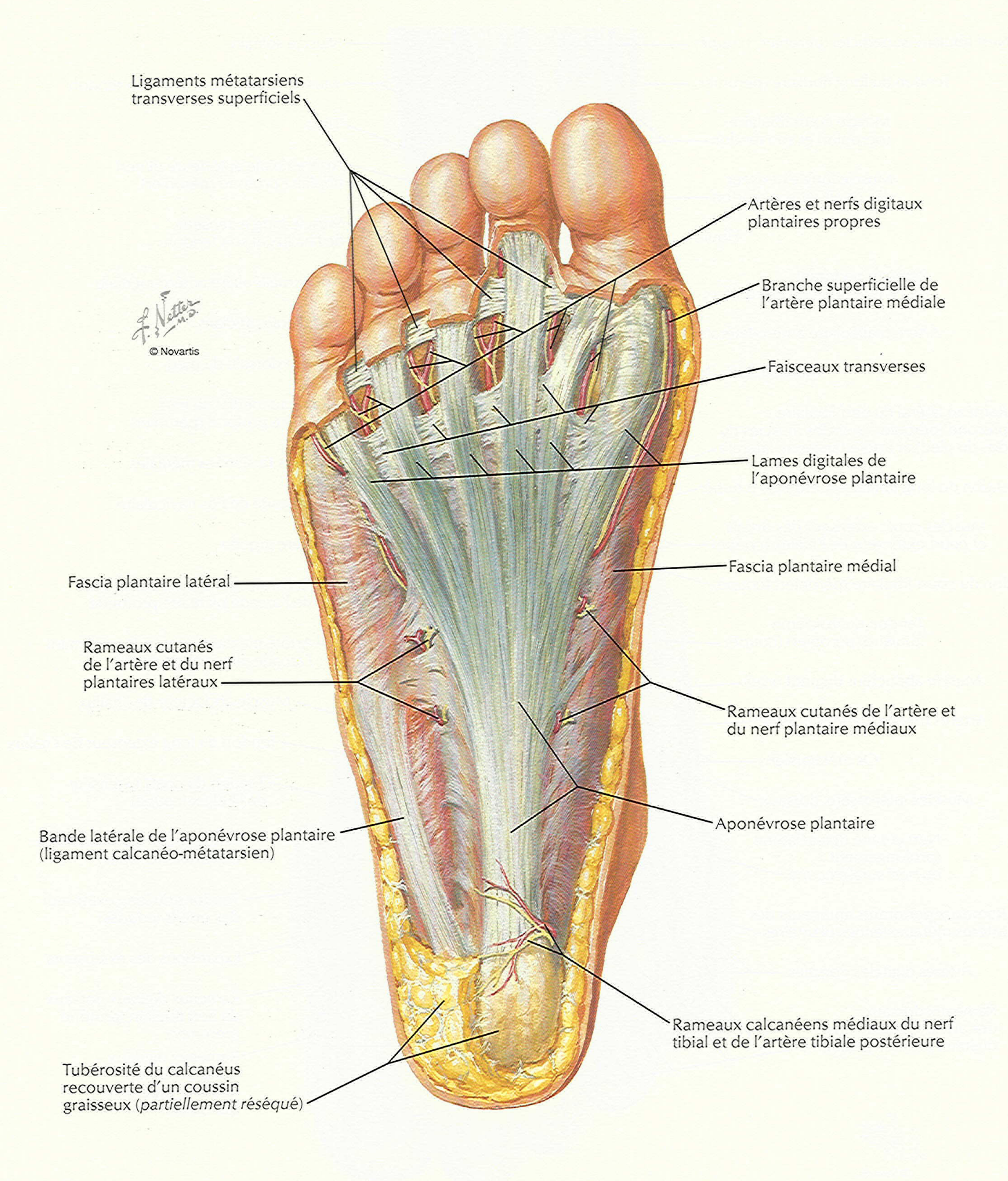

Vue latérale
Muscle soléaire
Muscle long fibulaire (péronier)
Muscle court fibulaire (péronier)
Tendon calcanéen (d'Achille)
Gaine synoviale commune des tendons du long et du court fibulaires (péroniers)
Bourse sous-cutanée calcanéenne
Bourse du tendon calcanéen (subtendineuse)
Rétinaculums fibulaires (péroniers) supérieur et inférieur
Calcanéus
Muscle court extenseur des orteils
Muscle abducteur du petit orteil
Tendon du long fibulaire (péronier)
Tendon du court fibulaire (péronier)
Tubérosité du 5e os métatarsien
Tendon du troisième fibulaire (péronier)
Muscle long extenseur des orteils
Rétinaculum supérieur des extenseurs
Gaine synoviale du tendon du tibial antérieur
Malléole latérale et bourse sous-cutanée
Rétinaculum inférieur des extenseurs
Gaine synoviale des tendons du long extenseur des orteils et du troisième fibulaire (péronier)
Gaine synoviale du tendon du long extenseur de l'hallux
Vue médiale
Tendon du tibial antérieur et sa gaine
Tibia
Gaine du tendon du tibial postérieur
Rétinaculum supérieur des extenseurs
Malléole médiale et bourse sous-cutanée
Rétinaculum inférieur des extenseurs
Tendon du tibial postérieur et sa gaine
Tendon du tibial antérieur et sa gaine
Gaine synoviale du tendon du long extenseur de l'hallux
1er os métatarsien
Gaine synoviale du tendon du long fléchisseur de l'hallux
Nerf plantaire médial
Gaine synoviale du tendon du long fléchisseur des orteils
Muscle court fléchisseur des orteils (coupé)
Aponévrose plantaire (coupée)
Muscle abducteur de l'hallux (coupé)
Calcanéus
Rétinaculum des fléchisseurs
Bourse du tendon calcanéen (subtendineuse)
Bourse calcanéenne sous-cutanée
Gaine synoviale du tendon du long fléchisseur de l'hallux
Artère tibiale postérieure et nerf tibial
Gaine synoviale du tendon du long fléchisseur des orteils
Tendon calcanéen (d'Achille)
F. Netter M.D.
© Novartis

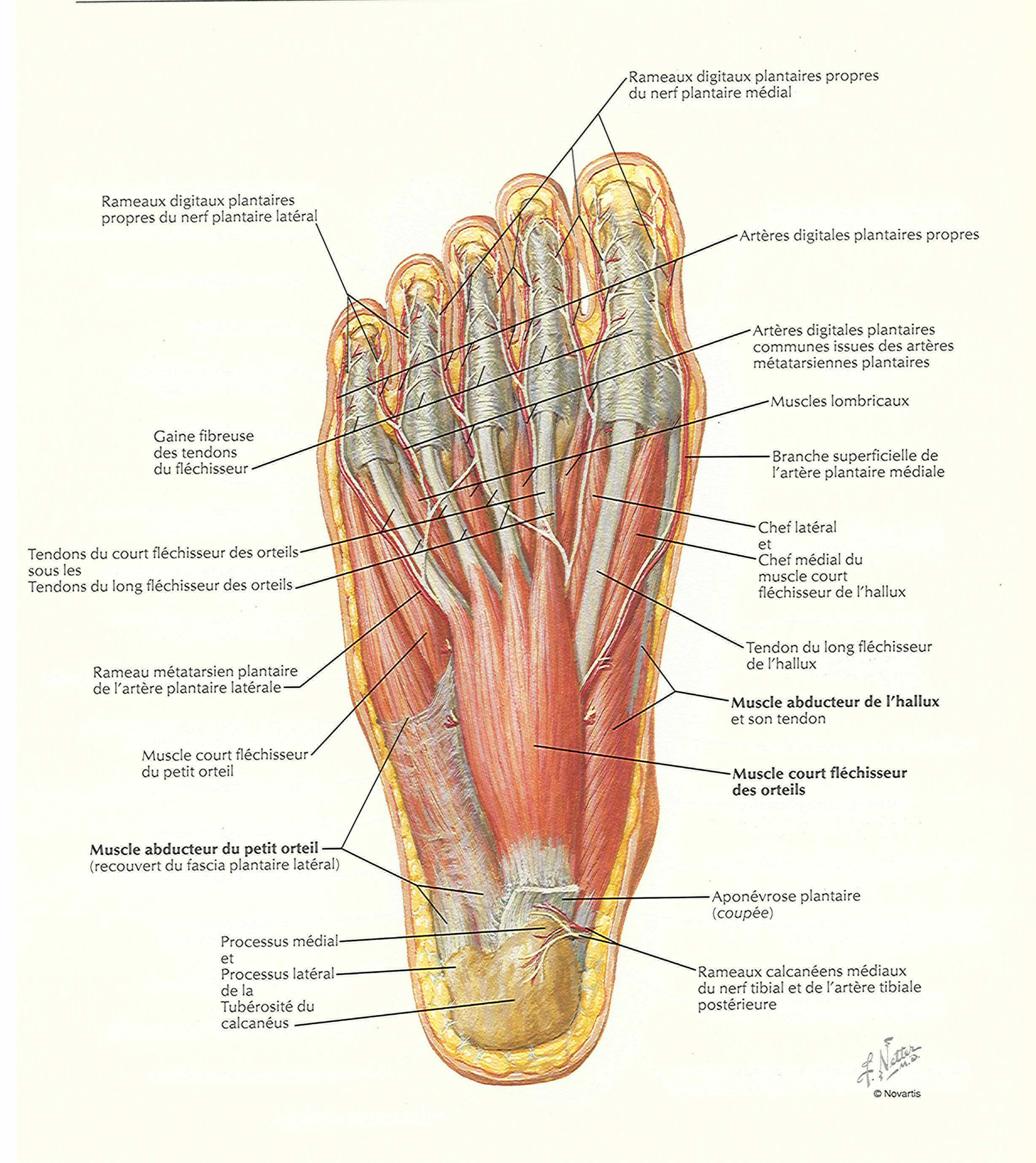
Muscles du dos du pied : dissection superficielle



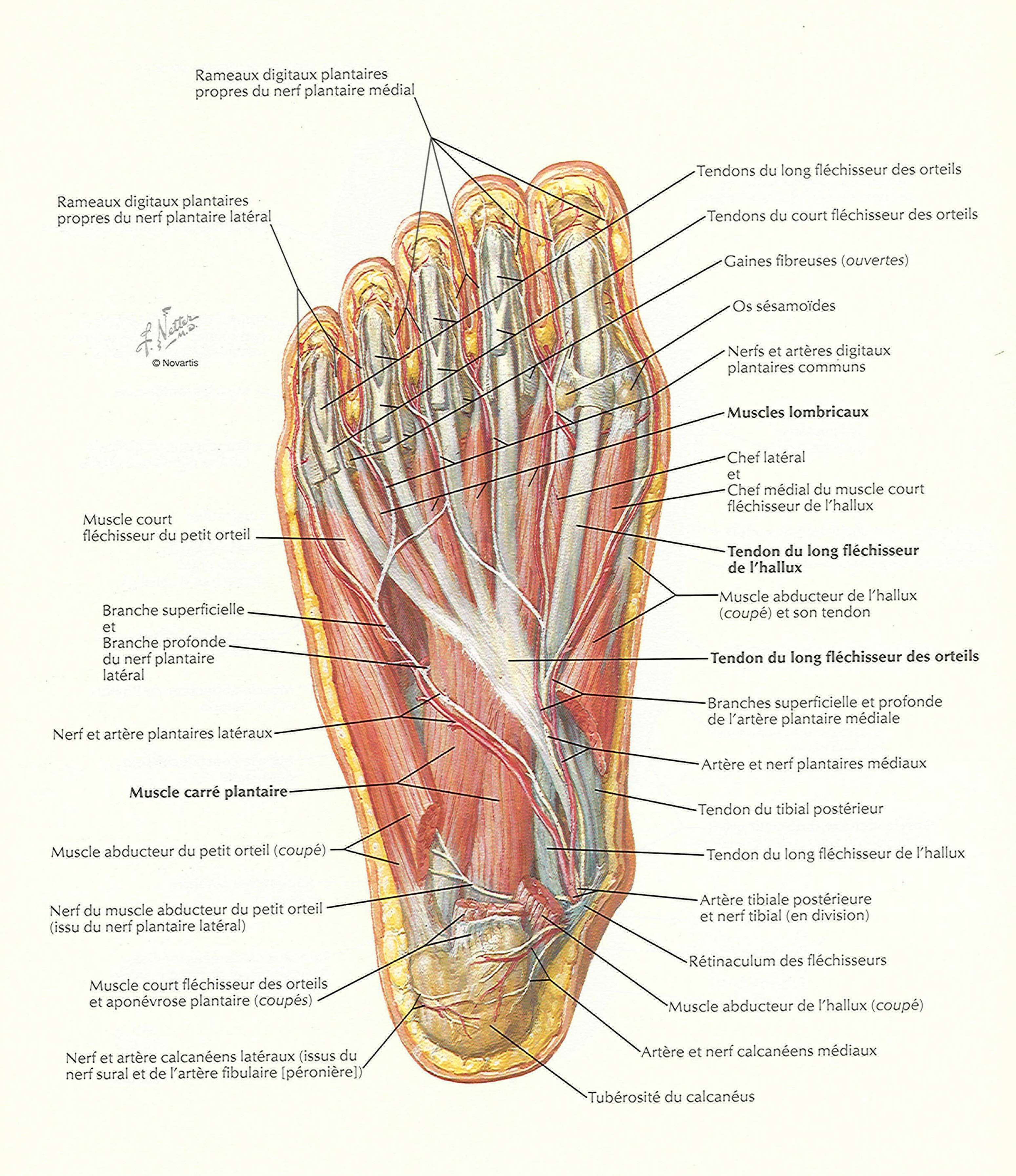
Dos du pied : dissection profonde



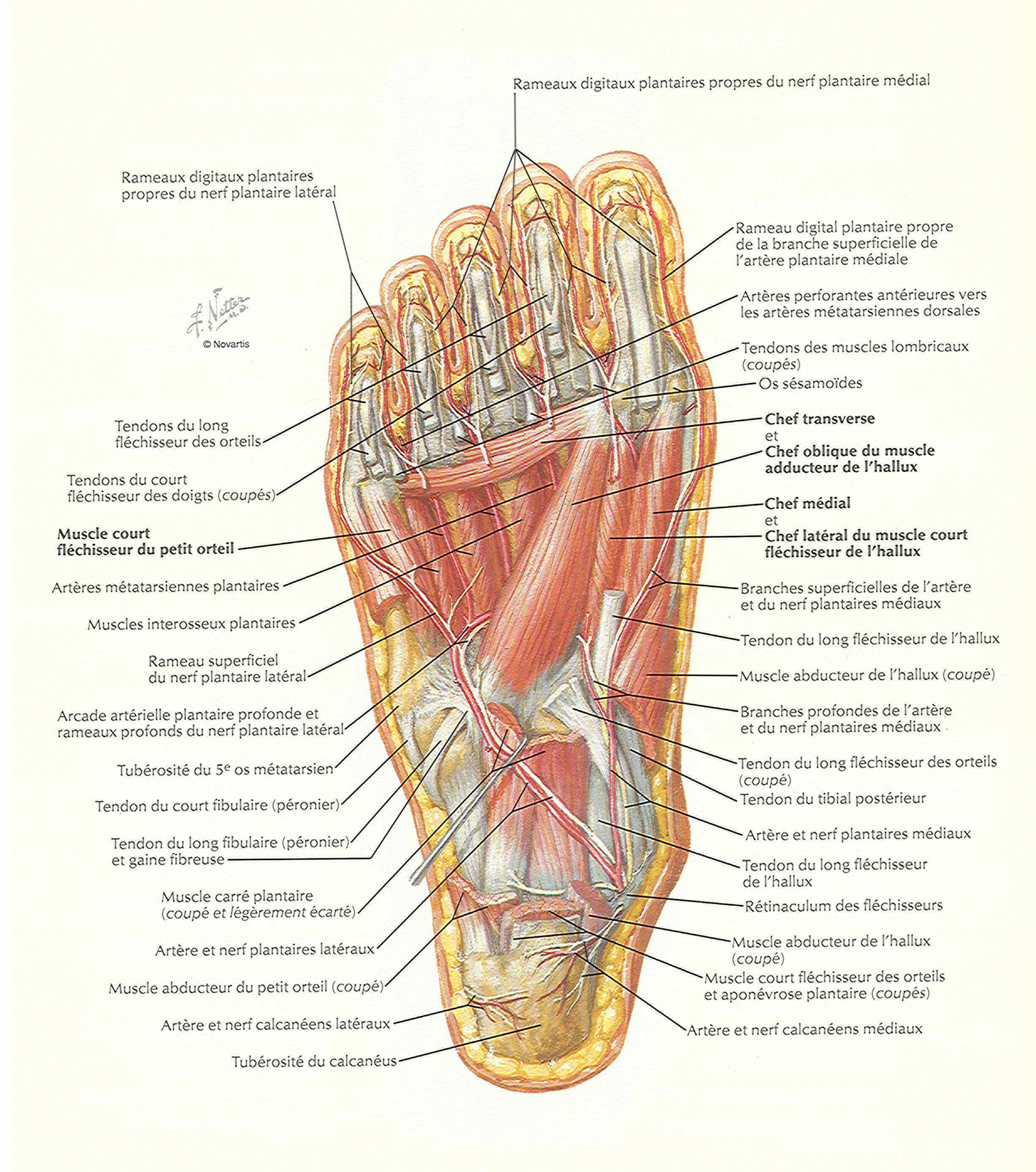

Ligaments métatarsiens
transverses superficiels
Artères et nerfs digitaux
plantaires propres
Branche superficielle de
l'artère plantaire médiale
Faisceaux transverses
Lames digitales de
l'aponévrose plantaire
Fascia plantaire latéral
Fascia plantaire médial
Rameaux cutanés
de l'artère et du nerf
plantaires latéraux
Rameaux cutanés de l'artère et
du nerf plantaire médiaux
Bande latérale de l'aponévrose plantaire
(ligament calcanéo-métatarsien)
Aponévrose plantaire
Rameaux calcanéens médiaux du nerf
tibial et de l'artère tibiale postérieure
Tubérosité du calcanéus
recouverte d'un coussin
graisseux (partiellement réséqué)
© Novartis


Rameaux digitaux plantaires propres du nerf plantaire médial
Rameaux digitaux plantaires propres du nerf plantaire latéral
Artères digitales plantaires propres
Artères digitales plantaires communes issues des artères métatarsiennes plantaires
Muscles lombricaux
Gaine fibreuse des tendons du fléchisseur
Branche superficielle de l'artère plantaire médiale
Chef latéral
et
Chef médial du muscle court fléchisseur de l'hallux
Tendons du court fléchisseur des orteils
sous les
Tendons du long fléchisseur des orteils
Tendon du long fléchisseur de l'hallux
Rameau métatarsien plantaire de l'artère plantaire latérale
Muscle abducteur de l'hallux
et son tendon
Muscle court fléchisseur du petit orteil
Muscle court fléchisseur des orteils
Muscle abducteur du petit orteil
(recouvert du fascia plantaire latéral)
Aponévrose plantaire
(coupée)
Processus médial
et
Processus latéral
de la
Tubérosité du
calcanéus
Rameaux calcanéens médiaux du nerf tibial et de l'artère tibiale postérieure
F. Netter M.D.
© Novartis

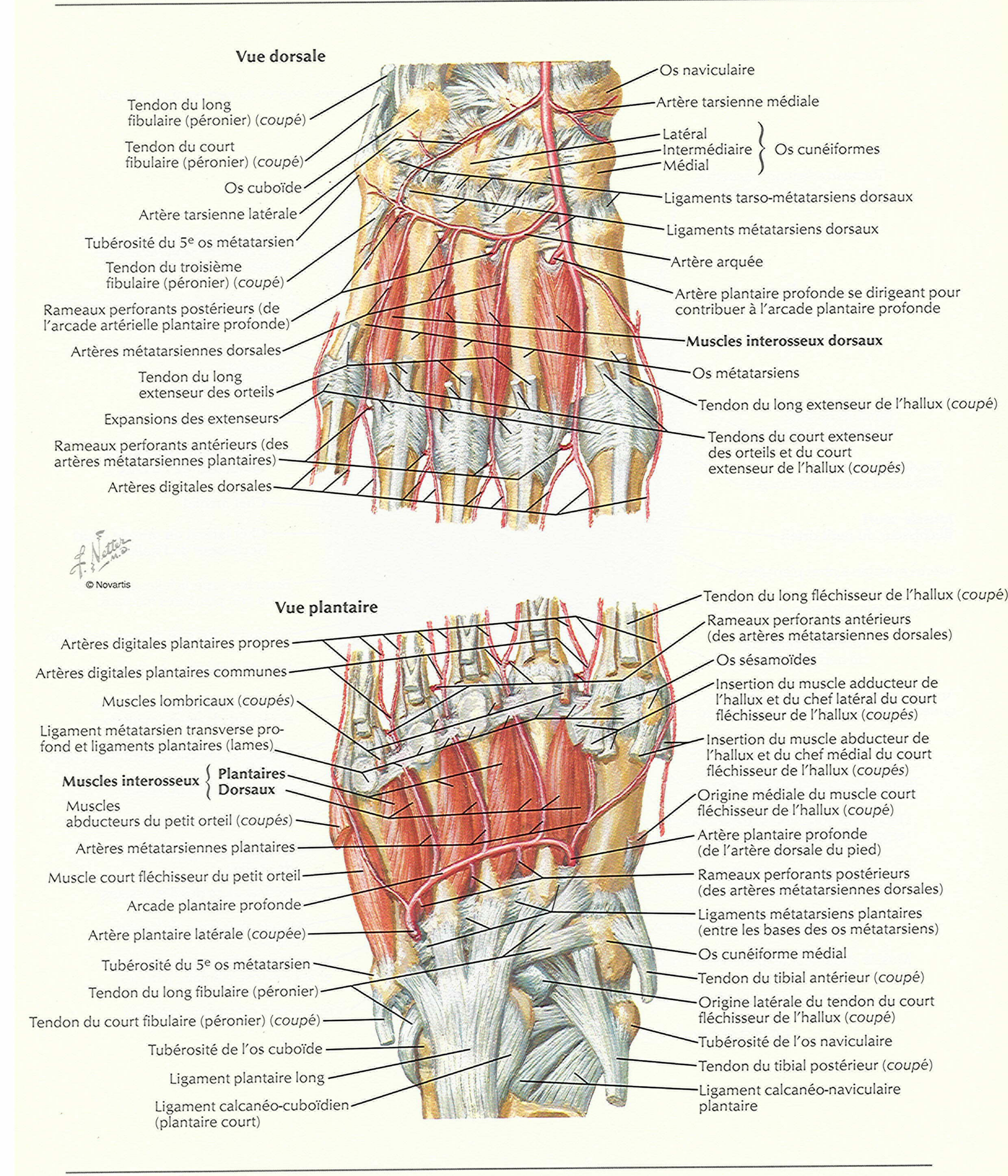
Muscles de la plante du pied : deuxième couche

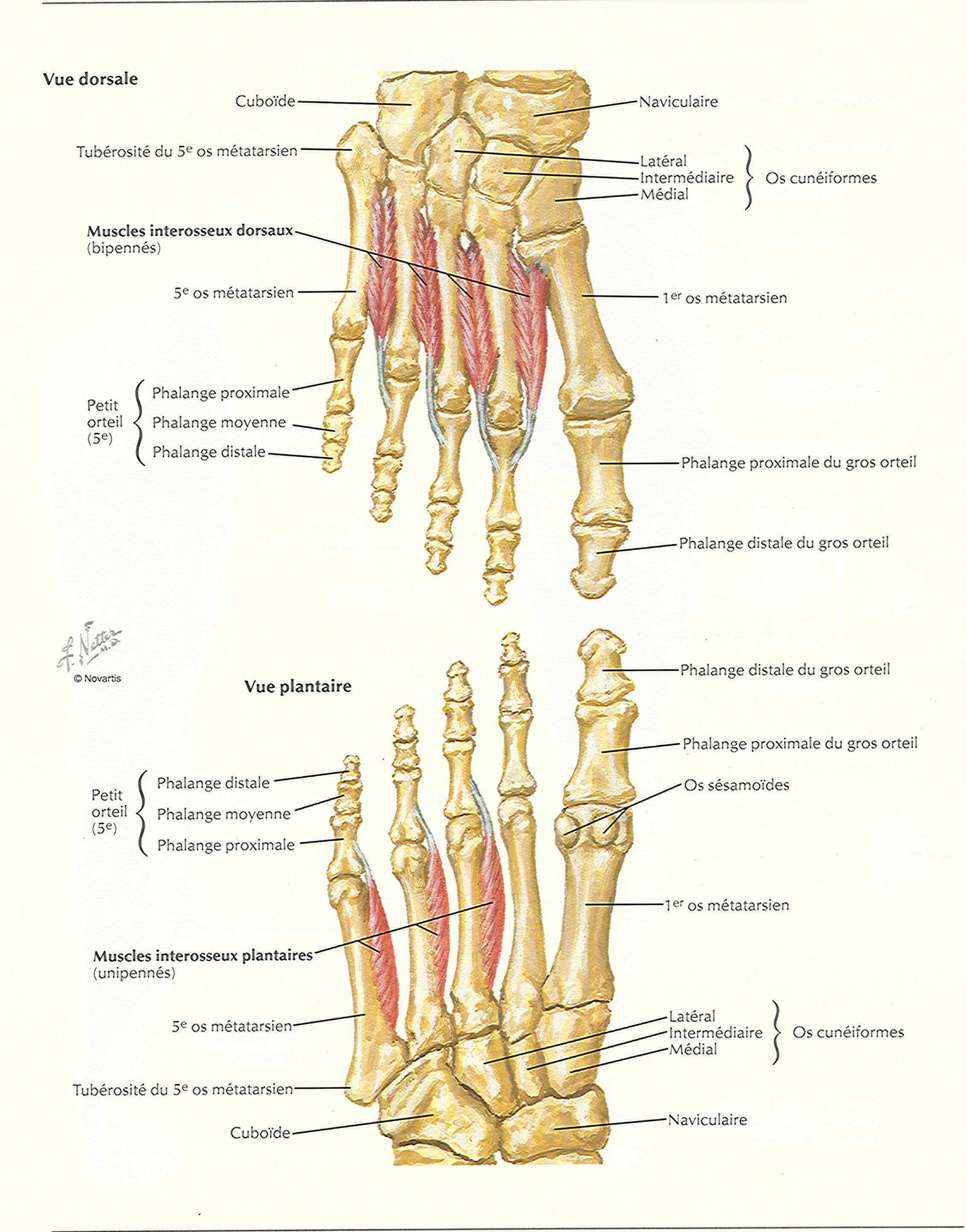


Muscles de la plante du pied : troisième couche

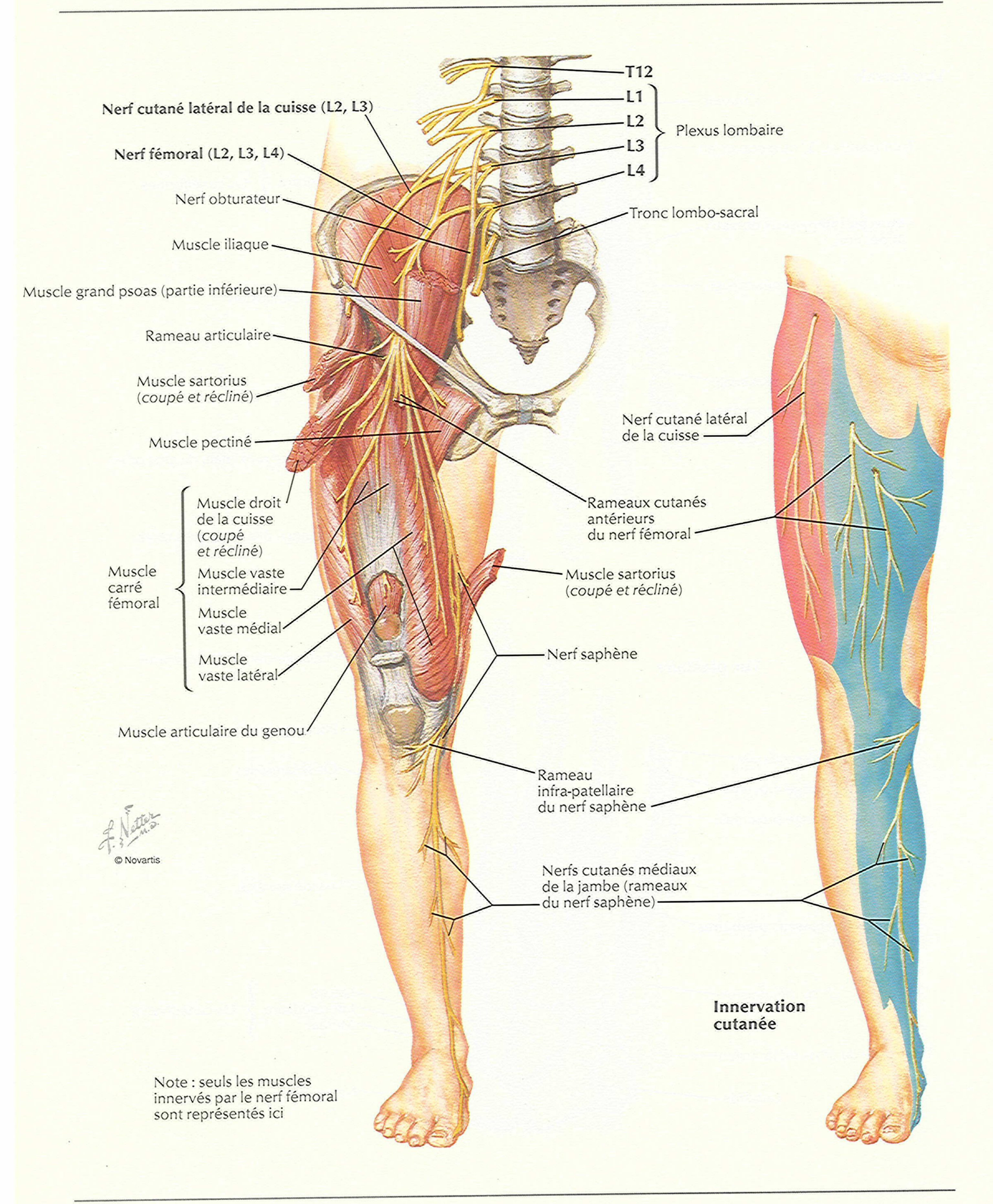


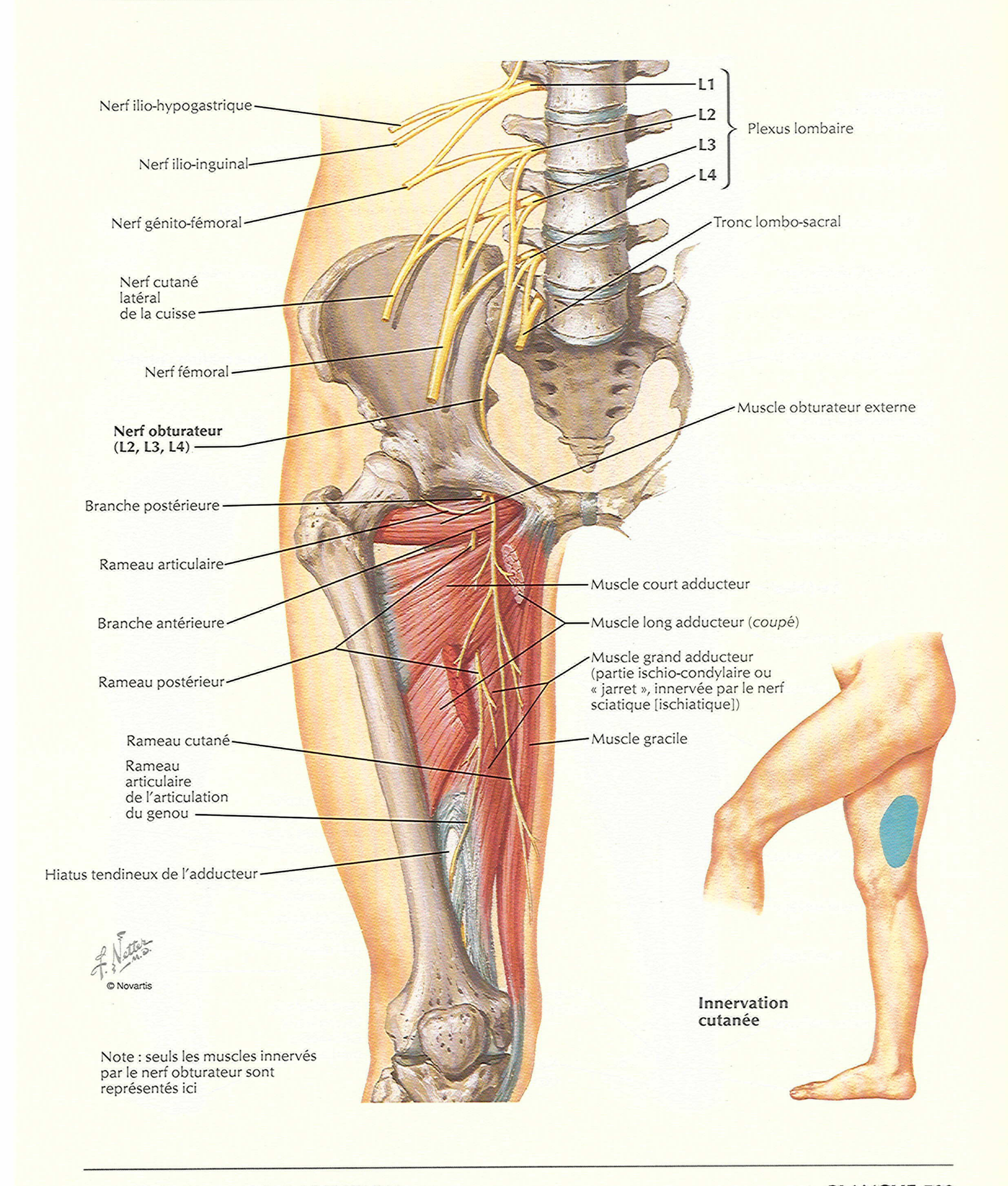
Muscles interosseux et artères profondes du pied



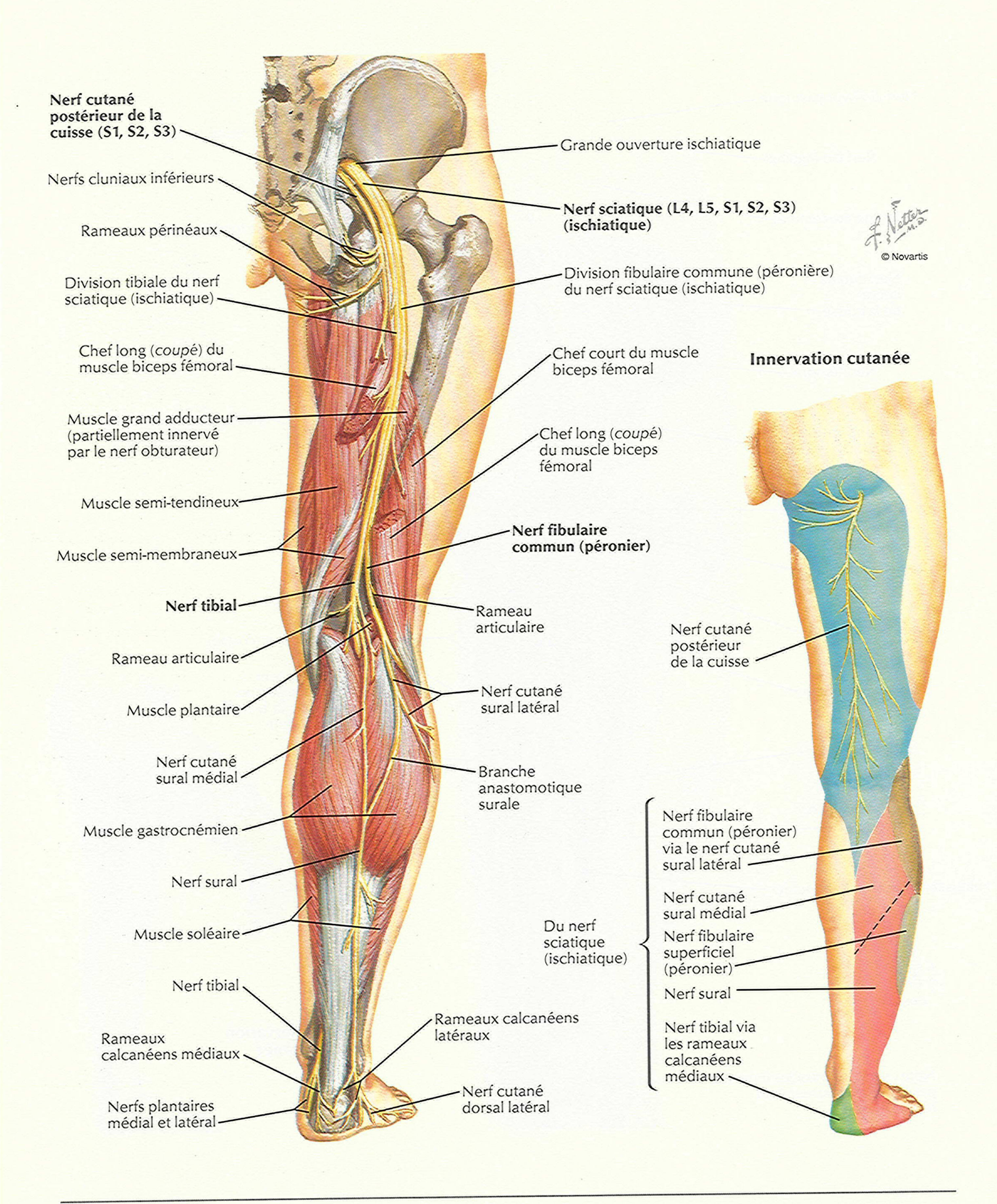

Vue dorsale
Cuboïde
Naviculaire
Tubérosité du 5e os métatarsien
Latéral
Intermédiaire
Médial
Os cunéiformes
Muscles interosseux dorsaux
(bipennés)
5e os métatarsien
1er os métatarsien
Petit orteil (5e)
Phalange proximale
Phalange moyenne
Phalange distale
Phalange proximale du gros orteil
Phalange distale du gros orteil
© Novartis
Vue plantaire
Phalange distale du gros orteil
Phalange proximale du gros orteil
Os sésamoïdes
Petit orteil (5e)
Phalange distale
Phalange moyenne
Phalange proximale
1er os métatarsien
Muscles interosseux plantaires
(unipennés)
5e os métatarsien
Latéral
Intermédiaire
Médial
Os cunéiformes
Tubérosité du 5e os métatarsien
Naviculaire
Cuboïde

Nerfs fémoral et cutané latéral de la cuisse

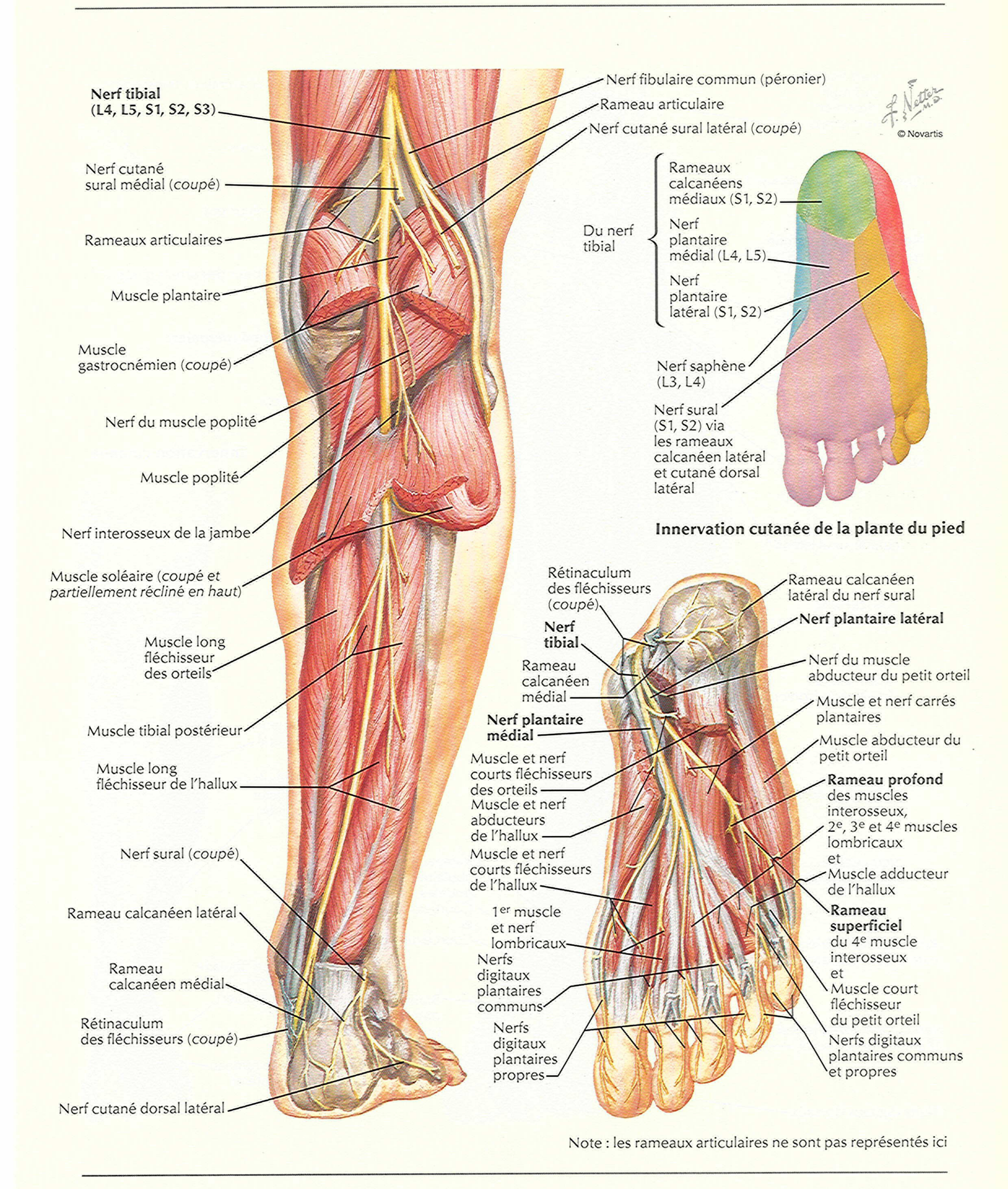



L1
L2
L3
L4
Plexus lombaire
Nerf ilio-hypogastrique
Nerf ilio-inguinal
Nerf génito-fémoral
Tronc lombo-sacral
Nerf cutané latéral de la cuisse
Nerf fémoral
Nerf obturateur (L2, L3, L4)
Muscle obturateur externe
Branche postérieure
Rameau articulaire
Muscle court adducteur
Branche antérieure
Muscle long adducteur (coupé)
Rameau postérieur
Muscle grand adducteur (partie ischio-condylaire ou « jarret », innervée par le nerf sciatique [ischiatique])
Rameau cutané
Muscle gracile
Rameau articulaire de l'articulation du genou
Hiatus tendineux de l'adducteur
F. Netter M.D.
© Novartis
Innervation cutanée
Note : seuls les muscles innervés par le nerf obturateur sont représentés ici

Nerfs sciatique (ischiatique) et cutané postérieur de la cuisse

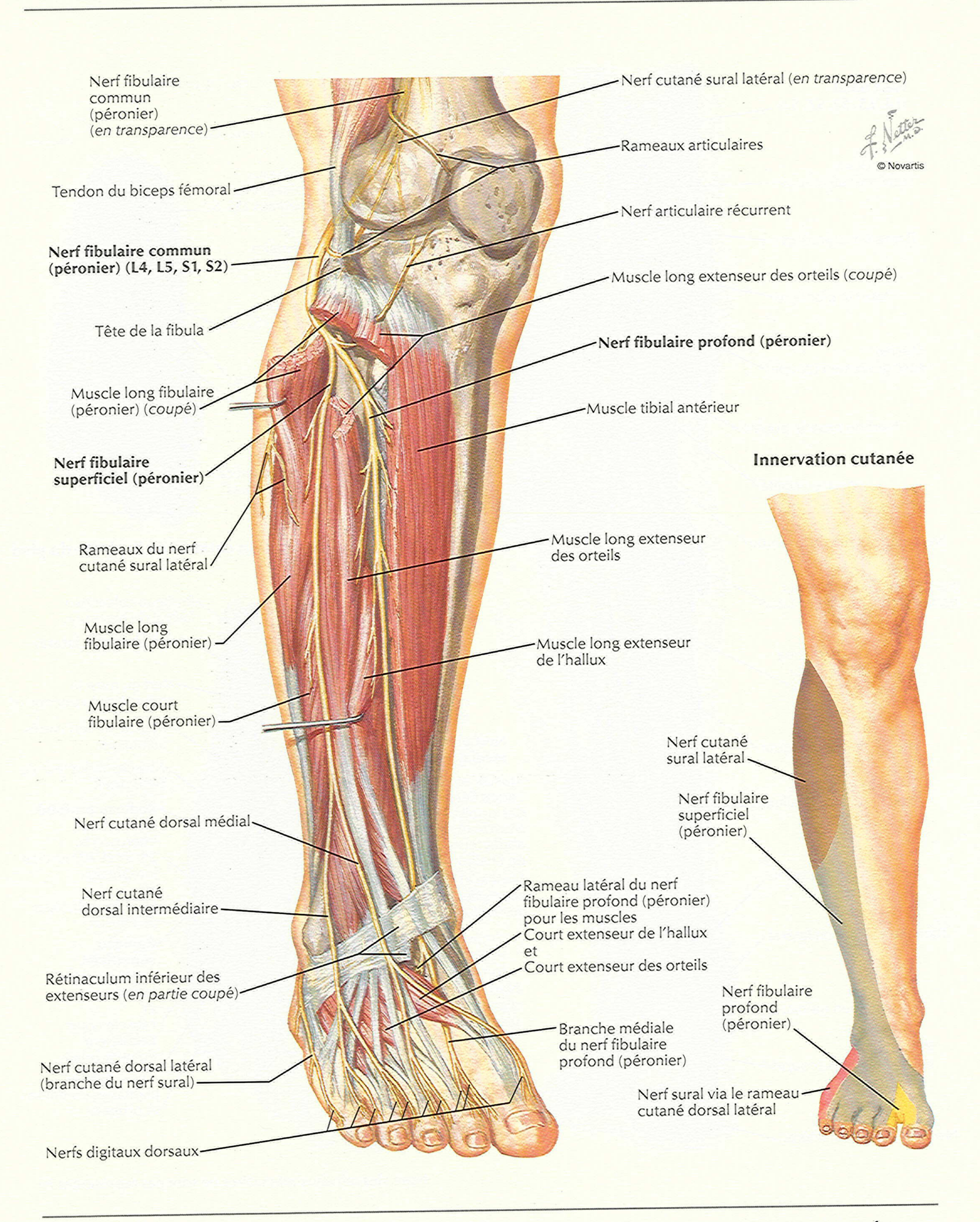


Nerf tibial



Nerf tibial
(L4, L5, S1, S2, S3)
Nerf fibulaire commun (péronier)
Rameau articulaire
Nerf cutané sural latéral (coupé)
Nerf cutané
sural médial (coupé)
Rameaux articulaires
Muscle plantaire
Muscle
gastrocnémien (coupé)
Nerf du muscle poplité
Muscle poplité
Nerf interosseux de la jambe
Muscle soléaire (coupé et
partiellement récliné en haut)
Muscle long
fléchisseur
des orteils
Muscle tibial postérieur
Muscle long
fléchisseur de l'hallux
Nerf sural (coupé)
Rameau calcanéen latéral
Rameau
calcanéen médial
Rétinaculum
des fléchisseurs (coupé)
Nerf cutané dorsal latéral
F. Netter M.D.
© Novartis
Du nerf
tibial
Rameaux
calcanéens
médiaux (S1, S2)
Nerf
plantaire
médial (L4, L5)
Nerf
plantaire
latéral (S1, S2)
Nerf saphène
(L3, L4)
Nerf sural
(S1, S2) via
les rameaux
calcanéen latéral
et cutané dorsal
latéral
Innervation cutanée de la plante du pied
Rétinaculum
des fléchisseurs
(coupé)
Nerf
tibial
Rameau
calcanéen
médial
Nerf plantaire
médial
Muscle et nerf
courts fléchisseurs
des orteils
Muscle et nerf
abducteurs
de l'hallux
Muscle et nerf
courts fléchisseurs
de l'hallux
1er muscle
et nerf
lombricaux
Nerfs
digitaux
plantaires
communs
Nerfs
digitaux
plantaires
propres
Rameau calcanéen
latéral du nerf sural
Nerf plantaire latéral
Nerf du muscle
abducteur du petit orteil
Muscle et nerf carrés
plantaires
Muscle abducteur du
petit orteil
Rameau profond
des muscles
interosseux,
2e, 3e et 4e muscles
lombricaux
et
Muscle adducteur
de l'hallux
Rameau
superficiel
du 4e muscle
interosseux
et
Muscle court
fléchisseur
du petit orteil
Nerfs digitaux
plantaires communs
et propres
Note : les rameaux articulaires ne sont pas représentés ici

Nerf fibulaire commun (péronier)

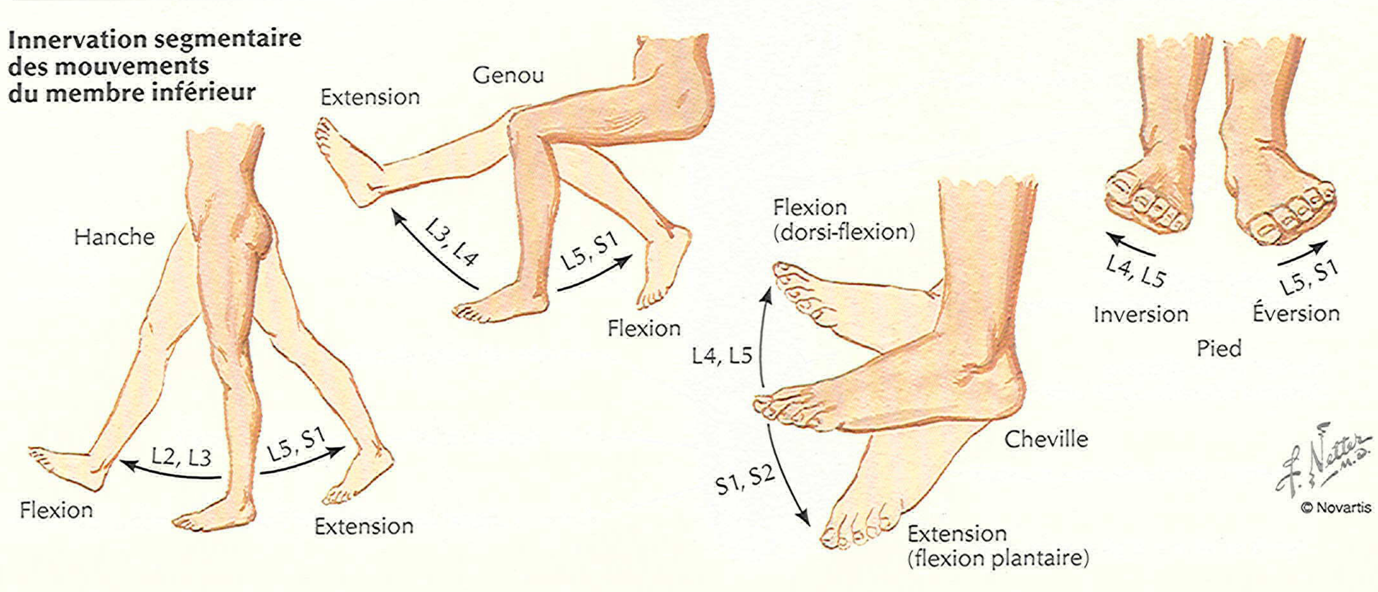


Dermatomes du membre inférieur

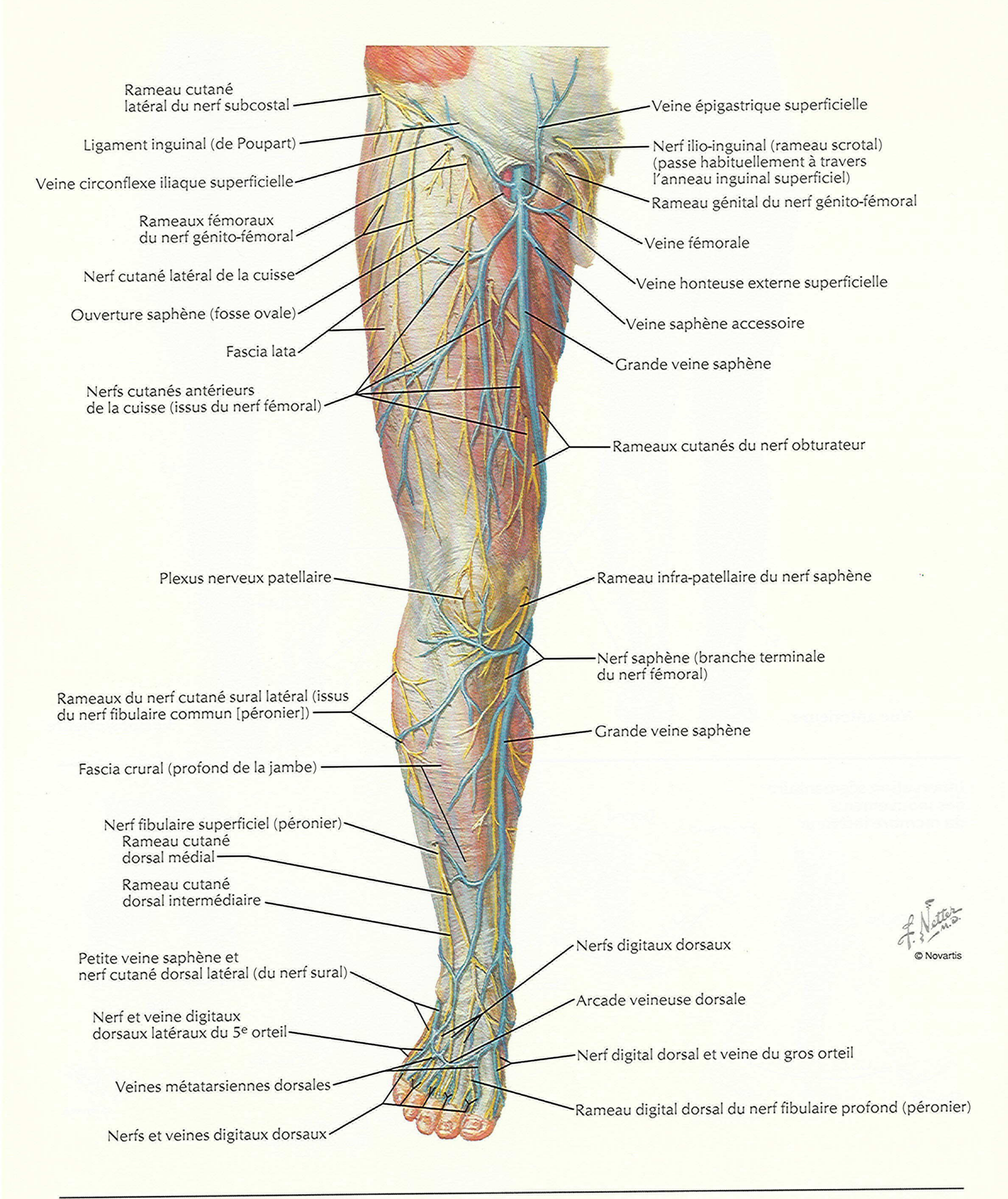
T10
T11
T12
L1
S2
S3
L2
L3
L4
L5
S1
Zones sensitives autonomes
L3
L4
L5
T12
L1
L2
L3
L4
L5
S1
S2
S3
S4
S5
Co
S2
L1
S2
S1
L2
L3
L5
L5
S1
L4
L4
L5
S1

Vue antérieure

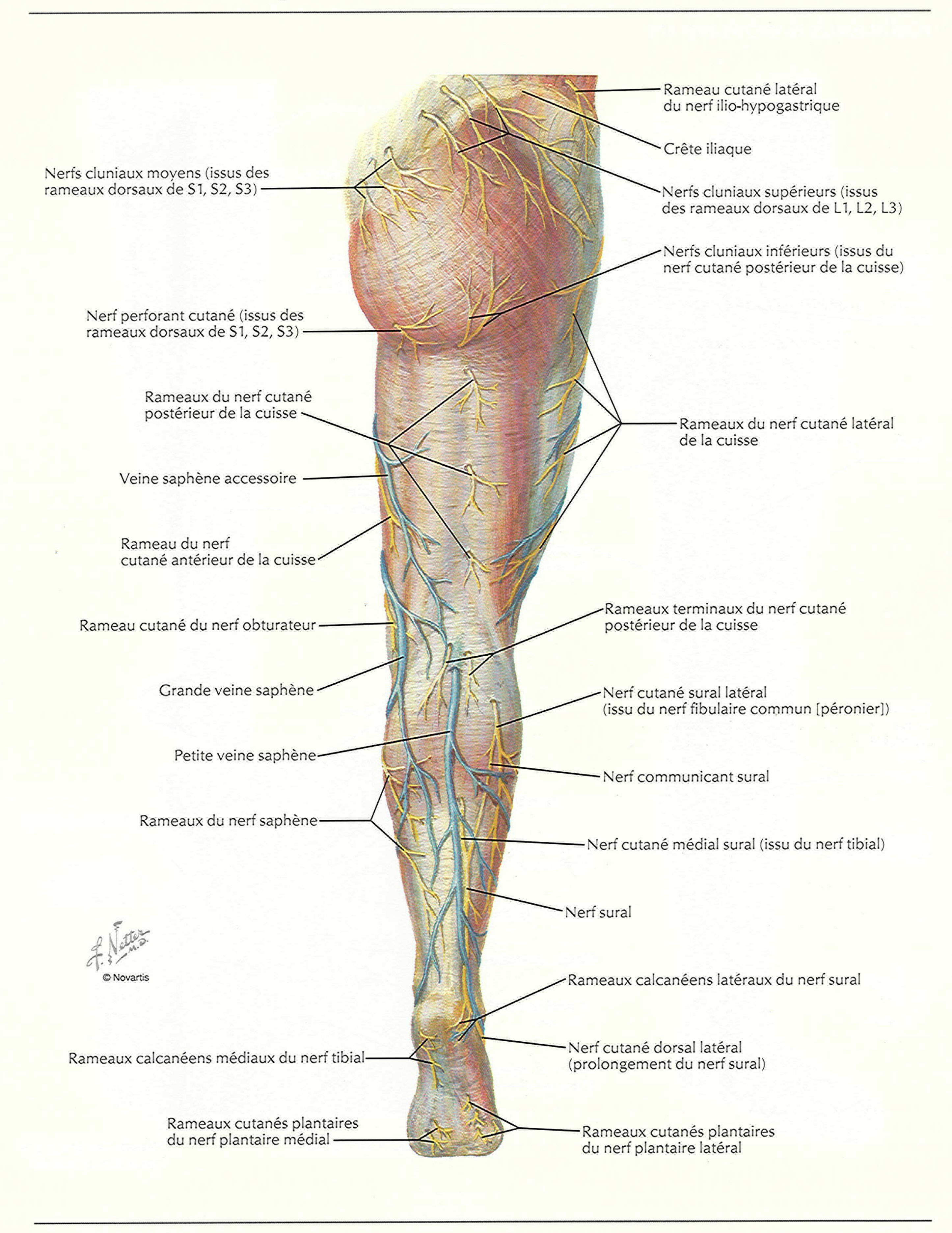
Vue postérieure



Nerfs et veines superficiels du membre inférieur : vue antérieure

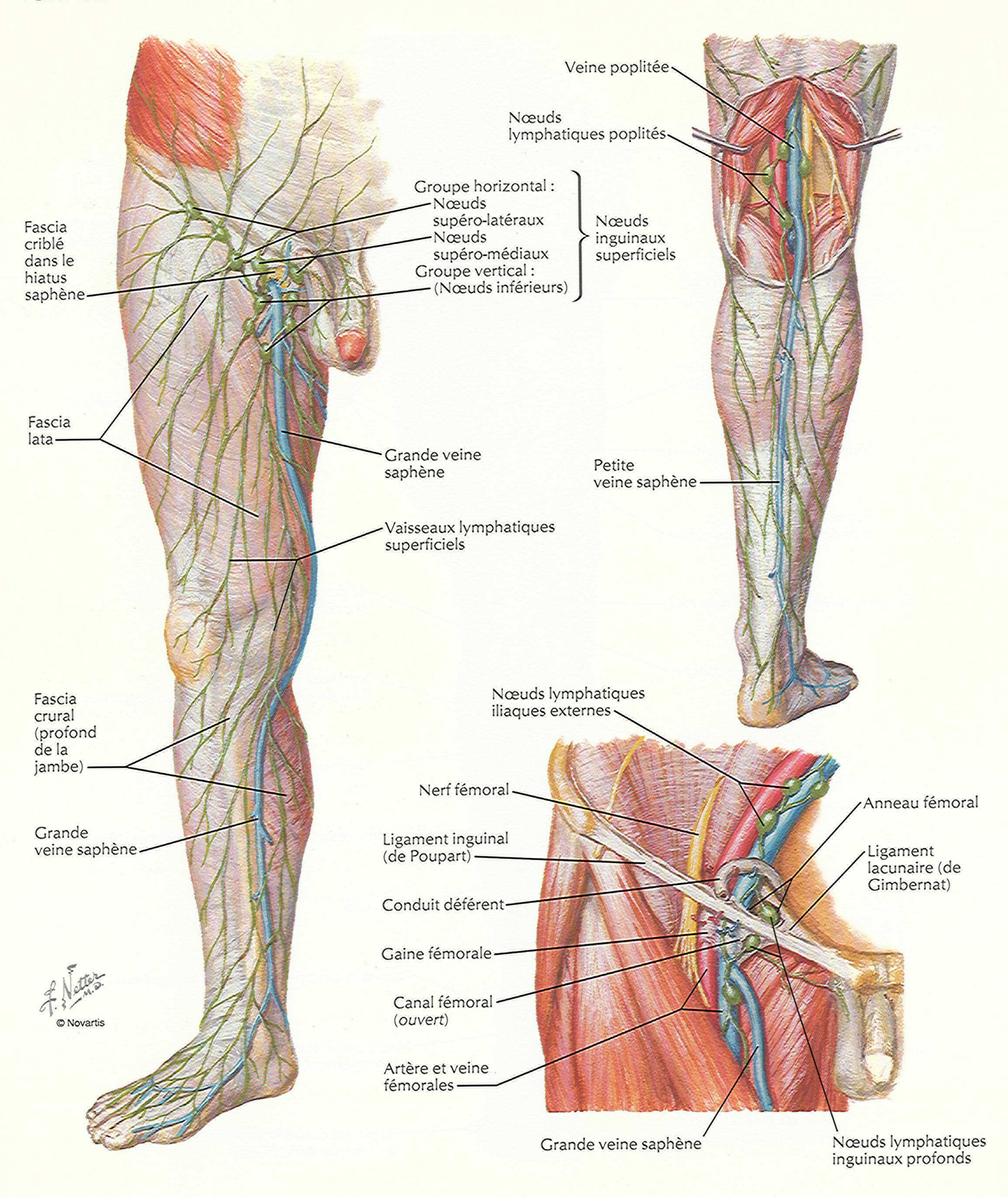


Nerfs et veines superficiels du membre inférieur : vue postérieure



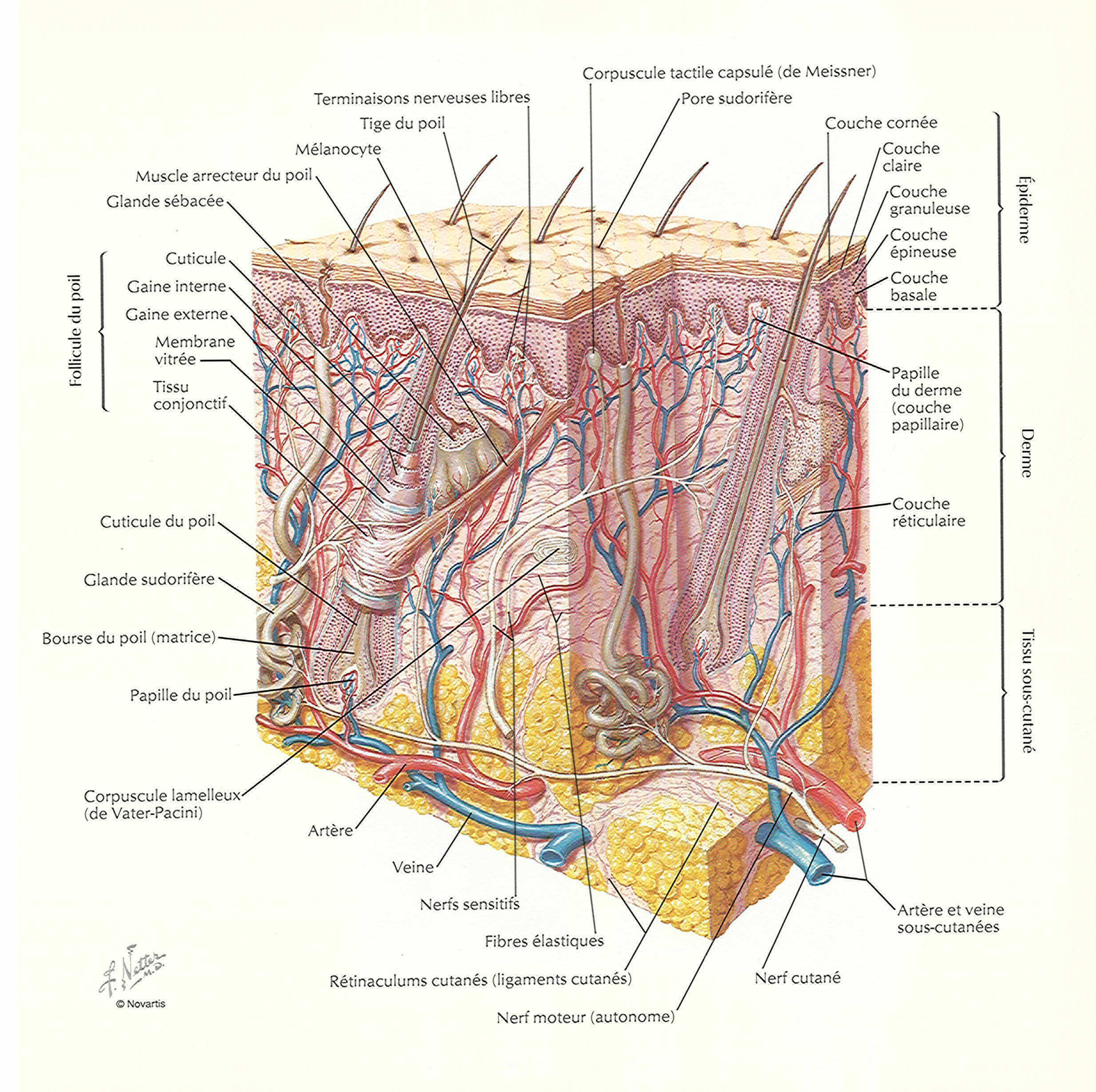
Vaisseaux et nœuds lymphatiques du membre inférieur

VOIR AUSSI LES PLANCHES 378, 379

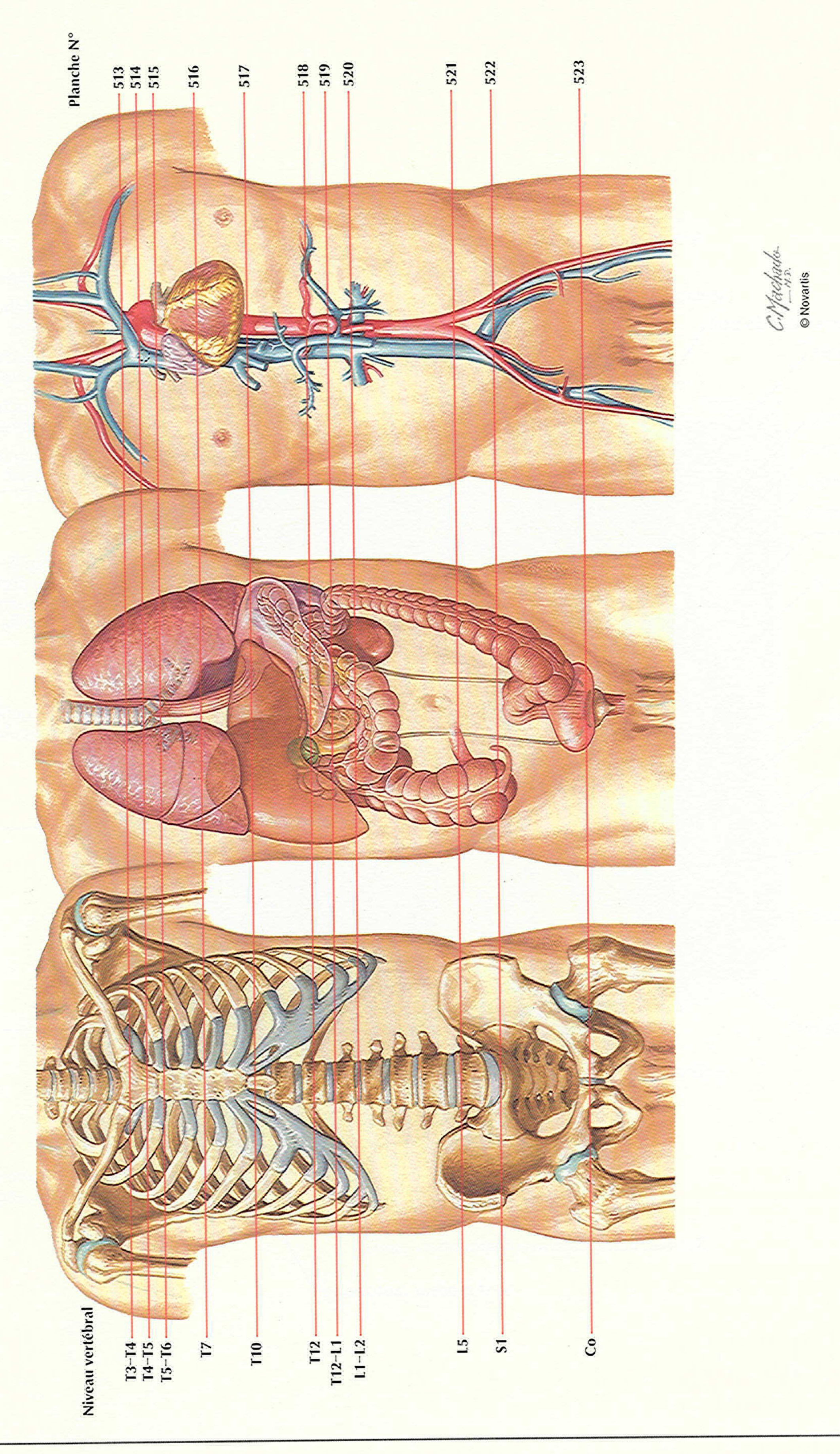


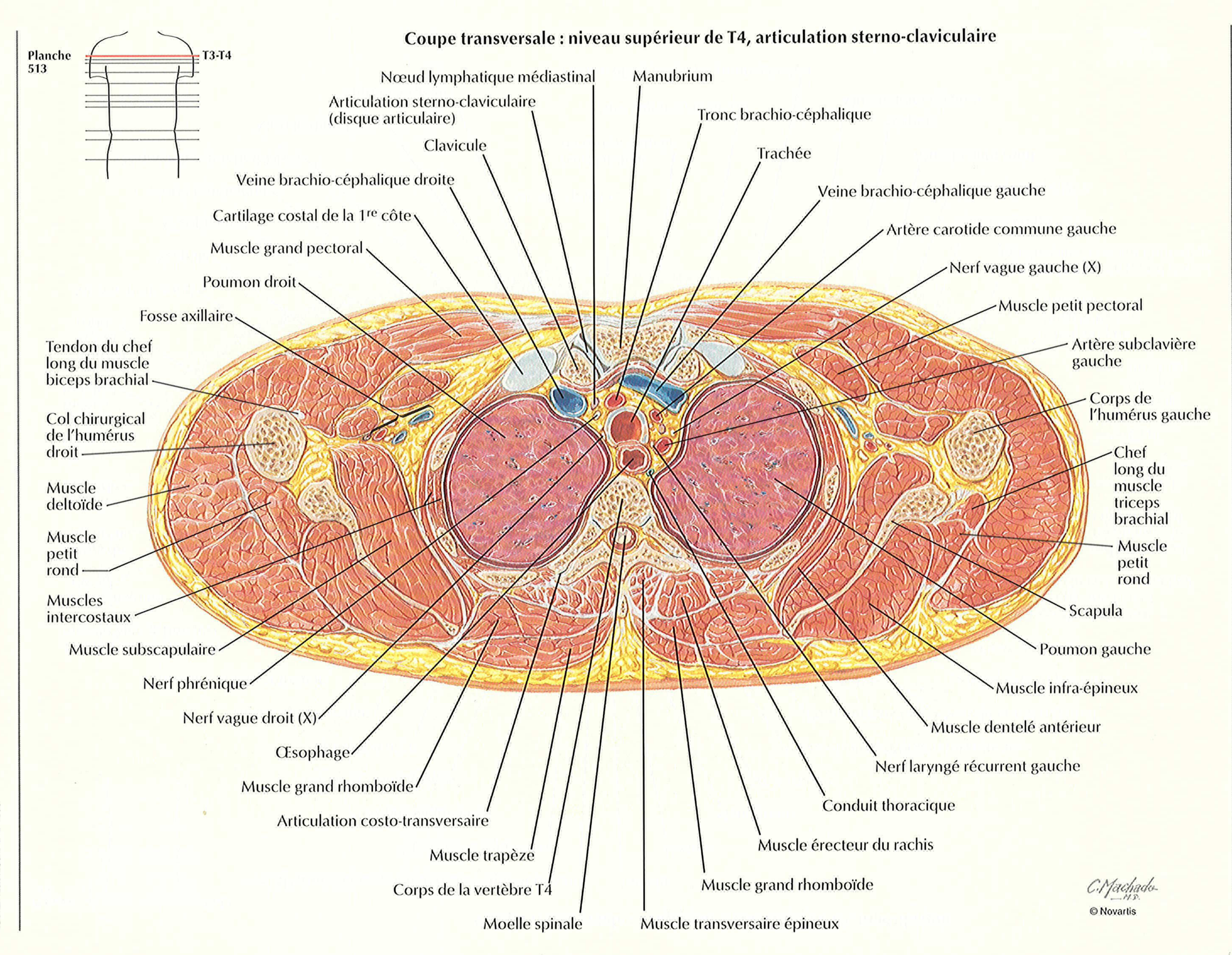
Section VIII

COUPE TRANSVERSALE ANATOMIQUE

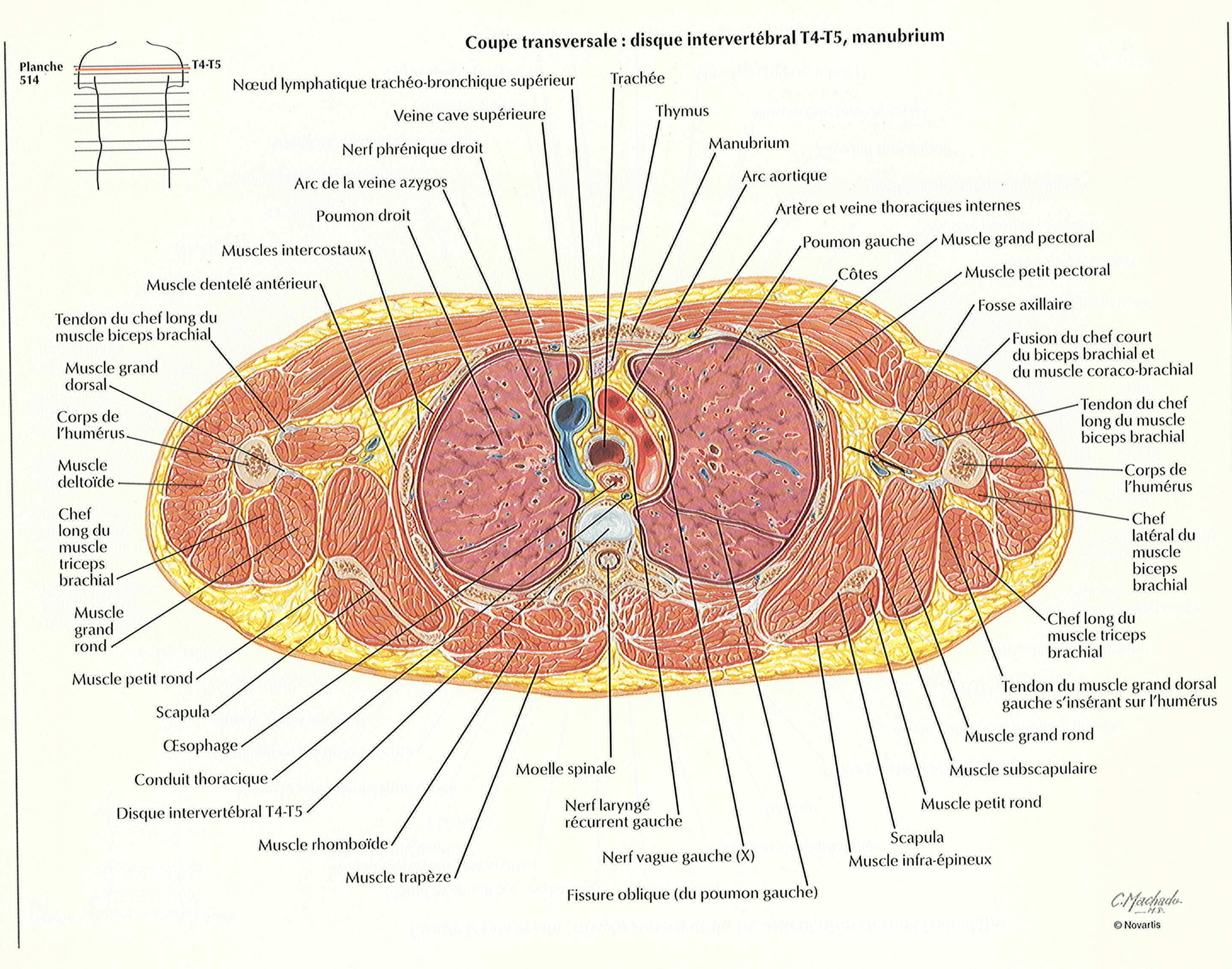

Corpuscule tactile capsulé (de Meissner)
Terminaisons nerveuses libres
Pore sudorifère
Tige du poil
Couche cornée
Mélanocyte
Couche claire
Muscle arrecteur du poil
Glande sébacée
Couche granuleuse
Couche épineuse
Épiderme
Cuticule
Couche basale
Follicule du poil
Gaine interne
Gaine externe
Membrane vitrée
Papille du derme (couche papillaire)
Tissu conjonctif
Derme
Couche réticulaire
Cuticule du poil
Glande sudorifère
Bourse du poil (matrice)
Tissu sous-cutané
Papille du poil
Corpuscule lamelleux (de Vater-Pacini)
Artère
Veine
Nerfs sensitifs
Artère et veine sous-cutanées
Fibres élastiques
Rétinaculums cutanés (ligaments cutanés)
Nerf cutané
Nerf moteur (autonome)
F. Netter M.D.
© Novartis

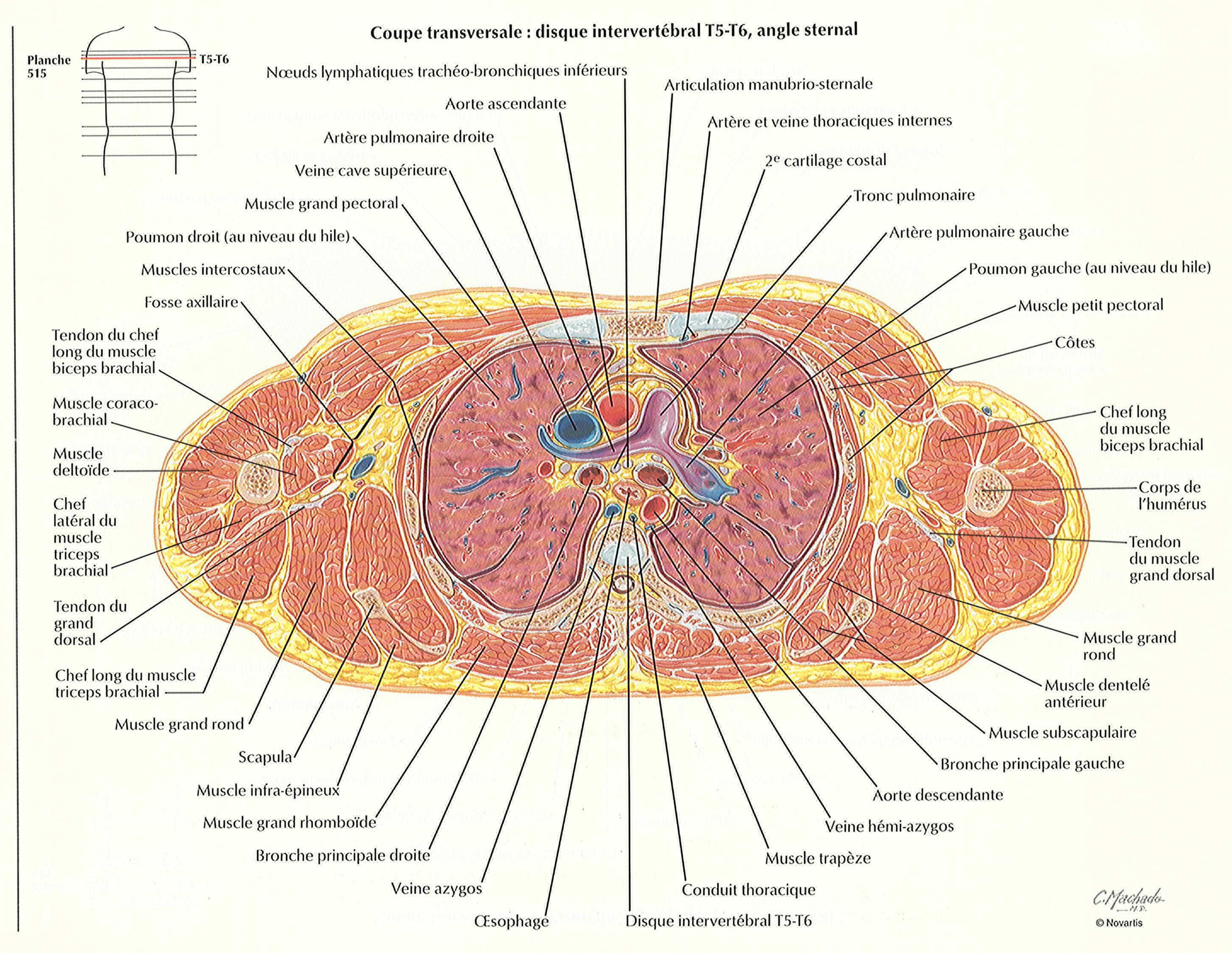
Figures-clés des coupes transversales




Coupe transversale : niveau supérieur de T4, articulation sterno-claviculaire
Planche 513
T3-T4
Nœud lymphatique médiastinal
Manubrium
Articulation sterno-claviculaire (disque articulaire)
Tronc brachio-céphalique
Clavicule
Trachée
Veine brachio-céphalique droite
Veine brachio-céphalique gauche
Cartilage costal de la 1re côte
Artère carotide commune gauche
Muscle grand pectoral
Nerf vague gauche (X)
Poumon droit
Muscle petit pectoral
Fosse axillaire
Artère subclavière gauche
Tendon du chef long du muscle biceps brachial
Corps de l'humérus gauche
Col chirurgical de l'humérus droit
Chef long du muscle triceps brachial
Muscle deltoïde
Muscle petit rond
Muscle petit rond
Muscles intercostaux
Scapula
Muscle subscapulaire
Poumon gauche
Nerf phrénique
Muscle infra-épineux
Nerf vague droit (X)
Muscle dentelé antérieur
Œsophage
Nerf laryngé récurrent gauche
Muscle grand rhomboïde
Conduit thoracique
Articulation costo-transversaire
Muscle érecteur du rachis
Muscle trapèze
Corps de la vertèbre T4
Muscle grand rhomboïde
Moelle spinale
Muscle transversaire épineux
C. Machado
© Novartis

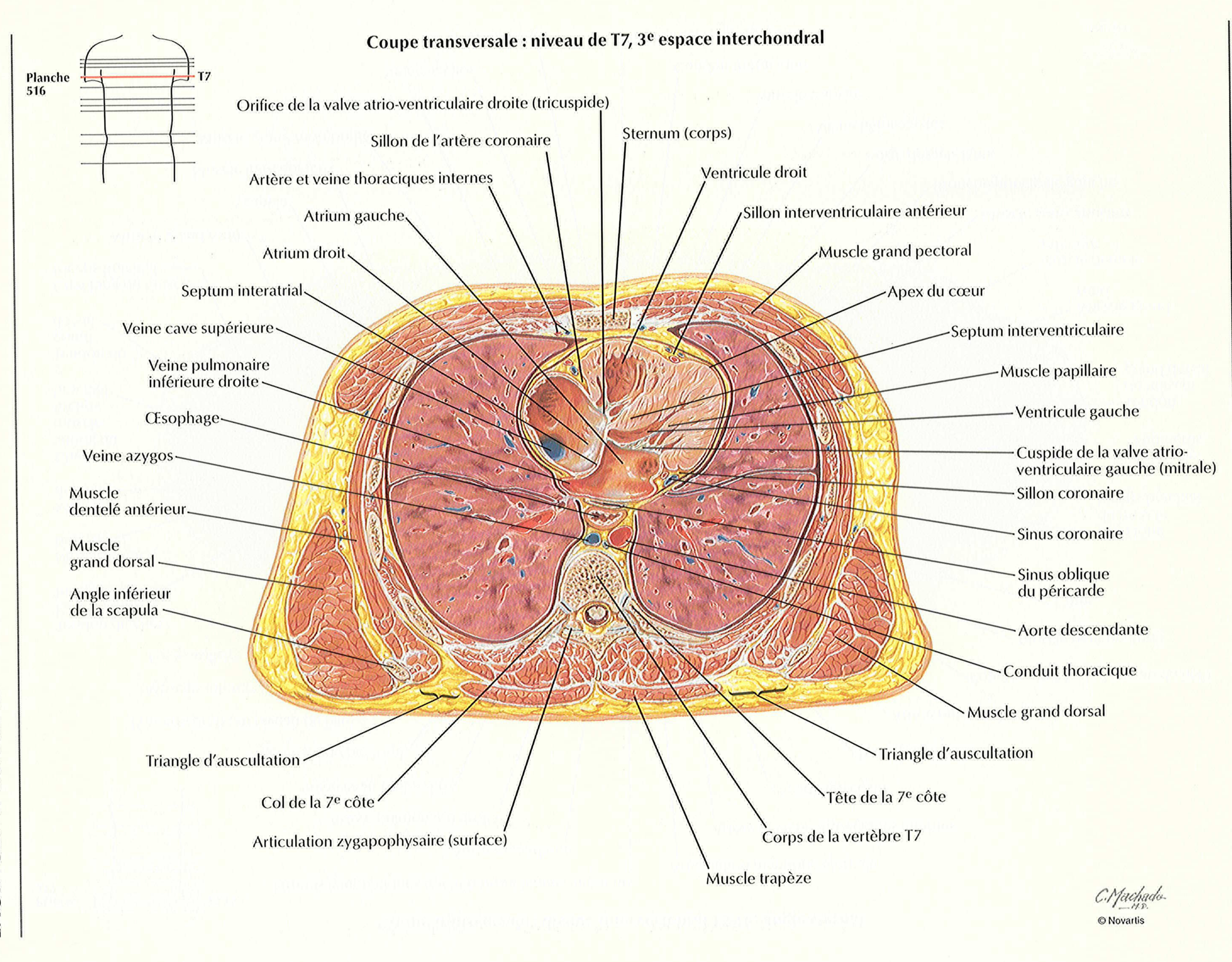
Thorax : arcs aortique et azygos

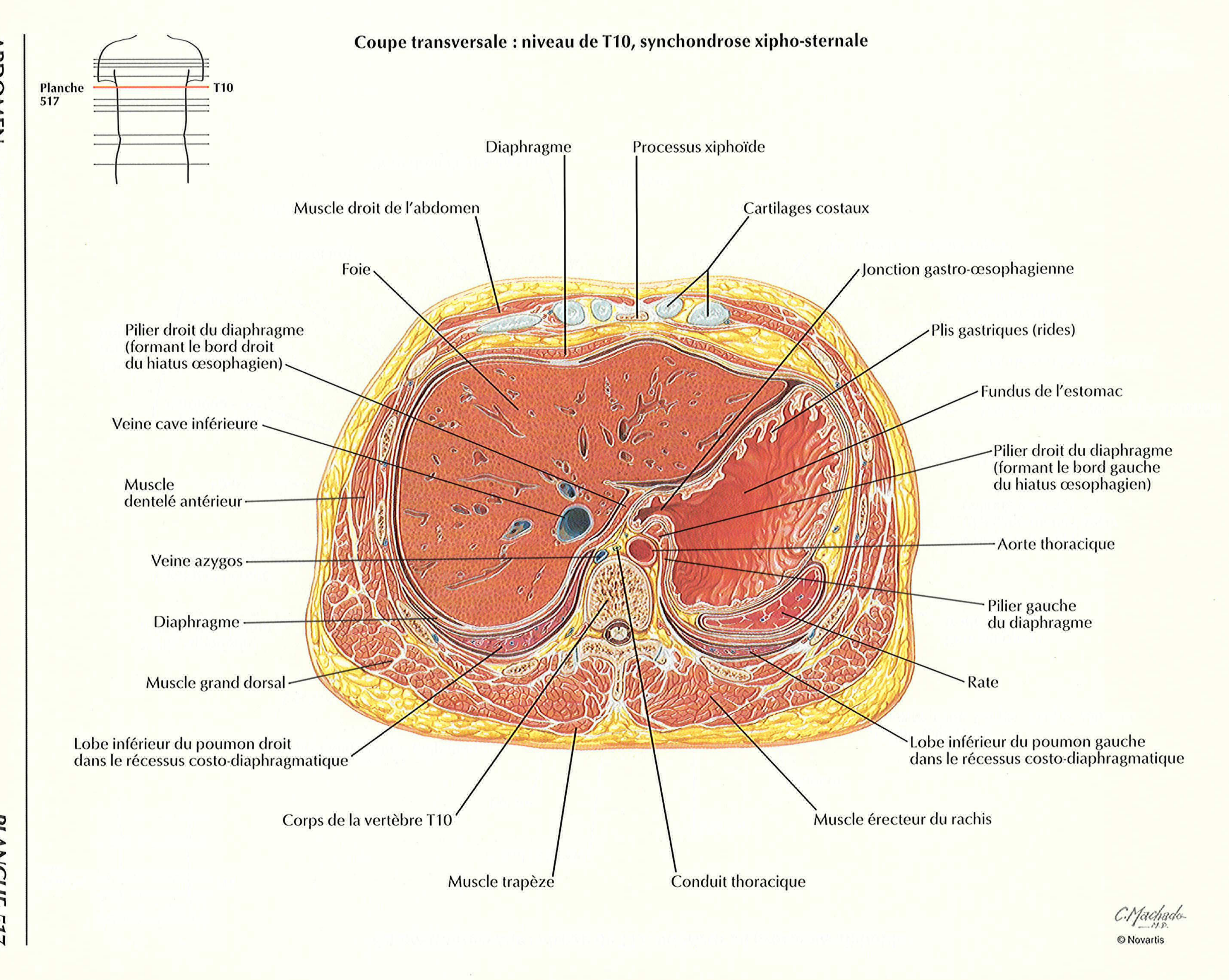




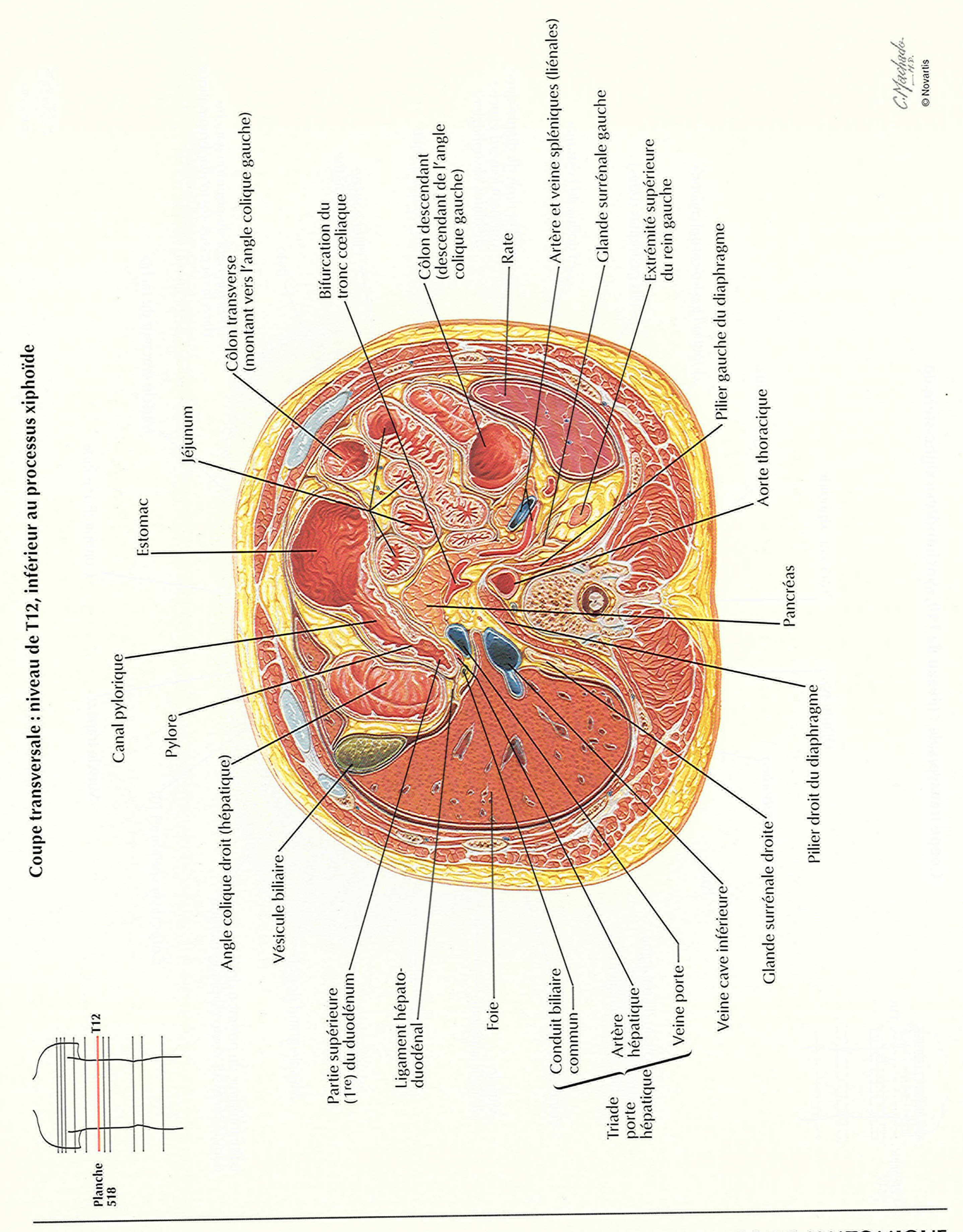
Coupe transversale : disque intervertébral T5-T6, angle sternal
Planche 515
T5-T6
Nœuds lymphatiques trachéo-bronchiques inférieurs
Articulation manubrio-sternale
Aorte ascendante
Artère et veine thoraciques internes
Artère pulmonaire droite
2e cartilage costal
Veine cave supérieure
Tronc pulmonaire
Muscle grand pectoral
Artère pulmonaire gauche
Poumon droit (au niveau du hile)
Poumon gauche (au niveau du hile)
Muscles intercostaux
Muscle petit pectoral
Fosse axillaire
Côtes
Tendon du chef long du muscle biceps brachial
Muscle coraco-brachial
Chef long du muscle biceps brachial
Muscle deltoïde
Corps de l'humérus
Chef latéral du muscle triceps brachial
Tendon du muscle grand dorsal
Tendon du grand dorsal
Muscle grand rond
Chef long du muscle triceps brachial
Muscle dentelé antérieur
Muscle grand rond
Muscle subscapulaire
Scapula
Bronche principale gauche
Muscle infra-épineux
Aorte descendante
Muscle grand rhomboïde
Veine hémi-azygos
Bronche principale droite
Muscle trapèze
Veine azygos
Conduit thoracique
Œsophage
Disque intervertébral T5-T6
C. Machado M.D.
© Novartis

Coupe transversale : niveau de T7, 3e espace interchondral



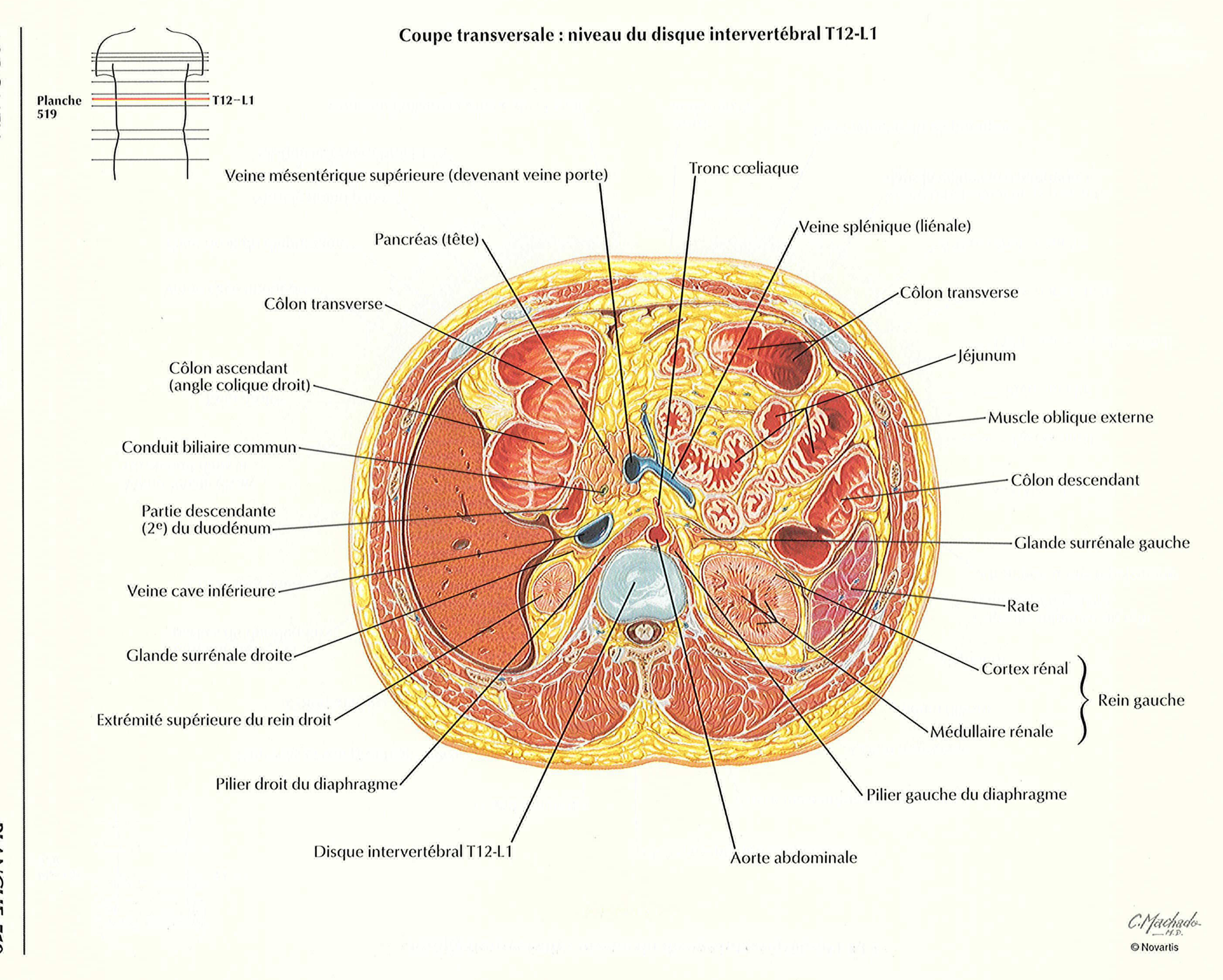

Coupe transversale : niveau de T10, synchondrose xipho-sternale
Planche 517
T10
Diaphragme
Processus xiphoïde
Muscle droit de l'abdomen
Cartilages costaux
Foie
Jonction gastro-œsophagienne
Pilier droit du diaphragme (formant le bord droit du hiatus œsophagien)
Plis gastriques (rides)
Fundus de l'estomac
Veine cave inférieure
Pilier droit du diaphragme (formant le bord gauche du hiatus œsophagien)
Muscle dentelé antérieur
Aorte thoracique
Veine azygos
Pilier gauche du diaphragme
Diaphragme
Rate
Muscle grand dorsal
Lobe inférieur du poumon droit dans le récessus costo-diaphragmatique
Lobe inférieur du poumon gauche dans le récessus costo-diaphragmatique
Corps de la vertèbre T10
Muscle érecteur du rachis
Muscle trapèze
Conduit thoracique
C. Machado M.D.
© Novartis

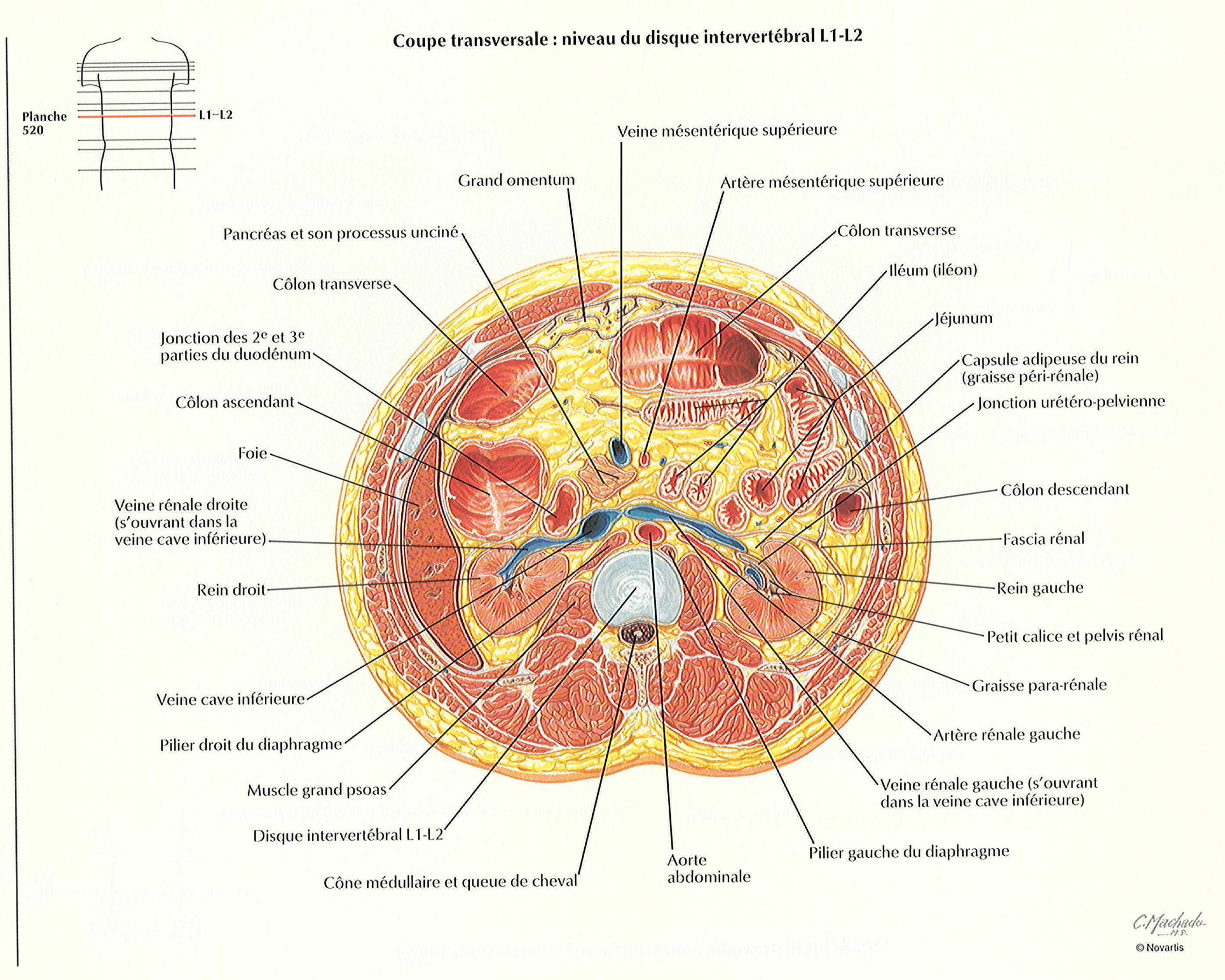
Abdomen : pylore et corps du pancréas



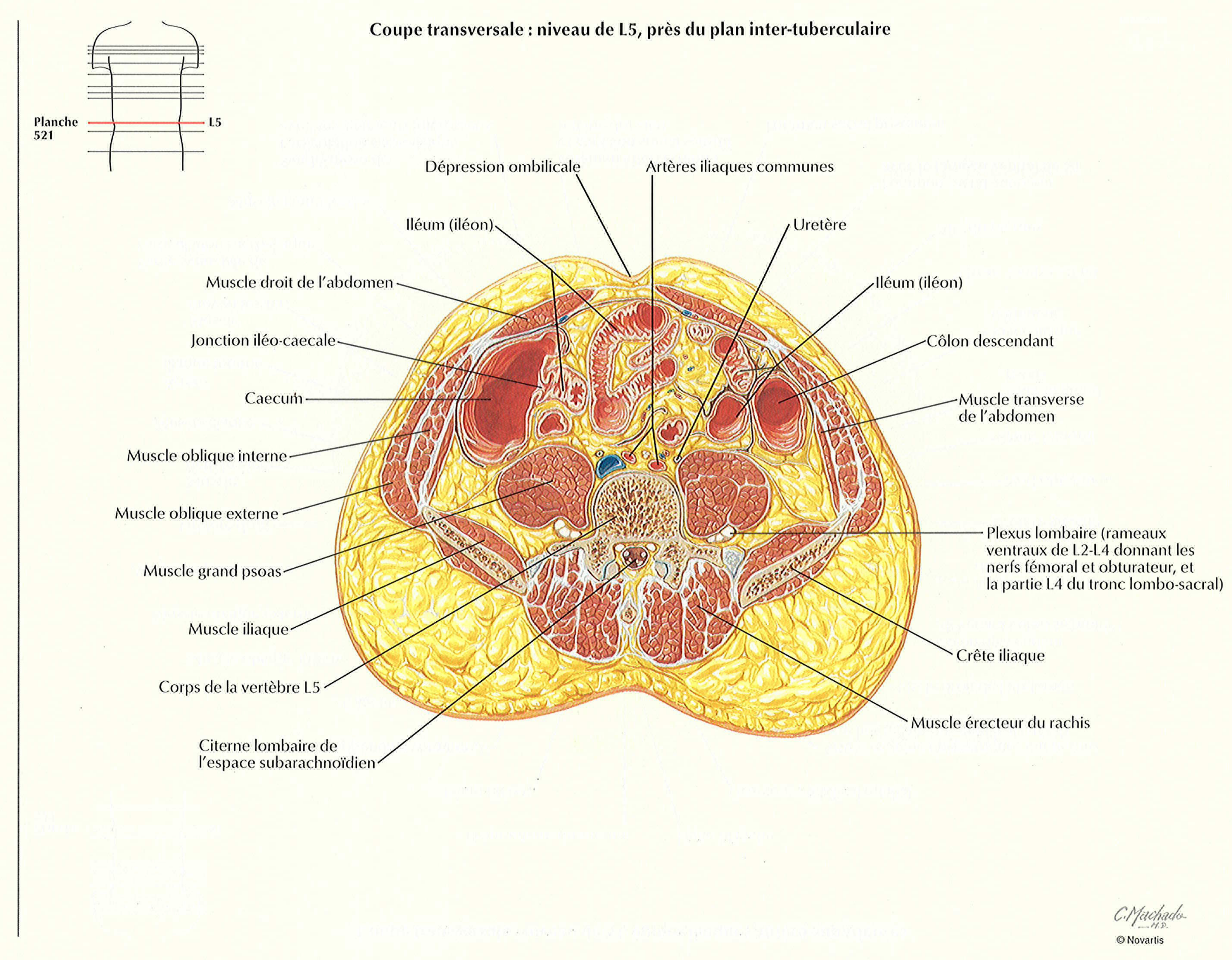
Coupe transversale : niveau de T12, inférieur au processus xiphoïde

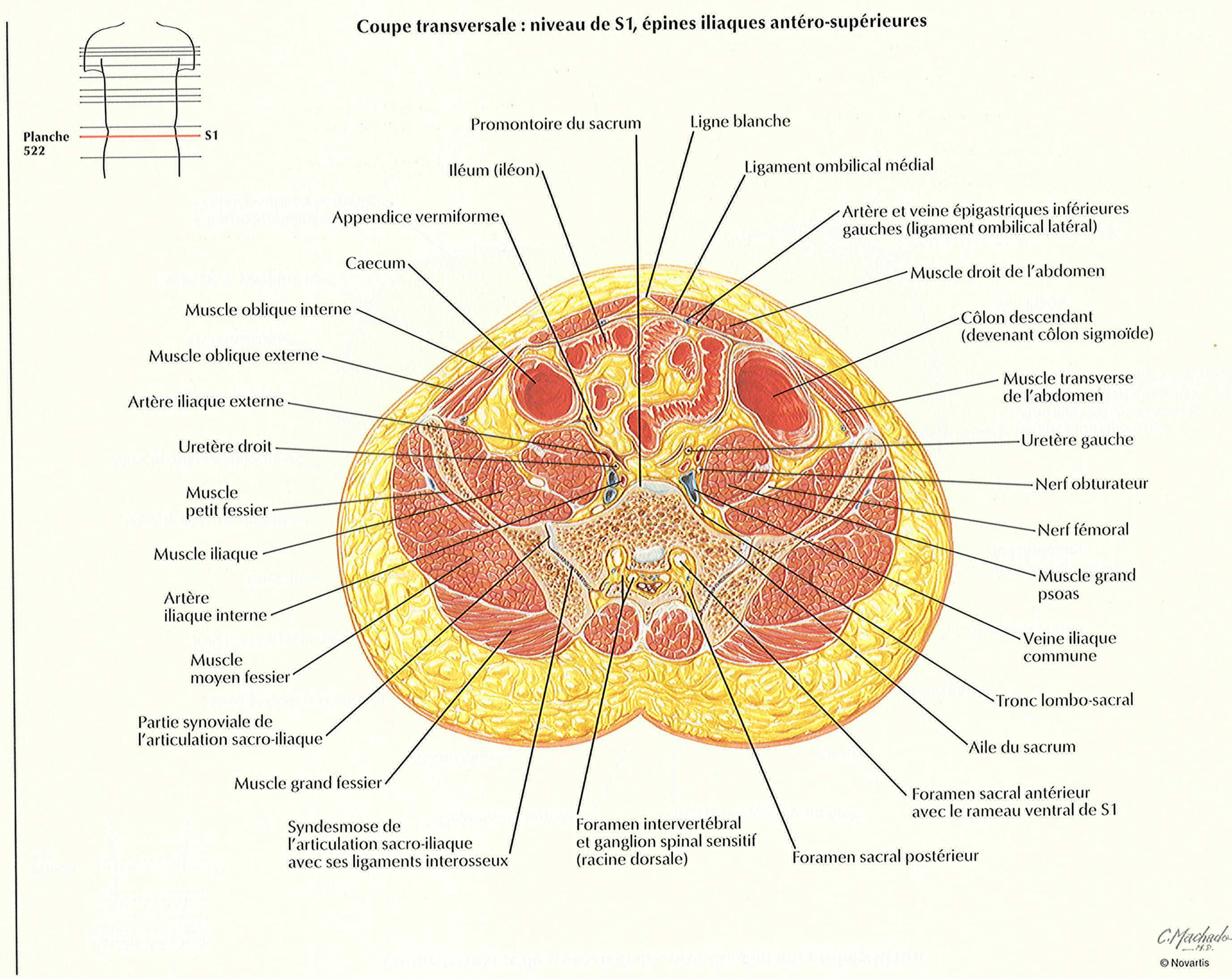
Coupe transversale : niveau du disque intervertébral T12-L1





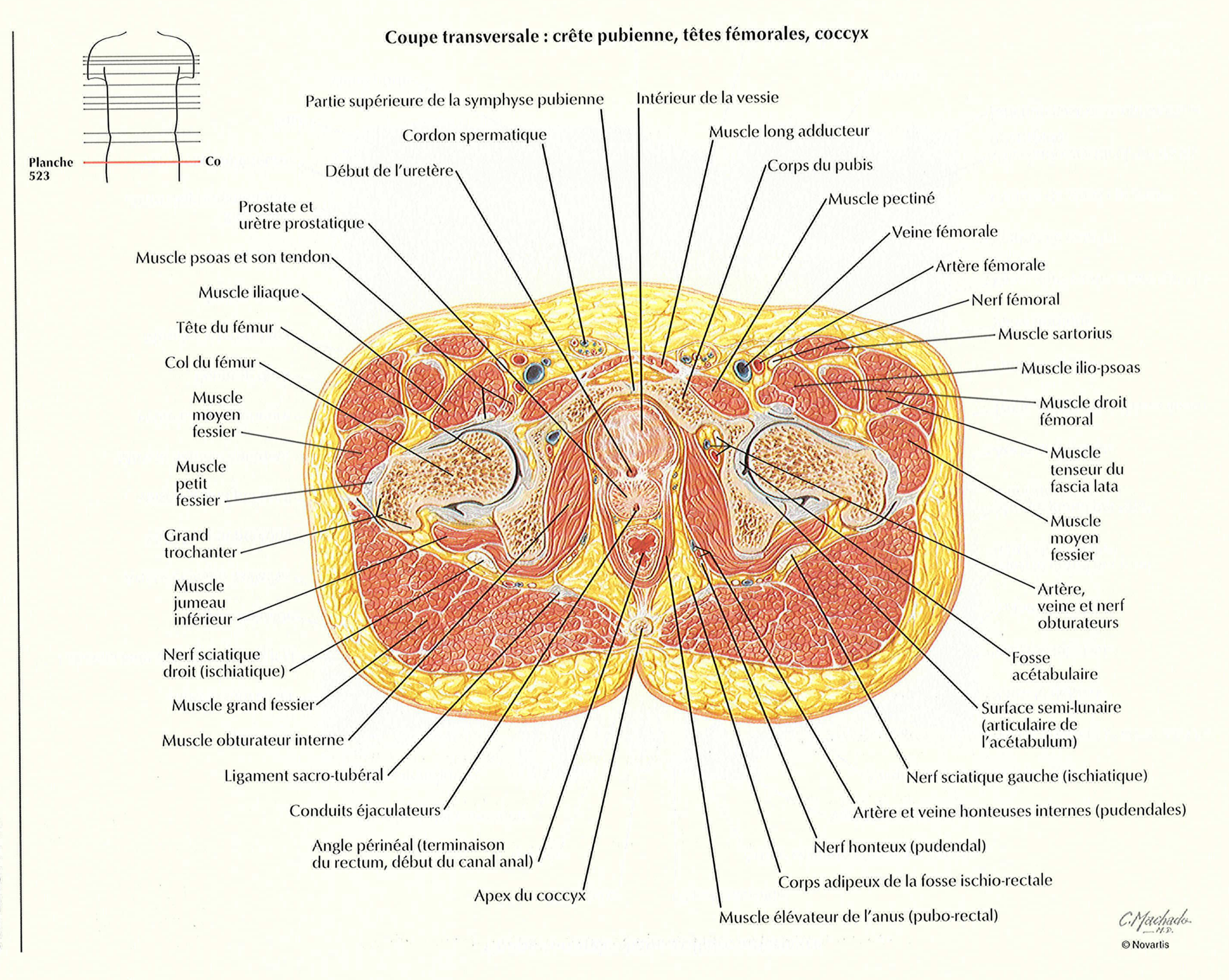
Coupe transversale : niveau du disque intervertébral L1-L2
Planche 520
L1–L2
Veine mésentérique supérieure
Grand omentum
Artère mésentérique supérieure
Pancréas et son processus unciné
Côlon transverse
Iléum (iléon)
Côlon transverse
Jéjunum
Jonction des 2e et 3e parties du duodénum
Capsule adipeuse du rein (graisse péri-rénale)
Côlon ascendant
Jonction urétéro-pelvienne
Foie
Côlon descendant
Veine rénale droite (s'ouvrant dans la veine cave inférieure)
Fascia rénal
Rein droit
Rein gauche
Petit calice et pelvis rénal
Graisse para-rénale
Veine cave inférieure
Artère rénale gauche
Pilier droit du diaphragme
Muscle grand psoas
Veine rénale gauche (s'ouvrant dans la veine cave inférieure)
Disque intervertébral L1-L2
Pilier gauche du diaphragme
Aorte abdominale
Cône médullaire et queue de cheval
C. Machado M.D.
© Novartis

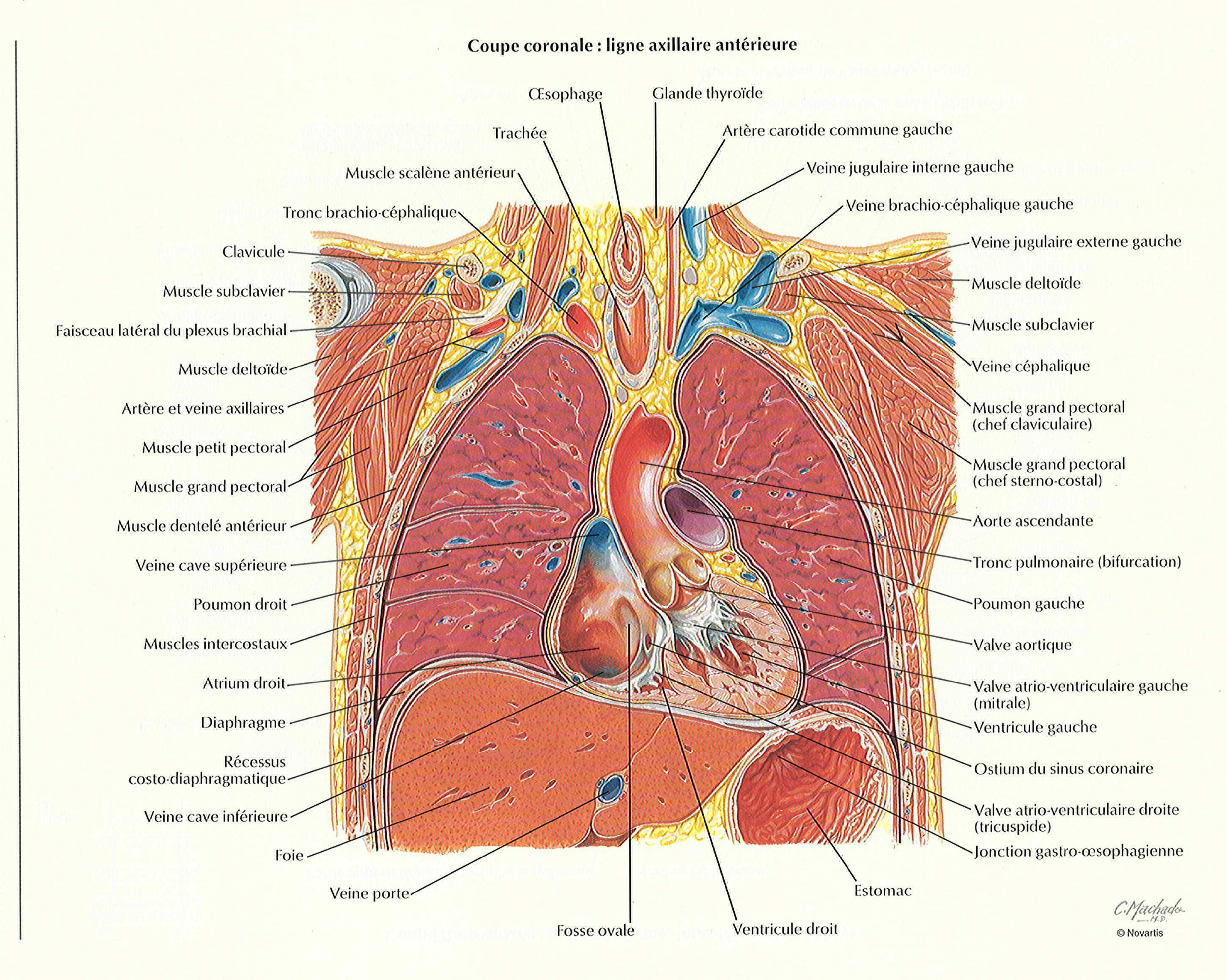

Coupe transversale : niveau de L5, près du plan inter-tuberculaire
Planche 521
L5
Dépression ombilicale
Artères iliaques communes
Iléum (iléon)
Uretère
Muscle droit de l'abdomen
Iléum (iléon)
Jonction iléo-caecale
Côlon descendant
Caecum
Muscle transverse de l'abdomen
Muscle oblique interne
Muscle oblique externe
Plexus lombaire (rameaux ventraux de L2-L4 donnant les nerfs fémoral et obturateur, et la partie L4 du tronc lombo-sacral)
Muscle grand psoas
Muscle iliaque
Crête iliaque
Corps de la vertèbre L5
Muscle érecteur du rachis
Citerne lombaire de l'espace subarachnoïdien
C.Machado M.D.
© Novartis



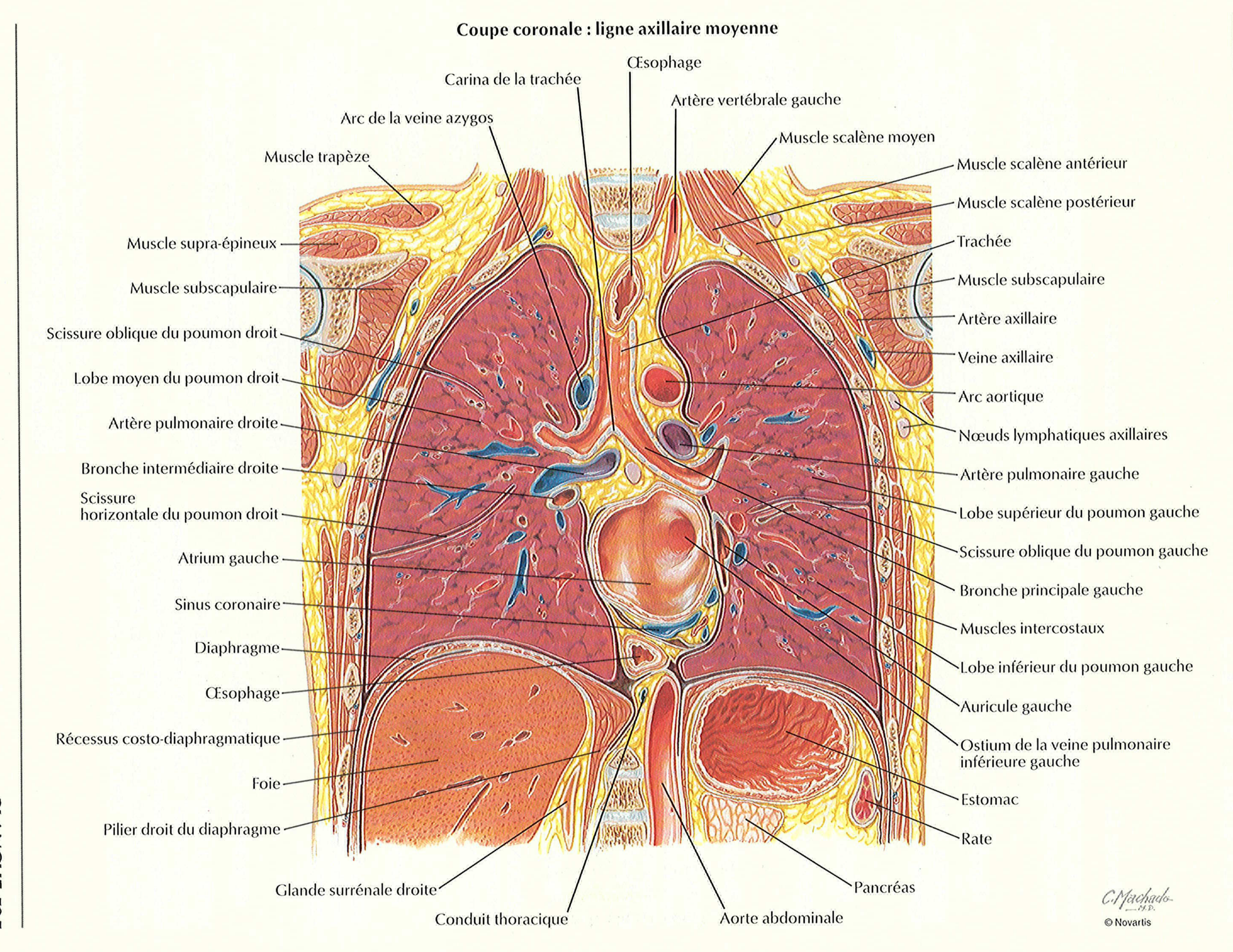
Coupe transversale : niveau de S1, épines iliaques antéro-supérieures
Planche 522
S1
Promontoire du sacrum
Ligne blanche
Iléum (iléon)
Ligament ombilical médial
Appendice vermiforme
Artère et veine épigastriques inférieures gauches (ligament ombilical latéral)
Caecum
Muscle droit de l'abdomen
Muscle oblique interne
Côlon descendant (devenant côlon sigmoïde)
Muscle oblique externe
Muscle transverse de l'abdomen
Artère iliaque externe
Uretère droit
Uretère gauche
Nerf obturateur
Muscle petit fessier
Nerf fémoral
Muscle iliaque
Muscle grand psoas
Artère iliaque interne
Veine iliaque commune
Muscle moyen fessier
Tronc lombo-sacral
Partie synoviale de l'articulation sacro-iliaque
Aile du sacrum
Muscle grand fessier
Foramen sacral antérieur avec le rameau ventral de S1
Syndesmose de l'articulation sacro-iliaque avec ses ligaments interosseux
Foramen intervertébral et ganglion spinal sensitif (racine dorsale)
Foramen sacral postérieur
C.Machado M.D.
© Novartis

Pelvis masculin : jonction vésico-prostatique




Coupe coronale : ligne axillaire antérieure
Œsophage
Glande thyroïde
Trachée
Artère carotide commune gauche
Muscle scalène antérieur
Veine jugulaire interne gauche
Tronc brachio-céphalique
Veine brachio-céphalique gauche
Clavicule
Veine jugulaire externe gauche
Muscle subclavier
Muscle deltoïde
Faisceau latéral du plexus brachial
Muscle subclavier
Muscle deltoïde
Veine céphalique
Artère et veine axillaires
Muscle grand pectoral (chef claviculaire)
Muscle petit pectoral
Muscle grand pectoral
Muscle grand pectoral (chef sterno-costal)
Muscle dentelé antérieur
Aorte ascendante
Veine cave supérieure
Tronc pulmonaire (bifurcation)
Poumon droit
Poumon gauche
Muscles intercostaux
Valve aortique
Atrium droit
Valve atrio-ventriculaire gauche (mitrale)
Diaphragme
Ventricule gauche
Récessus costo-diaphragmatique
Ostium du sinus coronaire
Veine cave inférieure
Valve atrio-ventriculaire droite (tricuspide)
Foie
Jonction gastro-œsophagienne
Veine porte
Estomac
Fosse ovale
Ventricule droit
C. Machado M.D.
© Novartis

Coupe coronale : ligne axillaire moyenne



RÉFÉRENCES

Planche 52

BRAUS, H. *Anatomie des Menschen*, Berlin, Verlag von Julius Springer, 1924.

Planche 85

NISHIDA, S. *The Structure of the Eye*, New York, Elsevier North-Holland, 1982.

Planche 150

KEEGAN, J.J. *J. Neurosurg.*, 1947 ; 4:115.

Planche 158

TURNBULL, I.M. «Blood supply of the spinal cord», dans Vinken P.J., Bruyn G.W. (éditeurs). *Handbook of Clinical Neurology*, XII, Amsterdam, Pays-Bas, 1972, p. 478-491.

Planches 188, 189

JACKSON, C.L. et HUBER, J.F. «Correlated applied anatomy of the bronchial tree and lungs with a system of nomenclature», *Dis. Chest*, 1943 ; 9:319-326.

Planche 191

IKEDA, S., ONO, Y., MIYAZAWA, S. *et al.* «Flexible broncho-fiberscope», *Otolaryngology* (Tokyo), 1970 ; 42:855-861.

Planches 236, 343, 345, 353, 357

MYERS, R.P., KING, B.F. et CAHILL, D.R. «Deep perineal "space" as defined by magnetic resonance imaging», presented at *14th Annual Scientific Session of the American Association of Clinical Anatomists*, Honolulu, HI, 1997, (Abstract: *Clin. Anat.*, 1998 ; 11).

Planche 265

DIDIO, L.J.A. «Anatomo-Fisiologia do Piloro ileo-ceco-colica no homem», *Actas das Primeiras Jornadas Interuniversitarias Argentinas de Gastroenterologia*, Rosario, 1954.

DIDIO, L.J.A. *Dados anatomicos sobre o «piloro» ileo-ceco-colico.* (Com observacao direta in vivo de «papila» ileo-ceco-colica.) (English summary), thèse, Faculté de médecine, Université de São Paulo, 1952.

Planche 273

HEALEY, J.E. Jr, SCHROY. «Anatomy of the biliary duct within the human liver; analysis of the prevailing pattern of branchings and the major variations of the biliary ducts», *Arch. Surg.*, 1953 ; 66:599.

HEALEY, J.E. Jr et SÖRENSEN. «The intrahepatic distribution of the hepatic artery in man», *J. Int. Coll. Surg.*, 1953 ; 20:133.

Planches 274, 275

ELIAS, H. «Liver morphology», *Biol. Rev.*, 1955 ; 30:263.

ELIAS, H. «Origin and early development of the liver in various vertebrates», *Act. Hepat.*, 1955 ; 3:1.

ELIAS, H. «Morphology of the liver», dans *Liver Injury*, Trans 11th Conference, New York, Macy Foundation, 1953.

ELIAS, H. «A re-examination of the structure of the mammalian liver; the hepatic lobule and its relation to the vascular and biliary system», *Am. J. Anat.*, 1949 ; 85:379.

ELIAS, H. «A re-examination of the structure of the mammalian liver; parenchymal architecture», *Am. J. Anat.*, 1949 ; 84:311.

Planches 288, 289

MICHELS, N.A. *Blood Supply and Anatomy of the Upper Abdominal Organs, with a Descriptive Atlas*, Philadelphia, JB Lippincott, 1955.

Planche 312

THOMAS, M.D. Dans *The Ciba Collection of Medical Illustrations*, Vol. 3, Part II, Summit NJ, CIBA, p. 78.

Planches 329, 338, 358, 368, 385

STORMONT, T.J., CAHILL, D.R., KING, B.F. et MYERS, R.P. «Fascias of the male external genitalia and perineum», *Clin. Anat.*, 1994 ; 7:115.

Planches 333, 337, 342, 345, 351, 352

OELRICH, T.M. «The striated urogenital sphincter muscle in the female», *Anat. Rec.*, 1983 ; 205:223.

Planches 336, 338

MYERS, R.P., GOELLNER, J.R. et CAHILL, D.R. «Prostate shape, external striated urethral sphincter and radical prostatectomy: the apical dissection», *J. Urol.*, 1987 ; 138:543.

Planches 336, 338, 357, 358

OELRICH, T.M. «The urethral sphincter muscle in the male», *Am. J. Anat.*, 1980 ; 158:229.

Planche 378

FLOCKS, R.H., KERR, H.D., ELKINS, H.B. *et al.* «Treatment of carcinoma of the prostate by interstitial radiation with radio-active gold (Au198): A preliminary report», *J. Urol.*, 1952 ; 68(2):510-522.

Planche 455

KEEGAN, J.J. et GARRETT, F.D. «The segmental distribution of the cutaneous nerves in the limbs of man», *Anat. Rec.*, 1948 ; 102:409-437.

Planche 511

KEEGAN, J.J. *J. Bone Joint Surg.*, 1944 ; 26:238.

LAST, R.J. «Innervation of the limbs», *J. Bone Joint Surg.*, 1949 ; 31(B):452.

INDEX

Les références renvoient aux numéros des planches ; les numéros des planches en caractères gras renvoient aux sources principales

C

G

N

O

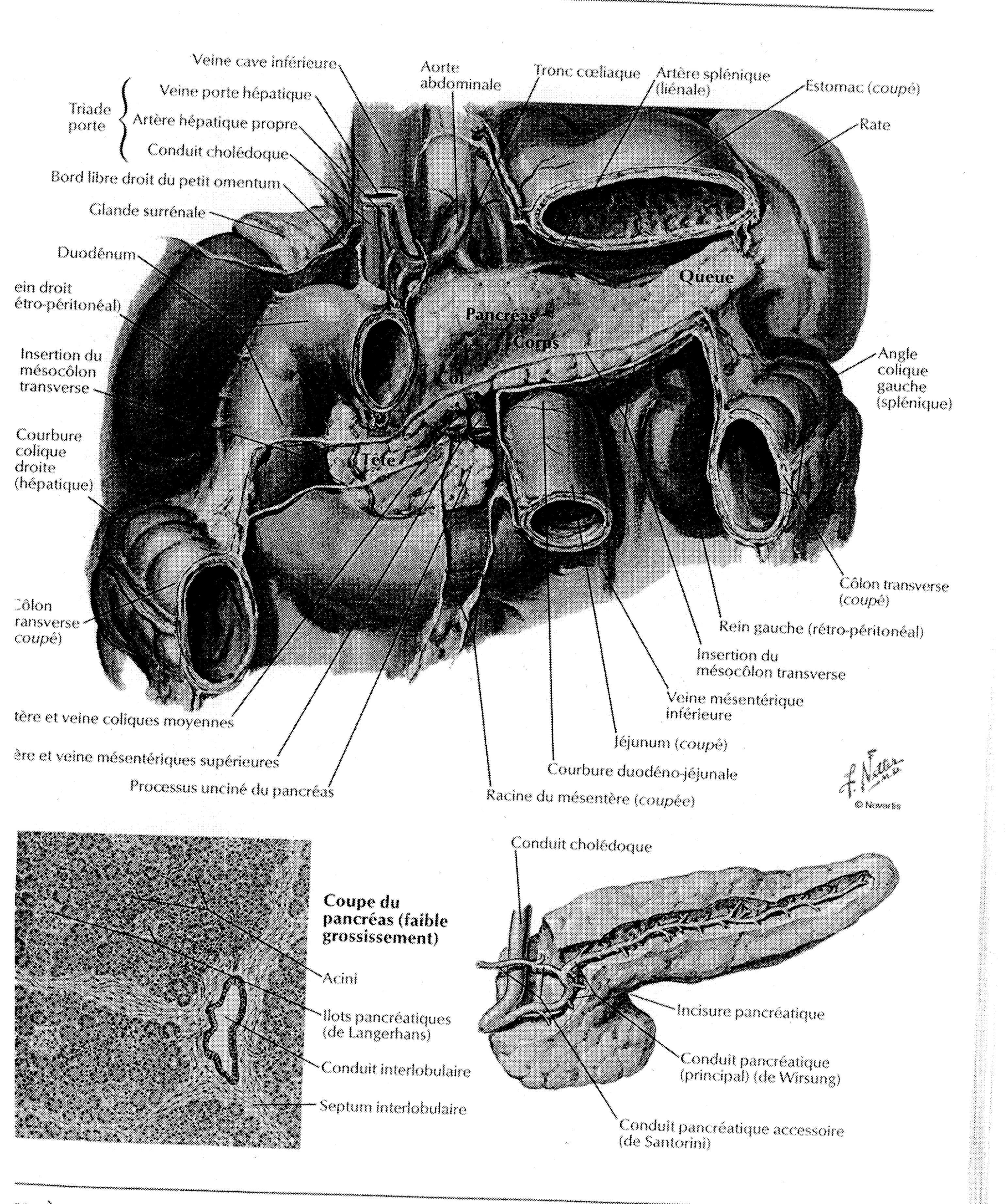
P

Q

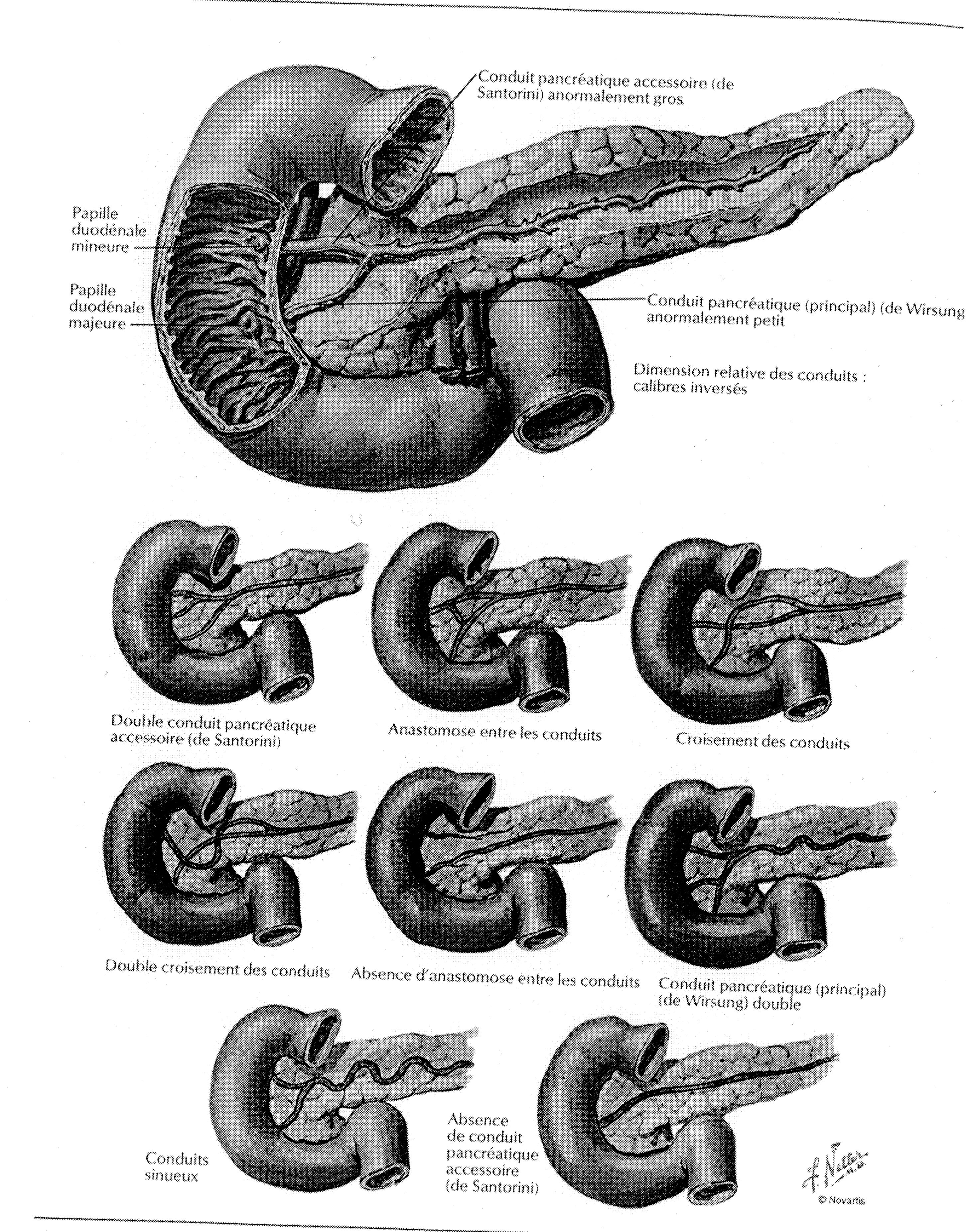
R

T

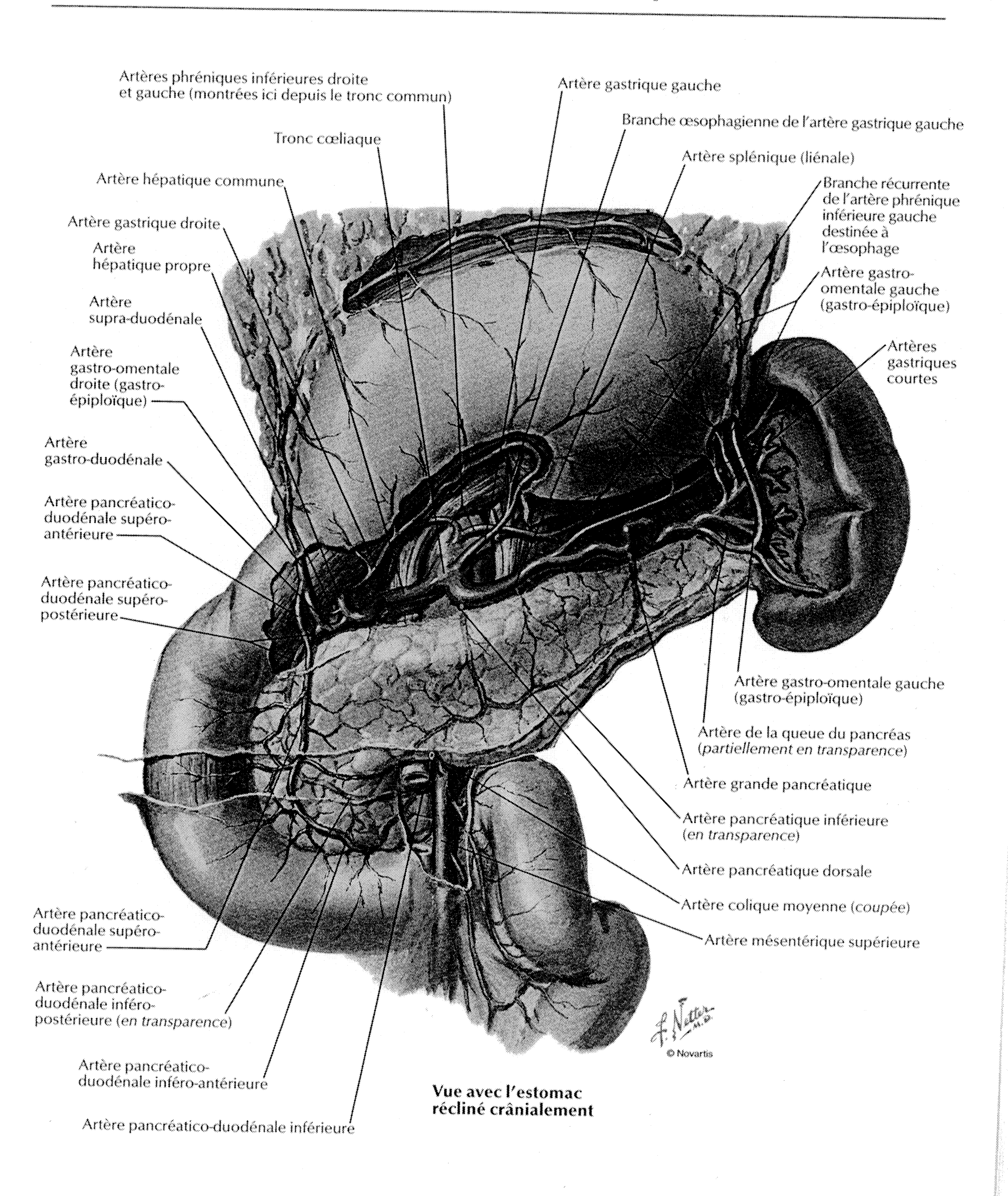
Pancréas in situ



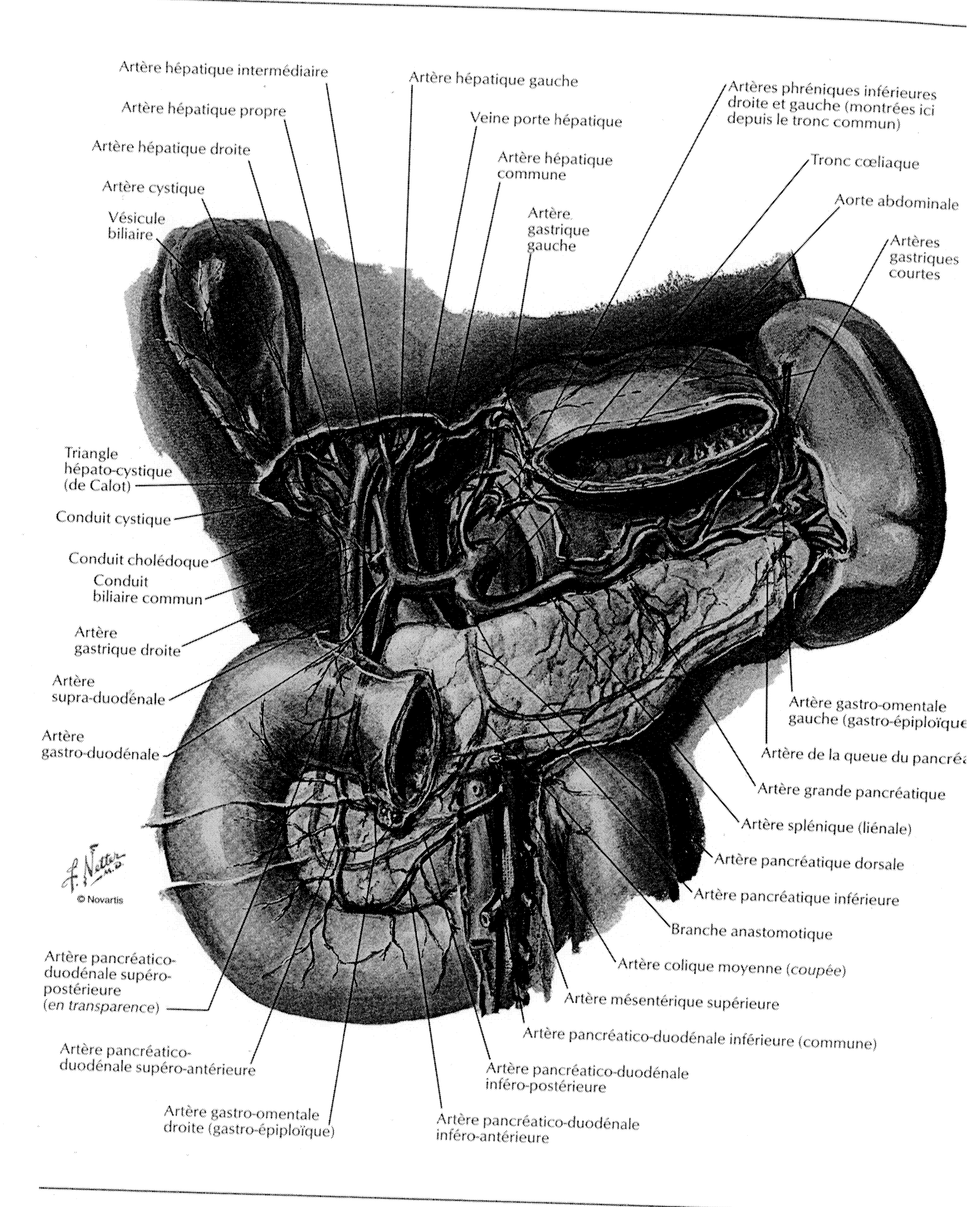
Variations des conduits pancréatiques



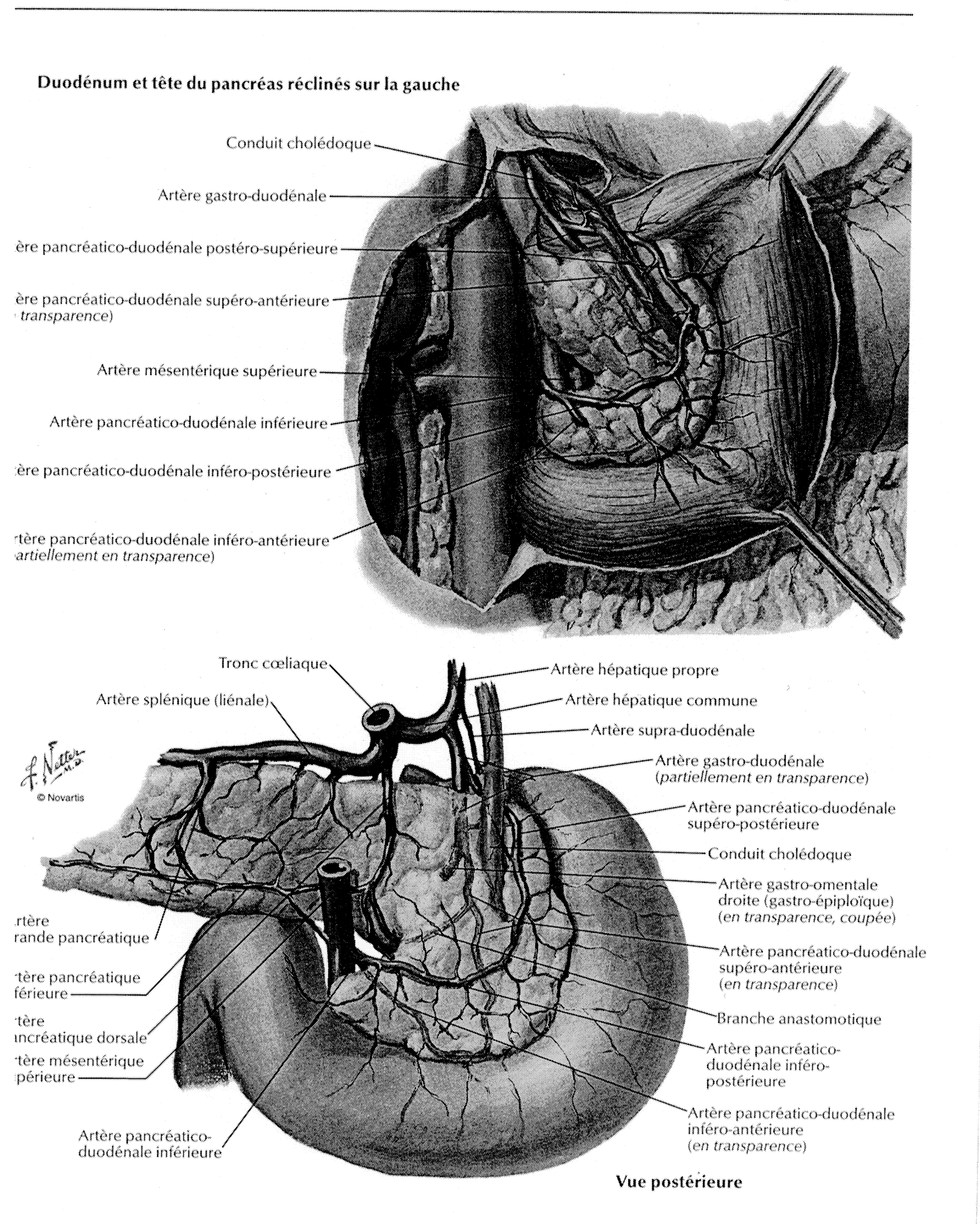
Artères de l'estomac, du duodénum, du pancréas et de la rate



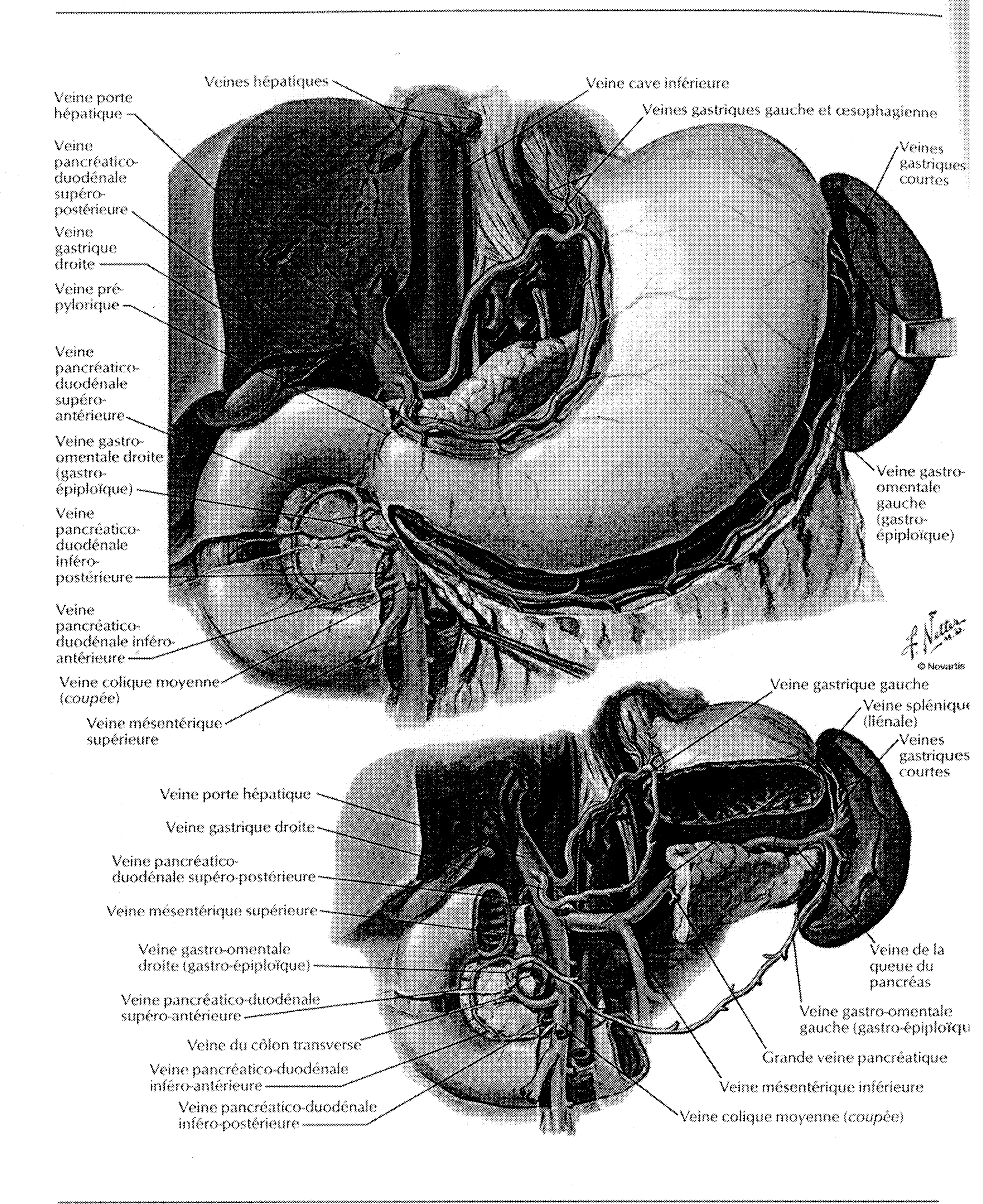
Vue avec l'estomac récliné crânialement


Artère hépatique intermédiaire
Artère hépatique gauche
Artère hépatique propre
Veine porte hépatique
Artère hépatique droite
Artère hépatique commune
Artère cystique
Artère gastrique gauche
Vésicule biliaire
Artères phréniques inférieures droite et gauche (montrées ici depuis le tronc commun)
Tronc cœliaque
Aorte abdominale
Artères gastriques courtes
Triangle hépato-cystique (de Calot)
Conduit cystique
Conduit cholédoque
Conduit biliaire commun
Artère gastrique droite
Artère supra-duodénale
Artère gastro-duodénale
Artère gastro-omentale gauche (gastro-épiploïque
Artère de la queue du pancréa
Artère grande pancréatique
Artère splénique (liénale)
Artère pancréatique dorsale
Artère pancréatique inférieure
Branche anastomotique
Artère colique moyenne (coupée)
Artère mésentérique supérieure
Artère pancréatico-duodénale inférieure (commune)
Artère pancréatico-duodénale supéro-postérieure (en transparence)
Artère pancréatico-duodénale supéro-antérieure
Artère pancréatico-duodénale inféro-postérieure
Artère gastro-omentale droite (gastro-épiploïque)
Artère pancréatico-duodénale inféro-antérieure
F. Netter M.D.
© Novartis

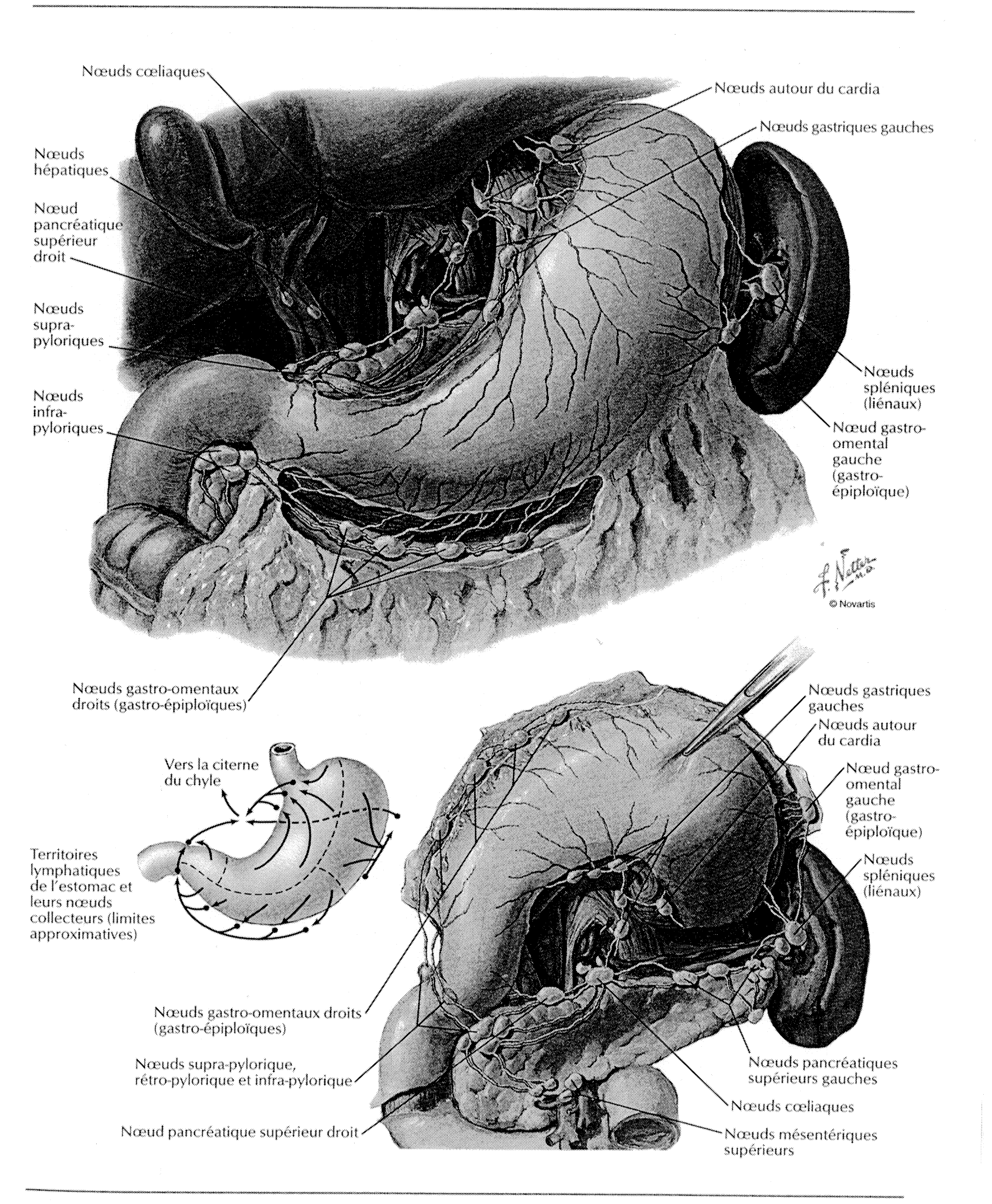
Artères du duodénum et de la tête du pancréas



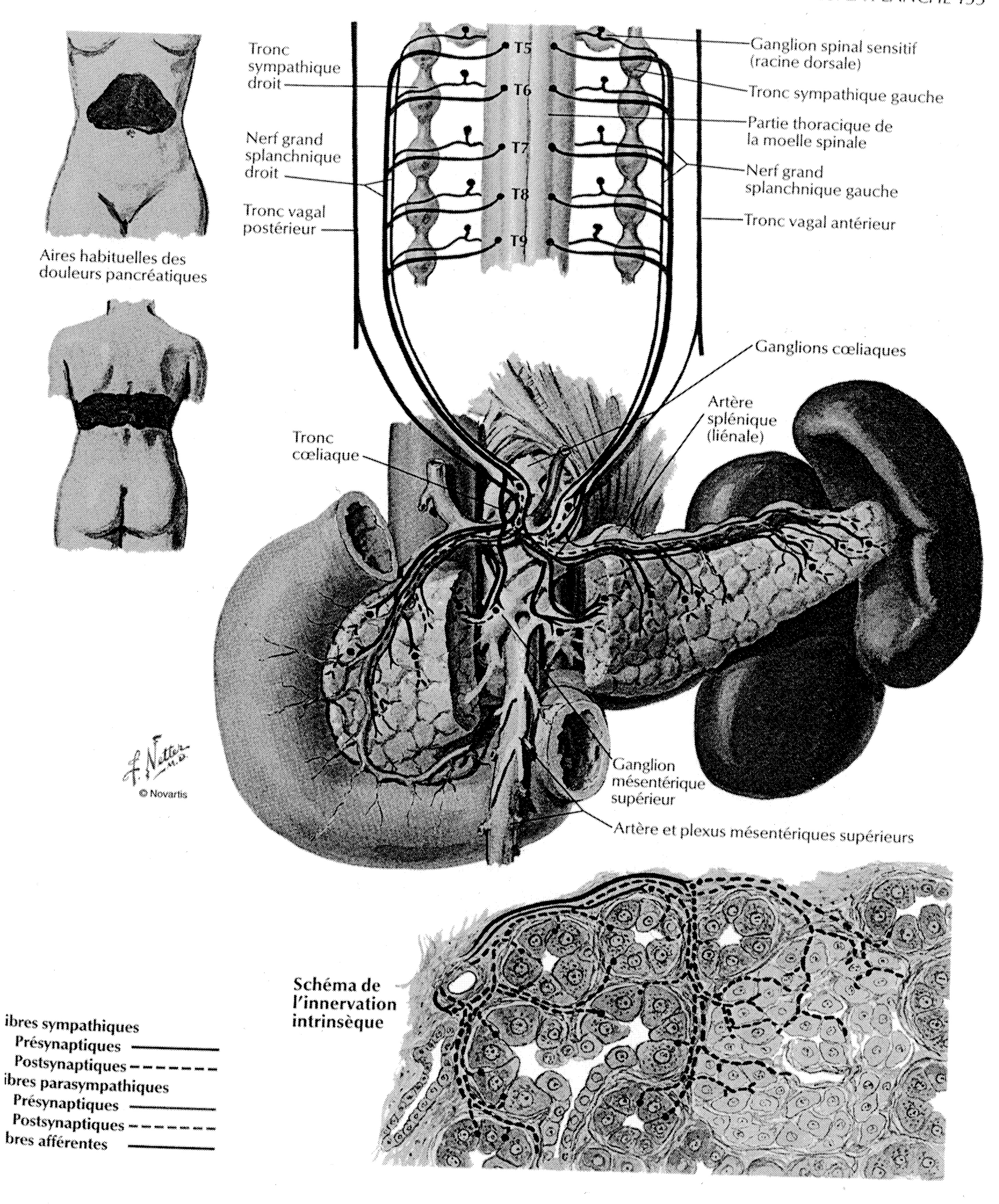
Veines de l'estomac, du duodénum, du pancréas et de la rate



Vaisseaux et nœuds lymphatiques de l'estomac



VOIR AUSSI LA PLANCHE 153



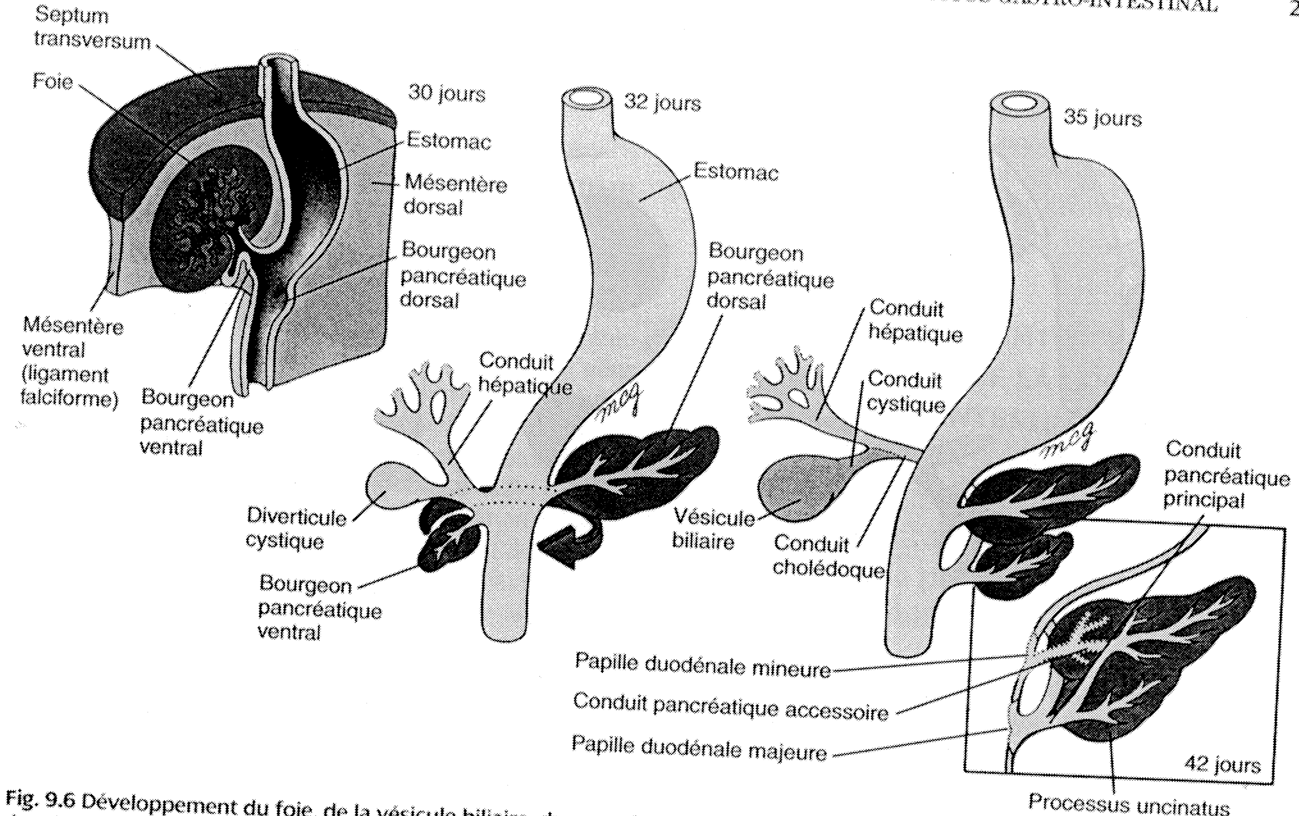


Fig. 9.6 Développement du foie, de la vésicule biliaire, du pancréas et de leurs systèmes de conduits à partir de diverticules endodermiques du duodénum. Le bourgeon hépatique commence dans le mésentère ventral, au cours de la quatrième. Le diverticule cystique et le bourgeon pancréatique ventral se développent également dans le mésentère ventral alors que le bourgeon pancréatique dorsal s'étend dans le mésentère dorsal. Au cours de la cinquième semaine, le bourgeon pancréatique ventral migre autour du côté postérieur (initialement le côté droit) du duodénum pour fusionner avec le bourgeon pancréatique dorsal. Le conduit principal du bourgeon ventral deviendra, finalement, le conduit pancréatique principal qui draine tout le pancréas.

créatique ventral, prolifère dans le mésentère ventral, tout juste caudalement à la vésicule biliaire en formation (voir Fig. 9.6). Au jour 32, le conduit principal du bourgeon pancréatique ventral s'unit à l'extrémité proximale du conduit cholédoque.

Durant la cinquième semaine, l'ostium du conduit :holédoque et le bourgeon pancréatique ventral nigrent dorsalement, autour du duodénum, jusqu'au nésentère dorsal (voir Fig. 9.6). Au début de la sixiène semaine, les bourgeons pancréatiques dorsal et 'entral se trouvent l'un à côté de l'autre, dans le plan lu mésentère dorsal, et fusionnent, à la fin de cette nême semaine, pour constituer le pancréas définitif. e bourgeon pancréatique dorsal est à l'origine de la **ête**, du **corps** et de la **queue** du pancréas alors que le ourgeon pancréatique ventral donne le **processus ncinatus**, en forme de crochet. Comme le duodéım, le pancréas fusionne avec la paroi dorsale du orps pour devenir secondairement rétropéritonéal.

Occasionnellement, le pancréas forme parfois un anneau complet autour du duodénum, réalisant ce qui est connu sous le nom de **pancréas annulaire**. Comme indiqué dans la figure 9.7, cette anomalie se produit probablement lorsque les deux lobes d'un bourgeon pancréatique ventral bilobé (une variation normale) migrent dans des directions opposées, autour du duodénum, pour fusionner avec le bourgeon pancréatique dorsal. Un pancréas annulaire comprime le duodénum et peut provoquer une obstruction intestinale.

Lorsque les bourgeons pancréatiques ventral et dorsal s'unissent, leurs systèmes de canalicules et de conduits s'anastomosent également (voir Fig. 9.6). Le conduit originaire du bourgeon dorsal dégénère habituellement ; il ne persiste que le conduit ventral, appelé maintenant **conduit pancréatique principal**, comme communication avec le duodénum. Le conduit pancréatique principal et le conduit cholédoque s'unissent et déversent leurs sécrétions dans le duodénum,

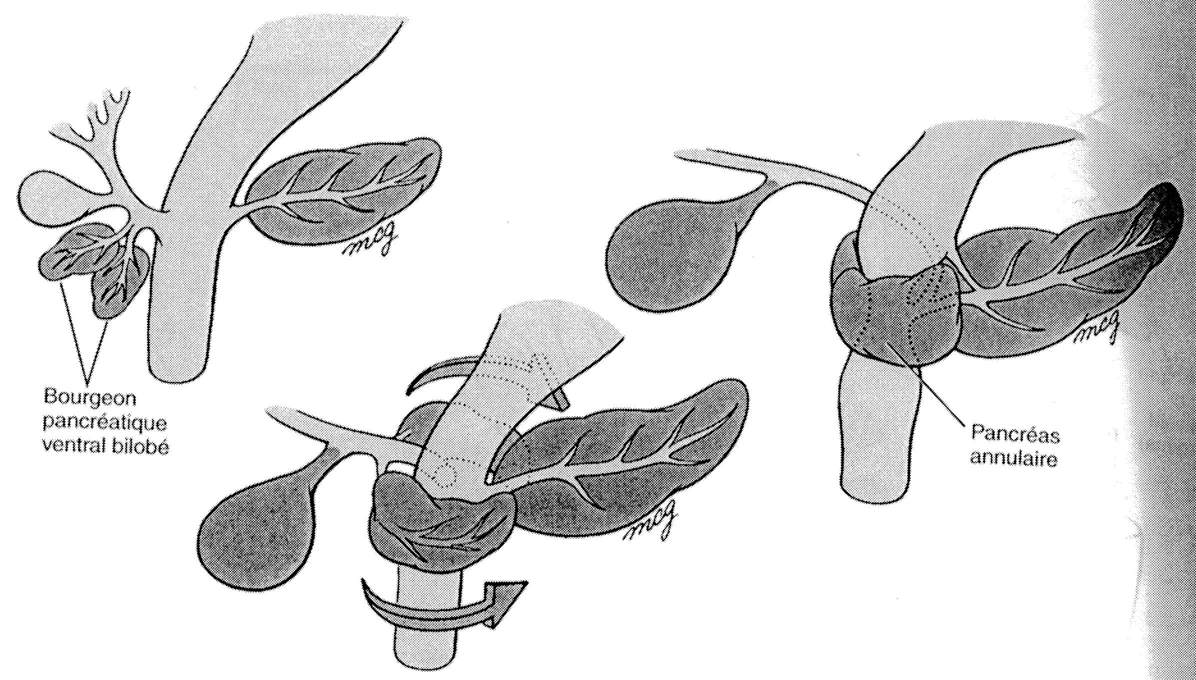


Fig. 9.7 Le bourgeon pancréatique ventral peut présenter deux lobes. Si ceux-ci migrent autour du duodénum, dans des direction opposées, pour fusionner avec le bourgeon pancréatique dorsal, il se constitue un pancréas annulaire.

par l'intermédiaire de l'ampoule hépato-pancréatique ou **ampoule de Vater**, qui s'ouvre au niveau de la **papille duodénale majeure**. Chez certains sujets, le conduit pancréatique dorsal ne disparaît pas ; il forme un conduit pancréatique accessoire qui débouche dans le duodénum au niveau de la **papille duodénale mineure** (voir Fig. 9.6).

Les **cellules exocrines** du pancréas, qui produisent les enzymes digestifs, se différencient à partir de l'endoderme des bourgeons pancréatiques. L'origine des **cellules pancréatiques endocrines** des îlots de Langerhans est controversée. Il a été suggéré qu'elles dériveraient de la crête neurale. Cependant, des expériences de marquage cellulaire (dont les embryons chimères caille-poulet) ou d'animaux transgéniques indiquent qu'elles proviennent de l'endoderme du tube intestinal.

LA RATE DÉRIVE DU MÉSOGASTRE DORSAL ET NON DE L'ENDODERME DU TUBE INTESTINAL

Lorsque le mésogastre dorsal de la petite cavité péritonéale commence à s'étendre, à la fin de la quatrième semaine, une condensation mésenchymateuse s' développe, près de la paroi du corps. Cette condensa tion se différencie au cours de la cinquième semain pour donner naissance à la **rate**, organe lymphoïde su la circulation sanguine (voir Fig. 9.5). Des condensa tions spléniques plus petites, appelées **rates acces soires**, peuvent exister près du hile de l'organe princi pal. Il est important de se rappeler que la rate est u dérivé *mésodermique* et non un produit de l'endoder me intestinal comme la plupart des viscères intra abdominaux. La rotation de l'estomac et la croissance du mésogastre dorsal déplacent la rate vers la gauche de la cavité abdominale. La rotation du mésogastre dorsal établit également une connexion, le **ligament spléno-rénal**, entre la rate et le rein gauche. La portion de mésentère dorsal située entre la rate et l'estomac a reçu le nom de **ligament gastro-splénique**.

À l'origine, la rate est un organe hématopoïétique et ce n'est que secondairement qu'elle acquiert son caractère lymphoïde définitif. Au cours du **stade préliminaire** de son développement et jusqu'à 14 semaines, la rate est strictement hématopoïétique. Entre les semaines 15 et 18 (**stade de transformation**), son architecture lobulaire caractéristique se développe et le **stade de colonisation lymphoïde** débute lorsque les précurseurs des lymphocytes-T l'envahissent. À

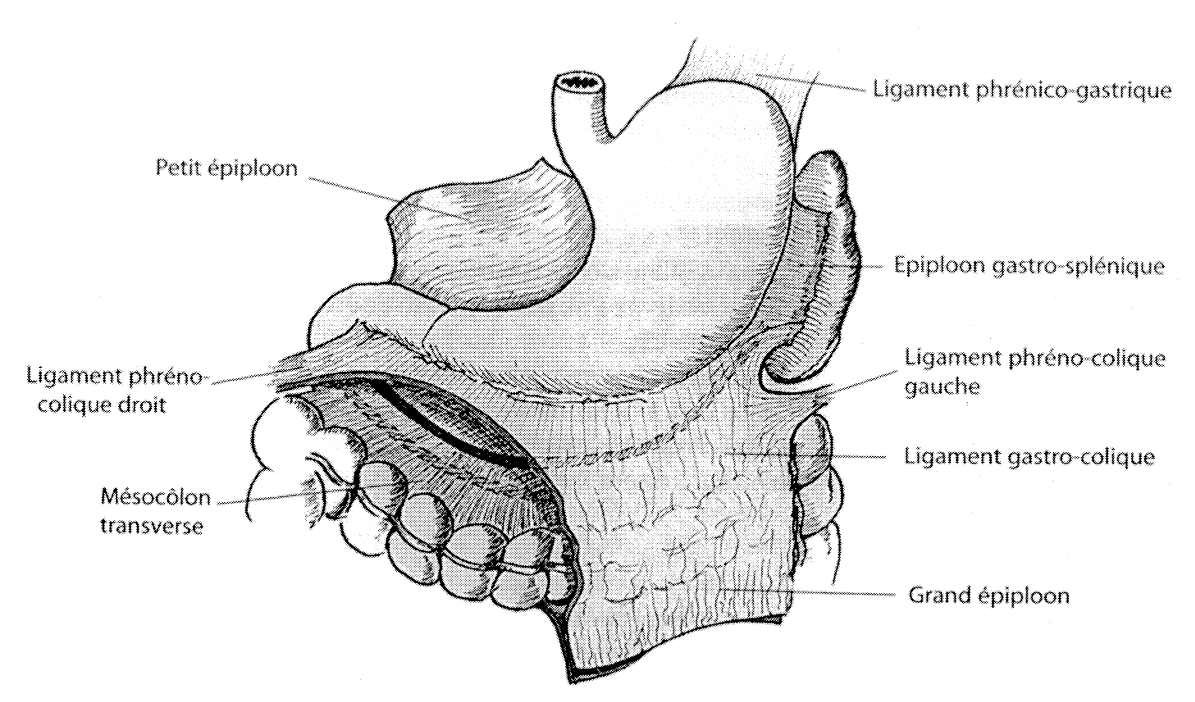


Figure 53. Epiploons et mésos de l'estomac.

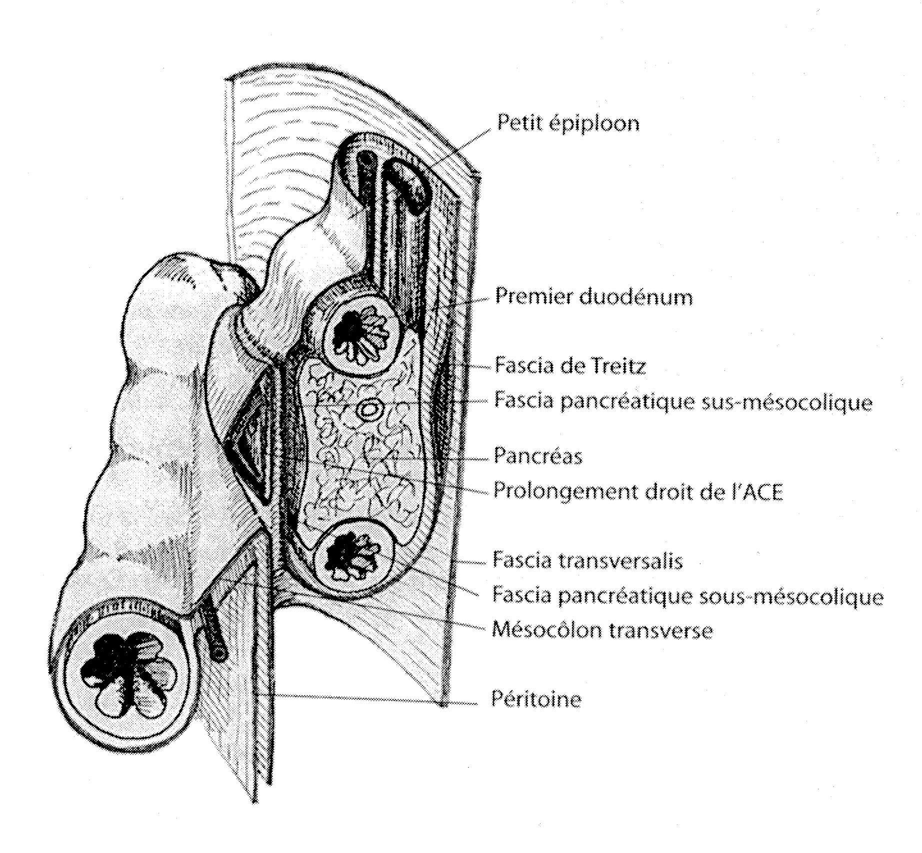
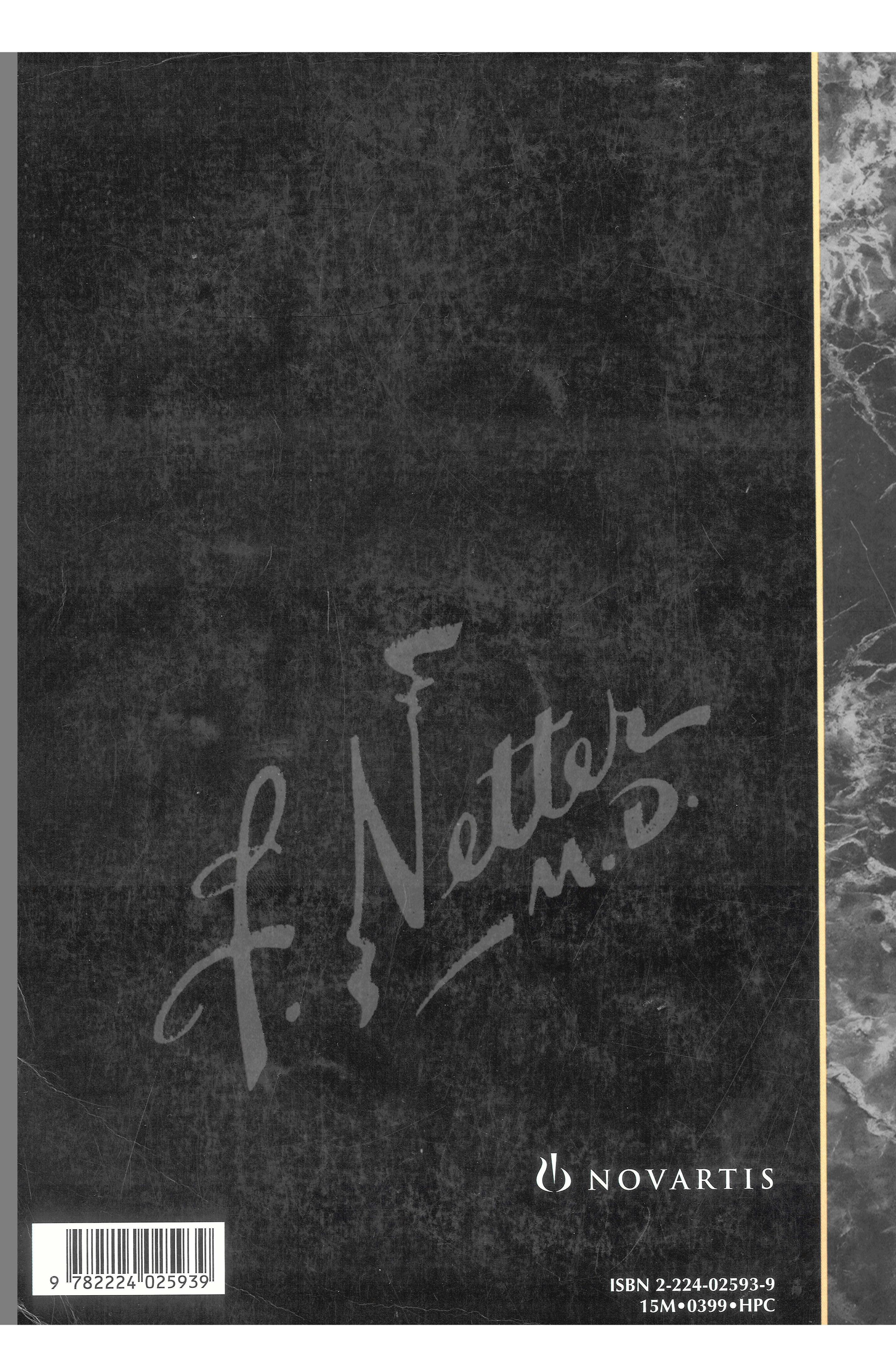


Figure 54. Fascias d'accolement pancréas-duodénum.



ISBN 2-224-02593-9
15M•0399•HPC